

BARATAUD, M. 2020.

Écologie acoustique des chiroptères d'Europe.

Identification des espèces,
études de leurs habitats
et comportements de chasse.

Biotopie, Mèze ;
Muséum national d'histoire naturelle,
Paris (collection Inventaires et
Biodiversité),
360 p.



4^e EDITION ; octobre 2020

MODIFICATIONS

mise à jour datée du 27 avril 2026

(les parties à corriger sont en rouge ; les parties corrigées ou ajoutées sont en bleu)

Graphiques à réactualiser dans le livre : Figures 84, 85, 119, 120, 133, 134, 134a, 146, 147, 148, 149, 165, 166, 167, 168 ; tous les graphiques de l'annexe p. 344 à 349. (nouveaux graphiques à copier depuis les différents fichiers xls « Identification_... »)

Pour toutes les photos : indiquer prénoms des photographes en toutes lettres.

- ❖ **p. 113, 125, 234, 246, 249, 250, 252, 257 :** corriger l'accord (à mettre au masculin en remplacement du féminin) des termes associés au mot « trille », sans oublier le contenu des tableaux.
- ❖ **p. 4-7 :** mettre à jour la pagination du sommaire, et son changement de structure : insertion de l'avant-propos de la 5^e édition ; insertion du nouveau chapitre 5 « Monographies » ; le détail de tous les § de ce chapitre, liste des espèces comprise, entraîne l'ajout d'une double page supplémentaire, texte à gauche et photo pleine page à droite : insérer **photo** pour occuper la future p. 9
- ❖ **p. 8 :** ajouter sous « Jean Roché » : (1931-2025)
- ❖ **p. 12 :** noms des personnes remerciées à mettre en gras ;
- ❖ **p. 14 :** alinéa Lars Pettersson, ligne 6 ; remplacer « à membrane » par « à vrai condensateur »
- ❖ **p. 14 :** alinéa Jean Roché ; ajouter : « Jean C. Roche (1931-2025) : rester un grand enfant, a travers les qualités d'enthousiasme, de confiance accordée et de gout du risque, est la qualité des bons éditeurs ; l'aventure de Ballades dans l'inaudible a créé des liens dont le versant amical a fleuri très vite et ne s'est jamais démenti. Sa disparition le 1^{er} avril 2025 laisse un vide tenace.
- ❖ **p. 15 :** après le dernier alinéa (Marc Van de Sijpe), rajouter l'alinéa suivant : - Jean-Do Vrignault : mon premier détecteur était de conception et de fabrication françaises et très artisanales (grâce à Jean-Luc Hérelle, aujourd'hui disparu). Il a fallu attendre la fin des années 2010 pour voir apparaître à nouveau, dans une démarche totalement désintéressée et participative, des détecteurs de fabrication française, les TeensyRecorders. Jean-Do Vrignault, programmeur informatique, électronicien, naturaliste, est le concepteur du logiciel et des schémas de montage de ses différents modèles (Active Recorder, Passive Recorder mono ou stéréo, Bat Player, Rhinologger). A l'écoute des besoins des utilisateurs, il perfectionne sans cesse ses inventions et se met au service de leurs attentes et de leurs questionnements. Le principe est de fabriquer soi-même son outil, à prix coûtant, lors d'ateliers animés par des bénévoles. Un bel exemple de générosité communicative, doublé d'une efficacité remarquable : ces détecteurs rivalisent actuellement avec les modèles haut de gamme ! Nous sommes plusieurs centaines, bientôt sans doute des milliers, à remercier chaleureusement Jean-Do pour ses qualités autant techniques qu'humaines.
- ❖ **p. 16 :** premier paragraphe ; ajouter : « ... Mauro MUCEDDA (enregistrements provenant de Sardaigne de *R. mehelyi*, *P. auritus*, *P. austriacus* et *P. sardus*) ;
- **p. 16 :** alinéa Robert Hainard ; ajouter : « Robert Hainard (1906-1999)... conseils amicaux ; à Pierre Hainard pour son accueil très chaleureux et à Marie Pflug-Hainard pour son amitié ; »
- ❖ **p. 16 :** alinéa Christian Maliverney ; modifier : « Christian Maliverney. La gentillesse et le talent de Christian nous ont quittés le 22 février 2024 ; nous étions jumelés par une naissance à la Saint-Valentin 1961. Merci l'ami pour tes photos de Petit rhinolophe, Grand murin, Murin de Bechstein, Oreillard, Pipistrelle de Kuhl ; »

- ❖ **p. 16** : dernier § ; modifier : « Il serait trop long de citer les quelques 1500 participants aux 85 sessions de formation à l'identification acoustique encadrées à ce jour (souvent en collaboration avec Yves Tupinier jusqu'en 2018) depuis 1994 ; par leurs questionnements, leurs expériences, ils ont beaucoup contribué à améliorer la forme du message délivré ici. Certains ont repris le flambeau en organisant à leur tour (suivant en cela l'esprit qui animait ces stages : provoquer une réaction en chaîne) des sessions dans leurs régions, améliorant ainsi la diffusion de la méthode d'écologie acoustique. Thierry Disca, Géraldine Kapfer, Jonathan Demaret, Ludivine Delamare, Lilian Girard, Caroline Lehmann ont repris brillamment en 2025 le flambeau des stages de formation (4 niveaux désormais !) au CPIE de Brenne sous la houlette d'Alexandra Fleury. Merci à tous pour votre enthousiasme tenace. »
- ❖ **p. 17** : dernier paragraphe ; ajouter : « ... de plus le « nous » correspond à une convenance traditionnelle en matière de littérature scientifique, favorisant par ailleurs la modestie (et n'ayant donc rien à voir avec le prétentieux « nous » de majesté !).
- ❖ **p. 18** : titre, rajouter Avant-propos de la 1ère édition » ; texte marge de gauche, modifier : « Cette 5e édition, outre quelques corrections, comprend de nombreux ajouts. Le lecteur... à la rubrique « Mises à jour de la 4e édition ».
- ❖ **p. 19** : avant-dernier §, lignes 4 et 5 ; modifier : « ... à 15 années de complicité amicale. »
- ❖ **p. 21** : insérer le contenu du fichier Avant-propos de la cinquième édition.
- ❖ **p. 21** : modifier tableau et légende :

Liste des 45 espèces de chauves-souris décrites en Europe, Macaronésie comprise (DIETZ *et.al.*, 2009) ; l'identification acoustique est possible (selon la qualité des signaux) pour 84 % des espèces européennes, et pour 95 % des espèces étudiées dans le cadre de ce programme de recherche. *M. nattereri* et *M. crypticus*, étudiés tous deux, sont associés car ils ne représentent dans l'état actuel des connaissances que des différences génétiques, ne montrant aucune différences écologique et acoustique.

Nom latin	Nom français	Traitées dans l'ouvrage	Identification acoustique possible
<i>Rhinolophus hipposideros</i>	Petit rhinolophe	X	X
<i>Rhinolophus ferrumequinum</i>	Grand rhinolophe	X	X
<i>Rhinolophus euryale</i>	Rhinolophe euryale	X	X
<i>Rhinolophus mehelyi</i>	Rhinolophe de Mehely	X	
<i>Rhinolophus blasii</i>	Rhinolophe de Blasius		X
<i>Myotis daubentonii</i>	Murin de Daubenton	X	X
<i>Myotis capaccinii</i>	Murin de Capaccini	X	X
<i>Myotis dasycneme</i>	Murin des marais	X	X
<i>Myotis brandtii</i>	Murin de Brandt	X	X
<i>Myotis mystacinus</i>	Murin à moustaches	X	X
<i>Myotis alcaethoe</i>	Murin d'Alcaethoe	X	X
<i>Myotis aurascens</i>	Murin doré		?
<i>Myotis emarginatus</i>	Murin à oreilles échancrées	X	X
<i>Myotis nattereri & crypticus</i>	Murins de Natterer & cryptique	X	X
<i>Myotis escaleraei</i>	Murin d'Escalera	X	
<i>Myotis bechsteinii</i>	Murin de Bechstein	X	X
<i>Myotis myotis</i>	Grand murin	X	X
<i>Myotis blythii</i>	Petit murin	X	X
<i>Myotis punicus</i>	Murin du Maghreb	X	X

<i>Nyctalus noctula</i>	Noctule commune	X	X
<i>Nyctalus leisleri</i>	Noctule de Leisler	X	X
<i>Nyctalus azoreum</i>	Noctule des Açores	X	X
<i>Nyctalus lasiopterus</i>	Grande noctule	X	X
<i>Eptesicus serotinus</i>	Sérotine commune	X	X
<i>Eptesicus isabellinus</i>	Sérotine isabelle	X	X
<i>Eptesicus anatolicus</i>	Sérotine d'Anatolie		?
<i>Eptesicus nilssonii</i>	Sérotine de Nilsson	X	X
<i>Vespertilio murinus</i>	Sérotine bicolore	X	X
<i>Pipistrellus pipistrellus</i>	Pipistrelle commune	X	X
<i>Pipistrellus nathusii</i>	Pipistrelle de Nathusius	X	X
<i>Pipistrellus kuhlii</i>	Pipistrelle de Kuhl	X	X
<i>Pipistrellus pygmaeus</i>	Pipistrelle pygmée	X	X
<i>Pipistrellus maderensis</i>	Pipistrelle de Madère	X	X
<i>Hypsugo savii</i>	Vespère de Savi	X	X
<i>Plecotus auritus</i>	Oreillard roux	X	X
<i>Plecotus austriacus</i>	Oreillard gris	X	X
<i>Plecotus macrobullaris</i>	Oreillard montagnard	X	X
<i>Plecotus sardus</i>	Oreillard de Sardaigne	X	X
<i>Plecotus kolombatovici</i>	Oreillard des Balkans		?
<i>Plecotus begognae</i>	Oreillard ibérique		?
<i>Plecotus teneriffae</i>	Oreillard de Tenerife	X	X
<i>Barbastella barbastellus</i>	Barbastelle	X	X
<i>Miniopterus schreibersii</i>	Minioptère de Schreibers	X	X
<i>Tadarida teniotis</i>	Molosse de Cestoni	X	X
TOTAL	45	40	38

- ❖ **p. 23** : § Effet Doppler ; ajouter à la fin : ...une forme concave à allure d'hyperbole (cas d'une FM aplanie). L'amplitude de la distorsion fréquentielle due à l'effet Doppler augmente avec la fréquence et la vitesse (variation = fréquence x vitesse de déplacement/célérité du son) ; elle peut être d'environ 1 kHz pour une Noctule ou une Pipistrelle et peut aller jusqu'à 2-3 kHz pour un Rhinolophe. »
- ❖ **p. 23** : § FM abrupte, ligne 6, modifier « (large bande de fréquences, > 40 kHz) »
- ❖ **p. 29** : § Rythme, 1) Le rythme de croisière ; modifier comme suit : « rythme ne montrant aucune augmentation ou diminution progressive de la récurrence au sein d'un groupe de quelques signaux. **a) lent et irrégulier** : il indique un "transit passif" (transit = déplacement d'amplitude indéterminée entre deux secteurs), l'animal s'économise car le milieu (faible densité de proies, libre d'obstacles et/ou bien mémorisé) traversé à cet instant précis ne requiert pas une collecte élevée d'informations ; **b) lent et régulier** : il indique un comportement de "recherche passive", la recherche d'obstacles ou de proies est activée mais la probabilité de rencontre est considérée comme faible par l'animal ; **c) rapide et irrégulier** : les signaux sont le plus souvent groupés par paires, avec un très léger décalage de fréquences parfois perceptible entre les deux signaux de chaque paire. Il est souvent le fait d'individus longeant une lisière d'où des éléments physiques peuvent émerger (branches, proies...), donc confrontés à une problématique de recherche de cibles dans un bruit de fond uniforme ; **d) rapide et régulier** : il indique une recherche active de proies ou d'obstacles. Pour illustrer la différence de comportement entre tous ces rythmes, imaginez que vous êtes : a) en randonnée, traversant une vaste pelouse alpine ; b) vous arrivez en limite forestière, avec juste

quelques arbres clairsemés ; c) vous pénétrez en sous-bois, prêtant attention à d'éventuels champignons ; d) votre regard tombe sur un magnifique cèpe, modifiant votre image de recherche au sol, devenant subitement beaucoup plus active et centrée sur une cible précise.

- ❖ **p. 29** : § Rythme, 3) Le rythme de capture ; remplacer « rythme montrant une augmentation progressive de la récurrence au sein d'un groupe de signaux, faisant suite à un rythme d'approche. » par « rythme extrêmement rapide et régulier, faisant suite à un rythme d'approche. »
- ❖ **p. 30** : insérer après « Sonar » le § suivant : « **Sonar-social** : terme construit à partir des caractéristiques de séquences de signaux émis en vol par un chiroptère, dont la rythmique est cohérente avec une problématique de localisation spatiale (sonar) en recherche passive (sans phase d'approche), mais qui présentent aussi tout ou partie des caractéristiques suivantes : signaux hors du répertoire sonar connu chez l'espèce concernée ; structures non pratiquées en mode sonar (FM ascendante, modulation en tronçons de sinusoïde, etc.) ; hétérogénéité de structure, de durée, de FME, entre les signaux, induisant une absence de cohérence dans leur succession, sans aucune transition progressive. Une interprétation possible de ces caractéristiques contradictoires, suppose qu'un chiroptère puisse combiner la possibilité d'interpréter les échos des signaux émis pour se diriger en vol, tout en privilégiant la communication avec des congénères. »
- ❖ **p. 30** : « Structure » alinéa « QFC » ; remplacer « courte à moyenne (inférieure à 25 ms) plage de fréquence quasi constante dont la modulation est inférieure à 5 kHz de bande de fréquence. Genres *Eptesicus*, *Vespertilio*, *Hypsugo*, *Pipistrellus*, *Nyctalus*, *Miniopterus*, *Tadarida*. » par : « plage de fréquence quasi constante dont la largeur de bande de fréquences (LB) est inférieure à 5 kHz ; une QFC dont la LB est inférieure à 2 kHz est dite « QFC plane ». La durée, variable de 5 à 30 ms selon les espèces et les circonstances, concentre l'énergie dans une faible gamme de fréquences, donnant une portée maximale à ce type de structure, d'où leur utilisation en milieux semi-ouverts à ouverts. Genres *Eptesicus*, *Vespertilio*, *Hypsugo*, *Pipistrellus*, *Nyctalus*, *Miniopterus*, *Tadarida*. »
- ❖ **p. 30** : colonne gauche, § FM, alinéas 2 et 3 ; modifier : « bande moyenne (40 à 80 kHz) » et « bande étroite (< 40 kHz) »
- ❖ **p. 59-62** : remplacer les mentions micros « electrets » par micros à électret, et micros à membrane par micros à vrai condensateur
- ❖ **p. 59** : intro, ligne 2 ; remplacer « trente » par « quarante »
- ❖ **p. 59** : intro, lignes 8-9 ; remplacer « qui nous permet de bénéficier à l'heure actuelle du système... » par « qui a induit le développement du système... »
- ❖ **p. 59** : § 1, lignes 4-5 ; remplacer « (une soirée dure moins de 4 h généralement) » par « (soirée de 3-4 h par exemple) »
- ❖ **p. 60** : § Détecteurs avec expansion de temps, ligne 3-4 ; remplacer la phrase « ...microphones sont de type « electret » ou à membrane » par « ...microphones sont de type MEMS, à électret ou à vrai condensateur »
- ❖ **p. 60** : § DÉTECTEURS AVEC EXPANSION DE TEMPS, ligne 7 ; remplacer « (de 0,7 seconde à plusieurs heures sur les modèles... » par « (de 0,7 seconde à une durée non limitée sur les modèles... »

- ❖ **p. 60** : § Outils d'enregistrement automatique, lignes 8-9, ajouter : « (ce qui pose des problèmes de compatibilité lors d'une étude quantitative de l'activité : **on veillera alors à segmenter les séquences par tranches de 5 secondes**) »
- ❖ **p. 60** : § Outils d'enregistrement automatique, dernière ligne, remplacer « ...entre systèmes manuel et automatique ne sont pas **comparables**. » par « ...entre systèmes manuel et automatique ne sont pas **équivalents**. »
- ❖ **p. 60** : § Outils d'enregistrement automatique, 5^e ligne avant la fin, remplacer et ajouter : « (attention toutefois à certains modèles dont la fréquence d'échantillonnage, **limitée à 192 kHz**, est insuffisante pour **les** signaux de *Myotis*) » par « (attention toutefois à certains modèles dont la fréquence d'échantillonnage, **inférieure à 350 kHz**, est insuffisante pour **certains** signaux de **Murins et de Rhinolophes**) »
- ❖ **p. 61** : § Systèmes à expansion de temps/ enregistreurs hautes fréquences, remplacer le texte complet par le suivant : « **Beaucoup des modèles actuels ne sont pas dotés d'une sortie audio : ils ne peuvent être utilisés comme détecteur avec écoute et identification en direct ; ce sont donc des outils de stockage avec analyse différée sur ordinateur. Les enregistrements, selon les modèles, débutent au moment précis de l'évènement sonore déclencheur, ou un peu avant grâce à un système de pre-trigger. La durée de chaque séquence, le plus souvent programmable, peut utilement être réglée sur 5 secondes pour faciliter la comptabilité des contacts (lors d'enregistrements plus longs, un logiciel peut ensuite être utilisé pour couper les séquences). Le nombre de séquences enregistrées en une nuit est variable, selon l'activité des chiroptères bien entendu, mais aussi et surtout en fonction de bruits parasites : vent, cours d'eau proche, stridulations des Ensifères ; ces derniers peuvent engendrer un surplus de plusieurs milliers de séquences, rendant fastidieux une analyse en manuel (visuelle le plus souvent, auditive pour les identifications plus complexes), qui prend – pour un observateur expérimenté – environ 1 heure pour 1000 séquences de 5 secondes, saisie comprise. D'où un recours fréquent à des logiciels pour le tri automatique des séquences contenant des signaux de chiroptères, puis une identification des espèces ou groupes d'espèces (assortie d'un niveau de probabilité). Les taux d'erreur de classification et d'identification inhérents à ces systèmes automatiques sont variables ; ils sont souvent assez faibles pour des espèces comme *P. pipistrellus* (représentant souvent la majorité des contacts) mais peuvent dépasser 60 % pour les groupes d'espèces complexes (*Myotis* spp., *N. leisleri* & *V. murinus*, etc.). Ces imprécisions obligent donc l'observateur à contrôler manuellement une partie des résultats. »**
- ❖ **p. 62** : ligne 21 ; remplacer : « Parmi les **35** espèces étudiées... » par « Parmi les **40** espèces étudiées... » et supprimer « **, *M. nattereri*** »
- ❖ **p. 62** : ligne 25 ; ajouter : « pourront être classifiées **avec certitude** jusqu'à l'espèce. »
- ❖ **p. 62** : alinéa 2 ; ligne 2 ; remplacer « **à membrane** » par « **de grand diamètre à vrai condensateur (type Pettersson D1000X)**... », puis remplacer « un micro « **electret** » par « un micro **à électret** »
- ❖ **p. 63** : § 1, 4 lignes avant la fin, remplacer « (**voir identification du genre Myotis, « Timbre siffle » p. p. 221**) » par « (**voir p. 201**) »
- ❖ **p. 63** : fin du 1^{er} §, ajouter : « ... moyennes fréquences. **Ainsi, les détecteurs permettant de clôturer l'enregistrement manuellement, sans limite de durée, doivent être privilégiés, car ils permettent de longues séquences informatives du comportement de l'individu.** »

- ❖ **p. 63** : § INVENTAIRES QUALITATIFS ET QUANTITATIFS, ligne 6, remplacer « ...les caractéristiques et/ou programmations du matériel utilisé, elle sera différente de celle... » par « ...les caractéristiques et/ou programmations du matériel utilisé, elle peut être différente de celle... »
- ❖ **p. 64** : § Recherches sur le sonar; ligne 12, remplacer « au sein de (rares !) universités... » par « au sein d'universités... » ; 1^{er} alinéa, enlever « à membrane »
- ❖ **p. 69** : fin du 1^{er} §, ajouter : « ...Par ailleurs de nombreux cas complexes (Sérotines, Murins, Oreillardards ...) leur rappelleront sans arrêt... »
- ❖ **p. 69** : § « Entraînement auditif, ligne 5 ; simplifier la parenthèse : (cf. les parties « Critères à utiliser pour l'identification », p. 104 et p. 129) ;
- ❖ **p. 69** : 2 lignes avant fin ; ajouter : « ...sa « mise au repos » éventuelle durant l'hiver... »
- ❖ **p. 71** : fin du 1^{er} §, ajouter : « publiées dans cet ouvrage. **Si vous utilisez un autre logiciel que BatSound, vous risquez de ne pas pouvoir faire correspondre vos mesures avec les valeurs présentées dans les graphiques d'identification.** En effet, certains paramètres comme le type de fenêtre (Hanning) et sa largeur (512 points pour un spectrogramme, 256 ou 512 points pour une densité spectrale), le filtre HighPass pour éliminer les faux claquements, etc. peuvent, s'ils ne sont pas respectés strictement comme indiqués dans ce livre, induire des conclusions bien différentes ! »
- ❖ **p. 72-73** : remplacer le texte après l'encadré :

« Avant de passer en revue chacune de ces représentations, il nous faut d'abord vérifier quelques configurations :

 - la carte son de votre ordinateur d'abord : dans le cas où la séquence est rentrée dans l'ordinateur à partir d'un lecteur audio (minidisc, cassette audio ou DAT, CD) par la prise jack de l'entrée microphone, il vous faut lors de la première utilisation activer l'ampli (procédure variable selon les systèmes d'exploitation) ; une fois effectuée, cette opération ne devrait plus être à refaire. Lors de chaque utilisation, si vous voulez entendre le son rentrant par la prise d'entrée micro, il vous faudra activer le son du micro (désactivé en mode normal pour éviter un effet Larsen avec les hauts-parleurs) : double clic sur icône son, décocher muet sur volume micro.
 - une fois BatSound ouvert (**figure 13**), il faut vérifier les paramètres d'enregistrement :
 1. Dans la fenêtre « Sound Format » (onglet « Sound ») : sélectionner 10 pour le facteur expansion de temps (pour faire correspondre à l'expansion par 10 les échelles de durée et de fréquences dans les représentations graphiques) ; la fréquence d'échantillonnage correspondant à l'enregistrement est déjà cochée ou inscrite : elle ne doit pas être changée sauf dans le cas des détecteurs à carte mémoire interne où il faut la diviser par 10 pour expander la séquence. Dans les fenêtres du bas vous pouvez inscrire les informations relatives à l'enregistrement.
 2. Les 3 icônes verdâtres les plus à droites permettent de configurer les paramètres par défaut pour chaque type de graphique ; nous allons nous attarder quelque peu sur les deux icônes de droite (spectrogramme et densité spectrale) : »

par :

« Avant de passer en revue chacune de ces représentations, il faut d'abord vérifier quelques configurations.

Si votre séquence à analyser provient d'un détecteur non équipé d'une carte mémoire interne pour les enregistrements, elle est donc passée par l'intermédiaire d'un enregistreur périphérique qui a permis de la stocker (et qui l'a réenregistrée en lui appliquant ses propres paramètres de fréquence d'échantillonnage (Fe) et de résolution, voir encadré p. 72). Etant

enregistrée depuis la sortie de l'expansor du détecteur, elle est donc déjà en expansion de temps et n'a pas besoin d'être modifiée pour être écoutée au ralenti sur le logiciel.

Si votre séquence à analyser provient de la carte mémoire interne d'un détecteur, elle est enregistrée en fréquences réelles (donc inaudibles) et non en expansion de temps. Son écoute au ralenti nécessite donc une manipulation, qui va dépendre du logiciel utilisé. Si vous utilisez une version de BatSound antérieure à 4.4, il faut modifier les paramètres d'enregistrement : dans la fenêtre « Sound Format » (**figure 13, flèche 1**) de l'onglet « Sound », il faut diviser par 10 (en enlevant le zéro à la fin) la Fe (dans la rubrique « Samples per second ») déjà cochée ou inscrite par défaut, puis inscrire 10 pour le facteur d'expansion de temps (pour rétablir les échelles de durée et de fréquences dans les représentations graphiques). Si vous utilisez la version 4.4 de BatSound ou postérieure, il suffit de cocher une fois pour toutes le facteur 1/10 dans « Play speed » de l'onglet « Sound ». A noter que les TeensyRecorders (Active et Passive Recorders) de Jean-Do Vrignault offrent la possibilité d'enregistrer les fichiers sons sur la carte mémoire interne, directement en format expansé : quelle que soit la version du logiciel ils sont donc directement lisible en expansion par 10.

Dans la barre d'outils en haut de la fenêtre de BatSound, les 3 icônes verdâtres les plus à droite (**figure 13, flèche 2**) permettent de configurer les paramètres par défaut pour chaque type de graphique ; nous allons nous attarder quelque peu sur les deux icônes de droite (spectrogramme et densité spectrale) : »

- ❖ **p. 72** : encadré sur fréquence d'échantillonnage ; remplacer le contenu par le suivant :

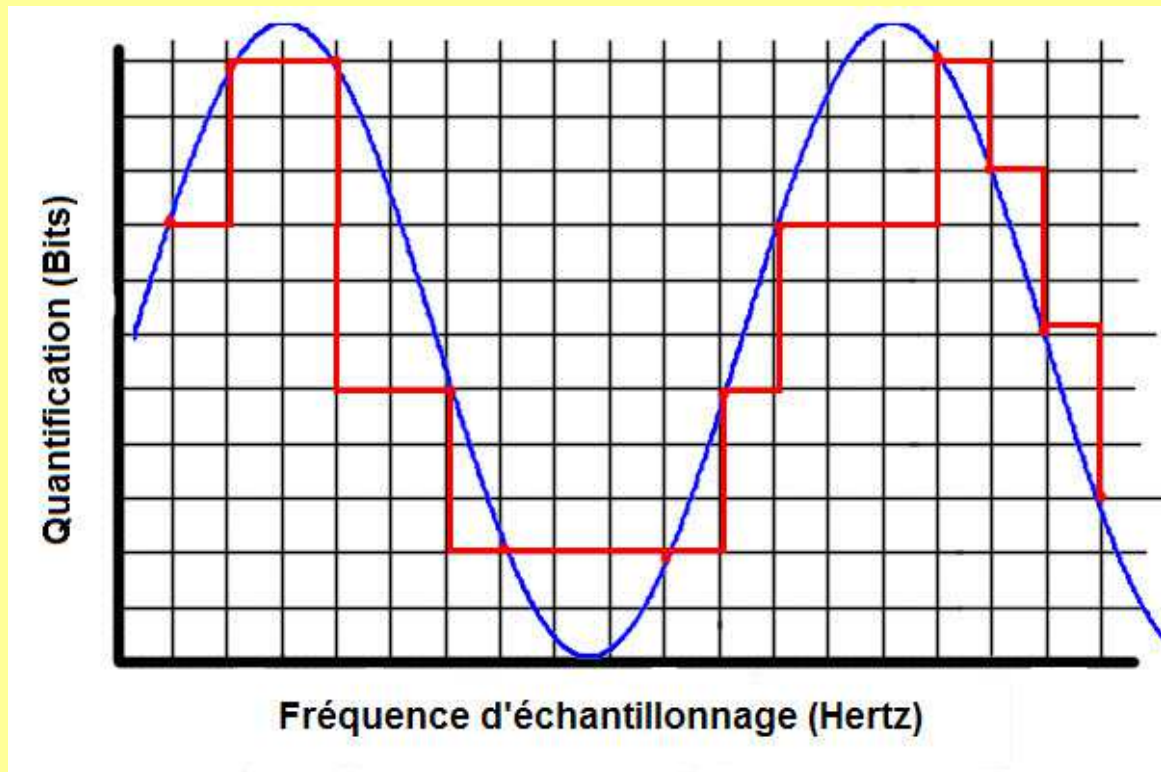
Résolution et fréquence d'échantillonnage

Les sons analogiques d'origine arrivant jusqu'au microphone, vont être numérisés par le détecteur pour permettre leur écoute et leur visualisation ; ce processus implique deux paramètres dont certaines conséquences sont importantes à connaître :

La résolution : elle se mesure en bits ; elle conditionne la plage dynamique (c'est-à-dire la tolérance à s'écarter en dessous du seuil de saturation tout en conservant une bonne qualité de restitution sonore) ; elle conditionne aussi le nombre de points d'échantillonnage appliqués à la courbe d'origine, dans l'axe des Y (voir graphique ci-dessous) ; comme elle n'évolue pas de façon linéaire mais en puissance de 2, une résolution de 8 bits implique 256 points (2^8) de référence le long de l'axe, alors qu'avec 16 bits elle passe à 65536 points (2^{16}) de référence, donc une meilleure qualité de numérisation (et une meilleure plage dynamique).

La fréquence d'échantillonnage (Fe) : elle se mesure en Hz ; son augmentation influence positivement la qualité générale de restitution des signaux (par un nombre supérieur de points de référence sur l'axe des X), mais influence négativement la précision des mesures de fréquences que l'on devra réaliser grâce à la densité spectrale. Un compromis pour l'étude des signaux de chiroptères est donc à trouver. On tiendra compte des éléments pratiques suivants :

- la hauteur de la fenêtre fréquentielle maximale affichable sur un spectrogramme (fréquence de Nyquist) est égale à la Fe divisée par deux. Ainsi il est impératif de retenir une Fe minimale qui prenne en compte les fréquences les plus hautes atteintes par les chiroptères européens. Les fréquences initiales des signaux FM de *M. nattereri* sont le record connu : 175 kHz. La Fe de nos détecteurs doit donc être d'au moins 350 kHz (certains microphones ou enregistreurs sont dotés d'une Fe de 256 ou 192 kHz par ex., ce qui masque sur spectrogramme les fréquences supérieures à 128 ou 96 kHz respectivement). A l'opposé, dépasser 400 kHz (pour la faune européenne) est inutile voire nuisible à la précision des mesures de fréquences ;
- la Fe d'une séquence, lorsqu'elle n'est pas connue, peut être vérifiée sur BatSound dans la fenêtre Sound Format ; toute modification de la Fe entraîne un changement de l'échelle des fréquences du spectrogramme et du taux d'expansion (donc par suite des erreurs d'écoute et de mesures des signaux : si l'on double la Fe d'une séquence de Sérotine sur 24 kHz elle se transforme en une séquence de Pipistrelle sur 48 kHz !) ;
- diviser la Fe par 10 revient à transformer une séquence en expansion de temps x 10 (la Fe du fichier reste inchangée, c'est la vitesse de lecture qui est modifiée). Ce processus est réalisé automatiquement lors de l'écoute depuis le détecteur, et peut l'être manuellement sur le logiciel d'analyse ;
- pour les détecteurs non équipés d'une carte mémoire intégrée pour les enregistrements, une Fe est appliquée à chaque processus de numérisation : dans le détecteur puis à l'entrée de l'enregistreur périphérique ; pour ce dernier il est inutile de sélectionner une Fe supérieure à celle du détecteur (par défaut choisir la plus basse : 44,1 kHz) ;
- pour les détecteurs équipés d'une carte mémoire intégrée, les séquences enregistrées sur la carte SD ou CF sont dites en « hautes fréquences » (c'est à dire en fréquences réelles) ; pour être lues en expansion de temps x 10, leur Fe (variable selon les détecteurs) doit être divisée par 10 sur BatSound dans la fenêtre Sound Format ; le facteur d'expansion doit être de 10 au lieu de 1 pour ajuster les échelles de temps et de fréquences (à noter que les mesures de signaux restent valables et identiques que l'on soit sur 384000 et 1 ou 38400 et 10 ; c'est l'écoute qui est modifiée). Les versions récentes de BatSound (4.4 et suivantes) permettent de configurer la vitesse de lecture au $1/10^e$ (Sound ; Play speed) et ainsi éviter de diviser par 10 manuellement la Fe pour chaque séquence écoutée.



Ce graphique montre le quadrillage fictif croisant les points de la Fe (axe des X) et de la résolution (axe des Y) ; lorsque la courbe analogique d'origine (en bleu) coïncide avec un croisement, un point d'échantillonnage est retenu ; ainsi la finesse du quadrillage conditionne la fidélité de la courbe numérisée (symbolisée par le trait rouge) par rapport à la courbe d'origine.

- ❖ **p. 73** : § Spectrogramme, à partir ligne 6 ; modifier comme suit : « ...plus la fenêtre est étroite (256 par ex.), plus la précision de la représentation verticale (donc la durée) est proche de la réalité, mais ceci aux dépens de la précision de la représentation horizontale (donc la fréquence) ; et inversement ; ce que l'on améliore d'un côté, on le détériore de l'autre. Lorsqu'on doit mesurer des signaux, les conséquences de ce principe sont variables en fonction de leur structure :
 - les signaux FM abrupte sont courts avec une grande largeur de bande ; on est donc sensé exiger une plus grande précision pour la mesure de la durée que pour celle de la largeur de bande. Ces mesures s'effectuant à partir de l'image du spectrogramme grâce à la croix de mesure, une fenêtre FFT de 256 points devrait théoriquement être préférée, pour améliorer visuellement les limites du signal en durée ;
 - les signaux QFC sont longs avec une très faible largeur de bande ; les exigences sont donc inversées, avec l'attente d'une plus grande précision pour la mesure de la largeur de bande que pour celle de la durée. Une fenêtre FFT de 1024 améliorerait donc la précision d'affichage de la très faible largeur de bande visuellement sur le spectrogramme (nous verrons plus loin comment contourner ce problème, en effectuant les mesures fréquentielles de FI et FT grâce à la densité spectrale), mais étirerait le signal latéralement, majorant la mesure de durée (qui elle se réalise grâce à la croix de mesure) par rapport à la réalité.

Après de nombreux essais comparatifs... »

- ❖ **p. 74** : ligne 1 ; remplacer « les enregistreurs périphériques à 44,1 kHz... » par « les enregistreurs périphériques à 441 kHz... ».
- ❖ **p. 74** : ligne 4, remplacer « ...pour avoir le même type de représentation. » par « ...pour retrouver les mêmes proportions visuelles de représentation. »
- ❖ **p. 74** : alinéa « Threshold », ligne 2, modifier comme suit : « ...et inversement ; on peut configurer le seuil par défaut sur une valeur médiane pour permettre toute latitude dans un sens ou dans l'autre ; c'est un paramètre dont nous aurons à nous servir... »
- ❖ **p. 74** : § Densité spectrale (Power spectrum), ligne 1 ; remplacer « La fenêtre « Oscillogram settings – default values » ; les éléments... » par « La fenêtre « Power spectrum settings – default values » ; les éléments... ».
- ❖ **p. 74** : alinéa « FFT size », à remplacer par : « la configuration est plus complexe que pour le spectrogramme, car ici la précision de mesure due à la largeur de fenêtre FFT que l'on va sélectionner par défaut, a une incidence particulière dans un cas très précis. La densité spectrale donne une représentation en courbe de l'évolution de l'intensité tout au long de la largeur de bande fréquentielle. Il s'ensuit logiquement que lorsque le signal est une QFC, la courbe de densité spectrale affiche un pic étroit, toute l'énergie étant concentrée dans une gamme fréquentielle très étroite ; et inversement pour une FM abrupte : l'énergie est diluée dans une large gamme de fréquences, et on obtient une courbe en cloche étalée. Or, lorsqu'on recherche une grande précision dans la mesure de fréquence du maximum d'énergie (FME), sur une FC ou QFC notamment, il faut avoir à l'esprit que plus la fenêtre FFT de la densité spectrale est large, plus la précision est grande : pour mesurer la FME d'une QFC on devrait théoriquement choisir une fenêtre de 1024 ou 2048 points. Cette largeur de fenêtre de calcul est visualisable sur BatSound : il suffit de cliquer avec le curseur de marquage (Marking cursor) sur un endroit précis du spectrogramme et de demander une densité spectrale ; le trait vertical du spectrogramme devient alors une bande sombre ; si l'on fait un clic droit sur la fenêtre de densité spectrale, et que l'on modifie dans « Settings – current diagram » la taille de fenêtre FFT, on visualise aussitôt sur le spectrogramme les modifications de largeur de la bande temporelle de calcul. Une bande large est sans incidence pour une mesure de FME qui porte sur l'ensemble d'un signal de plusieurs millisecondes, mais pour mesurer la fréquence initiale d'une QFC (c'est-à-dire une zone temporelle très étroite), s'il se produit (comme souvent) une légère modulation de fréquences descendante dans les premières millisecondes, et que la largeur de fenêtre de calcul est de 2,7 ms (comme c'est le cas en 1024 points pour une F_e de 384 kHz), la valeur de notre mesure de FI ne sera précise que théoriquement ; elle sera en réalité minorée, étant une médiane du balayage fréquentiel à l'intérieur de la fenêtre de calcul trop large, et non une mesure du tout début du signal. C'est donc dans ce cas précis (mesure de la fréquence initiale d'une QFC) que l'on choisira une FFT de densité spectrale de 256 points (la largeur de fenêtre FFT passe alors à 0,7 ms pour une F_e de 384 kHz) ; et seulement dans ce cas : pour toutes les autres mesures en densité spectrale, 512 points sera la règle. Lorsque la fenêtre FFT diminue la précision de mesure diminue aussi (en 384 kHz de F_e , elle est de $\pm 0,37$ kHz en 512 points, et $\pm 0,75$ kHz en 256 points) ; la densité spectrale, pour une QFC, donne alors une colonne plus large en 256 qu'en 512 : pour estomper efficacement cette marge d'erreur, il faut toujours positionner la croix de mesure sur la médiane de la colonne, quelle que soit la forme de son sommet (figure 42 p. 94) ; »
- ❖ **p. 74** : alinéa « les niveaux mini et maxi des axes peuvent... », ajouter à la fin : « ...sans incidence sur les prises de mesures. On évitera cependant de modifier dans

de trop grandes proportions l'échelle des fréquences, l'idéal étant de la laisser aux alentours de 190 kHz, ce qui permet à l'observateur de mémoriser un référentiel visuel de la distribution des signaux dans la totalité de la gamme couverte par les espèces européennes (les signaux du Murin de Natterer pouvant débiter à plus de 170 kHz) ;

- ❖ **p. 75** : fin du § 3 ; phrase en gras à mettre en police normale + supprimer (en rouge) et ajouter (en bleu) : « La fréquence d'échantillonnage doit par contre être divisée par 10 lorsque la séquence provient d'un enregistreur hautes fréquences (**Pettersson D1000X et D500X, SM2 ou EM3 de Wildlife Acoustics...**), afin de permettre une lecture en expansion par 10 (le fait de diviser par 10 la fréquence d'échantillonnage dans « Sound Format » ne modifie pas cette dernière, mais modifie seulement la vitesse de lecture). Le même résultat peut être obtenu, sur les versions de BatSound postérieures à 4.4, en modifiant la vitesse de lecture par défaut (1/10 dans « Play speed » de l'onglet « Sound »).
- ❖ **p. 76** : § 2, lignes 3-4, supprimer la parenthèse « (**voir chapitre « L'identification auditive grâce à l'hétérodyne », p. 103**) »
- ❖ **p. 76** : avant-dernier alinéa ; remplacer « ...va subir selon le matériel utilisé **jusqu'à cinq** conversions analogique/numérique, qui en théorie... » par « ...va subir selon le matériel utilisé **de une (détecteur à carte mémoire intégrée) à trois (détecteur avec enregistreur numérique périphérique)** conversions analogique/numérique, qui en théorie... ».
- ❖ **p. 77** : déplacer l'encadré sous le titre « LE SPECTROGRAMME ; REPRESENTATION DE LA STRUCTURE ». Texte de l'encadré, ajouter au début : « Les termes « sonogramme » et « spectrogramme » conduisent au même résultat de représentation graphique ; la différence tient au processus de calcul : pour le premier il se réalise dans une fenêtre fréquentielle et pour le second dans une fenêtre temporelle ; le logiciel BatSound correspond au second cas, on parle donc de spectrogramme. C'est la représentation... »
- ❖ **p. 77** : fin du 2^e § ; rajouter : « ...selon une tendance cohérente avec une interprétation « écologique »). Il est possible que ces phénomènes uniquement audibles d'amorce et de claquement soient trop brefs pour les visualiser à l'aide d'une analyse FFT (algorithme couramment utilisé en traitement numérique du signal pour transformer des données discrètes du domaine temporel dans le domaine fréquentiel), qui utilise une large fenêtre temporelle. La solution pourrait être d'avoir une fréquence d'échantillonnage beaucoup plus élevée pour diminuer la fenêtre temporelle d'une FFT. En fait, les canaux d'analyse humaine n'ont quasiment pas de fenêtre temporelle ; notre oreille pourrait être comparée à une colonne de filtres étroits qui analyse l'intensité en permanence dans leur domaine de fréquence. Il est déjà possible d'implémenter ce type de fonctionnement dans de nouveaux composants spécialisés. Reste à attendre que ces techniques soient appliquées à l'analyse des signaux des chiroptères (J-D. Vrignault, comm. pers.). ».
- ❖ **p. 81** : ligne 2 ; ajouter : « ... donc le qualificatif imagé de FM abrupte (signal FM dont la largeur de bande est supérieure à 40 kHz). »
- ❖ **p. 81** : fin du § sous figures 22 à 25 ; remplacer « ... plus rarement à courbure convexe (**figure 25**) ; **nous essaierons de formuler des hypothèses sur le déterminisme de ces formes dans le chapitre VI « Ecologie acoustique », p. 301.** » par « ... plus rarement à courbure convexe (**figure 25**). Ces différents types de courbures sont directement en lien avec l'horizon de curiosité de l'individu : les signaux linéaires

indiquent un intérêt élevé pour des objets situés à courte distance, ils ne dépassent pas 3 ms de durée chez une Sérotine ou une Noctule, 2,5 ms chez une Pipistrelle et chez les petites espèces du genre *Myotis* et atteignent 5,5 ms chez *M. myotis/blythii/punicus* ; les signaux à double courbure sigmoïde correspondent au contraire aux milieux plus ouverts : la pente intermédiaire plus douce donne plus d'énergie à cette partie du signal et en augmente la portée. En termes de balance énergétique, la production de signaux FM implique une grande dépense à plusieurs niveaux : le balayage d'une grande largeur de bande, l'utilisation de hautes fréquences, l'augmentation de la récurrence et le ralentissement du vol (tous deux consécutifs au faible rayon de détection) sont très dispendieux en énergie. Un Molosse de Cestoni en QFC sur 10 kHz avec des intervalles de 500 à 800 ms et bénéficiant de l'énergie cinétique pour voler vite, consommera beaucoup moins pour la même distance parcourue. Cela laisse supposer que la rentabilité de chasse pour les espèces FM doit être supérieure ; de fait, la probabilité de rencontre avec une proie par unité de volume, est bien supérieure en moyenne en milieu forestier par rapport au milieu aérien où la ressource est très diluée.

- ❖ **p. 81** : dernière ligne, ajouter : « (mais ce seuil trouve une validité en écologie acoustique : sa transgression vers le haut détermine un changement subit de degré de curiosité en lien avec des obstacles ou proies détectés) »
- ❖ **p. 84** : ligne 6 ; remplacer « **seulement** » par « **principalement** »
- ❖ **p. 87** : fin du § 1 ; remplacer « **les harmoniques sont généralement d'une intensité plus faible que le fondamental.** » par « dans le cas le plus courant d'une distribution de l'intensité dite « normale », c'est le fondamental qui a le plus d'énergie, les harmoniques devenant d'autant plus faibles qu'ils sont placés haut dans la gamme de fréquences (car l'atténuation augmente avec la fréquence). »
- ❖ **p. 88** : placer l'encadré si possible en fin de § ; dernière ligne de l'encadré, ajouter : « ... (les signaux les plus estompés **ou au contraire saturés** seront délaissés pour la prise de mesures). »
- ❖ **p. 89** : § Généralités, lignes 9-10, souligner et compléter la phrase « Il convient de choisir une largeur de fenêtre temporelle autour de 50 ms pour obtenir un zoom correct sur le signal à mesurer ; le zoom doit s'effectuer en respectant la hauteur de l'axe des fréquences, pour ne pas distordre l'apparence du signal. »
- ❖ **p. 89** : § Généralités, Identifiant du signal, 1ère ligne, remplacer : « **tout signal mesuré doit pouvoir ensuite être retrouvé au sein d'une séquence lors d'éventuels contrôles.** » par « en cas d'archivage des mesures pour d'éventuels contrôles ultérieurs, tout signal mesuré doit pouvoir ensuite être retrouvé au sein d'une séquence. »
- ❖ **p. 89** : § Généralités, Intervalle signal compris, remplacer le texte complet « **cette mesure va permettre de placer un ensemble de signaux dans une gamme de récurrence, qui va être indicatrice de l'environnement de vol et du comportement de l'individu ; ce critère sera notamment utile pour les *Myotis*. La valeur va intégrer la durée du signal (figure 34), pour des raisons de cohérence biologique (il serait absurde de retirer le signal de la notion de récurrence) mais surtout pour permettre ensuite de quantifier la récurrence (n. signaux/sec.) ou de calculer le taux d'émission (durée cumulée des signaux/durée totale x 100, révélatrice des différentes stratégies de sonar). Pour un emploi simplifié, la notion de récurrence dans le chapitre (IV.C.5.b) sur l'identification du genre *Myotis*, est exprimée en durée moyenne des intervalles.** » par « la notion de rythme d'une séquence est primordiale dans cette méthode, c'est à

travers sa récurrence et sa régularité que l'observateur va décoder le degré de curiosité de l'individu, son comportement de vol dans un contexte donné. Avec un peu d'entraînement sur des séquences types pour chaque groupe d'espèces, il est facile et bien plus rapide d'apprécier les critères rythmiques auditivement. Mais dans quelques cas, au moins durant la phase d'apprentissage, il peut être utile de réaliser des mesures des intervalles. La valeur va intégrer la durée du signal (figure 34) pour des raisons de cohérence biologique ; il serait en effet incohérent de retirer le signal de la notion de récurrence, ne serait-ce que pour permettre ensuite de quantifier la récurrence (n. signaux/sec.) ou de calculer le taux d'émission (durée cumulée des signaux/durée totale x 100, révélatrice des différentes stratégies de sonar). Pour un emploi simplifié, la notion de récurrence dans le chapitre (p. 194) sur l'identification du genre *Myotis*, est exprimée en durée moyenne des intervalles. »

- ❖ **p. 91** : lignes 1-2 : ajouter et corriger « ...la FI est un paramètre qu'il faut parfois s'abstenir de mesurer, ou qui peut être évalué en tant que minimum majoré si le signal n'apparaît manifestement pas complet (par déduction de sa forme typique sigmoïde par exemple), plutôt que d'indiquer des valeurs sous-estimées... »
- ❖ **p. 91** : alinéa Fréquence du maximum d'énergie (FME), remplacer « **la sélection du signal doit peu ou pas déborder de ses limites de durée (verticalement)** ; » par (souligner) « la sélection du signal ne doit pas déborder de ses limites de durée (figure 38) : on prend en compte tout le signal mais rien que le signal ; »
- ❖ **p. 92** : fin § 1 ; éliminer l'espace entre lignes 2 et 3 (c'est la suite de l'alinéa « Cas particuliers »). A la suite (après « ... indications à suivre. »), insérer la phrase suivante : « Les signaux d'Oreillard présentent une particularité, abordée dans l'encadré p. 93. »
- ❖ **p. 92** : alinéa Fréquence initiale (FI) ; fin du § ; remplacer : « **Détail important : afin d'améliorer la précision du pic d'énergie, il faut donner à la largeur de fenêtre FFT de la densité spectrale une valeur de 256 points – au lieu de 512 pour les FM (clic droit sur Power spectrum, Settings – current diagram, FFT size : 256) ; la prise de mesure se fait ainsi sur une fenêtre plus étroite. Ce paramétrage doit être vérifié pour toute mesure de densité spectrale sur QFC ou FC.** » par « Détail important : afin de mesurer la fréquence au tout début du signal (car c'est là que se produit une modulation descendante lorsqu'elle existe), il faut travailler sur une fenêtre temporelle plus étroite, donc donner à la largeur de fenêtre FFT de la densité spectrale une valeur de 256 points au lieu de 512 (clic droit sur Power spectrum, Settings – current diagram, FFT size : 256). Ce paramétrage ne concerne que la mesure de fréquence initiale d'une QFC ; pour toutes les autres mesures on reviendra à 512 points. Nous sommes ici face à un dilemme, car réduire la largeur de fenêtre FFT a aussi pour effet de réduire la précision de la mesure fréquentielle (voir § « Densité spectrale ; FFT size » p. 74) : avec une F_e de 384 kHz, la précision de mesure de fréquences est de $\pm 0,37$ kHz avec 512 points, et de $\pm 0,75$ kHz à 256 points. Il en résulte, sur analyse spectrale, un dôme ou cône tronqué sur 256 points au lieu d'un pic plus étroit sur 512 points. Nos tests montrent que sur 256 points, en positionnant la croix de mesure sur la médiane du dôme ou cône (figure 42), la marge d'erreur est réduite à $\pm 0,25$ kHz ; on retiendra donc cette façon de procéder. ».
- ❖ **p. 92** : alinéa Fréquence terminale (FT) ; ajouter au début (mettre entre parenthèses) : « (après la mesure de la FI, retour à 512 points de fenêtre FFT en densité spectrale) ; même opération... »

- ❖ **p. 92** : alinéa Fréquence du maximum d'énergie (FME), supprimer « , mais avec une fenêtre FFT de 256 au lieu de 512 »
- ❖ **p. 93** : encadré Cas particulier des signaux FM du genre *Plecotus* ; 1^{er} §, dernière ligne, ajouter : « ...décalés verticalement et plus ou moins alignés horizontalement. » ; 3^e § remplacer « trois » par « quatre » dans la phrase « ...car ces deux variables se sont avérées intéressantes à croiser pour différencier les quatre espèces d'Oreillard étudiées. »
- ❖ **p. 94** : 1^{ère} phrase légende figure 43, remplacer « Positionnement de la sélection pour obtenir une densité spectrale avec fenêtre FFT de 256, afin d'avoir la mesure de FT la plus juste sur une fin de signal QFC. » par « Positionnement de la sélection pour obtenir une densité spectrale (fenêtre FFT de 512), afin d'avoir la mesure de FT la plus juste sur une fin de signal QFC. »
- ❖ **p. 95** : § Mesures d'un signal FM/QFC ou FM aplanie, alinéa Fréquence terminale (FT), remplacer « ... c'est à dire à l'aide de la densité spectrale (512 points). Il arrive que des signaux FM aplanie se terminent par une très courte FM descendante (figure 110, p. 180), voire plus rarement remontante. On sélectionne alors la fin de la partie QFC en tant que référence de la FT. »
- ❖ **p. 95** : § Mesures d'un signal FM/QFC ou FM aplanie, alinéa Fréquence du maximum d'énergie (FME) ; remplacer « ...mais avec une fenêtre FFT de 256 au lieu de 512 ; » par « ...avec une fenêtre FFT de 512 ; »
- ❖ **p. 95** : légende figure 47, remplacer « Positionnement de la sélection pour obtenir une densité spectrale avec fenêtre FFT de 256, afin d'avoir la mesure de FT la plus juste sur une fin de signal QFC. » par « Positionnement de la croix de mesure sur la médiane du pic d'énergie, afin d'obtenir une mesure de FT d'une QFC la plus juste possible sur densité spectrale (fenêtre FFT de 512). »
- ❖ **p. 96** : fin du § « Cas particulier » ; ajouter (à la ligne) : « Cas de certains signaux convexes : les signaux sonar-social de *M. daubentonii* ont parfois une partie FM initiale ascendante (figures 80 et 81 p. 152). Il est généralement superflu d'effectuer des mesures sur ses signaux, leur caractère unique dans la faune européenne permettant de les attribuer instantanément à l'espèce émettrice. Cependant, dans le cas où l'on se propose d'effectuer une mesure de largeur de bande, on notera que les notions de « fréquence initiale » et « fréquence terminale » doivent ici être remplacées respectivement par celles de « fréquence maximale » (correspondant dans ce cas au sommet de la partie QFC) et « fréquence minimale » (si le début de la FM initiale ascendante est inférieur à la fin de la FM terminale descendante). La procédure pour les signaux de Rhinolophes (voir plus loin) est identique, de même que son aspect superflu dans un but d'identification. »
- ❖ **p. 96** : alinéa « Durée partie FC » ; remplacer : « la croix de mesure doit être positionnée sur le trait fin de la FC à la naissance de la FM initiale (clic gauche), puis à la naissance de la FM terminale (sans cliquer) ; » par « la croix de mesure doit être positionnée sur le trait fin de la FC à la fin de la FM initiale (clic gauche), puis à la naissance de la FM terminale (sans cliquer). A noter que cette mesure n'est pas discriminante pour l'identification des espèces, elle ne sert qu'à disperser la seule variable informative (fréquence de la partie FC) ; elle n'a donc pas besoin d'être précise ; »
- ❖ **p. 97** : alinéa « Fréquence de la partie FC » ; remplacer : « elle s'effectue grâce à la densité spectrale avec une fenêtre FFT de 256 ; la sélection peut englober toute la

durée de la FC ou une partie seulement de celle-ci sans que la valeur en soit modifiée ; il est recommandé par contre de sélectionner les signaux les plus intenses de la séquence pour éviter le décalage fréquentiel Doppler dû au déplacement de l'animal. » par « elle s'effectue grâce à la densité spectrale avec une fenêtre FFT de 512 points (voire 1024 si on veut être encore plus précis : avec une longue FC cette fenêtre est bien adaptée) ; si la courbe affiche un cône tronqué au lieu d'un pic étroit, positionner la croix de mesure sur la médiane du cône ; la sélection peut englober toute la durée de la FC ou une partie seulement de celle-ci sans que la valeur en soit modifiée ; il est indispensable de sélectionner les signaux les plus intenses de la séquence pour éviter le décalage fréquentiel Doppler dû au déplacement de l'animal. »

- ❖ **p. 100** : phrase en rouge dans la marge : remplacer « programme » par « processus »
- ❖ **p. 100** : ligne 8 : réactualiser : ...85 sessions de formation...
- ❖ **p. 100** : à partir ligne 13, modifier : « ...leur existence (dont on pourrait se demander si elle ne résulte pas d'un artefact d'enregistrement : ce n'est pas le cas, comme le prouve la constance des pics pour une espèce donnée quels que soient le matériel et les conditions), trouve une validité écologique éclatante dans la constance de présence ou d'absence de tel ou tel pic d'énergie, selon le comportement et/ou le milieu de vol de l'individu émetteur. Ces corrélations toujours vérifiées ont progressivement transformé en certitude l'hypothèse développée ici, que les pics d'énergie... »
- ❖ **p. 100** : fin du 1^{er} § (alinéa « auditive »), actualiser et ajouter : « ...mais ont une fonction dans les performances de la localisation acoustique (voir chapitre 7 « Ecologie acoustique », p. 301 ; voir aussi encadrés p. 138 et 142). Enfin l'appréciation du comportement, croisant les caractéristiques structurales et fréquentielles des signaux, et le rythme des séquences (en hétérodyne et/ou en expansion), se fait majoritairement par l'écoute. »
- ❖ **p. 101** : 2^e ligne, ajouter : « L'enregistrement d'animaux non marqués juste après leur relâcher a été très rarement utilisé (et uniquement pour des espèces FM, qui adoptent plus rapidement un comportement acoustique normal), afin d'éviter... »
- ❖ **p. 101** : actualiser tableau 1 et sa légende :

Tableau 1 : Liste des 37 espèces (hors Macaronésie) dont les signaux ont fait l'objet d'analyses informatique dans le cadre du programme de recherches en écologie acoustique.

Espèces	N. séquences	N. signaux FM	N. signaux FC & QFC	TOTAL
<i>Rhinolophus hipposideros</i>	129		129	129
<i>Rhinolophus ferrumequinum</i>	53		53	53
<i>Rhinolophus euryale</i>	151		151	151
<i>Rhinolophus mehelyi</i>	26		26	26
<i>Myotis daubentonii</i>	38	336		336
<i>Myotis capaccinii</i>	45	387		387
<i>Myotis dasycneme</i>	38	332		332
<i>Myotis brandtii</i>	40	672		672
<i>Myotis mystacinus</i>	31	329		329
<i>Myotis alcaethoe</i>	17	289		289
<i>Myotis emarginatus</i>	30	216		216
<i>Myotis nattereri/crypticus</i>	52	207		207
<i>Myotis escaleraei</i>	8	70		70
<i>Myotis bechsteinii</i>	31	270		270
<i>Myotis myotis</i>	41	237		237
<i>Myotis blythii</i>	20	199		199
<i>Myotis punicus</i>	7	70		70
<i>Nyctalus noctula</i>	21	113	89	202

<i>Nyctalus leisleri</i>	14	50	73	123
<i>Nyctalus lasiopterus</i>	27	119	77	196
<i>Eptesicus isabellinus</i>	10	19	16	35
<i>Eptesicus serotinus</i>	37	238	9	247
<i>Eptesicus nilssonii</i>	28	96	93	189
<i>Vespertilio murinus</i>	17	107	77	184
<i>Pipistrellus pipistrellus</i>	27	92	61	153
<i>Pipistrellus nathusii</i>	13	59	49	108
<i>Pipistrellus kuhlii</i>	35	168	59	227
<i>Pipistrellus pygmaeus</i>	30	79	61	140
<i>Hypsugo savii</i>	11	49	32	81
<i>Plecotus auritus</i>	33	246		246
<i>Plecotus austriacus</i>	14	252		252
<i>Plecotus macrobullaris</i>	21	197		197
<i>Plecotus sardus</i>	24	106		106
<i>Barbastella barbastellus</i>	16	109	1	110
<i>Miniopterus schreibersii</i>	22	84	40	124
<i>Tadarida teniotis</i>	33	52	92	144
TOTAL	1190	5849	1188	7037

- ❖ **p. 102** : remplacer le 1^{er} § (« **Le tableau 1... n'ont pas été étudiés.** ») par le suivant : « **Le tableau 1** détaille, par espèce et par grands types de structures, le nombre de séquences et de signaux analysés informatiquement (logiciel BatSound ; PETERSSON ELEKTRONIC ABTM) ; les critères auditifs relatifs à l'hétérodyne ou à l'expansion de temps ont été vérifiés sur des centaines de séquences et des milliers de signaux pour la majorité des espèces concernées. Le sonar de *Myotis escaleraei* (décrit récemment en Espagne et découvert en 2008 dans les Pyrénées-Orientales françaises) n'est connu qu'en sortie de gîte ; *M. crypticus* a fait l'objet de nombreux enregistrements, mais l'absence totale de différences avec *M. nattereri* (voir monographie de cette espèce p. **XX**) a conduit à fusionner les deux taxons dans les résultats ; *Rhinolophus mehelyi* n'est connu que grâce aux enregistrements (en sortie et à l'intérieur du gîte) réalisés et aimablement communiqués par Mauro Mucedda en Sardaigne ; *R. blasii* est traité d'après les données bibliographiques ; *Plecotus sardus* a fait l'objet d'enregistrements sur terrains de chasse, en aveugle, en avril 2023 dans le centre-est de la Sardaigne (voir Barataud, 2024c), et les signaux récoltés sont concordants avec les séquences de cette espèce enregistrées en sortie de gîte et après relâcher, aimablement communiquées par Mauro Mucedda. Trois espèces de Macaronésie (*Nyctalus azoreum*, *Pipistrellus maderensis*, *Plecotus tenerifae*) ont également été étudiées et sont abordées dans le chapitre « Monographies ». *Eptesicus anatolicus*, *Myotis aurascens*, *M. nustrale*, *P. begognae* et *P. kolombatovicii* n'ont pas été étudiées. »
- ❖ **p. 102** : fin du 3^e §, ajouter : « ...elle est plus issue de la tradition des sciences naturelles que de celles des sciences physiques et mathématiques. De plus, l'unité d'échantillonnage statistique est ici non pas l'individu (ce qui imposerait que tous les signaux analysés proviennent d'individus différents comme dans le cas d'une étude sur la signature vocale individuelle chez une espèce donnée) mais le type de comportement (en lien avec le degré de curiosité de l'individu, ses circonstances de vol... éléments pouvant varier d'un signal à l'autre). Ainsi, il était non seulement inutile mais improductif et incohérent de ne pas analyser plusieurs signaux d'une même séquence individuelle, car c'est cela qui permet de représenter le continuum comportemental sur lequel cette méthode base sa robustesse. »

- ❖ p. 102 : dernière ligne, ajouter : « il est donc important de vérifier les critères fréquentiels **voire comportementaux** décrits dans cet ouvrage. »
- ❖ p. 103 : 3^e ligne, modifier : « ...ou obsolète par de nombreux débutants **ou des praticiens exclusifs de l'analyse informatique**. Combien d'entre eux pourtant ont redécouvert ce procédé lors de stages **acoustiques**, après ... »
- ❖ p. 103 : lignes 5 et 6 avant fin ; remplacer « ...sont autant de facteurs **qui expliquent ces différences et** que le constructeur, soumis... » par « ...sont autant de facteurs **d'influence**, que le constructeur, soumis... »
- ❖ p. 104 : fin du § 1, ajouter : « ...temps de réflexion, **d'où l'importance d'une période d'entraînement initial**. »
- p. 104 : § La fréquence du maximum d'énergie, ligne 11, enlever l'accent sur le « à » : (...si le signal **a** une bande étroite)... »
- ❖ p. 104 : § La fréquence du maximum d'énergie, ligne 12, ajouter : « ...modèles de détecteur (PETERSSON D240X et D1000X, **Active Recorder de Jean-Do Vrignault**) offrent... »
- ❖ p. 104 : § La fréquence du maximum d'énergie, ligne 17, ajouter : « ... dans la faible durée de la séquence (**pour le D240X limité à 3,4 s de mémoire tampon**) qui ne laisse que très peu de temps... »
- ❖ p. 104-105 : dernière ligne p. 104, 1^{ère} ligne p. 105, remplacer « ...cependant le **1^{er} harmonique (H1) des rhinolophes, bien que moins intense que H3** permet souvent de les contacter sans avoir à... » par « ...cependant le **fondamental des Rhinolophes, bien que moins intense que l'harmonique 1 (H1)**, permet souvent de les contacter sans avoir à... »
- ❖ p. 105 : encadré ; ligne 3, ajouter : « ...nous entendons (**figures 50a et 50b**) :... » ; fin de l'encadré, ajouter : « → La mémorisation parfaite de ces sonorités améliore la rapidité d'exécution du battement zéro. **Mais avec l'habitude, très vite, il devient souvent superflu d'effectuer le battement zéro !** En effet, chaque nuance de sonorité est indicatrice d'une distance fréquentielle par rapport au réglage du battement zéro : poè ± aigu = 1 à 3 kHz au-dessus du battement zéro, etc. Ainsi, on en vient vite à optimiser l'efficacité de détection et d'identification immédiate en se positionnant plus souvent, par exemple, sur **40-42 kHz** : tous les poè et pli proviendront de *P. kuhlii/nathusii* (un tchie sur 39 = QFC de *P. nathusii*) et tous les ti de *P. pipistrellus* (donc un tri immédiat sans manipulation !) ; les té seront de la FM, et les té bitonaux = *B. barbastellus* (voir **son 2.63**) ; un son typique de Rhinolophe correspondra au fondamental de *R. ferrumequinum* ; les sons à sonorité « étouffée » indiqueront des harmoniques de grandes espèces dont la FME est en dessous de 30 kHz. Cela évite un balayage permanent fastidieux et souvent improductif (surtout s'il est trop rapide) ; de courtes et régulières visites vers 20-30 kHz (Sérotines, Noctules...) ou 50 kHz (*P. pygmaeus*, *M. schreibersii*) compléteront l'inventaire. » ; puis ajouter les deux figures ci-dessous, avec leurs légendes :

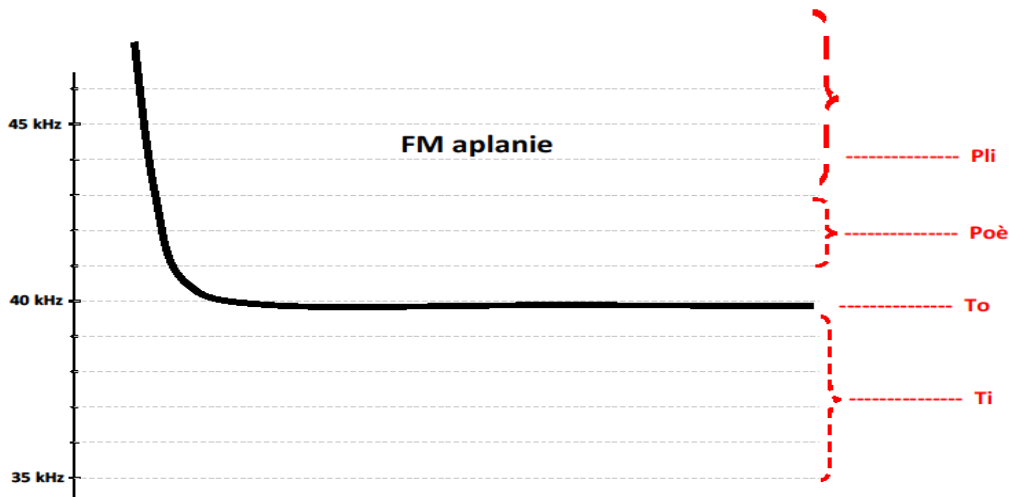


Figure 50a : dessin d'un signal de structure FM aplanie situé dans sa bande de fréquence avec une FME (correspondant à la partie QFC) sur 40 kHz ; les différentes sonorités hétérodyne, exprimées en onomatopées, se répartissent tout au long de la fenêtre de sensibilité (± 5 kHz de part et d'autre de la FME où se situe le battement zéro) ; mais au-dessus de la partie QFC, la fenêtre de sensibilité est plus grande grâce à la partie FM, restituant des « pli » de plus en plus aigus).

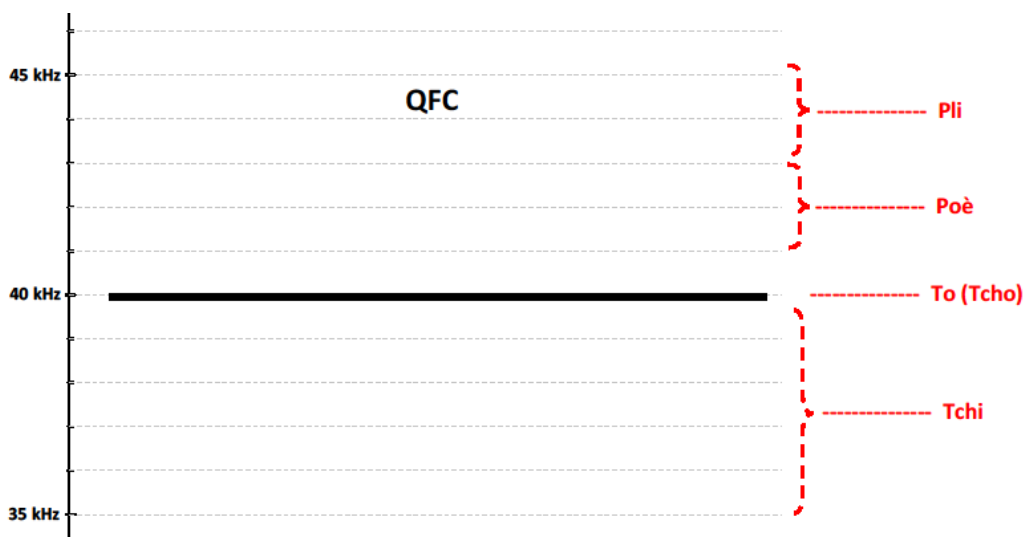


Figure 50b : dessin d'un signal de structure QFC situé dans sa bande de fréquence avec une FME sur 40 kHz ; les différentes sonorités hétérodyne, exprimées en onomatopées, se répartissent tout au long de la fenêtre de sensibilité (± 5 kHz de part et d'autre de la FME où se situe le battement zéro).

- ❖ **p. 106** : encadré, fin, supprimer « **abrupte** »
- ❖ **p. 107-108** : § 1) Le rythme de croisière ; modifier comme suit : **rythme ne montrant aucune augmentation ou diminution progressive de la récurrence au sein d'un groupe de quelques signaux.**
 - a) lent et irrégulier** : il indique un "transit passif" (transit = déplacement d'amplitude indéterminée entre deux secteurs), l'animal s'économise car le milieu (faible densité de proies, libre d'obstacles et/ou bien mémorisé) traversé à cet instant précis ne requiert pas une collecte élevée d'informations ;

b) lent et régulier : il indique un comportement de "recherche passive", la recherche d'obstacles ou de proies est activée mais la probabilité de rencontre est considérée comme faible par l'animal ;

c) rapide et irrégulier : les signaux sont le plus souvent groupés par paires, avec un très léger décalage de fréquences parfois perceptible entre les deux signaux de chaque paire. Il est souvent le fait d'individus longeant une lisière d'où des éléments physiques peuvent émerger (branches, proies...), donc confrontés à une problématique de recherche de cibles dans un bruit de fond uniforme ;

d) rapide et régulier : il indique une recherche active de proies ou d'obstacles.

Pour illustrer la différence de comportement entre tous ces rythmes, imaginez que vous êtes : a) en randonnée, traversant une vaste pelouse alpine ; b) vous arrivez en limite forestière, avec juste quelques arbres clairsemés ; c) vous pénétrez en sous-bois, prêtant attention à d'éventuels champignons ; d) votre regard tombe sur un magnifique cèpe, modifiant votre image de recherche au sol, devenant subitement beaucoup plus active et centrée sur une cible précise.

- ❖ **p. 108** : § 3) Rythme de capture, remplacer « rythme montrant une augmentation progressive de la récurrence au sein d'un groupe de signaux, faisant suite à un rythme d'approche. » par « rythme extrêmement rapide et régulier, faisant suite à un rythme d'approche. »
- ❖ **p. 110** : fin du § Echos sur fréquences basses ; ajouter : « ...caractéristiques d'un harmonique) sur 48 kHz. Cet inconvénient peut aussi être considéré comme un avantage, car il augmente la plage de sensibilité hétérodyne et permet de détecter des signaux situés à plus de 5 kHz en dessous du réglage du détecteur, dont la sonorité « sourde », « étouffée », deviendra familière avec l'habitude. »
- ❖ **p. 110** : placer l'encadré de telle façon qu'il ne coupe pas un texte.
- ❖ **p. 112** : début encadré ; supprimer « tout d'abord » ; placer l'encadré de telle façon qu'il ne coupe pas un texte.
- ❖ **p. 112** : début du 2^e § : mettre « tableau 2 » en gras.
- **p. 113** : alinéa 2, ligne 5 ; insérer : « ...restera en FM aplanie. Ainsi, une séquence de chasse active avec une sonorité « tchi » sur 39 kHz environ (indiquant une QFC sur 39-40 kHz), amènera à conclure *P. nathusii* avec certitude. »
- ❖ **p. 113** : alinéa 4, ligne 10 ; insérer : « ...en émission de croisière à rythme plus lent, d'alterner... »
- ❖ **p. 114** : § Couple *M. schreibersii* / *P. pygmaeus* ; insérer en fin de ligne 9 : « ... (fin des sons 2.35 et 2.36 ; son 2.38). Enfin, lorsque des phases de capture sont présentes, on constate que leur récurrence est bien plus forte chez *M. schreibersii* (son 2.38), et parfois longues en plusieurs parties (indiquant une poursuite de papillon tympané, apte à détecter son prédateur et tentant de lui échapper). L'hétérodyne peut être suffisant... »
- ❖ **p. 114** : § « Comme dans tous les domaines il existe des cas particuliers », ajouter en fin du 1^{er} § : « ... principalement au printemps lorsque plusieurs individus chassent en groupe (voir encadré p. 170). »
- ❖ **p. 114** : dernier § bas de page ; modifier comme suit : « la mesure de la fréquence du maximum d'énergie devra être majorée (si la chauve-souris s'éloigne du détecteur) ou minorée (si elle se rapproche) de 1 à 3 kHz selon la vitesse de vol de l'animal, sa fréquence et sa situation par rapport au détecteur. Sur une séquence complète on

apprécie assez bien ces éléments grâce au changement progressif ou dégressif de l'intensité des signaux. C'est ainsi que l'on peut mesurer une fréquence de 41 kHz sur une Pipistrelle commune qui s'éloigne en milieu ouvert (alors que sa fréquence réelle est de 42 kHz) ; la structure... »

- ❖ **p. 115** : sons 2.23 et 2.24, lignes 2, remplacer « à membrane » par « à vrai condensateur »
- ❖ **p. 117** : § son 2.38 ; ajouter : « ...les séquences de capture sont pour la plupart de durée normale, mais l'une est particulièrement longue ce qui est assez fréquent chez cette espèce ; la récurrence des signaux en phase de capture est très rapide, plus que chez une Pipistrelle (on entend « zzzz » plutôt que « rrrr »), ce qui est discriminant ; battement zéro... »
- ❖ **p. 118** : ligne 4, remplacer : « A l'opposé *E. serotinus* ne pratique la QFC que lors de phases de transit : c'est un mode d'économie pratiqué dans des circonstances de faible curiosité envers l'environnement de vol, qui n'a été que très rarement mis en évidence. » par « A l'opposé, on peut affirmer qu'*E. serotinus* contactée depuis le sol (en très haut vol, la QFC plane pourrait être utilisée ?) ne pratique jamais la QFC (en tous cas les QFC dites planes, c'est-à-dire avec une largeur de bande < 3 kHz typique d'une espèce QFC type en milieu ouvert). Nous n'avons collecté que quelques signaux QFC > 3 kHz de LB, dans de rares circonstances d'individus en vol élevé ou en transit au-dessus de prairies. Ainsi on peut qualifier la Sérotine commune d'espèce FM aplanie type, qui pratique cette structure en toutes circonstances de vol (hors phase d'approche ou vol en sous-bois dense, ou la structure devient FM). »
- ❖ **p. 118** : 2^e § sur les Noctules, à supprimer et remplacer par : « Enfin le genre *Nyctalus* a la particularité d'alterner souvent, dans les phases de vol de chasse comme de transit, des signaux décalés en FME et en structure : un signal (dit de type A) en QFC plane basse et un signal (dit de type B) en QFC ou FM aplanie à faible largeur de bande, plus aigu. Le décalage de FME entre A et B est de 2 à 4 kHz. Cette alternance peut être utilisée de façon plus ou moins fréquente selon les circonstances (elle disparaît généralement à proximité des obstacles pour les trois espèces, ou en transit passif chez *N. leisleri*) ou selon les espèces (toujours présente chez *N. lasiopterus*, très fréquente chez *N. noctula*, plus inconstante chez *N. leisleri*). L'alternance A-B peut aussi être plus ou moins régulière selon les circonstances de vol (plus le degré de curiosité diminue plus le type A domine) et selon les espèces (toujours régulière chez *N. lasiopterus*, en fonction des circonstances chez *N. noctula*, toujours irrégulière chez *N. leisleri*).
L'énergie portée par un signal étant positivement corrélée à sa durée, à l'étroitesse de sa largeur de bande et à la faiblesse de sa FME, c'est naturellement sur les QFC basses que le battement zéro hétérodyne se fera dans le cas de séquences alternées ; et c'est exactement ce qu'il convient de faire pour séparer les 3 espèces entre elles : c'est la fréquence du type A qui est discriminante. Dans ce cas, l'alternance A – B se traduit en sonorités hétérodyne par « to – tchi » (où to = type A sur le battement zéro, et tchi = type B en dessous du battement zéro) ; si l'alternance donne « to – poè » alors on sait que notre battement zéro est erroné, se situant sur la FME du type B. Les FME annoncées pour les séquences alternées correspondront donc toujours au type A.
Cette particularité de l'alternance des Noctules est souvent la seule qui permet de les séparer des Sérotines et du Molosse, tant le recouvrement fréquentiel est important au sein de ce groupe. »

- ❖ **p. 119** : tableau 3, colonne Milieu ouvert (QFC), effacer les valeurs « 22 à 24 » sur la ligne *E. serotinus*
- ❖ **p. 119** : lignes 1-2, remplacer « *E. nilssoni* groupe souvent des séries de 3 signaux avec un rythme particulier au sein des séquences de chasse (voir son 2.2 par ex. à 53 s, et son 2.40) » par « *E. nilssoni* utilise souvent, quel que soit le milieu de vol, des séries de 3 signaux avec un phrasé particulier au sein des séquences de chasse (voir son 2.2 par ex. à 53 s, et son 2.40). Cette rythmique récurrente est parfois bien isolée, mais le plus souvent noyée dans le train de signaux : une attention ciblée est donc nécessaire ; souvent ce phrasé se répète 2 fois de suite ; »
- ❖ **p. 119** : 2^e alinéa *E. serotinus*, remplacer « *E. serotinus* n'utilise que très rarement la QFC (noté 2 fois en 30 ans !), sa structure naturelle est la FM aplanie même en milieu ouvert ; » par « *E. serotinus* n'utilise quasiment jamais la QFC (2 séquences sur plusieurs dizaines de milliers !), sa structure naturelle est la FM aplanie même en milieu ouvert ; »
- ❖ **p. 119** : alinéa *E. isabellinus*, remplacer « *E. isabellinus*, présente dans une partie de la péninsule ibérique, se démarque par l'usage très fréquent (notamment au crépuscule, avec une chasse élevée en milieu ouvert) de signaux QFC longs qui donnent une sonorité riche (comme pour une Noctule, mais sans l'alternance) entre 21 et 23 kHz ; la distinction entre ces deux espèces très proches est néanmoins délicate en hétérodyne ; » par « *E. isabellinus*, présente dans une partie de la péninsule ibérique, se démarque par l'usage très fréquent (notamment au crépuscule, avec une chasse élevée en milieu ouvert) de signaux QFC longs entre 21 et 23 kHz ; cet usage la démarque donc radicalement d'*E. serotinus* ; mais en chasse active sans utilisation de la QFC, la distinction entre ces deux espèces est impossible ; »
- ❖ **p. 119** : alinéa *N. leisleri* en bas de page, à supprimer
- ❖ **p. 120** : alinea Couple *N. leisleri* / *N. noctula* ; modifier comme suit : « le recouvrement fréquentiel est total en FM aplanie, la distinction est donc impossible dans les circonstances de milieu encombré comme une allée en sous-bois ou un boisement clair. Mais lorsque ces deux espèces pratiquent la QFC, les types A dans l'alternance de FME ne se recouvrent que dans la zone étroite des 21-22 kHz (où *N. leisleri* est en recherche ou transit passifs, alors que *N. noctula* est en recherche active : le comportement est discriminant). *N. leisleri* se distingue avant tout par l'irrégularité de ses alternances ; chez cette espèce, l'ordonnement anarchique des types A et B, leurs caractéristiques très variables, confèrent aux séquences un caractère désordonné, imprédictible, qui contraste avec les productions des autres espèces. Autre critère distinctif : celui de l'apparition brutale des séquences en « salves surprises » ; lorsque *N. leisleri* chasse des papillons tympanés, elle tente de surprendre ces derniers grâce à sa vitesse de vol accumulée en piqués, au terme desquels elle émet brusquement une série de signaux très intenses dans toutes les directions (voir chapitre 7 sur l'écologie acoustique et sons 2.48 à 2.50). »
- ❖ **p. 124** : ligne 6, supprimer « ...des signaux à bande étroite situés sur 34 et 43 kHz, il est parfois possible... »
- ❖ **p. 124** : ligne 15, supprimer « ... Les espèces pratiquant en permanence la FM abrupte sont... »
- ❖ **p. 124** : encadré, remplacer le contenu par « Pour toutes ces raisons, l'ensemble des signaux FM abrupte captés sur le terrain va former un vaste groupe non séparable. Mis à part le cas de la Barbastelle en alternance (son 2.63), il convient de ne jamais

conclure jusqu'à l'espèce pour des signaux FM abrupte, lorsque l'on ne dispose que de l'hétérodyne. »

- ❖ p. 127 : 2^e §, lignes 5 et suivantes, remplacer « Si quelques modèles avec carte mémoire intégrée (permettant un stockage instantané de la séquence) commencent à apparaître sur le marché, les modèles les plus utilisés à l'heure où ces lignes sont écrites impliquent l'usage d'un périphérique d'enregistrement... » par « Si des modèles avec carte mémoire intégrée (permettant un stockage instantané de la séquence) apparaissent de plus en plus sur le marché, des détecteurs comme le Pettersson D240X, encore très utilisé à l'heure où ces lignes sont écrites, impliquent l'usage d'un périphérique d'enregistrement... »
- p. 127 : 7 lignes avant fin intro ; ajouter « ...des données chiffrées précises (attention cependant : elles transcrivent de façon figée du biologique et du comportemental, et sont donc à prendre comme des médianes inscrites dans une dynamique de variation temporelle ; d'où l'indispensable prise en compte de l'analyse du comportement de l'individu !). Cette double... »
- ❖ 127 : ligne 3 avant fin intro, supprimer la parenthèse « (ceux à membrane... incomparable) »
- ❖ 128 : plot coloré en bas de page « FME < 35 kHz (...) » ; texte à remplacer par (avec la même police que « FME < 35 kHz ») : Signaux FM des espèces à composante QFC ; FME < ou > 35 kHz ; plot coloré en bas de page « FME > 35 kHz (*Myotis*) » ; texte à remplacer par (avec la même police que « FME < 35 kHz ») : Signaux FM abrupte genre *Myotis* (à répercuter dans tous les diagrammes du chapitre)
- ❖ p. 129 : rajouter après le son 3.2 : « son 3.2a : cette longue séquence de *R. hipposideros* illustre un comportement de chasse fréquent, de type exploratoire dans un faible volume, pouvant générer plusieurs minutes de contacts acoustiques pour un observateur situé au cœur de la zone active. Ici les trajectoires de vol semblent circulaires, comme l'indiquent les variations corrélées d'intensité et de fréquence (effet Doppler dû au déplacement de l'animal par rapport au microphone). La mesure de la FME de la partie FC doit s'effectuer sur les signaux les plus intenses car ils correspondent à l'alignement dans l'axe du microphone ce qui minimise la distorsion fréquentielle de l'effet Doppler : la FME est ici de 105,8 kHz. On remarque aussi le « taux d'utilisation » du temps d'émission : un Rhinolophe consacre 60 à 80 % du temps à émettre ses signaux, ce que les autres genres européens ne font jamais afin d'éviter le recouvrement temporel entre l'émission d'un signal et la réception de son écho (voir p. 86). »
- ❖ p. 130 : ajouter à la légende du § son 3.9 « signaux QFC/FM de *M. daubentonii* provenant d'un individu en vol au ras de la surface de l'eau, comportement attribuée à de la chasse active, habituellement accompagnée de signaux FM abrupte en abs moy ; enregistrement : P. FAVRE (figure 53). »
- ❖ p. 131 : alinéa Signaux QFC, ligne 7 ; ajouter « ...demande un plus grand entraînement. A l'audition, les signaux QFC ont une amorce explosive (voir encadré p. 138) qui éclate sur la même note que celle qui se prolonge ensuite, donnant à l'ensemble une sensation « cristalline ». Lors de l'analyse informatique... »
- ❖ p. 131 : ajouter à la fin du § Signaux FM aplanie et FM/QFC la phrase suivante : « A l'audition, les longues FM aplanies d'*E. serotinus* à courbure progressive (figure 56 ; son 3.5) laissent le temps à notre oreille d'accompagner la modulation de fréquences ; mais sur les FM aplanies courtes à courbure plus anguleuse de Pipistrelles (figure 57 ;

son 3.6), la modulation initiale est compactée dans notre sensation auditive sous la forme d'un « ts » qui n'a pas la pureté de la QFC (**figure 55 ; son 3.4**). »

- ❖ **p. 131** : remplacer la légende du § son 3.5 par « signaux FM aplanie (voir **figure 56**) de durée longue (> 15 ms) sur 25 kHz environ de FME. »
- ❖ **p. 131** : remplacer la légende du § son 3.6 par « signaux FM/QFC (voir **figure 57**) de durée courte (6 à 7 ms) sur 38 kHz environ de FME. »
- ❖ **p. 132** : 3^e ligne en bas, remplacer « ...**mais cela ne génère jamais une dominance des fréquences terminales comme dans une FM aplanie.** » par « **mais cela ne génère jamais la dominance d'une seule fréquence comme dans une FM aplanie.** »
- ❖ **p. 133** : milieu de l'encadré, ajouter et modifier :
« En rajoutant une consonne en début **et/ou** en fin, on va même pouvoir symboliser les phénomènes d'amorce explosive **et/ou** de claquement final (voir encadré p. 138) :
- « tiii » ou « tuuu » : QFC avec amorce explosive ;
- « tsii » ou « tsuu » : FM aplanie avec amorce explosive
- « tsiuou » : FM abrupte avec amorce explosive ;
- « siuouoc » : FM abrupte avec claquement final ;
- « tsiuouoc » : FM abrupte avec amorce et claquement. »
- ❖ **p. 133** : ajouter à la fin du § **Cris sociaux** la phrase suivante : « Le critère le plus informatif, comme toujours, relève de l'analyse comportementale. Un train de signaux sonar a toujours une rythmique en cohérence avec les impératifs de localisation spatiale. Or les cris sociaux simples qui ressemblent à des signaux sonar en structure et en fréquence (comme chez le genre *Plecotus* par exemple), sont toujours distribués dans le temps de façon isolée (au milieu de longs silences ou de signaux sonar) ou groupée en séries rapprochées, au milieu de longs silences : cette disposition est incohérente en termes de logique sonar. »
- ❖ **p. 133** : § La largeur de bande, lignes 1-2 ; modifier : « ...d'évaluer l'amplitude du balayage fréquentiel des signaux... »
- ❖ **p. 133** : § La largeur de bande, alinéa 2, tirets 1 et 2 ; modifier : « bande étroite (< 40 kHz) et bande moyenne (40 à 80 kHz) »
- ❖ **p. 135-136** : § Le timbre ; remplacer l'ensemble du § par le suivant :
« Ce critère relève exclusivement de l'appréciation auditive. Les différences de timbre perçues d'un signal ou d'une espèce à l'autre dépendent majoritairement de l'absence ou de la présence d'harmoniques et de la répartition de l'intensité entre tous ces composants. On distingue chez les espèces européennes plusieurs grands types de timbre :
 - le timbre sifflé : (**son 3.12**) il domine largement au sein des signaux sonar, il est même exclusif au sein de la plupart des genres. Il est aisé à imiter lorsqu'on siffle entre ses dents, d'où l'appellation choisie... Le point commun à tous ces signaux est la distribution normale de l'intensité : sur l'axe fréquentiel, l'énergie est maximale sur le fondamental puis décroissante tout au long de la gamme des harmoniques ; idem dans l'axe temporel : la distribution de l'énergie tout au long de la durée est identique entre le fondamental et les harmoniques (voir par exemple **figures 56 et 58**) ;
 - le timbre nasillard : (**son 3.13**) ce type de timbre se rencontre assez couramment dans notre environnement sonore familier (certaines voix humaines, clarinette, cris d'oiseaux comme la Linotte mélodieuse). La

sensation auditive, selon les référentiels de chacun, fait appel à quelque chose de « grinçant », ou une voix de fausset... Si l'on éprouve quelques difficultés au début à l'identifier, il suffit d'écoutes répétées pour le mémoriser efficacement. Il se rencontre en Europe uniquement chez 2 genres : *Plecotus* et *Barbastella* ; le point commun entre ces deux genres est leur capacité à émettre par les narines, et ce n'est sans doute pas anodin. En effet, le larynx d'un chiroptère produit un fondamental et ses harmoniques avec une distribution normale de l'intensité ; mais l'énergie portée par chacun des composants peut être filtrée dans le résonateur, qui est soit la cavité buccale, soit la cavité nasale selon le lieu de sortie de l'émission ; or la cavité nasale, à structure non mobile comme la bouche et moins soumise à d'autres usages contraignant sa forme et sa complexité, a pu évoluer plus facilement vers des adaptations centrées sur le filtrage complexe de l'intensité des harmoniques et du fondamental. Ce filtrage peut porter sur la totalité d'un harmonique (comme chez les Rhinolophes) ou sur une partie seulement (**figure 65**) : c'est ce qui se passe chez les Oreillardes et la Barbastelle en Europe (cette particularité est très répandue sous d'autres latitudes, elle est quasi exclusive au sein de la famille des Phyllostomidés, qui cumule plus de 50 % des espèces d'Amérique Centrale). Contrairement aux Rhinolophes, les Oreillardes et la Barbastelle n'émettent par les narines que certains types de signaux, notamment en milieu relativement encombré d'obstacles : la portée requise par un repérage à plus grande distance en milieu ouvert est sans doute incompatible avec les limites d'intensité imposées par une émission nasale ;

- le timbre miaulé : (**son 3.92**) il est la quasi exclusivité (le Molosse ou la Grande noctule, peuvent avoir un timbre miaulé lorsqu'ils émettent des signaux FM en milieu encombré ou au moment où il rasant la surface de l'eau pour boire, voir **son 3.50a**) des Oreillardes lorsqu'ils volent en milieu ouvert ; la durée dépasse alors les 4-5 ms, la FME descend en dessous de 30 kHz et le timbre, de nasillard, devient miaulé. Pourquoi ce qualificatif ? D'abord parce que la consonance « kiaow » rappelle assez bien un miaulement de chat ; mais aussi en référence à une petite histoire humaine locale... Une bourgade de Haute-Vienne, Saint-Léonard-de-Noblat, abrite depuis très longtemps une colonie de Choucas des tours *Corvus monedula* dans les tours de son église ; cette particularité leur a d'ailleurs valu leur appellation de « miauletois », issue du nom occitan du Choucas, la miaule, en référence à son cri. D'où l'idée de baptiser ainsi ce timbre, les signaux en expansion x 10 d'Oreillardes en milieu ouvert ressemblant souvent d'assez près au cri de cet oiseau. C'est sans doute un excellent moyen, par analogie, de mémoriser les sensations issues de ce timbre ;
- le timbre bitonal (ou multitonal) : (**son 3.1**) il se rencontre chez les signaux de structure FM/FC/FM des Rhinolophes. La sensation auditive des longues FC en expansion x 10 semble mêler au sein d'un même son des fréquences différentes, comme si l'on entendait deux signaux identiques superposés en temps, mais décalés en fréquence : l'un grave, et l'autre aigu. Cela s'explique par le déplacement de l'énergie vers l'harmonique 1 (voir **figure 51**), alors que le fondamental reste en général assez marqué pour être audible (le timbre bitonal est logiquement d'autant mieux perceptible que le fondamental est intense). »

❖ **p. 137** : § Répartition de l'énergie, dernières lignes avant le bas ; remplacer : « ... il ne pouvait donc s'agir, vu le nombre d'observations réalisées et la constance des

corrélations, que d'un phénomène produit à la source (et par conséquent, le résultat d'une sélection avec un déterminisme dans le recueil des informations acoustiques) et non un artefact d'enregistrement. » par « ... il ne pouvait donc s'agir, vu le nombre d'observations réalisées et la constance des corrélations, que résulter d'un phénomène dont la cause était liée aux signaux eux-mêmes (en lien peut-être dans certains cas avec nos capacités auditives, voir encadré p. 138) et non d'un artefact d'enregistrement. »

- ❖ p. 138 : fin alinéa 2 ; remplacer : « ... là encore une phase d'éloignement, comme pour l'artefact de l'amorce, pourra trancher. » par « même si une oreille expérimentée arrive souvent à faire la différence, il est peut être utile de supprimer sur BatSound les échos sur une série de signaux pour vérifier si cela élimine la sensation de claquement (voir encadré p. 160). »
- ❖ p. 138 (dernière ligne) & 139 : § Modulation d'amplitude sinusoïdale (mod ampl), modifier : « mais valable aussi pour toute espèce venant boire en surface d'une mare), ou aux interférences du vent dans le microphone, ou encore à la diffraction du signal dans le feuillage ; dans ces exemples il s'agit donc clairement d'artefacts. Il n'est cependant pas exclu que dans certains cas ces pics multiples et réguliers soient produits à la source, mais sans la régularité de l'artefact de réflexion sur l'eau. En expansion de temps... »
- ❖ p. 138 ou 139 : ajouter l'encadré ci-dessous :

Amorce explosive et claquement final : causes explicatives

Au-delà de l'enjeu de la reconnaissance auditive des pics d'énergie, il est intéressant de réfléchir sur la cause de leur existence audible dans un signal. Deux explications au moins sont très probables, et correspondent à des registres fort différents : une production à la source d'une part, et un artefact de l'oreille humaine (mais résultant d'une configuration structurelle du signal) d'autre part ; ces différences fondamentales n'atténuent en rien la pertinence de leur intégration dans le processus d'identification : c'est leur constance dans un contexte comportemental donné qui donne de la robustesse à une identification spécifique basée sur leur utilisation.

- Amorce explosive : sur une QFC (voir **figure 43** page **94**), elle est produite à la source, grâce à la rétention du souffle derrière un sphincter (la glotte ? les lèvres ?...) qui, lorsqu'il s'ouvre brusquement, libère l'énergie à son maximum dès les premières microsecondes ; ce dispositif a dû être sélectionné au cours de l'évolution pour optimiser la « durée utile » d'une QFC qui doit être maximale, car d'elle dépend la fonctionnalité essentielle de ce type de signal utilisé en milieu ouvert : une portée la plus grande possible. Sur une FM aplanie courte de Pipistrelle (voir **figure 106**, signal 1c, page **178**), la sensation d'amorce explosive est artefactuelle : c'est la contraction temporelle de la partie FM, trop courte pour que notre oreille en apprécie la modulation, qui est restituée par un évènement ponctuel à l'effet explosif ; sur un signal de Sérotine commune, de structure identique mais deux fois plus long et à la courbure plus ouverte (voir **figure 33**, signal en bas à gauche, page **163**), notre oreille a le temps d'accompagner la modulation et l'amorce explosive disparaît ; idem pour les signaux de Minioptère les plus longs (voir **figure 106**, signal 2c, page **178**), avec une courbure très régulière qui s'étend sur la moitié du signal. Sur une FM de *Plecotus*, la structure du fondamental et son énergie maximale concentrée au début (visible grâce à son épaisseur sur spectrogramme), privilégie la thèse d'une production à la source de l'amorce explosive. Sur une FM abrupte de *Myotis*, il est probable que dans beaucoup de cas l'amorce explosive soit due à une FM initiale très pentue sur une grande largeur de bande (ce qui n'est visible que sur les signaux les mieux représentés, car cette partie est souvent la plus atténuée) ; mais on ne peut totalement exclure une production à la source, qui pourrait dans certaines circonstances viser à compenser l'atténuation des hautes fréquences (optimisation de la largeur de bande pour mieux apprécier les informations en distance et en directivité).
- Claquement final : ce pic d'énergie n'apparaît que sur des FM abruptes ; mais attention : si le genre *Myotis* en est coutumier, il n'en détient pas l'exclusivité ! Dans de rares cas (comme lorsqu'une Pipistrelle ou un Vespère rasant la surface de l'eau avant de s'abreuver par exemple), une espèce à structures QFC ou FM aplanie peut produire quelques signaux à claquement final. Ici encore, il semble bien que les deux causes suspectées jouent un rôle. Chez les signaux FM abrupte d'approche, qui ont souvent une structure globalement linéaire, le claquement final est probablement produit à la source. Mais il est un autre cas, où un léger claquement final correspond probablement à un artefact de l'oreille humaine : celui des signaux couramment pratiqués par *M. nattereri* en milieu ouvert (abs bas-moy), qui ont souvent une FM terminale très pentue et à grande largeur de bande (10 à 18 kHz), dont la contraction à l'écoute en expansion de temps peut produire ce léger claquement (même phénomène donc que pour la FM initiale des signaux de Pipistrelles, qui produit une sensation d'amorce explosive) ; la figure ci-dessous (spectrogramme de 8 signaux compilés de *M. nattereri*) et le **son 3.193e** illustrent bien la forme caractéristique de ces signaux, qui sont par ailleurs une signature spécifique efficace. (voir aussi les commentaires sur les faux pics d'énergie, dans ce même chapitre « La répartition de l'énergie »).



- ❖ p. 139 : dernier alinéa en bas de page, 1^{ère} phrase en gras, supprimer et remplacer « ...mis à part **dans les cas idéaux et rares...** » par « ... mis à part les cas **incertains et rares...** »
- ❖ p. 141 : ajouter (en gras) en fin de texte de la légende figure 70 : « **Voir plus de détails dans l'encadré** « Les faux claquements dus à un écho : quelle parade ? »
- ❖ p. 141 : bas de page, supprimer les 5 dernières lignes : « **Certaines voix humaines... sensorielles.** »
- ❖ p. 142 : supprimer la phrase : « **Les exemples suivants montrent, pour mémoire, une sélection de cas où la sensation auditive trouve un corollaire plus ou moins ostensible sur différentes représentations graphiques (figures 66 à 69).** »
- ❖ p. 142 : ajouter l'encadré juste au-dessus du début du chapitre « LE RYTHME »

Les faux claquements dus à un écho : quelle parade ?

La **figure 70** illustre un cas fréquent d'écho juste après chaque signal d'une séquence, souvent bien visible sur spectrogramme. Cet artefact, sur une FM abrupte de *Myotis*, peut s'ajouter à un claquement final bien réel (mais non visible) ; il peut aussi donner une fausse sensation de claquement sur un signal « absence de pic » ou « amorce explosive », entraînant une erreur dans le processus d'identification. Une oreille exercée parvient dans la plupart des cas à séparer le vrai du faux, grâce à deux décalages : fréquentiel (le pic d'énergie est au niveau de la FME et non au niveau de la FT) et temporel (si l'écho est suffisamment distant du signal). Mais lorsque l'écho est bien visible sur le spectrogramme et que l'on est pas sûr de son analyse auditive, un procédé simple et rapide sur le spectrogramme offre une solution fiable.

Dans un premier temps, il est toujours préférable de commencer par filtrer négativement les basses fréquences de la séquence, en dessous de la FT des signaux (voir explications page **75**).

Il faut ensuite, sur la partie de séquence où le claquement est entendu et où l'écho est visible :

- 1) sélectionner (avec le « Marking cursor ») une bande temporelle (de même durée que celle de l'écho, traînée comprise) de bruit de fond neutre (sans signal ni écho) entre deux signaux, puis la copier (Ctrl + C) ;
- 2) sélectionner la bande temporelle correspondant à l'écho et sa traînée juste après le premier signal, puis coller (Ctrl + V) à la place la bande de bruit de fond neutre ;
- 3) répéter l'opération 2) sur quelques signaux successifs ;
- 4) écouter cette partie de la séquence où ce nettoyage a été effectué, pour vérifier si le claquement a disparu ; s'il est encore audible, alors c'est un vrai claquement.

Autre cas classique de faux claquement : les signaux de *Myotis* liés aux surfaces aquatiques (*M. capaccinii*, *M. dasycneme*, *M. daubentonii*). Ceux-ci ont une distribution de l'énergie en modulation d'amplitude sinusoïdale, artefact qui les fait apparaître sur spectrogramme sous la forme d'un chapelet de billes (chacune représentant un pic d'énergie). Sur ces signaux, il est très fréquent qu'un écho prolonge le signal sous la FT, tel une bille supplémentaire : c'est cet artefact qui produit un faux claquement. On évitera toute confusion en gardant à l'esprit que c'est bien la réflexion des signaux sur l'eau (ou toute autre surface lisse) qui provoque le faux claquement, car aucune de ces espèces ne pratique des signaux avec vrai claquement lorsqu'elles chassent au-dessus de l'eau.

- ❖ p. 142 : un peu en dessous du milieu de page ; ajouter le texte (mis ici en bleu) dans la phrase suivante, et la mettre en gras : « **D'une manière générale, les signaux d'approche occasionnent un forte convergence de structure entre espèces QFC et**

FM aplanies (on ne les utilisera donc pas pour l'identification), alors qu'ils révèlent des différences utiles à la diagnose entre espèces FM (*Myotis*, *Plecotus*) : ils seront donc l'objet de toutes nos attentions dans les enregistrements. »

- ❖ **p. 143** : alinéa « Mesures informatiques », supprimer « Ces mesures, le cas échéant, feront l'objet d'un calcul de moyennes (pour classement du comportement chez les *Myotis*, voir « **Timbre sifflé** » (voir « **Le timbre** » p. 194) ou seront comparées aux graphiques de référence lorsque cette variable s'avère discriminante. »
- ❖ **p. 143** : § La lecture des graphiques bivariés, ligne 2 ; mettre à jour : « **Plus de 7000 signaux de 37 espèces...** »
- ❖ **p. 143** : § La lecture des graphiques bivariés, ligne 21 ; remplacer « Ces critères d'entrée sont **fidèles** à la corrélation... » par « Ces critères d'entrée sont **légitimés** par la corrélation... »
- ❖ **p. 144** : bas de page, ajouter (en bleu) et supprimer (en rouge) : « et par suite les possibilités d'identification (voir fin de ce paragraphe, p. **147**). Les enseignements de l'écologie acoustique rappellent que la lecture des graphiques ne doit pas se limiter à l'arithmétique des valeurs positionnant les points. Une représentation croisée FME x LB (comme sur la **figure 75** par exemple) est limpide en termes de comportements de vol et d'habitats utilisés, et peut se dispenser de commentaires écrits sur ces éléments éco-éthologiques : plus on se situe en bas à gauche du graphique plus le milieu est ouvert et le comportement de la recherche passive ; plus on se situe en haut à droite plus le comportement est de l'approche en milieu encombré. Ceci permet (grâce aussi à la densité des points, traduisant la densité d'utilisation) à la fois de déterminer visuellement de façon instantanée le « caractère général » d'une espèce (plus ou moins haut vol, lisière ou sous-bois plus ou moins encombré), et de juger où chaque zone de points se situe, en termes d'habitat et de comportement, à quelque endroit du graphique que ce soit. Les graphiques présentés sont **donc** sans doute... »
- ❖ **p. 146** : ligne 3, remplacer « **Vespertilions** » par « **Murins** »
- ❖ **p. 147** : fin du 1^{er} § en haut de page (après « ...selon les cas au complexe d'espèces, au genre, ou au complexe de genres. »), ajouter (retour la ligne tout à gauche, sans alinéa) :

« Le cas illustré par la **figure 75** est intéressant à commenter dans le détail, car sa complexité (nombre important d'espèces avec un recouvrement fort) permet de montrer l'importance de l'intégration des différents comportements spécifiques, pour optimiser les chances de parvenir à une identification certaine de l'espèce. Nous allons donc nous mettre en situation... Imaginez que vous ayez récolté sur le terrain une séquence de signaux FM abrupte, qui vous conduit à une première conclusion : genre *Myotis*, type acoustique abs moy (voir p. **201**). La consultation des graphiques relatifs à l'abs moy sur le fichier Excel, peut dans un premier temps vous plonger dans une grande confusion : les graphiques et informations associées sont très nombreux ! Commencez par sélectionner ceux concernant la zone géographique : votre séquence provient du centre de la France, donc les cortèges intégrant *M. capaccinii* ou *M. dasycneme* sont à écarter (prudence par contre avec *M. blythii*, qu'il convient de ne pas limiter à la zone méridionale...). A l'usage, vous constaterez que pour ce type abs moy, c'est presque toujours les variables « LB x FME » qui sont informatives : gagnez du temps en privilégiant donc ces deux mesures. Ne pas oublier, si ce n'est pas encore fait, d'installer le certificat des macros qui vous permettront de modifier l'affichage des séries de points sur les graphiques (voir procédure dans le fichier PDF « lisez-

moi »), puis activez les macros. Vérifiez si votre séquence comprend, en plus des signaux de croisière en abs moy, une phase d'approche (cette dernière, pour le genre *Myotis* – et dans une moindre mesure le genre *Plecotus* – est le plus souvent indispensable pour aboutir à une identification spécifique certaine ; attention : chez les espèces glaneuses, une phase d'approche ne s'accompagne pas forcément d'une accélération progressive de la récurrence, mais toujours d'un changement de type acoustique !) et si, dans l'affirmative, le type acoustique des signaux d'approche est aussi de l'abs moy. Si oui, alors vous ne pourrez faire mieux qu'une conclusion à 2 espèces possibles, dont *M. mystacinus* : en effet, ce dernier ne pratique l'abs moy qu'en recherche passive, passant en am moy ou am ht dès que le rythme s'accélère ; il faut donc obligatoirement une phase d'approche pour le mettre en évidence. Ensuite, mesurez la FME de quelques signaux de croisière : ceux avec un rythme le plus lent possible, ni trop faibles ni trop saturés. Si vos mesures tombent en majorité au-dessus de 45 kHz, vous êtes dans la distribution « *M. brandtii-daubentonii-mystacinus* » (vérifiez les densités d'utilisation maximales de chaque espèce grâce à la fonction « Ctrl + B », onglet « Afficher/Masquer ») ; si la phase d'approche est du type am moy et/ou am ht, alors il s'agit de *M. mystacinus* ; si elle passe en am & claq, alors il s'agit de *M. brandtii* ; si elle reste en abs moy, alors *M. brandtii* et *M. daubentonii* sont tous deux possibles : vérifiez les largeurs de bande, car si une seule dépasse 70 kHz alors il s'agit de *M. brandtii*, et si elles sont toutes (notamment en phase d'approche) en dessous, les 2 espèces restent indémêlables (avec une probabilité moindre pour *M. brandtii*, dont les signaux d'approche sont souvent en am & claq). Si vos mesures tombent en majorité en dessous de 45 kHz, vous êtes dans la distribution « *M. bechsteinii-blythii-myotis-mystacinus* » ; si la phase d'approche est du type am moy et/ou am ht, alors il s'agit de *M. mystacinus* ; si le rythme est lent et irrégulier, y compris en phase d'approche qui se compose de quelques signaux hautes FME avec ou sans pics d'énergie (cela peut varier d'un signal à l'autre), alors c'est la signature de *M. blythii-myotis* (il se peut alors que des signaux abs bas se mélangent à l'abs moy en phase de croisière, ce qui est typique également ; vérifiez quand même que les signaux abs moy-bas n'aient pas un léger claquement final, provoqué par une longue FM terminale – voir encadré p. 138 – car alors *M. nattereri* deviendrait l'auteur surprise dans ce groupe !) ; si les signaux abs moy font plus de 9 ms, alors cela ne correspond qu'à *M. blythii* ; si le rythme est rapide et assez régulier, typique de la recherche active chez un petit *Myotis*, avec une phase d'approche qui reste en abs moy (la FME peut alors être supérieure à 45 kHz), alors il s'agit de *M. bechsteinii* en chasse active en mode poursuite (en mode glanage lorsqu'il se dirige vers le feuillage pour y rentrer, il passe de l'abs moy au claq moy puis ht). Dans tous les cas, vous pouvez conforter votre identification en vous reportant à la monographie de l'espèce dans le chapitre 5. En conclusion : le processus est complexe par le nombre élevé d'informations à prendre en compte, mais pas difficile, car l'identification jusqu'à l'espèce est possible dans la plupart des cas (proche de 100 % s'il y a une phase d'approche). Avec l'habitude, lorsque tout cela sera mémorisé, ce sera un jeu de détective au déroulement rapide et jubilatoire ! »

- ❖ p. 149 : ajouter à la fin de la 7^e phrase : « ... pour éviter la distorsion fréquentielle due à l'effet Doppler lorsque l'individu est en vol (voir p. 129, son 3.2a). »
- ❖ p. 150 : fin du § au-dessus du titre « Identification des QFC/FM descendante », rajouter : « ... commenter les deux probabilités de manière indépendante. (retour à la ligne ; mettre en gras) **A noter qu'une solution à ce complexe acoustique entre *R. euryale* et *R. hipposideros* entre 102 et 106 kHz, vient récemment (2024) d'être**

découverte par Thierry Disca ; des critères basés sur la rythmique et la forme des signaux permettent une discrimination dans la plupart des cas ; ils sont exposés dans son ouvrage « *Cahier d'identification des chiroptères par la bioacoustique* » (à paraître).

- ❖ p. 150 : remplacer le § *M. daubentonii* par : « *M. daubentonii* : parmi les séquences récoltées, la grande majorité correspond à un comportement de transit ou de recherche passive sur de courtes phases (rythme assez lent et régulier, absence de phases d'approche et de capture), au-dessus de l'eau (milieu habituel de l'espèce) ou plus rarement sur un chemin forestier ; la hauteur de vol, estimée dans tous les cas aux alentours de 1 à 1,5 mètre, est incompatible avec la technique de chasse habituelle de cette espèce : un comportement de type mixte, sonar et social, est donc suspecté. Mais pour un cas (son 3.9), la séquence a été produite par un individu (observé visuellement ; Philippe Favre, comm. pers.) en vol rasant au-dessus de la surface d'une rivière calme (l'Aude) : s'agissait-il d'un comportement exclusif de chasse, ou d'un comportement mixte ? Souvent, ces signaux QFC/FM sont émis en présence de congénères continuant à émettre leurs signaux types ; mais parfois ils sont émis par un individu en apparence isolé (pas d'autres signaux audibles dans la séquence, mais notre distance de détection pour de tels signaux est certainement inférieure à la distance de perception pour un Murin de Daubenton !). Ce type de comportement acoustique reste insuffisamment documenté grâce à des enregistrements et observations visuelles en simultané, pour établir un déterminisme évident. Comme le montrent les figures 78 à 81, les paramètres varient dans des proportions importantes, aussi bien la durée (4 à 10 ms) que la FME de la partie QFC (42 à 65 kHz) ; la FT varie aussi beaucoup (30 à 22 kHz). Les signaux les plus longs, en milieu ouvert, débutent parfois par une FM ascendante à bande étroite (< 10 kHz) ; la pente affichée par la partie QFC, et la variabilité de structure invalident tout rapprochement avec la technologie Doppler de détection de mouvement en surface de l'eau (comme pour le genre *Noctilio* en contexte néotropical). A l'audition la distinction entre ces signaux et des FM concaves classiques demande un bon entraînement, surtout sur les signaux courts. »
- ❖ p. 153 : ligne 3 sous encadré ; remplacer « une phase FM abrupte » par « une partie FM »
- ❖ p. 154 : supprimer la page, qui va être fusionnée avec celle p. 162 ;
- ❖ p. 155 : ligne 9, remplacer « Elles peuvent aussi pratiquer la QFC, mais toujours (sauf pour *P. pygmaeus*) dans des conditions plus marginales... » par « Elles peuvent aussi pratiquer la QFC (*E. serotinus* et *M. schreibersii* ne font pas de QFC planes), mais toujours dans des conditions plus marginales... »
- ❖ p. 155 : fin § au-dessus du titre « FME < 30 kHz », rajouter (retour à la ligne) la phrase suivante : « Enfin, on rencontre un cas particulier avec les signaux de structure FMd-QFC-FMd produits par le Murin des marais *Myotis dasycneme*, qui est la seule espèce FM type à produire fréquemment des signaux à composantes QFC. Ce cas est traité dans la section Signaux FM/QFC, FM aplanie (ou FM bande étroite) p. 174 et suivantes (Tableau 10 ; Figures 104 et 105 ; son 3.177) et dans la monographie qui lui est consacrée p. 241. »
- ❖ p. 155 : § FME < 30 kHz, lignes 2 à 4, remplacer « ...à l'exception notable d'*Eptesicus serotinus*, qui l'utilise dans des circonstances de chasse crépusculaire élevée ou de transit aérien, mais de façon rarissime (deux séquences enregistrées en 20

ans, sur plusieurs milliers de contacts !). » par « ...à l'exception notable d'*Eptesicus serotinus*, qui utilise la FM aplanie dans toutes circonstances de vol. »

- ❖ **p. 156** : fin 1^{er} §, ajouter, supprimer, corriger « En troisième position se trouve *E. serotinus*, ce qui est révélateur du fait qu'elle utilise la QFC (de façon rarissime, et avec une LB > 3 kHz) dans des circonstances de haut vol, en transit surtout ; les autres espèces l'utilisent aussi en chasse active. »
- ❖ **p. 156** : début alinéa « la durée des signaux », rajouter : « ... (dont la distribution géographique est a priori... » ; puis plus loin : « ...non recouvrante de celle d'*E. isabellinus*). *N. leisleri* est une spécialiste des QFC très courtes, alors que c'est une espèce de haut vol rapide qui devrait logiquement optimiser la portée de ses signaux par de longues durées. Cette caractéristique a sans doute été sélectionnée pour augmenter sa discrétion vis-à-vis des lépidoptères tympanés, qu'elle capture souvent : les durées courtes gênent l'interprétation de l'information par les papillons. Le résultat pour nos problématiques d'identification est très positif : toute QFC de durée inférieure à 10 ms, dans la gamme des 21 à 28 kHz, pourra être attribuée à *N. leisleri* ; »
- ❖ **p. 156** : remplacer contenu lignes 4 et 6 du tableau 6 + classer les espèces dans l'ordre croissant de moy. de durée des intervalles

<i>V. murinus</i>	77 (13)	273,8	87,7	17,9	2,8	26,0	2,6	23,6	1,5	2,5	1,5	24,1	1,8
<i>N. noctula</i>	87 (12)	374,0	119,6	16,7	3,3	21,8	2,2	19,4	1,2	2,3	1,2	20,0	1,3

- ❖ **p. 156** : ligne 8 avant fin ; supprimer « A l'inverse, Certaines Sérotines... »
- ❖ **p. 158** : tableau 7 : classer les espèces dans l'ordre croissant de moy. de durée des intervalles ;
- ❖ **p. 158 et 161** : remplacer le § Signaux QFC ou FM aplanie alternés en fréquence par : « Les trois espèces de Noctules ont la particularité d'alterner fréquemment des signaux décalés en fréquence voire en structure. Les figures 91 et 92 montrent un recouvrement interspécifique faible pour certaines variables croisées deux à deux.

L'alternance est souvent relativement régulière chez *N. lasiopterus* et *N. noctula*, et très irrégulière chez *N. leisleri*.

Certaines caractéristiques de la figure 91 permettent une analyse écologique des traits comportementaux acoustiques chez ces trois espèces. Les variables de FME et de LB sont généralement corrélées lorsque les émissions sonar obéissent uniquement à la théorie de localisation d'obstacles ; il en résulte une distribution normale le long d'une pente à environ 45°. De plus, selon le modèle des signaux alternés des Noctules, les signaux de type A sont généralement des QFC (LB < 5 kHz) sur des FME plus basses que les types B qui sont souvent plus modulés (LB > 5 kHz).

N. noctula suit bien la pente à 45°, ses types A sont des QFC et ses types B des FM aplanies dont les LB sont dépendantes de la distance aux obstacles : c'est le « bon élève » de l'alternance, qui donne la référence...

N. lasiopterus a également la bonne pente, mais on observe d'une part un recouvrement entre types A et B, et une restriction de la LB : un schéma qui semble montrer une limitation de la différence entre les signaux alternés ; l'écart moyen entre les signaux A et B n'est que de 1.8 kHz pour *N. lasiopterus* alors qu'il est de 3,2 kHz pour *N. noctula*. D'où l'hypothèse d'une pression de sélection liée au régime alimentaire très particulier de *N. lasiopterus* (voir chapitre dédié p. 310).

Chez *N. leisleri* la pente est presque verticale, la distribution de signaux de types A et B en gamme de LB est similaire, les deux pouvant être des QFC ou des FM ; cette distribution éclatée et désordonnée est très révélatrice des sensations perçues à l'écoute d'une séquence alternée de cette espèce : une anarchie dans la succession des intervalles, des intensités, des structures et des fréquences ; contrairement aux autres espèces, l'écoute d'une série de signaux ne permet aucune prédiction fiable de celui ou ceux qui vont suivre. Là encore, on suppose une stratégie de brouillage de l'information à destination de ses proies tympanées (elle consomme des lépidoptères). Conséquence secondaire : ce désordre est un élément de diagnose pour l'observateur. »

- ❖ **p. 161** : § Signaux FM/QFC, FM aplanie (ou FM bande étroite), § 4 à remplacer par le suivant : « On remarque une largeur de bande plus grande chez *E. serotinus* que chez les autres espèces ; elle est indicatrice de son comportement spécialisé sur la FM aplanie (usage permanent en chasse active, recherche passive d'obstacles, transit), la QFC plane n'étant jamais utilisée. Cette espèce est même coutumière d'un comportement de chasse en sous-bois clair ou dans de petites trouées de la canopée, avec des signaux FM sans aplanissement (voir p. 194 pour comparaison avec *M. myotis*). Pour les autres espèces qu'*E. serotinus*, le vol en sous-bois correspond presque toujours à une activité de transit pour quitter ou rejoindre le gîte ; lorsqu'une Noctule commune chasse près du feuillage, elle longe la lisière verticale ou la canopée (voir son 3.41a) en ralentissant sa vitesse de vol sur quelques dizaines de mètres puis s'en éloigne à nouveau pour reprendre de la vitesse, ce schéma pouvant être répété plusieurs fois ; dans ces circonstances courtes et ponctuelles, elle adopte le même rythme irrégulier qu'*E. serotinus* : pour éviter la confusion on vérifiera le côté fugace de ce comportement, suivi chez *N. noctula* de la reprise des QFC en alternance dès qu'elle s'éloigne de la lisière. »
- ❖ **p. 162** : afin de fusionner les clés p. 154 et 162, colorer le schéma (flèches comprises) QFC et FME < 30 kHz
- ❖ **p. 163** : tableau 8 : classer les espèces dans l'ordre croissant de moy. de durée des intervalles ;
- ❖ **p. 165** : remplacer les deux mentions « **figure 93a** » par successivement « **figure 93, centre gauche** » et « **figure 93, centre et centre droit** », puis ajouter à la suite de la 2^e mention : « ...avec une cassure marquée (**figure 93, centre et centre droit**). Ce critère de cassure est une particularité exclusive des espèces QFC type, il peut donc être utilisé pour éliminer *E. serotinus* lorsqu'il est présent dans une séquence. »
- ❖ **p. 165** : rajouter après la dernière phrase : « ... l'identification de ces deux espèces est donc aisée. Certaines circonstances fugaces où ces grandes espèces longent un obstacle linéaire (lisière ou sol) peuvent rendre la diagnose plus complexe, et même produire un timbre miaulé proche de celui des Oreillards en milieu ouvert (voir son 3.50a). »
- ❖ **p. 166** : rajouter après le son 3.35 le § suivant : « **son 3.35a** : séquence d'un individu d'*E. nilssonii* en chasse active au bord d'un lac en milieu ouvert. Les QFC, sur 28-29 kHz de FME et d'une durée de 15 à 17 ms, sont dominantes en phase de croisière et reprennent juste après la phase de capture. Enregistrement : Jean-François Desmet. »
- ❖ **p. 166** : rajouter après le son 3.36a les 2 § suivants :
son 3.36b : cette séquence commence par des signaux QFC de 17 à 18 ms, sur environ 23 kHz, sans alternance mais avec de légères variations de LB et FME, indiquant une

recherche active en milieu ouvert : tous les éléments sont réunis dès le début pour conclure *V. murinus* ; certaines QFC par la suite atteignent 20 ms de durée, ce qui ne laisse plus aucun doute. Les phases d'approche en FM aplanie, prises seules, n'ont par contre aucun élément distinctif et tombent dans la catégorie des Sérotules.

son 3.36c : un individu de Sérotine commune chasse en lisière des grands arbres d'un parc arboré. Tous les signaux sont en FM aplanie, avec une amorce progressive (due à la pente douce FM en début de signal et à l'augmentation très progressive de l'intensité, ce qui peut se vérifier sur oscillogramme), y compris lorsque le rythme devient plus lent entre 5 et 15 s. A l'écoute de la séquence en hétérodyne sur BatSound, le rythme « jazzy » irrégulier typique de l'espèce est présent même dans les phases de recherche active. »

❖ **p. 167** : rajouter après le son 3.37a les 2 § suivants :

son 3.37b : longue séquence illustrant un comportement d'*E. isabellinus* en chasse active au crépuscule en milieu ouvert, le long de la rive en pente douce, à boisement épars, d'un grand plan d'eau (barrage sur le Guadalquivir, Sierra de Cazorla, Andalousie). Le rythme (à l'écoute en hétérodyne sur BatSound) est assez rapide et régulier dans les phases de croisière, avec assez souvent des signaux groupés par paires lorsque la récurrence est un peu plus lente ; de nombreuses phases d'approche et tentatives de captures indiquent une bonne densité de proies. Tous les signaux sont en FM aplanie vers 25 kHz, en recouvrement total avec *E. serotinus* donc. Mais certains ont une LB faible (env. 7 kHz) avec une légère amorce explosive audible en expansion de temps, et beaucoup présentent une cassure anguleuse (au début du signal pour les LB étroites, vers le milieu pour les LB plus larges) au lieu d'une courbe régulière : ce critère est typique des espèces QFC types, ce que n'est pas *E. serotinus*.

son 3.37c : longue séquence illustrant le comportement d'*E. isabellinus* en chasse active au crépuscule en fond de vallon le long d'une pente rocheuse escarpée à boisement épars (vallée du Tajo au Salto del Gitano, Monfrague, Extremadure). Plusieurs individus sont présents, et un Molosse de Cestoni apparaît vers 67 s. Le rythme (à l'écoute en hétérodyne sur BatSound) varie selon les individus ; dans les phases lentes on retrouve les signaux groupés par paires ponctuant des phases assez régulières. La majorité des signaux est en FM aplanie, avec certains présentant une cassure anguleuse caractéristique des espèces QFC ; à partir de 5520 ms on remarque quelques signaux débutant par une courte courbure convexe, leur donnant une forme sigmoïde, mais cette forme a aussi été notée chez *E. serotinus*. Des QFC à bande large apparaissent à plusieurs reprises (après 13800 ms, 53400 ms, 79300 ms, etc.), avec des amorces nettement explosives à l'écoute en expansion de temps. Après 170 s, plusieurs longues poursuites de proies s'enchaînent, laissant supposer des tentatives de capture de proies tympanées.

❖ **p. 167** : rajouter après le son 3.41 les 3 § suivants :

son 3.41a : les premiers signaux de cette séquence sont des QFC courtes (environ 10 ms) dans la gamme des 25-27 kHz de FME, avec une alternance irrégulière de structure, de FME, d'intensité : il s'agit bien de *N. leisleri*. L'individu se rapproche de la canopée pour la longer un moment (sans doute à la recherche de proies volant près du feuillage), en produisant uniquement des FM aplanies tronquées dont la largeur de bande atteint presque 40 kHz pour une FME d'environ 30 kHz sur certains signaux. Sans les signaux QFC du milieu ouvert, cette séquence resterait dans le groupe des « sérotules ».

son 3.41b : cette séquence débute par un signal QFC de 7,7 ms sur 27 kHz : dès ce premier signal l'identification de l'espèce est certaine : *N. leisleri*. Par la suite, après une phase d'approche en FM aplanie qui n'ont aucun caractère distinctif, ce critère se confirme avec des valeurs de durée encore plus faibles (par exemple 5,6 ms à 6890 ms). Cette spécialisation de *N. leisleri* pour les QFC de durées courtes (contraires à la logique de détection à longue distance nécessaire à une espèce de haut vol rapide), est indicatrice d'une stratégie possible de discrétion vis-à-vis des lépidoptères tympanés qui réagissent moins aux signaux de courte durée. Enregistrement : Jean-François Desmet.

son 3.41c : après un long silence, apparaît sans préliminaires un signal QFC très intense sur 25 kHz environ, suivi d'une longue phase d'approche et d'une tentative de capture (vers 4200 ms) : la Noctule de Leisler chasse les lépidoptères en « salves surprises » (voir § *Nyctalus leisleri* du chapitre 5, p. XXX). Dans cette séquence, on compte six poursuites successives, qui peuvent correspondre à des proies qui tentent de s'échapper ou/et à des tentatives de captures successives sur des proies différentes.

- ❖ **p. 167** : rajouter après le son 3.43 : « **son 3.43a** : longue séquence de plusieurs individus de *N. noctula* chassant au-dessus d'un étang au crépuscule. Les différences de hauteur de vol entraînent autant de schémas rythmiques et structurels, de la recherche passive avec alternance de QFC basses et FM aplanies, aux FM d'approche à LB plus ou moins grandes. Vers la fin de la séquence, un seul individu est présent, en vol non loin d'une lisière, et ses QFC courtes (9 à 10 ms pour certaines) sur 20-22 kHz rappellent celles de *N. leisleri*, mais sur des FME plus basses que cette dernière. »
- ❖ **p. 168** : rajouter après le son 3.48 : « **son 3.48a** : séquence de *N. lasiopterus* volant en sous-bois (futaie irrégulière mature de chênes et hêtres) pour rejoindre son gîte en cavité d'arbre, un 24 mai à 23h50. Les signaux courts (4 à 5 ms) sont de structure FM à courbure concave régulière, avec une LB < 30 kHz et une FT < 20 kHz ; le timbre est légèrement miaulé mais la confusion avec un Oreillard peut être évitée grâce au rythme souvent rapide (il y a même une approche vers 6,5 s) croisé avec tous les autres éléments : un *Plecotus* n'utilise le timbre miaulé sur fréquences basses qu'en milieu ouvert avec des durées > 5 ms.
- ❖ **p. 168** : rajouter après le son 3.49 : « **son 3.49a** : extrait d'une séquence typique de *T. teniotis* en chasse nocturne de haut vol (ici au-dessus d'une vallée des Asturies en Espagne, lors d'une nuit douce de début novembre). Le rythme est lent et assez régulier avec des intervalles de 500 à 600 ms en moyenne, avec une légère accélération sur quelques signaux vers 23 s. Tous les signaux sont des QFC planes d'environ 20 ms. »
- ❖ **p. 168** : rajouter après le son 3.50 : « **son 3.50a** : cette séquence commence par une longue série de signaux FM très courts, à faible largeur de bande, sur 20 kHz de FME environ ; le timbre est nettement miaulé, ce qui nous fait penser de suite à un Oreillard en milieu ouvert. Mais quelque chose ne correspond pas dans le comportement : le rythme est trop rapide, et va même en croissant ; il s'agit bien d'une approche ; or un Oreillard en approche ne serait pas sur des fréquences aussi basses. Après la phase d'approche, le rythme ralentit, les signaux se rallongent et le timbre change : il s'agit bien d'une grande espèce à FME basse, et les mesures de FME x LB nous donnent uniquement *T. teniotis* ; cet individu vient de boire à la surface d'une mare.
- ❖ **p. 168** : § FME > 30 kHz, rajouter à la fin de la ligne 4 : « ...*M. schreibersii* et *P. pygmaeus*. Cette spécialisation sur les lisières (verticales, mais aussi horizontales

comme la canopée) n'empêche pas plusieurs de ces espèces de chasser en sous-bois même dense (*P. pipistrellus* surtout). »

- ❖ **p. 169** : alinéa « en milieu semi-ouvert », ajouter ligne 5 : « ...fourchette de fréquences spécifiques (valeurs valables pour un individu isolé : en groupe les FME se décalent entre individus, certaines atteignant les extrêmes) : 45 à 48 pour *P. pipistrellus*... » ; fin alinéa, ajouter « ...reste la QFC (en mélange avec la FM aplanie selon les distances aux obstacles) ;
- **p. 169** : alinéa « en milieu ouvert », ajouter lignes 3-4 : « ...en abaissant la FME : 30-32 kHz pour *H. savii*, 35-37 pour *P. kuhlii* et 39-40 pour *P. nathusii* (en zone de sympatrie avec *P. kuhlii*, plus bas ailleurs, voir encadré p. 170), 42-48... »
- ❖ **p. 169** : « Cas particuliers », 3^e alinéa, lignes 3 à 5, déplacer et ajouter : « ...leurs gammes fréquentielles habituelles (peut-être dans le but d'éviter au mieux le recouvrement de leurs niches acoustiques, voir encadré p. 170) notamment dans les régions proches de l'Atlantique et de la Méditerranée où ces... »
- ❖ **p. 170** : ligne 15, faire un retour à la ligne (marge de gauche, sans alinéa) entre « ...l'examen de la largeur de bande permettent d'éviter la confusion. » et « Pour résumer, il est donc indispensable... »
- ❖ **p. 170** : remplacer les phrases au-dessus de l'encadré « De plus il est important de pondérer le biais dû au déplacement de l'animal et la distorsion fréquentielle qui en résulte (effet Doppler) : la mesure de la fréquence du maximum d'énergie devra être majorée (si la chauve-souris s'éloigne du détecteur) ou minorée (si elle se rapproche) de 1 à 3 kHz selon la vitesse de l'animal et sa direction de vol par rapport au détecteur. Sur une séquence complète on apprécie assez bien ces éléments grâce au changement progressif ou dégressif de l'intensité des signaux. C'est ainsi que l'on peut mesurer une fréquence de 40 kHz sur une Pipistrelle commune qui s'éloigne en milieu ouvert (alors que sa fréquence réelle est de 42 kHz) ; la structure (QFC) et la récurrence (lente, typique d'un transit par ex.) éviteront dans ce cas de la confondre avec une Pipistrelle de Kuhl (mais pas avec une P. de Nathusius qui pratique couramment la QFC sur ces fréquences même en transit). Concernant ces espèces, la différenciation dans certains cas ne pourra se faire qu'en présence de cris sociaux qui eux sont discriminants à 100 % (voir « Identification grâce aux cris sociaux », p. 245). » par « De plus, dans le cas de signaux QFC ou FC (la FM aplanie est moins sensible à l'effet Doppler) il est important de pondérer le biais dû au déplacement de l'animal et la distorsion fréquentielle qui en résulte ; ce déplacement est révélé par une variation croissante et/ou décroissante de l'intensité relative des signaux d'une séquence. Si la séquence montre une intensité croissante puis décroissante, on choisira de mesurer le ou les signaux médians les plus intenses, qui seront les moins distordus en fréquence. Si nous n'avons qu'une partie du déplacement, la mesure de la fréquence du maximum d'énergie devra être majorée (si la chauve-souris s'éloigne du détecteur) ou minorée (si elle se rapproche) d'environ 1 kHz pour une espèce de Noctule ou de Pipistrelle (la distorsion est positivement corrélée à la fréquence et à la vitesse de déplacement, deux paramètres généralement contradictoires chez les chiroptères : les espèces qui volent le plus vite émettent sur des FME basses), et d'environ 2-3 kHz pour l'harmonique 1 d'un Rhinolophe. Pour donner un exemple : des QFC planes mesurées à 21 kHz sur un individu qui se rapproche du microphone seront légendés *N. noctula* plutôt que *N. leisleri*, car la FME réelle sera de 20 kHz. »
- ❖ **p. 170** : encadré sur le recouvrement des niches acoustiques ; remplacer le dernier alinéa « dans le sud de la France ou en Espagne (où *P. pipistrellus* est moins

fréquente), *P. pygmaeus* peut descendre en QFC sur 49-50 kHz lorsqu'elle chasse seule, et monte au-dessus de 52-53 en présence de *P. pipistrellus*. » par : « dans le sud-est de la France (où *P. pipistrellus* et *P. pygmaeus* atteignent des densités proches dans plusieurs habitats), il n'est pas rare de rencontrer des Pipistrelles chassant en FM aplanie et QFC avec une FME vers 49-50 kHz : s'agit-il de l'une, de l'autre, d'une nouvelle espèce ? Cette dernière hypothèse résiste mal à l'examen du graphique de la figure 102 : comment une autre espèce FM aplanie trouverait-elle la place de s'insérer dans un hiatus fréquentiel inexistant ? Le recouvrement entre *P. pipistrellus* et *P. pygmaeus*, et la présence de *M. schreibersii* ne laissent aucune place disponible. Il reste à trancher entre les deux Pipistrelles connues, et cela semble possible dans de nombreux cas si l'on prend en compte l'hypothèse de compétition de niches fréquentielles : comme plusieurs interactions observées sur le terrain semblent le montrer, la présence d'un groupe en chasse, appartenant à une seule de ces deux espèces, amène les individus à se décaler et déborder au-delà (jusqu'à 50 kHz en FM aplanie pour *P. pipistrellus*) ou en deçà (jusqu'à 48-49 kHz en FM aplanie pour *P. pygmaeus*) de leur gamme habituelle ; mais que l'autre espèce arrive sur le même terrain de chasse, et en quelques minutes le débordement fréquentiel de la première arrivante se réduit, et chaque espèce se cantonne dans sa gamme de part et d'autre de 50 kHz. Ainsi, lorsque nous mesurons sur le terrain en hétérodyne des FME d'un groupe de pipistrelles en chasse entre 42 et 50 kHz, nous pouvons conclure que seule *P. pipistrellus* est présente ; si les mesures donnent des extrêmes entre 46-48 et 56 kHz (ou 49 à 52 kHz avec peu d'individus et des récurrences moyennes ou lentes) il ne s'agira que de *P. pygmaeus* (voir **sons 3.54a** et **3.54b** et leurs commentaires) ; et si l'éventail de FME va de 42 à 56 nous concluons que les deux espèces sont présentes. Dans certaines régions d'Espagne comme l'Extremadure ou l'Andalousie (où *P. pipistrellus* est moins fréquente voire absente), *P. pygmaeus* peut descendre au moins jusqu'à 46-47 kHz ; une étude (Montauban *et al.*, 2021) réalisée dans le delta de l'Ebre a montré qu'en l'absence de *P. pipistrellus*, *P. pygmaeus* pouvait descendre jusqu'à 44 kHz de FME. »

- ❖ **p. 171** : § Signaux QFC, lignes 5-6, remplacer « **La durée des intervalles et la FME évoluent entre les espèces selon des tendances opposées** ; la corrélation négative allométrique... » par « La comparaison entre espèces de la durée des intervalles et de la FME indique une tendance cohérente : plus la FME est basse (donc le milieu ouvert), plus les intervalles sont longs. Par contre, la corrélation négative allométrique... »
- ❖ **p. 171** : § Signaux QFC, lignes 9-10, supprimer et ajouter « Il faut donc chercher ailleurs les raisons de ces tendances inversées, **si tant est qu'elles ne soient pas liées au hasard**. Les hautes FME du Minioptère pourraient résulter d'une adaptation à la capture des papillons tympanés, dont la limite d'audition est proche de 50 kHz. Les longs intervalles... »
- ❖ **p. 171** : § Signaux QFC, ligne 16, ajouter « ...la récurrence élevée des émissions de *M. schreibersii* (qui – à l'instar d'*E. serotinus* pour les grandes espèces – est une espèce FM aplanie type, ses QFC étant très rares et jamais planes : $LB > 3$ kHz) semble être un caractère spécifique... »
- ❖ **p. 171** : tableau 9 : classer les espèces dans l'ordre croissant de moy. de durée des intervalles ;
- ❖ **p. 172** : supprimer la page, qui va être fusionnée avec celle p. 175 ;

- ❖ **p. 173** : ligne 5, remplacer « ...en dessous de lui ; chez *M. schreibersii* c'est un caractère général... » par « ...en dessous de lui ; chez *M. schreibersii* la durée longue des signaux est un caractère général... »
- ❖ **p. 175** : afin de fusionner les clés p. 173 et 175, colorer le schéma (flèches comprises) QFC et FME > 30 kHz
- ❖ **p. 177** : 1^{er} alinéa, modifier et ajouter « ...la présence de QFC dans une séquence de chasse active (rythme rapide, reprise de la QFC juste après une phase de capture, etc.) indique donc cette dernière ; »
- ❖ **p. 177** : alinéa 2, ligne 2 ; ajouter : « ... montrent souvent chez *H. savii*... »
- ❖ **p. 178** : ligne 4 ; supprimer « récemment »
- ❖ **p. 178** : lignes 14-15, mettre en gras et ajouter : « ...trancher entre ces espèces (surtout entre *M. schreibersii* et *P. pipistrellus*, car *P. pygmaeus* s'avère très variable dans ses courbures, qui sont parfois peu anguleuses ; il est recommandé de prendre en compte uniquement les signaux les plus courts – 1a et 2a de la figure 107 – pour distinguer les courbures des 2 espèces). La normalisation... »
- ❖ **p. 179** : remplacer le 2^e § par « La figure 110 illustre deux types d'originalités structurelles, pouvant être notées dans des séquences de signaux QFC ou FM/QFC. Une modulation courte en durée et étroite en bande de fréquences apparaît sur certains signaux ; elle est rarement remontante (spectrogramme de gauche), plus souvent descendante (spectrogramme de droite). Ce dernier cas de FM descendante terminale est une signature fréquente chez *P. kuhlii* ; c'est même un critère distinctif très utile, mais à utiliser uniquement sur des FM aplanies de phase de croisière (faible LB) ; car cette FM terminale va se retrouver sur de nombreuses autres espèces sur les signaux FM aplanie tronquée de phases d'approche : je l'ai fréquemment notée chez *P. pygmaeus*, *P. pipistrellus*, *P. nathusii*, *H. savii*, et Alexandre HACQUART et Thierry DISCA (comm. pers.) l'ont remarquée chez *M. schreibersii* au Maroc. Le déterminisme de cette variation de structure, au moins pour les signaux d'approche, pourrait être lié à un avantage d'élargissement de la LB également par le bas (améliorant l'information en résolution angulaire). Chez *P. kuhlii* son usage très fréquent en FM aplanie, associé à une tendance à raccourcir et incliner la partie QFC pour dériver vers de la FM sigmoïde (voir encadré p. 232-233), indique peut-être une signature spécifique sans déterminisme fonctionnel (sélection neutre ? compétition acoustique avec *P. nathusii* ?), car son comportement et ses habitats de chasse requièrent peu la FM, en comparaison avec *P. pipistrellus* par exemple. »
- ❖ **p. 181** : rajouter après le son 3.54 les deux § suivants :

son 3.54a : séquence débutant par des QFC planes sur 50 kHz ; *M. schreibersii* est écarté car il ne fait pas de QFC planes ; *P. pipistrellus* peut-elle monter sur de telles FME avec une telle structure ? Non, il s'agit bien de *P. pygmaeus*, et cet individu n'est pas seul : un congénère chasse en FM aplanie sur 56-57 kHz, puis un autre ensuite sur des fréquences intermédiaires. Ils sont assez éloignés les uns des autres mais se décalent quand même en FME, ce qui amène sans doute l'individu en recherche passive, au rythme le plus lent, à descendre jusqu'à 50 kHz.

son 3.54b : sur cette séquence, les individus sont nombreux et rapprochés les uns des autres : une cacophonie de FM aplanies entre 50,5 et 61 kHz. La présence de *P. pygmaeus* ne laisse aucun doute mais que faire des signaux en dessous de 50 kHz ? L'individu sur 50,5 kHz (signal à 90 ms par exemple) est en FM sigmoïde avec une

LB > 50 kHz, ce qui signe habituellement la présence de *P. pipistrellus* ; on remarque par ailleurs que plusieurs signaux FM aplanie tronquée (à 370 ms par ex.) se terminent par une courte FM descendante, mais on sait que *P. pygmaeus* et *P. pipistrellus* peuvent toutes deux présenter cette caractéristique. Plus loin, à partir de 6291 ms, un individu sur 49,5 kHz en FM aplanie, passe rapidement en QFC sur 49 puis 48 kHz ; puis plus loin encore (8740 ms) il est sur 47 kHz, puis (9005 ms) sur 46 kHz ! Tous les individus de cette séquence appartiennent pourtant à l'espèce *P. pygmaeus*. Cette scène est un bon exemple de compétition de niche fréquentielle, dans une zone (Andalousie, Espagne) où les populations de *P. pipistrellus* sont minoritaires (mais présentes : l'espèce a été contacté sur un autre site non loin de celui-ci), du comportement de *P. pygmaeus* qui lorsqu'elle chasse en groupe compact, déborde largement de sa niche fréquentielle habituelle, en empiétant sur celle de *P. pipistrellus*. Si cette dernière était présente en chasse sur le même site au même moment, sans doute deux phénomènes se produiraient : les individus de *P. pipistrellus* seraient sur leur gamme basse entre 42 et 45-46 kHz, et ceux de *P. pygmaeus* ne descendraient pas en dessous de 47 kHz par exemple.

- ❖ **p. 181** : rajouter après le son 3.60 : **son 3.60a** : séquence de Minioptère en chasse dans une chênaie clairsemée. Après un silence, les premiers signaux entendus sont intenses (le premier est même plus intense que les suivants !) : l'individu devait voler sans émettre, car sinon quelques signaux préliminaires seraient forcément audibles ; ce comportement rappelle celui de *N. leisleri* lorsqu'elle cherche à surprendre des lépidoptères tympanés avec ses « salves surprises » en les alertant le plus tardivement possible (**son 3.41c**) ; s'ensuivent des signaux FM aplanie à récurrence rapide puis, sans véritable phase d'approche (juste trois signaux), une phase de capture (caractéristique par sa récurrence forte) en deux temps, indiquant sans doute que la proie a réagi à cette attaque. Les signaux qui suivent, après 3000 ms, sont typiques par la sonorité très « lissée » sans amorce explosive. Le même scénario se reproduit à 6500 ms. Vers 10600 ms on entend un autre trille, mais qui sort de nulle part : il ne peut venir d'aucun des deux individus qui produisent chacun deux FM aplanies au même moment ; il s'agit donc d'un troisième individu dont les signaux sonar sont absents ou inaudibles, et ce trille peut aussi bien être une phase de capture qu'une émission à caractère social (les deux sont très proches chez cette espèce). Cette séquence illustre une technique de capture des lépidoptères tympanés par *M. schreibersii*, qui vise à rester discret lors de la phase de pré approche (silencieuse) puis à retarder la réaction de sa proie en supprimant ou réduisant la phase d'approche finale.
- ❖ **p. 182** : rajouter après le son 3.65 : **son 3.65a** : deux individus de *P. pipistrellus* émettent en QFC sur 44 et 46 kHz ; l'un d'eux produit une phase d'approche puis de capture, et repart aussitôt en QFC sur 47 kHz. Cette scène illustre une entorse à la règle générale qui veut que *P. pipistrellus* (comme *P. kuhlii*) ne pratique la QFC plane qu'en transit ou recherche passive. Mais aucun schéma général n'est parfaitement rigide dans la nature en général, et le comportement des individus en particulier : nous sommes un 29 septembre à 500 m d'altitude dans le Massif Central, et la température fraîche réduit le nombre de proies en activité ; les Pipistrelles sont donc en recherche passive, utilisant la QFC pour s'économiser (et parce que le milieu semi ouvert le permet), mais toute localisation d'une proie déclenche une rupture dans ce régime de basse dépense énergétique. Quelques trilles sociaux dans la séquence, illustrent sans doute des messages agonistiques en lien avec la compétition pour une faible provende.

- ❖ **p. 182** : rajouter après le son 3.68 les § suivants :

son 3.68a : les FM aplanies du début de cette séquence sont dans la gamme fréquentielle commune à *P. kuhlii* et *P. nathusii* ; mais à 6920 ms deux QFC planes apparaissent brutalement, avec une FME de 37-38 kHz. Plus loin à 8168 ms, une FM aplanie présente une cassure anguleuse, typique des espèces QFC type : il s'agit bien de *P. nathusii*. Nous sommes dans une forêt du nord de l'Allemagne, vers Cologne, où *P. kuhlii* n'a pas encore été répertoriée, et où *P. nathusii* est par contre bien présente : elle utilise alors la gamme fréquentielle disponible, de 34 à 41 kHz (voir encadré sur la compétition entre niches fréquentielles p. 170). Enregistrement : Tanja Kessels.

son 3.68b : séquence enregistrée en aveugle dans une zone géographique (Albères – 66) où *P. kuhlii* est abondante, et où *P. nathusii* est plus rare. Les premiers signaux sont des QFC non planes sur 39 kHz : *P. kuhlii* produit ses QFC dans une gamme inférieure à 38 kHz en règle générale, alors que *P. nathusii* est coutumière de ces fréquences ; de plus, plus loin dans la séquence (23684 ms), un signal FM aplanie présente une cassure anguleuse, typique des espèces QFC type : donc *P. nathusii*. Plus loin (2400 ms) les signaux FM aplanies esquissent une courte FM terminale descendante, qui réapparaît de façon très nette et répétée après 4870 ms : cette caractéristique, sur des FM aplanies dont la partie QFC est égale à au moins la moitié de la durée totale du signal, n'est pas encore certifiée (en tous cas comme comportement courant) chez *P. nathusii*, alors qu'il est très régulier chez *P. kuhlii*. Voici donc un exemple de cas d'identification insoluble entre ces deux espèces, où des caractéristiques typiques (mais non exclusives à 100 % !) de l'une sont « copiées » par l'autre.

- ❖ **p. 183** : rajouter après le son 3.72 : **son 3.72a** : séquence débutant par des signaux FM aplanie plus ou moins tronquée, dans la gamme de FME 38 à 41 kHz qui est commune à *P. kuhlii* et à *P. nathusii* ; vers 2,8 s le trille social sur 15 kHz, non doublé, élimine *P. nathusii* et ressemble au répertoire de *P. kuhlii*, même s'il est plutôt rapide pour cette dernière ; par contre les trilles lointains à partir de 7,8 s sont lents et bas (13 kHz), ce qui conforte *P. kuhlii*. L'individu émettant les signaux sonar est en chasse active près d'une lisière, d'où les signaux courts à large bande. A partir de 11 s un individu de *P. pipistrellus* apparaît, lui-même en chasse active, suscitant une production de plusieurs cris sociaux simples dont l'auteur est inconnu ; ils proviennent peut-être de *P. pipistrellus* puisqu'à 11370 et 11941 ms le cri social est simultanément avec un signal sonar de l'individu de *P. kuhlii* ; mais tout se complique puisqu'à 12850 ms cette fois c'est avec un signal sonar de *P. pipistrellus* que le cri social est recouvrant ! La solution tient sans doute au fait que deux individus de *P. kuhlii* sont présents (à partir de 10,4 s), alors qu'un seul individu de *P. pipistrellus* est audible : c'est sans doute l'interaction entre les deux congénères de *P. kuhlii* qui provoque ces émissions sociales atypiques, et non une interaction entre espèces.
- ❖ **p. 183** : rajouter après le son 3.76 : « **son 3.76a** : séquence de Vespère de Savi chassant activement dans une allée forestière en fond de vallon (Roubion, vallée de la Tinée, Mercantour). Aucun signal QFC n'est présent dans cette longue séquence : le feuillage est proche de chaque côté et la trajectoire de vol en dessous de la canopée. Les FME sont souvent aux alentours de 38 kHz, et les FM aplanies tronquées sont presque toutes sigmoïdes, avec une courte FM terminale : une signature connue chez *P. kuhlii*... Mais deux détails éliminent cette dernière espèce : vers 38000 ms les signaux FM de la phase d'approche terminent tous à 30 kHz, puis à partir de 41000 ms l'individu s'éloigne vers un milieu plus ouvert : le rythme se ralentit et corrélativement

la LB et la FME diminuent jusque vers des QFC vers 33 kHz. *H. savii* peut donc pratiquer des FM sigmoïde sur des signaux courts à partie QFC tronquée. »

- ❖ p. 183 : § Identification des FM, ligne 1, corriger la répétition de « **fréquences** »
- ❖ p. 185 : 2^e ligne, enlever et ajouter « Il est **très** rare d'avoir à hésiter par exemple entre des signaux de Pipistrelles ou Minioptère d'une part, et de Vespertillons d'autre part (**le plus souvent, une courbure concave finale sur un signal, ou un retour à des signaux FM aplanie après la phase d'approche permettent de trancher**) ; mais ce risque... »
- ❖ p. 185 : ligne 9, supprimer la parenthèse « (**voir début de « Timbre sifflé » (voir « Le timbre », p. 194)** »
- ❖ p. 185 : encadré, remplacer le contenu par le suivant :

Une fois la structure FM identifiée, le processus d'identification va faire appel aux critères suivants :

- **Timbre** : sifflé *versus* nasillard ou miaulé
- Si timbre **nasillard** : amorce explosive = *Plecotus* (mesures signaux) ; abs pic = *B. barbastellus*
- Si timbre **miaulé** : *Plecotus* (mesures signaux)
- Si timbre **sifflé** : **distance FME-FT** (faible = espèce QFC ou FM aplanie ; + grande = *Myotis*)
- Si *Myotis* : **répartition de l'énergie** : présence ou absence de pic ; puis **gamme de FT** : haute (> 30 kHz), moyenne (23 à 30 kHz), basse (< 23 kHz) → **type acoustique**
- **Mesures** de signaux sur logiciel (durée, FT, LB, FME) → références sur graphiques bivariés
- Appréciation du **comportement** de l'individu, grâce à l'évolution du rythme croisé avec la structure, tout au long de la séquence

- ❖ p. 185 : § Timbre nasillard, § Circonstances d'émission, fin de l'alinéa 1, ajouter : « ... lorsqu'un individu se déplace en sous-bois dense **sans chasser** ;
- ❖ p. 185 : avant-dernière ligne, remplacer « ... (< 3 ms) ; **elle reste nasillarde** en milieu semi... » par « ... (< 3 ms) ; **il reste nasillard** en milieu semi-ouvert... ; en milieu ouvert (signaux > 5 ms)... »
- ❖ p. 188 : ligne 3 ; modifier « ... **il se démarque donc...** »
- ❖ p. 188 : fin du 1^{er} § ; effacer « transits en sous-bois, **donc sur une durée égale ou supérieure à la capacité de mémoire des détecteurs à expansion de temps, qui est de 1 à 3,5 secondes pour les modèles les plus courants** ».
- ❖ p. 188 : fin du 2^e § ; remplacer « ... **cette caractéristique ne se retrouve pas chez *Plecotus***. » par « **cette caractéristique peut aussi s'observer chez *Plecotus auritus* (son 3.86a)**. »
- ❖ p. 188 : 3^e § ; effacer « Si l'on excepte le cas particulier de certains signaux d'approche de *B. barbastellus* dont la forme est convexe **ou dont le maximum d'énergie porte sur l'harmonique 1**, le recouvrement est total... »
- ❖ p. 188 : bas de page, début § Différenciation spécifique au sein du genre *Plecotus* ; remplacer « ... **Parmi les cinq espèces connues actuellement en Europe, trois ont été étudiées : *P. auritus*, *P. austriacus* et *P. macrobullaris***. » par « **Parmi les espèces connues actuellement en Europe, trois ont été étudiées à partir d'individus identifiés de façon certaine : *P. auritus*, *P. austriacus* et *P. macrobullaris***. Par ailleurs, des

séquences enregistrées en aveugle, en Sardaigne sur les sites historiques de l'espèce endémique *Plecotus sardus*, montrent des caractéristiques fréquentielles et comportementales différentes de celles observées chez les trois autres espèces étudiées, et concordantes avec des séquences certaines de *P. sardus* aimablement communiquées par Mauro Mucedda ; elles ont donc été rattachées de façon certaine à cette dernière espèce ; ces caractéristiques sont détaillées dans le chapitre « Monographies » (p. **XXX**), dans le fichier Excel « Identification_Plecotus_Barataud », et illustrées par les sons **3.89a** et **3.89b** avec leurs commentaires écrits. Enfin, des enregistrements de *P. teneriffae* réalisés aux Canaries par Julien Barataud sont également détaillés dans le chapitre « Monographies ».

Les **tableaux 11 à 14** donnent les statistiques descriptives pour les trois espèces continentales ; ces valeurs... »

- ❖ **p. 190** : lignes 8-9, remplacer « ...et sera discuté dans le chapitre sur l'écologie acoustique (« **Les différences de structure, concave versus convexe** », p. 321). On constate... » par « ...et sera discuté dans le chapitre sur l'écologie acoustique (« **Les signaux des Oreillards** », p. 318). On constate... »
- ❖ **p. 190-191** : remplacer le § « **La fréquence terminale offre une analyse intéressante : son évolution en fonction de la durée des signaux est fortement décroissante chez *P. auritus*, de même chez *P. macrobullaris* mais dans une moindre mesure et avec des valeurs moyennes plus faibles ; au contraire chez *P. austriacus* elle reste relativement stable, suivant une pente nettement moins prononcée. Dans le cortège de cette constatation il était intéressant de positionner quelques signaux longues durées et basses fréquences (**figures 116 et 120**) de *Plecotus sp* récoltés en aveugle, dans des milieux très ouverts de plaine et de montagne (aucun individu marqué n'ayant malheureusement affiché ce comportement acoustique malgré de nombreuses heures de suivi) ; ces signaux suivent la tendance cohérente affichée par *P. auritus* et *P. macrobullaris*, étant au contraire en rupture avec celle de *P. austriacus* ; il est donc probable (mais non encore démontré par l'observation directe), que ces signaux particuliers n'appartiennent pas à cette dernière espèce, des travaux de recherche sont encore nécessaires. » par « **La fréquence terminale offre une analyse intéressante ; son évolution en fonction de la durée des signaux (**figure 120**) est continuellement décroissante chez *P. auritus*, descendant sous 10 kHz à partir de 7 ms de durée, alors que chez *P. macrobullaris* elle semble se stabiliser aux environs de 15 kHz (voir son **3.92a**) ; *P. austriacus* n'a jamais produit de signaux de plus de 8,5 ms au cours de l'étude, malgré de très nombreux contacts en chasse dans de grandes prairies : il est probable que ces longues durées sont peu ou pas pratiquées par cette espèce. Aucun des individus de *P. auritus* suivis après marquage, n'a traversé des vastes milieux très ouverts. Aussi, quelques signaux longues durées et basses fréquences de *Plecotus sp*, issus de deux séquences récoltées en aveugle dans ce contexte de milieu très ouvert, ont été rajoutés : ils peuvent être attribués de façon très probable à *P. auritus* grâce à plusieurs éléments concordants : le secteur géographique de plaine (ouest de la Haute-Vienne) incompatible avec *P. macrobullaris* ; le comportement de transit caractérisé (vol linéaire rapide, signaux longs très intenses) et non de chasse en recherche passive comme le fait couramment *P. austriacus* dans ce type de milieu ; les mesures de FME et de FT, en cohérence avec la tendance décroissante affichée par *P. auritus*, et au contraire en rupture avec celle de *P. austriacus*. »****
- ❖ **p. 193** : rajouter après le son 3.86 : « **son 3.86a** : séquence où apparaissent, en plus des FM aplanie de *P. pipistrellus*, des signaux FM à bande très étroite et à timbre

nasillard, au-dessus de 50 kHz. Sur certains, après 1 s puis de façon plus nette après 1,5 s, on distingue un autre composant en dessous, qui n'est autre que le fondamental. Un filtrage de l'intensité a été opéré par cet individu de *P. auritus*, déplaçant de façon inhabituelle l'énergie du fondamental vers l'harmonique 1. » (ce § est aussi à rajouter au fichier « Commentaires séquences expansion x10 »)

- ❖ **p. 193** : rajouter après le son 3.89 : « **son 3.89a** : montage de plusieurs séquences d'Oreillard mises bout à bout, enregistrées toutes sur une même station la soirée du 15 avril 2023 sur le site de Punta Pedra Longa (Baunei, Sardaigne). Le milieu de chasse est un matorral dense composé principalement de cistes et pistachiers térébinthes garnis de salsepareille, avec de gros blocs rocheux calcaires, en lisière d'un petit talweg boisé de petits chênes verts sur une pente à environ 160 m du littoral marin. Le comportement acoustique est particulier : souvent, la durée des signaux devient plus courte et la FME devient corrélativement légèrement plus haute (indiquant des obstacles plus proches), sans que la récurrence diminue en conséquence comme le voudrait la logique de localisation spatiale (voir par exemple à 8,6 s, 12,8 s, 23,6 s, 32,8 s, etc.) ; ceci peut s'expliquer par un vol lent exploratoire qui sonde l'interface de la végétation (bien trop dense et épineuse pour être pénétrée). Au contraire, la récurrence augmente parfois alors que les signaux sont plus longs en durée et plus bas en FME (voir par exemple à 2,5 s et 45 s), ce qui indique probablement une accélération du vol pour se déplacer rapidement d'un point à un autre alors que l'interface horizontale ou verticale de la végétation reste proche. Les mesures de signaux les mieux restitués donnent, en moyenne, des valeurs de LB, FI et FT assez basses quelle que soit la tranche de durée. L'ensemble des paramètres (localisation géographique, mesures de durées et de fréquences, comportement acoustique) confère une probabilité très forte à l'appartenance de cette séquence à un autre taxon que *P. auritus* ou *P. austriacus*, donc par défaut *Plecotus sardus*.

son 3.89b : séquence d'Oreillard enregistrée en avril au crépuscule dans le centre-ouest de la Sardaigne (secteur de présence de *Plecotus sardus*), dans un fond de vallon boisé de vieux chênes verts avec des micro clairières. L'individu, non identifié en main, a pu être observé un instant grâce à la lumière résiduelle ; il volait lentement à moins d'un mètre au-dessus du sol, explorant d'assez près (d'où la durée courte des signaux : 1,5 à 2,5 ms) la surface du feuillage d'un chêne vert couché ; de nombreuses stridulations de la sauterelle *Cyrtaspis scutata* résonnent dans tous les chênes alentours, et constituent peut-être une source de localisation passive des proies, justifiant, en plus de la lenteur du vol, ces émissions à rythme lent (intervalles 70 à 150 ms) : le sonar servirait ici seulement à ajuster la distance par rapport au feuillage, et non à détecter une proie. Un autre individu (non vu) vole en arrière-plan sonore, utilisant des durées plus longues (jusqu'à 7 ms) sans que les intervalles soient modifiés en proportion (70 à 200 ms) : la distance à la végétation doit être plus grande et la vitesse de vol plus élevée. L'ensemble des paramètres (localisation géographique, mesures de durées et de fréquences, comportement acoustique) confère une probabilité très forte à l'appartenance de cette séquence à un autre taxon que *P. auritus* ou *P. austriacus*, donc *Plecotus sardus*. »

- ❖ **p. 193** : rajouter après le son 3.92 : « **son 3.92a** : séquence de *P. macrobullaris* en recherche passive au-dessus d'une pelouse d'altitude. Les signaux varient quelque peu en durée en fonction de la récurrence, les plus longs atteignent presque 11 ms. On remarque, sur le spectrogramme, que certains signaux mieux marqués débutent par une courbure convexe, ce qui n'a pas encore été noté pour les signaux sonar de *P. auritus* et *P. austriacus*. »

- ❖ **p. 195 et 197** : remplacer le § suivant : « Les signaux abs bas (voir section sur le genre *Myotis*) des grands Murins ont presque toujours une terminaison sigmoïde leur donnant un aspect tortueux, avec une courte FM descendante à la fin ; toutes les séquences contiennent des signaux où ce critère est bien visible. Attention : une courte FM abrupte terminale n'est pas une exclusivité des grands Murins : elle peut se retrouver chez toutes les espèces de *Myotis* pratiquant l'absence de pic. Cette terminaison sigmoïde n'est pas une signature spécifique en lien avec un groupe phylogénétique donné ; elle semble liée à des composantes de structure de l'environnement de vol (milieu semi ouvert avec présence proche d'une lisière verticale ou horizontale – canopée, sol – située dans un plan parallèle à l'axe d'émission). Elle est pratiquée très fréquemment par *P. kuhlii* et ponctuellement par *E. serotinus*. Mais dans ces cas leur appartenance à la structure sonar FM aplanie confère aux signaux une courbure concave typique qui génère une différence d'aspect visuel par rapport aux *Myotis* (**figure 122**). » par « Les signaux abs bas (voir genre *Myotis* p. **201**) des grands *Myotis* ont presque toujours une forme globale sigmoïde particulière (large courbure concave, puis brusque courbure convexe en bas du signal, suivie d'une courte FM), à laquelle s'ajoutent des ondulations lui donnant un aspect tortueux. Une courte FM terminale peut aussi se retrouver chez *E. serotinus*, mais la structure type FM aplanie de cette dernière confère à ses signaux une courbure hyperbolique typique qui la différencie visuellement assez bien des signaux sigmoïdes et ondulés des grands *Myotis* (**figure 122**). »
- ❖ **p. 197** : § Cas particulier des signaux « alternance » de *B. barbastellus* ; titre à remplacer par « *Signaux alternés de B. barbastellus : un cas particulier* » (à répercuter dans le sommaire) ; lignes 1-2, enlever : « Nous avons déjà traité de la Barbastelle dans « Identification des QFC/FM descendante » (p. **150**) (signaux QFC/FMd de « rencontre ») et dans « Timbre nasillard » (voir « Le timbre », p. **185**) (signaux d'approche à timbre nasillard). »
- **p. 197** : § Cas particulier des signaux « alternance » de *B. barbastellus*, ligne 6, corriger : « Dans le chapitre sur l'écologie acoustique (« Le sonar de la Barbastelle », p. **304**) nous discuterons... »
- ❖ **p. 197** : dernière ligne ; ajouter « ...FT principalement. Rarement, seul le type A est émis (lors d'un transit en milieu ouvert par ex.). »
- ❖ **p. 198** : rajouter à la fin du 1^{er} § : « lorsque le hasard alterne les deux fréquences avec un rythme comparable (**son 3.99**). »
- ❖ **p. 198** : rajouter après le son 3.101 : « **son 3.101a** : séquence d'individus de *B. barbastellus* sur leur terrain de chasse, avec émissions de cris sociaux divers. »
- ❖ **p. 201** : remplacer titre « FME < 35 kHz » (à répercuter dans le sommaire) par : « *Signaux FM des espèces à composante QFC ; FME < 35 kHz (T. teniotis à E. nilssonii en approche d'obstacles)* »
- ❖ **p. 201** : fin du § « FME < 35 kHz », rajouter un § (à répercuter dans le sommaire) intitulé « *Signaux FM des espèces à composante QFC ; FME > 35 kHz (H. savii à P. pygmaeus en approche d'obstacles)* ». (retour à la ligne) texte : « De façon ponctuelle (comme pour le groupe précédent), les espèces FM/QFC appartenant aux genres *Hypsugo*, *Pipistrellus* et *Miniopterus* peuvent pratiquer des FM abruptes. Les circonstances sont variables et plus ou moins fugaces : une approche d'obstacles (phase de très courte durée avec récurrence croissante) ; une traversée de feuillage ou de sous-bois dense (durée plus variable mais rarement > 10 s, rythme de croisière à

réurrence forte) ; une poursuite entre 2 individus (c'est alors le poursuivant qui a les signaux FM les plus abruptes, durée variable, récurrence forte).

Ces circonstances se produisent assez fréquemment, notamment lorsque les individus évoluent en groupe (l'interaction entre 2 individus de Pipistrelle génère souvent des signaux atypiques : dès que l'on entend ou voit un tel contexte, notre analyse doit intégrer ce risque de déviance !). Dans une majorité de séquences, la confusion avec un *Myotis* peut être évitée par des critères auditifs (largeur de bande plus faible) et/ou visuels (FME proche de FT ; courbure concave terminale, seul vestige de la transition vers la partie QFC) : au moins quelques signaux sont en FM aplanie tronquée. Il est en effet beaucoup plus rare d'être confronté à une séquence de Pipistrelle en FM abrupte sans aucun de ces critères distinctifs : la durée de la séquence est dans ce cas primordiale, afin d'augmenter les chances d'apparition d'un signal plus typique, ou carrément d'un retour à la FM aplanie (voir **figure 126a** ; voir **sons 3.64 ; 3.70 ; 3.72**). »

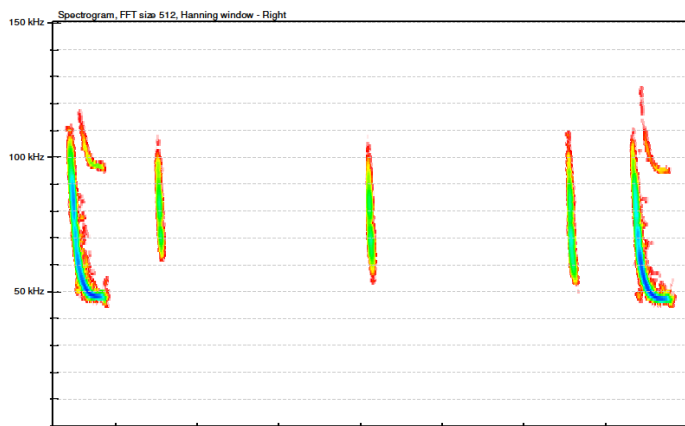
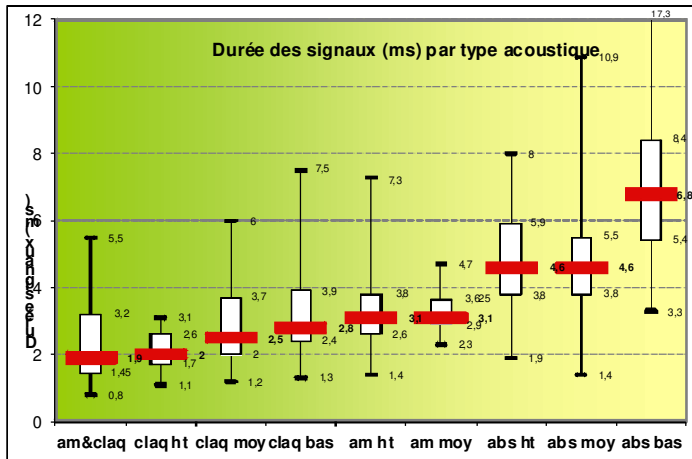


Figure 126a : signaux FM de 2 individus de Pipistrelle commune en interaction. L'un (signaux aux extrêmes gauche et droite) est en FM aplanie tronquée : la courbure concave terminale est bien visible. L'autre est en FM abrupte très similaire à ce qu'un Murin pourrait produire : la présence de l'individu de Pipistrelle en FM doit alerter sur la probabilité d'une interaction intraspécifique ; une recherche ailleurs dans la séquence de courbures terminales, ou de proximité entre FME et FT sur l'individu en FM, permettra seule de trancher.

- ❖ **p. 201** : titre « **FME > 35 kHz** (genre *Myotis*) » à remplacer par « **Signaux FM abrupte genre *Myotis*** » (à répercuter dans le sommaire) ; début du § : enlever et modifier : « Nous voici arrivés à un stade du processus d'identification où il ne reste plus à traiter que les FM abruptes correspondant au genre *Myotis* ; en effet, de façon ponctuelle (comme pour le groupe précédent), les espèces FM/QFC appartenant aux genres *Hypsugo*, *Pipistrellus* et *Miniopterus* peuvent pratiquer des FM abruptes mais les signaux ne comportant aucune esquisse de QFC terminale (FM aplanie tronquée) sont rares et correspondent à des séries très courtes : ces cas ont été abordés dans le chapitre IV.C.4.b., section « Signaux FM/QFC, FM aplanie (ou FM bande étroite) ». Ce dernier volet d'identification des FM n'est pas des moindres. Le nombre... en compte les 14 espèces de *Myotis*... »
- ❖ **p. 201** : « FME > 35 kHz (genre *Myotis*) », mettre les 4 alinéas dans l'ordre suivant : « Amorce explosive et claquement final (am & claq) ; Claquement final (claq) ; Amorce explosive (am) ; Absence de pic (abs) »
- ❖ **p. 201** : bas de page, ligne au-dessus des 3 alinéas : modifier ; « ...seuils entre les gammes de FT. Trois classes ont été définies :... »
- ❖ **p. 203** : rajouter en fin de § le texte suivant et la figure 126a : « ... bonne stabilité de ce lien pour une espèce donnée dans chaque situation de vol. (retour à la ligne)
Une autre présentation de distribution des types acoustiques en fonction du comportement, a été testée cette fois en fonction de la durée des signaux. Cette dernière est fortement corrélée à un indicateur très pertinent du milieu de vol : la

distance de curiosité. Car les intervalles sont très dépendants de la vitesse de vol ; or une espèce glaneuse (*M. bechsteinii*, *M. emarginatus*, *M. myotis-blythii*, *M. nattereri*), très manœuvrable, peut évoluer dans le feuillage d'un vol lent ; et un chasseur en poursuite comme *M. alcahloe*, *M. brandtii* ou *M. mystacinus* peut voler rapidement dans le feuillage ; dans les deux cas les intervalles seront très différents mais les durées très proches. Dans la **figure 126b** les types sont rangés par ordre de valeurs médianes croissantes de gauche à droite, en fonction de la durée des signaux. Les



types avec claquement final sont réservés aux durées courtes (milieux denses en obstacles), les types avec absence de pic sont réservés aux durées longues (milieux plus ouverts), les types avec amorce explosive sont utilisés dans les contextes intermédiaires. De même, les FT hautes

correspondent aux durées plus courtes, et les FT basses aux durées plus longues. Cette tendance est visible malgré les spécialisations fortes de certaines espèces qui utilisent le même type acoustique dans des circonstances variées (par exemple : *M. alcahloe* avec l'am ht, *M. nattereri* avec le claq bas, *M. myotis-blythii* avec l'abs moy-ht).

Figure 126b : ce graphique (boîte à moustaches avec valeurs de durées des signaux en regard des types acoustiques ; avec médiane en rouge, 1^{er} et 3^e quartiles en blanc, minimum et maximum) montre la cohérence comportementale des types acoustiques. La durée des signaux est positivement corrélée à la distance aux obstacles. On observe que plus les durées sont courtes (donc plus la distance est faible), plus le claq et les FT hautes sont utilisées ; plus les durées sont longues (donc plus la distance est grande), plus l'abs et les FT basses sont utilisées.

- ❖ p. 203 : § 2, ligne 10 ; ajouter : « ...ne sont pas présentés ; *M. crypticus*, bien étudié, est acoustiquement identique à *M. nattereri*)... »
- ❖ p. 203 : début de l'avant-dernier §, remplacer « Une fois le ou les types acoustiques identifiés et la moyenne des intervalles calculée pour chaque type,... » par « Une fois le ou les types acoustiques identifiés et les intervalles et/ou durées évalués ou mesurés pour chaque type,... »
- ❖ p. 203 : phrase en gras dans avant-dernier §, rajouter : « ... **Bien entendu le comportement de chaque individu ne rentre pas dans un moule rigide, et tel ou tel type peut parfois sortir de la gamme de récurrence indiquée...** »
- ❖ p. 204 : remplacer **valeurs** tableau 16 :

Types acoustiques			Durée intervalles (ms)	E-type
Structure	Répartition de l'énergie	fréquence terminale		
FM abrupte	claquement final	haute (> 30)	58,4	21,9
		moyenne (23 à 30)	66,8	34,1
		basse (< 23)	66,6	35,8
	amorce & claquement	haute & moyenne	76,0	19,0
	amorce explosive	haute (> 30)	85,7	54,6
		moyenne (23 à 30)	87,2	25,7
	absence de pic	haute (> 30)	96,0	37,3
		moyenne (23 à 30)	94,3	36,9
		basse (< 23)	134,2	50,5

❖ p. 204 : remplacer contenu complet tableau 17 :

Comportement de vol	Fin de phase d'approche (proie / obstacle), ou dans feuillage	Début de phase d'approche (proie / obstacle), ou près feuillage	Milieu semi-ouvert	Milieu ouvert (recherche passive / transit)
Distance obstacles	(< 1 m)	(1 à 3 m)	(3 à 5 m)	(> 5 m)
Durée intervalles	moy. 40 à 50 ms (20 à 70 ms)	moy. 50 à 70 ms (50 à 80 ms)	moy. 80 à 100 ms (60 à 120 ms)	120 à 250 ms
<i>M. alcatheae</i>	am ht	am ht	am ht	am ht / (abs ht)
<i>M. bechsteinii</i>	abs moy / claq ht	abs moy / claq moy	abs moy, (abs bas), (am ht)	abs bas / abs bas
<i>M. blythii</i>	abs moy / claq moy, bas (ht)	abs moy / claq moy-bas (am ht)	am ht, abs bas, (abs moy)	abs moy, (abs bas) / abs moy
<i>M. brandtii</i>	abs moy, am&claq / am&claq, claq moy (ht)	abs moy, am&claq / am ht, claq moy, am&claq	abs moy, (claq moy), (am&claq)	abs moy / abs bas
<i>M. capaccinii</i>	abs moy, am ht / abs moy, am ht	abs moy, am ht / abs moy, am ht	abs moy, ht	abs ht, abs moy / abs ht, abs moy
<i>M. dasyncneme</i>	abs moy / abs moy, (claq moy)	abs moy	abs moy	FM-QFC-FM, abs moy / abs moy
<i>M. daubentonii</i>	abs ht, abs moy / abs ht, abs moy, claq moy	abs ht, abs moy / abs ht, abs moy, (am moy)	abs moy, (ht)	abs ht-moy / abs ht
<i>M. emarginatus</i>	claq ht / claq ht	am ht, (claq ht) / am ht, (claq ht)	am ht, (claq ht), (abs ht)	abs ht, (claq ht) / abs ht
<i>M. myotis</i>	claq moy / bas	abs moy / abs moy, abs-am-claq-ht-lent&irrég, (claq moy)	abs bas, abs moy	abs bas / abs bas
<i>M. mystacinus</i>	am ht / claq moy	am ht / am ht	am moy, abs moy, (am ht)	abs moy, (am moy) / abs moy
<i>M. nattereri</i>	claq bas / claq bas	claq bas / claq bas	claq bas, abs bas(moy), abs-am-claq-ht-lent&irrég	abs bas, claq bas / abs bas

❖ p. 204 : fin du § 1 ; ajouter « ...en aveugle (voir encadré p. XX « Les transitions entre types acoustiques... »). »

❖ p. 204 : ligne 2 avant fin, modifier : « ...est pratiqué par 11 espèces ; la moyenne... »

❖ p. 205 : remplacer contenu tableau 18 :

Types acoustiques		N. espèces	N. signaux analysés	Durée signaux (ms)		Largeur de bande (kHz)		Fréquence initiale (kHz)		Fréquence terminale (kHz)		Fréq. max. énergie (kHz)	
Répartition de l'énergie	fréquence terminale			Moy.	E-type	Moy.	E-type	Moy.	E-type	Moy.	E-type	Moy.	E-type
claquement final	haute (> 30)	4	130	2,1	0,5	68,5	15,2	103,2	15,2	36,4	5,3	59,7	9,3
	moyenne (23 à 30)	6	239	2,8	1,1	69,7	14,3	97,1	13,5	27,4	3,1	48,5	6,2
	basse (< 23)	5	280	3,4	1,3	93,8	26,6	110,9	25,7	17,1	4,5	49,7	12,2
amorce & claquement	haute & moyenne	1	131	2,3	1,2	62,5	14,2	93,4	11,6	30,9	5,8	50,9	4,2

amorce explosive	haute (> 30)	7	993	3,3	1,0	65,8	15,1	102,5	14,9	36,7	4,7	59,6	7,8
	moyenne (23 à 30)	2	69	3,2	0,5	73,9	17,3	100,2	15,7	26,3	3,5	53,3	7,6
absence de pic	haute (> 30)	4	261	4,8	1,3	49,1	15,1	83,4	15,4	34,4	5,5	52,1	8,4
	moyenne (23 à 30)	9	1121	4,8	1,4	54,1	16,6	80,1	16,5	26,0	3,0	45,2	7,0
	basse (< 23)	6	288	7,0	2,4	50,8	16,6	72,0	15,8	21,2	2,3	37,2	6,3

- ❖ **p. 205** : rajouter (en gras), dans le titre de chaque tête de § p. 205, 208, 209, 212, 215, 216, 221, 222, 223, 234 : « **FME > 35 kHz, genre Myotis** - »
- ❖ **p. 207** : § son 3.104 ; corriger : « **son 3.104** : les signaux hésitent quelque peu entre une légère amorce explosive à peine perceptible (signaux 1 et 3 par exemple), et l'absence haute typique (signaux n° 2, 7, 9 et suivants) ; cette séquence sera classée en abs ht, mais on tiendra compte de la capacité de l'individu à produire aussi de l'am ht dans le choix des espèces possibles (ce qui éliminera *M. daubentonii*). »
- ❖ **p. 208** : insérer ici, en tête de liste sous l'encadré, le § « Amorce & claquement (am & claq) » situé p. 215-216. le basculement du § am & claq ici entraîne la perte de linéarité dans la numérotation des figures. Modifier (légende et dans le texte, en vérifiant d'éventuelles citations en dehors de cette partie !) : la 135 devient la 127, la 136 → 128, la 127 → 129, la 128 → 130, la 129 → 131, la 130 → 132, la 131 → 133, la 132 → 134, la 133 → 135, la 134 et 134a → 136 et 136a. Modifier aussi en conséquence l'ordre de numérotation des tableaux 19 à 22 ;
- ❖ **p. 208** : § Claquement final hautes fréquences (claq ht), ligne 6, rajouter : « ... peut aussi être conservé lors d'émissions de croisière à récurrence plus faible (intervalles > 80 ms), car cette espèce très manœuvrable peut voler lentement en milieu encombré et produire ainsi des signaux d'approche avec un rythme de phase de croisière. Chez *M. blythii*, *M. brandtii* et *M. bechsteinii*... »
- ❖ **p. 208** : ligne 2 avant fin ; ajouter « ...lors de l'approche frontale d'obstacles (lorsqu'il pénètre dans du feuillage) au claq moy... »
- ❖ **p. 208** : § Claquement final hautes fréquences (claq ht), rajouter à la fin du § (retour à la ligne après « ... ce que *M. brandtii* fait très rarement).), en gras, la phrase suivante : « **Attention au piège : toute séquence courte (1 à 5 s) comprenant une succession avec un rythme lent et souvent irrégulier, de signaux hautes fréquences avec (am et/ou claq) et/ou sans (abs) pics d'énergie, peut correspondre au comportement de contournement d'obstacles connu chez *M. myotis/blythii/punicus* (au sein d'une séquence abs moy ou bas) ou chez *M. nattereri* (au sein d'une séquence abs bas ou claq bas) ; voir les monographies consacrées à ces espèces p. 243 et p. 245.** »
- ❖ **p. 208** : tableau 20 ; mettre à jour ligne *M. blythii* (voir fichier xls, onglet « Types-valeurs » ; classer les espèces dans l'ordre croissant de moy. de durée des intervalles ;
- ❖ **p. 209** : tableau 20 : classer les espèces dans l'ordre croissant de moy. de durée des intervalles ;
- ❖ **p. 212** : § Claquement final basses fréquences (claq bas), § 3, ligne 3 ; supprimer : « le milieu de vol, la récurrence et la durée de ses signaux ; c'est pour cette raison qu'une dichotomie a été faite pour cette espèce entre milieu ouvert et sous-bois, les caractéristiques des signaux correspondants étant sensiblement différentes. Ces deux espèces se caractérisent... »

- ❖ **p. 213** : tableau 21 : supprimer **dernière ligne (M. dasyncneme)** ; remplacer contenu **ligne 3** ; classer les espèces dans l'ordre croissant de moy. de durée des intervalles ;

M. nattereri	123	73,1	41,5	3,5	1,2	103,1	25,3	119,0	24,6	15,9	5,0	54,2	10,8
---------------------	-----	------	------	-----	-----	-------	------	-------	------	------	-----	------	------

- ❖ **p. 215** : § Amorce & claquement (am & claq), ligne 1 ; rajouter : « Etant le seul type acoustique monospécifique lorsqu'il est pratiqué en phase de croisière avec un rythme de recherche active (voir monographie de *M. brandtii* p. 240), l'am & claq est supposé ne poser aucun problème d'identification. »
- ❖ **p. 215** : § Amorce & claquement (am & claq), rajouter à la fin du § (retour à la ligne après « ... ont été rajoutés pour montrer leurs valeurs généralement plus élevées.), **en gras**, la phrase suivante : « **Attention au piège : toute séquence courte (1 à 5 s) comprenant une succession (avec un rythme lent et souvent irrégulier) de signaux hautes fréquences avec (am et/ou claq) et/ou sans (abs) pics d'énergie, peut correspondre au comportement de contournement d'obstacles connu chez *M. myotis/blythii/punicus* (au sein d'une séquence abs moy ou bas) ou chez *M. nattereri* (au sein d'une séquence abs bas ou claq bas) ; voir les monographies consacrées à ces espèces p. 240, 243 et 245. »**
- ❖ **p. 216** : § Amorce explosive hautes fréquences (am ht), ligne 1, rajouter « ...sur les six concernées est spécialiste exclusive (ou presque, voir monographie *M. alcathoe* p. 239) de ce type acoustique ; c'est d'ailleurs un cas unique... »
- ❖ **p. 217** : alinéa 2 ; ligne 2 ; modifier « ... (il est le seul à faire cela) » ; ligne 3 ; supprimer la parenthèse « (sans pour autant être progressive) » ; lignes 4-5 ; remplacer « *M. brandtii*, nous l'avons vu, est coutumier du mélange entre am et claq, mais cela le met en concurrence avec *M. emarginatus* lorsque la transition est am ht à claq ht ; » par « *M. brandtii* pratique peu l'am ht, seulement parfois en phase de pré approche d'obstacles, avec des transitions abs moy - am ht - am & claq qui n'appartiennent qu'à lui ; »
- ❖ **p. 217** : § Amorce explosive hautes fréquences (am ht), rajouter à la fin du § (retour à la ligne après « ... pour une utilisation possible de l'am ht chez cette espèce en activité de chasse.), **en gras**, la phrase suivante : « **Attention au piège : toute séquence courte (1 à 5 s) comprenant une succession avec un rythme lent et souvent irrégulier, de signaux hautes fréquences avec (am et/ou claq) et/ou sans (abs) pics d'énergie, peut correspondre au comportement de contournement d'obstacles connu chez *M. myotis/blythii/punicus* (au sein d'une séquence abs moy ou bas) ou chez *M. nattereri* (au sein d'une séquence abs bas ou claq bas) ; voir les monographies consacrées à ces espèces p. 243 et p. 245. »**
- ❖ **p. 217** : tableau 23 ; mettre à jour ligne *M. alcathoe* (voir fichier xls, onglet « Types-valeurs » ; classer les espèces dans l'ordre croissant de moy. de durée des intervalles ;
- ❖ **p. 221** : rajouter après le son 3.142 : « **son 3.142a** : *M. alcathoe* volant en sous-bois, d'abord près du feuillage en am ht, puis à partir de 1,8 s dans une partie de futaie claire aux troncs espacés : l'amorce s'estompe sur la plupart de signaux, pour disparaître sur quelques-uns (dont la FT descend en dessous de 40 kHz : les durées de signaux sont alors supérieures à 4 ms et celles des intervalles sont de 180 à 200 ms) et devenir de l'abs ht ; ce schéma recommence à partir de 8,5 s après une phase à récurrence plus rapide où les FT sont entre 40 et 50 kHz.

- ❖ **p. 222** : remplacer l'ensemble du paragraphe Absence de pic hautes fréquences (abs ht) par : « Ce type est utilisé en recherche passive ou en transit en milieu ouvert pour la plupart des espèces concernées (*M. capaccinii*, *M. daubentonii*, *M. emarginatus*) ; il en résulte une durée moyenne à longue, avec une énergie assez bien répartie tout au long de la largeur de bande, restituant en expansion de temps un son « lissé ».

M. capaccinii peut émettre en abs ht lors de phases de chasse au-dessus de l'eau ; que ce soit en transit au-dessus d'une garrigue et d'un maquis ou en chasse sur l'eau (vol non rasant, à plus d'un mètre de hauteur moyenne), les signaux abs ht de cette espèce sont remarquables par leur durée moyenne à longue.

M. daubentonii pratique souvent les signaux abs ht (débordant parfois en dessous de 30 kHz de FT, surtout en transit) dès qu'il ne chasse plus au ras de la surface de l'eau : que ce soit en transit en milieu ouvert (signaux souvent plus courts et à FT plus basse que ceux de *M. capaccinii*, à FME et LB souvent inférieures à celles de *M. emarginatus*), ou en chasse en lisière et en sous-bois (durée, FT et LB souvent plus faibles et FME souvent plus haute que pour *M. capaccinii* ; les mesures sont recouvrantes avec celles de *M. emarginatus* mais ce dernier ne reste pas en abs ht lors d'une approche).

M. emarginatus produit ses signaux abs ht en transit ou en recherche passive, reprenant l'am ht ou le claq ht dès qu'il se rapproche de la végétation.

M. nattereri utilise l'abs ht souvent en milieu forestier lorsqu'il contourne par le haut un buisson, sur de courtes (1 à 5 s) séries à rythme lent et généralement irrégulier, encadrées par le claq bas ou l'abs bas. La FME souvent très haute et la rythmique particulière évitent généralement toute confusion avec *M. capaccinii*, *M. daubentonii* et *M. emarginatus*. Les critères fréquentiels, la durée et la courbure des signaux sont très variables d'un signal à l'autre au sein d'une même série, et cette variabilité s'étend aussi aux pics d'énergie : si l'abs est souvent de mise, il n'est pas rare que des pics (am, claq, am & claq) apparaissent sur un ou plusieurs signaux (comportement que l'on retrouve aussi chez les grands *Myotis*) ; ainsi, le choix simplificateur de cantonner ces signaux uniquement dans l'abs ht pour *M. nattereri*, ne doit pas faire oublier que tous les types acoustiques à hautes fréquences terminales peuvent se rencontrer dans ces séries courtes à rythme lent, et que les valeurs mesurées pour le type abs ht restent valables lorsque des pics d'énergie apparaissent. »

- ❖ **p. 223** : remplacer **contenu complet** tableau 25 :

Absence de pic, haute fréquence	N. signaux analysés	Durée interv.(ms)		Durée sig. (ms)		LB (kHz)		FI (kHz)		FT (kHz)		FME (kHz)	
		Moy.	E-type	Moy.	E-type	Moy.	E-type	Moy.	E-type	Moy.	E-type	Moy.	E-type
<i>M. capaccinii</i> (chasse & transit)	113	87,4	30,3	5,5	1,2	40,5	7,9	75,1	7,3	34,6	2,5	49,5	3,4
<i>M. daubentonii</i> (chasse)	31	93,4	30,1	4,1	0,8	54,0	11,5	88,1	10,2	34,1	4,0	50,3	2,6
<i>M. daubentonii</i> (transit)	37	99,3	31,0	4,7	0,8	43,8	12,3	72,9	11,6	29,2	2,7	45,7	4,1
<i>M. nattereri</i> (courtes séries)	29	103,0	33,4	4,1	1,5	68,9	19,4	110,7	10,9	41,8	11,3	71,3	9,2
<i>M. emarginatus</i> (transit)	51	114,8	54,3	4,3	1,2	57,8	11,8	91,3	12,0	33,5	2,5	52,2	4,4

- ❖ **p. 223** : ligne 4 avant fin ; corriger « ...pour cinq espèces sur les onze qui le pratiquent... »
- ❖ **p. 225** : § 2, ligne 2 ; ajouter « ...lors de transits en milieu ouvert ou de recherche passive en sous-bois clair,... »

- ❖ **p. 225** : § 3, ligne 3 ; modifier : « ...rasant le sol ; par moments (lorsque l'individu contourne un buisson), une courte série de signaux hautes fréquences (avec ou sans pics) est produite,... »
- ❖ **p. 226** : fin § (...comportement de chasse.) ; ajouter (après retour à la ligne) : « Enfin, *P. kuhlii* joue parfois les invités surprises dans ce type acoustique, en produisant des séries de signaux FM sigmoïde qui peuvent être confondus avec ceux d'un *Myotis* (voir encadré p. 262). »
- ❖ **p. 226** : tableau 26 ; mettre à jour tableau (voir fichier xls, onglet « Types-valeurs » ;
- ❖ **p. 231** : rajouter le § suivant après celui du son 3.166 : « **son 3.166a** : *M. mystacinus* en vol dans une petite clairière, non loin de la lisière arborée ; mis à part quelques phases d'am moy (entre 8000 et 10000 ms par ex) la plupart des signaux sont en abs moy (entre 5000 et 7000 ms par ex aucune amorce n'est audible ; attention : la saturation de quelques signaux génère un craquement artefactuel à ne pas confondre avec un pic d'énergie). Sur de nombreux signaux on perçoit une légère amorce, si peu marquée que la frontière avec l'abs moy est ténue : on sent que l'animal « hésite » entre les deux. Vers 12000 ms on entend une phase de capture : le comportement acoustique de recherche passive en milieu semi ouvert n'empêche pas l'individu de profiter d'une opportunité. »
- ❖ **p. 232** : encart « Les signaux FM sigmoïde de *Pipistrellus kuhlii*... », fin du 1^{er} §, remplacer : « depuis dans **plusieurs autres départements français (Corrèze, Indre...)**... » par « depuis dans la plupart des départements français où l'espèce est présente... »
- ❖ **p. 232** : encart « Les signaux FM sigmoïde de *Pipistrellus kuhlii*... », fin du 3^e §, remplacer : « **ils ont certainement une double fonction sonar et sociale, comme en témoigne la présence systématique de deux individus et des trilles** » par « ils ont le plus souvent une double fonction sonar et sociale, comme en témoignent la récurrence cohérente avec une fonction d'écholocation, la présence systématique de deux individus, et celle des trilles. Mais ils peuvent dans des quelques cas être utilisés (avec moins de variations d'un signal à l'autre) en chasse active, phénomène qui semble par ailleurs récurrent chez certaines populations insulaires (en l'absence de « compétition » avec des espèces FM abrupte types) comme en Crête (Vrignault & Barataud, 2021) et aux Canaries pour *P. maderensis*, dérivée de *P. kuhlii* (Barataud J. et al., 2020). »
- ❖ **p. 234** : rajouter le § suivant après celui du son 3.172 : « **son 3.172a** : séquence de *M. punicus* en recherche passive dans un boisement rivulaire clairsemé. Les signaux de durée moyenne (6 à 8 ms) au début et à la fin ont une double courbure sigmoïde avec la courbure convexe en fin de signal, la partie FM terminale étant très estompée mais descendant en dessous de 30 kHz : c'est bien de l'abs moy. Vers le milieu de la séquence, on constate une transition vers une série de signaux plus courts, linéaires et haut en fréquence, sans que le rythme ne s'accélère beaucoup ; ce comportement est très proche de ceux de *M. myotis* et *M. blythii*, et correspond au survol lent d'un buisson bas. »
- ❖ **p. 234** : § abs bas, lignes 1-2 ; modifier ...(par ordre décroissant de fréquence d'utilisation : *M. myotis*, *M. blythii*, *M. bechsteinii*, *M. punicus*, *M. brandtii*), la transgression... »
- ❖ **p. 234** : § abs bas ; supprimer retour à la ligne entre lignes 5 et 6 ;

- ❖ **p. 234** : ligne 17 ; modifier : «...est alors parfois délicate. La distance entre courbures concave et convexe est généralement bien plus faible chez les grands *Myotis* (voir spectrogrammes dans l'onglet abs bas du fichier xls Identification_Myotis). On remarquera... »
- ❖ **p. 238** : tableau 27 ; mettre à jour tableau (voir fichier xls, onglet « Types-valeurs » ;
- ❖ **p. 238** : fin premier §, rajouter après « ...; heureusement la FME, plus haute chez cette dernière espèce, est presque toujours discriminante. » (retour à la ligne) la phrase suivante : « **Même si *M. daubentonii* et *M. dasycneme* ne sont pas répertoriés dans le type abs bas, il convient de garder à l'esprit que lorsque ces espèces chassent au ras de la surface de l'eau, il est assez fréquent que leurs séquences comportent quelques signaux dont la FT est inférieure à 23 kHz ; c'est suffisamment inconstant pour ne pas les rajouter dans ce type, mais assez souvent observé pour le mentionner (voir fichier Excel « Identification_Myotis... » en bas de la feuille abs bas). »**
- ❖ **p. 239** : rajouter le § suivant après celui du son 3.178 : « **son 3.178a** : séquence de transit ou de recherche passive de *M. blythii* en milieu ouvert (grande friche herbacée) ; l'ondulation caractéristique des signaux en abs de pics des grands *Myotis* (rarement présente aussi chez *M. bechsteini*) et la durée longue (9 à 11 ms) tranchent avec la FT qui ne descend pas en dessous de 24,5 kHz : cette utilisation de l'abs moy avec de longues durées de signaux est caractéristique de *M. blythii*. »
- ❖ **p. 239 à 245** : **supprimer l'ensemble de la section « FME > 35 - Caractéristiques acoustiques des espèces de *Myotis* »** car elle est reportée, avec modifications, dans un nouveau chapitre, voir plus loin.
- ❖ **p. 245** : avant-dernière ligne, remplacer « ...se reporter à Middleton *et al.* (2014)... » par « ...se reporter à Middleton *et al.* (2022)... »
- ❖ **p. 252** : rajouter le § suivant après celui du son 3.208 : « **son 3.208a** : autre séquence de chant de *N. leisleri*. Vers 7600 ms un autre individu arrive en mode sonar (double fonction sonar-social ?), avec des signaux très variables en LB et structure ; la plupart sont des FM sigmoïdes, mais on note vers 9400 ms une QFC d'une durée de 2,1 ms, ce qui est un record de brièveté pour cette espèce. Enregistrement Jean-François Desmet. »
- ❖ **p. 257** : § 19, alinéa f) ; ajouter : « Amorce explosive & claquement final (phase de croisière)... » ;
- ❖ **p. 259** : insérer une nouvelle tête de chapitre intitulé « **Monographies ; Chapitre 5** » (photo 2 pour tête de chapitre, p. 258)
- ❖ **p. 260** : insérer les pages suivantes dans le nouveau chapitre 5 :

Si le message essentiel maintes fois distillé dans cet ouvrage a été lu et intégré, vous ne pouvez que vous étonner de trouver ici une section détaillant des critères d'identification, et dont la clé d'entrée est l'espèce : c'est contraire au principe même de la méthode.

Mais à ce stade de lecture, vous êtes sensés avoir suivi l'ensemble du cheminement logique du très long chapitre 4, qui vous a imprégné de la nécessité de respecter méthodiquement toutes les étapes du processus polytomique, mêlant critères paramétriques et comportementaux. Et vous avez peut-être regretté de ne pas trouver les informations relatives à chaque espèce, regroupées sous forme de monographies. Une présentation résumant les comportements acoustiques typiques de chaque espèce peut donc aider à interpréter des séquences recueillies sur le terrain, en relativisant ou confortant une identification spécifique.

Ces monographies, classées selon l'ordre appliqué dans ce livre déclinant les espèces par types de structure de signaux sonar, dressent la synthèse des critères acoustiques et des caractères comportementaux qui ont été découverts dans le cadre de ce long programme d'études (les espèces non étudiées sur leurs terrains de chasse, comme *R. mehelyi*, ne sont pas abordées). Une attention particulière a été accordée aux espèces du genre *Myotis* qui est un des groupes les plus complexes à appréhender.

Les informations sur les habitats de chasse apportés dans ces monographies ne sont pas exhaustives en regard de l'abondante bibliographie existante ; elles sont majoritairement extraites des travaux acoustiques que j'ai réalisés, dans de nombreux types d'habitats et régions, mais principalement en milieux forestiers du Massif Central et des Alpes. Ces études, pour la plupart publiées (Barataud, 1990, 1992, 1999, 2002b, 2011 ; Barataud & Giosa, 2010, 2021 ; Barataud *et al.*, 2013b, 2014a, 2016, 2025 ; Barataud J. *et al.*, 2020 ; Crețu *et al.*, 2022 ; Lefevre & Barataud, 2020 ; Vrignault & Barataud, 2021) totalisent plus de 1800 heures d'écoute, et près de 310 000 contacts pondérés de 34 espèces.

Les renvois à des écoutes de séquences permettent d'illustrer les comportements acoustiques les plus fréquents ou particulièrement diagnostiques ; [il est utile de les écouter tout en les visualisant sur BatSound, et de consulter les paragraphes descriptifs associés à chaque fichier son, dans le livre ou dans le fichier PDF des commentaires de séquences sonores.](#)

Structure FMa-FC-FMd (Rhinolophes)

Les signaux utilisés par le genre *Rhinolophus* de façon exclusive en Europe, et permanente pour chaque individu, correspondent à une autre technologie sonar que les autres espèces. Le taux d'émission (duty-cycle) très élevé avec des signaux plus longs que les intervalles qui les séparent, la structure de type FMa-FC-FMd et le transfert de l'énergie du fondamental vers le premier harmonique, sont des particularités qui ont évolué sans doute très tôt à l'Eocène (Jones & Teeling, 2006), utilisant une voie d'interprétation de l'information acoustique très différente de celle des Vespertilionidés. Contrairement à ces derniers qui privilégient la localisation spatiale (ce qui implique de moduler en fréquences lorsqu'une cible est détectée), les Rhinolophes sont des détecteurs de mouvement (voir p. 85). Le transfert de l'énergie vers l'harmonique 1 optimise la sensibilité à l'effet Doppler (le décalage de fréquences dû à une source sonore en mouvement augmente avec la vitesse de déplacement mais aussi avec la fréquence), et a aussi l'avantage secondaire, pour les espèces européennes, d'être discret vis-à-vis des proies tympanées qui sont pour la plupart sourdes au-dessus de 50-60 kHz : nos Rhinolophes sont ainsi devenus des prédateurs de lépidoptères. Une des conséquences de cette technologie Doppler est une grande stabilité de structure de signaux sonar quelles que soient les circonstances de vol : seule la durée de la partie FC varie de façon significative en lien avec la distance de la cible. La FME de la partie FC varie très peu (d'un signal à l'autre en fonction de la vitesse de vol de l'individu émetteur, pour que l'écho reste centré sur sa fenêtre très étroite de sensibilité auditive ; au cours d'un même signal pour les mêmes raisons, mais cette fois en fonction du mouvement de la cible). Ainsi chaque individu, à la naissance, a sa fréquence d'émission propre, adaptée à sa « fovéa auditive » ; on observe, au sein d'une même espèce, une gamme de fréquences individuelles plus ou moins étendue selon les espèces ; une hypothèse personnelle est que cela pourrait être en rapport avec la stratégie sociale de chasse : les espèces chassant en groupe ventilant leur FME sur une gamme plus large (pour éviter un recouvrement entre individus, entraînant des interférences supposées ?) que les espèces chassant plus en solitaire. Les gammes de fréquences utilisées par les espèces sont en rapport avec leurs tailles corporelles et obéissent donc à la loi de l'allométrie

(Stoffberg *et al.*, 2011), avec pour *R. mehelyi* une exception qui relèverait de la sélection sexuelle (Puechmaille *et al.*, 2014).

Rhinolophus ferrumequinum

Le Grand rhinolophe est, au sein de sa famille en Europe, celui qui émet sur les fréquences les plus basses, ceci en rapport avec sa taille plus importante. L'amplitude de la gamme fréquentielle est faible : la grande majorité des individus se situe entre 80 et 84 kHz, le maximum mesuré étant 84,9 kHz. La FME la plus basse, 76,6 kHz, provient d'une courte séquence enregistrée dans les Bouches-du-Rhône (grotte de la Daouste ; Jouques) en 2001 par Philippe Favre ; le signal mesuré, assez faible, est le dernier d'une série à intensité croissante, donc émis par un individu en vol en direction du microphone : un décalage Doppler jusqu'à + 2 kHz est possible, ce qui donnerait une FME à la source de 74,5 à 76,5 kHz. Quelques contacts avec l'espèce en Sardaigne (Italie) ont donné des FME basses également : entre 77 et 80,5 kHz. Il serait intéressant de confirmer l'existence de ce cline inverse à celui du Petit Rhinolophe, et dans l'affirmative d'en expliquer la cause.

Cette espèce a été contactée en chasse (qui semble plutôt solitaire : seuls quelques cas de plusieurs individus chassant dans une pâture, assez loin des uns des autres) dans des milieux divers, de la forêt à la lande buissonnante ouverte, en passant par des pâtures entourées de haies. Les boisements les plus fréquentés sont feuillus ou mixtes (2,2 % des contacts en futaie résineuse équienne), pas trop jeunes (> 50 ans pour 78 % des contacts), près du sol ou en canopée. Plusieurs contacts concernent des individus à l'affût sur des branchages, que ce soit en lisière de bois ou de haie, en verger ou en sous-bois dense. Lors des nuits avec lumière lunaire, il semble se cantonner dans les zones d'ombre, que ce soit pour la chasse ou le transit. En montagne il se rencontre surtout dans les vallées les plus chaudes, sur les versants sud ou près des rivières jusque vers 1500 m d'altitude.

Rhinolophus euryale

Les FME mesurées pour cette espèce sont principalement groupées entre 100 et 104 kHz ; avec un maximum rarement atteint de 106,4 kHz. Identifier acoustiquement de façon certaine cette espèce n'est possible qu'avec des valeurs inférieures ou égales à 102 kHz, car il est partout en sympatrie avec *R. hipposideros* dont les FME peuvent, chez quelques individus, descendre jusqu'à 102,5 kHz.

[A noter qu'une solution au complexe acoustique entre *R. euryale* et *R. hipposideros* entre 102 et 106 kHz, vient récemment (2024) d'être découverte par Thierry Disca ; des critères basés sur la rythmique et la forme des signaux permettent une discrimination dans la plupart des cas ; ils sont exposés dans son ouvrage « *Cahier d'identification des chiroptères par la bioacoustique* » (à paraître).]

Le Rhinolophe euryale a été contacté en milieu forestier dense bien structuré mais les milieux arborés plus lâches et les lisières semblent aussi très attractifs.

Contrairement à *R. hipposideros*, *R. euryale* semble négativement sensible à toute perturbation lumineuse ou sonore incongrue sur son lieu de chasse : il s'éloigne systématiquement ; ainsi sa présence peut être sous-estimée lors de transects à pied, ou lors de points d'écoute lorsque l'observateur manque de discrétion.

Rhinolophus hipposideros

Les extrêmes de FME mesurés pour cette espèce vont de 102,5 à 116 kHz. Les valeurs les plus basses ont été mesurées aux mois d'avril et mai, excluant l'hypothèse de fréquences plus basses produites par des juvéniles. Les valeurs > 114 kHz ont été mesurées sur des individus

du sud de la France (Alpes-Maritimes) ou d'Espagne. Dans les zones géographiques où *R. euryale* est aussi présent ou susceptible de l'être, l'identification certaine du Petit rhinolophe est impossible dans la gamme de FME entre 102 et 106 kHz.

[A noter qu'une solution au complexe acoustique entre *R. euryale* et *R. hipposideros* entre 102 et 106 kHz, vient récemment (2024) d'être découverte par Thierry Disca ; des critères basés sur la rythmique et la forme des signaux permettent une discrimination dans la plupart des cas ; ils sont exposés dans son ouvrage « *Cahier d'identification des chiroptères par la bioacoustique* » (à paraître).]

Le Petit rhinolophe semble plus forestier que les autres espèces ; sa petite taille le rend encore plus manœuvrable, lui permettant d'être très actif en canopée dense (28 % des contacts ; n = 3755). Les futaies irrégulières feuillues (66,6 % des contacts) matures (76,3 %) ont nettement sa préférence sur nos secteurs d'étude, les plantations résineuses ne recueillant que 0,2 %. Une couverture arbustive assez dense (> 50 % de la surface projetée) semble attractive (59 % des contacts). Dans les Alpes du Sud (Mercantour), cette espèce a été contactée plusieurs fois en contexte de prairies, le plus souvent en lisière (haie ou arbre isolé), une seule fois en milieu très ouvert ; les altitudes s'étagent de 1100 à 1500 m, avec un record à 1820 m (Haut-Verdon, commune d'Allos).

La grande manœuvrabilité de vol du Petit rhinolophe (ailes larges et poids faible) lui permet des prouesses comme faire du sur-place ou des remontées verticales. Sa stratégie de chasse, déduite des suivis visuels (marquage luminescent) ou acoustiques est souvent de type exploratoire dans un faible volume, où il circule aisément dans tous les sens au sein des frondaisons, aussi bien près du sol qu'en canopée ; entre ses phases il louvoie rapidement d'un point à un autre sur quelques mètres à quelques dizaines de mètres ; ainsi, selon que notre point d'écoute fait partie du volume exploré ou se trouve légèrement décalé, on pourra obtenir plus d'une minute de contacts quasi continus (**son 3.2a**), ou moins d'une seconde voire rien du tout : cette particularité des espèces acoustiquement discrètes et explorant de faibles volumes (c'est aussi le cas de *M. nattereri*, *M. emarginatus* et *P. auritus*), rend difficile l'interprétation des données acoustiques pour les préférences du micro habitat de chasse (Barataud & Giosa, 2021).

R. hipposideros fait partie de ces rares espèces (comme *P. auritus*, et dans une moindre mesure *M. nattereri*) qui semblent curieuses de tout évènement inhabituel sur leur terrain de chasse, à tel point que l'observateur, sur un point d'écoute, peut « attirer » un individu situé en dehors du rayon de perception de son détecteur (plus de 5 mètres) en allumant une lampe, froissant des feuilles sèches ou frottant ses vêtements... Cette particularité peut être exploitée positivement lors d'un simple inventaire qualitatif, mais constitue un biais important en cas de mesure de l'activité par comptabilité des contacts, car l'individu peut alors tourner plusieurs dizaines de secondes autour de la source de lumière et/ou de bruit !

Structures QFC & FM aplanie ; FME < 30 kHz (du Molosse à la Sérotine de Nilsson)

L'identification des espèces comprises dans ce groupe acoustique, pour être efficace et robuste, passe par :

- la sélection des phases de croisière les plus lentes possibles ;
- la sélection des signaux QFC les plus bas possible en FME ;
- la mise en évidence ou non d'une véritable stratégie d'alternance de structures et de FME (Noctules) ;

- l'analyse du comportement de l'individu pour déceler des particularités de rythme (critères souvent plus faciles à apprécier en hétérodyne).

Tadarida teniotis

Le Molosse de Cestoni émet des signaux QFC (recherche passive, transit) ou des FM aplanies (approche d'obstacles) dans une gamme de fréquences qui est la plus basse parmi toutes les espèces européennes : les FME mesurées sur ses QFC vont de 9,3 à 14,7 kHz. Etant donné sa taille corporelle (aux environs de 25 g), il est intéressant de questionner la cohérence de fréquences aussi basses, en rapport avec la simple loi de l'allométrie. La **figure 182a** positionne quatre grandes espèces en fonction de deux variables habituellement corrélées négativement : plus le poids d'une espèce est important, plus sa fréquence de signaux sonar est faible. On remarque alors que *T. teniotis* n'est pas aligné avec la tendance allométrique formée par les Noctules : si cette règle était respectée, il émettrait des FME proches de 20-21 kHz (ou bien pèserait plus de 60 g !). L'échappement à cette règle dans de telles proportions, est la signature d'une pression de sélection qui a amené cette espèce à abaisser ces fréquences ; son régime alimentaire étant composé majoritairement de lépidoptères tympanés (Mata *et al.*, 2016), et la sensibilité auditive de la plupart de ces derniers se situant entre 20 et 50 kHz (Miller & Surlykke, 2001), l'hypothèse de sélection d'une stratégie de discrétion par décalage de la gamme fréquentielle (fréquences « allotoniques ») est très probable. Ponctuellement, des stratégies complémentaires peuvent être utilisées, comme les signaux de très courtes durées (3,5 à 6 ms) qui altèrent la qualité de l'information acoustique par les papillons.

La confusion entre les émissions sonar de *T. teniotis* et *N. lasiopterus* est limitée à quelques circonstances de contraintes avec des obstacles suffisamment proches pour que seules des FM aplanies soient utilisées. Les émissions de croisière en QFC se différencient aisément grâce à, pour le Molosse, l'absence d'alternance et des valeurs de durée, FT et FME plus faibles.

T. teniotis est un chasseur de haut vol qui, après le crépuscule durant lequel la chasse est souvent active le long des falaises où il gîte, patrouille une strate horizontale à des hauteurs au-dessus du sol variables (souvent en limite d'audition à 200 m ou plus). Il chasse parfois au-dessus des villages éclairés (voir **son 3.51**) ; il peut aussi être contacté près du littoral rocheux méditerranéen, mais c'est plus en altitude, de la zone collinaire à la zone alpine jusqu'à plus de 2000 m a.s.l., que l'activité est souvent la plus forte. Les cols en montagne sont des points de rendez-vous souvent payants pour l'observateur ; il est possible que des courants aériens remontants les vallées fassent converger des essaims d'insectes sur ces carrefours. Les séquences au détecteur sont répétitives, voire continues (selon l'amplitude des circuits de vol de chasse), souvent durant quelques minutes à quelques dizaines de minutes, puis disparaissent lorsque le secteur de chasse se déplace. Le rythme est lent et très régulier (**son 3.49a**) ; rares sont les phases d'approche complètes (souvent on entend juste une accélération sur quelques signaux, sans doute annonciatrice de la détection d'une cible) et encore plus rares sont les phases de capture : le Molosse approche très certainement ses proies par écoute passive, ce qui optimise sa discrétion acoustique pour les papillons dont la sensibilité auditive est inférieure à 20 kHz.

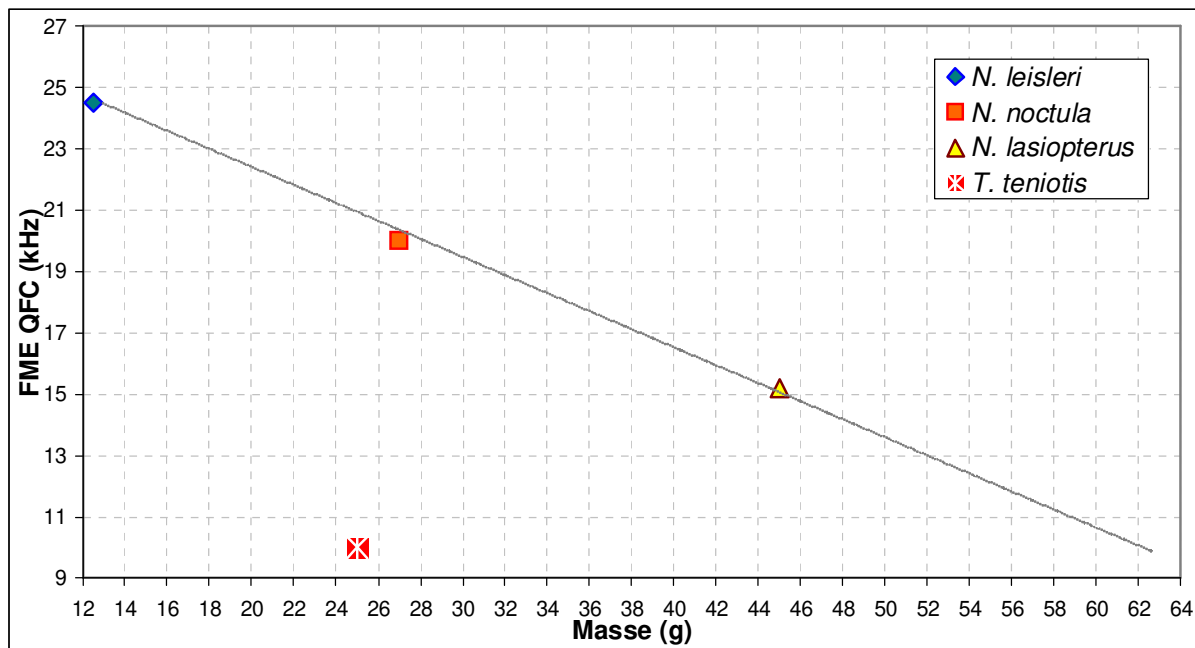


Figure 182a : ce graphique croise les valeurs moyennes de masse pondérale (axe des X) et de fréquence du maximum d'énergie (axe des Y) de quatre grandes espèces européennes. On constate que les trois espèces de Noctules obéissent à la loi de l'allométrie (elles sont correctement alignées le long de la tendance qui veut que plus le poids est élevé, plus la fréquence est basse), alors que le Molosse se situe bien en dessous des valeurs de FME attendues : ses fréquences ont évolué en lien avec une pression de sélection particulière.

Nyctalus lasiopterus

La plus grande espèce d'Europe émet logiquement sur des fréquences basses ; ses QFC planes (< 2 kHz) s'étalent de 12,1 à 16 kHz mais sont majoritairement entre 14 et 15 kHz. L'alternance de signaux décalés en FME et en structure, caractéristique du genre *Nyctalus*, présente quelques particularités chez *N. lasiopterus* : une régularité d'alternance remarquable entre le type A (signaux les plus bas en FME) et le type B (signaux les plus hauts en FME) dans la phase de croisière de haut vol la plus pratiquée, et une réduction des différences de FME et de LB entre les deux types (voir § Signaux QFC ou FM aplanie alternés en fréquence p. 158-161). L'hypothèse d'une adaptation de ces signaux sonar à la capture des passereaux est développée dans le chapitre 7 p. 310.

Un autre comportement acoustique, plus rare, est une alternance plus irrégulière de QFC courtes pour cette espèce (15 à 20 ms) et de FM aplanies plus hautes en fréquence. Ce comportement reproduit le schéma classique des autres Noctules dans les mêmes circonstances : il n'a été noté que lorsqu'un groupe de quelques individus chasse au-dessus d'un village éclairé (voir son 3.47), mais on peut supposer qu'il se produise - dans des conditions plus naturelles - dans des zones aériennes à forte concentration de gros insectes évoluant en essaim (lépidoptères par exemple). Les QFC basses sont sur 13,2 kHz, ce qui est discriminant vis-à-vis de *N. noctula*.

Les contacts acoustiques avec la Grande noctule sont limités dans le temps et dans l'espace : entre avril et septembre-octobre, les sorties du gîte diurne sont souvent précoces en tout début de crépuscule, et les individus rejoignent alors rapidement un étang, lac ou rivière (distant de quelques kilomètres à quelques dizaines de kilomètres), au-dessus duquel ils chassent activement des insectes entre 20 et 100 m de hauteur, isolément ou en groupe de quelques individus ; 20 à 30 minutes plus tard, la dispersion est brutale et souvent plus rien ne sera entendu durant toute la nuit à cet endroit et même aux alentours. La raison est un changement

de strate de vol, qui passe rapidement de quelques dizaines à plusieurs centaines de mètres de hauteur (pour chasser d'autres types d'insectes ou des passereaux en vol migratoire, ou regagner un gîte). Ainsi, la mise en évidence de cette espèce sur un secteur est nettement optimisée par le ciblage de zones aquatiques en contexte forestier dès le début du crépuscule. Lorsque cette espèce rejoint son gîte en milieu forestier (ce peut être une heure après le crépuscule ou bien à l'aube, selon la rentabilité de la chasse, la saison, etc.), les individus peuvent pénétrer le sous-bois à travers la canopée ou depuis une entrée latérale en lisière, et voler sur plusieurs dizaines de mètres en sous-bois ; les signaux FM prennent alors parfois un timbre miaulé qui peut les faire confondre avec des signaux d'Oreillard ; mais la structure linéaire, la FT basse, l'intensité forte et le comportement grâce à la rythmique permettent tous ensemble d'éviter la confusion (**son 3.48a**).

Nyctalus noctula

Des trois Noctules européennes, *N. noctula* incarne l'archétype de l'alternance de signaux décalés en FME et en structure, plus ou moins régulièrement selon l'habitat de vol et le degré de curiosité de l'individu : plus l'environnement est richement structuré plus les FM aplanies sont utilisées (dans le but d'améliorer la qualité d'information en distance et directivité), et plus il est ouvert plus ce sont les QFC planes et basses qui s'imposent (pour améliorer la portée à longue distance). Les circonstances où l'alternance est la plus régulière correspondent à une chasse active : au crépuscule en lisière d'un étang boisé par exemple.

Cette pratique de l'alternance chez les Noctules est certainement liée à leur phylogénie, car le déterminisme fonctionnel (à moins que cela résulte d'une sélection neutre ?) d'une telle particularité pose encore question. Une des hypothèses serait que pour une espèce au vol rapide en milieu ouvert, la grande portée de signaux QFC basses fréquences est supérieure à l'horizon de curiosité que l'individu se fixe : ainsi il émet à nouveau un signal alors que l'écho du précédent peut encore lui revenir en restant interprétable ; alterner des signaux différents permettrait d'éviter les confusions. Reste à expliquer pourquoi, si ce risque est suffisamment handicapant pour opérer une sélection naturelle positive chez des individus pratiquant une alternance, ce trait comportemental n'est pas également apparu chez d'autres genres en Europe (*Tadarida*, *Eptesicus*) soumis à la même contrainte supposée ? Quelques autres espèces, chez les Molossidés tropicaux notamment, font de l'alternance comparable à celle de nos Noctules, mais ce trait reste globalement marginal chez les espèces de haut vol et les questions concernant sa fonction et son origine ne semblent pas tranchées.

La différenciation acoustique entre *N. noctula* et *N. lasiopterus* ne pose guère de problème, cette dernière étant sur des FME plus basses en phase de croisière (**figure 91 p. 160**). Le recouvrement de valeurs FME x LB est faible avec *N. leisleri*, et c'est le comportement qui permet, une fois de plus, de conclure : lorsque *N. leisleri* descend près de 21 kHz elle est en recherche passive ou transit, alors qu'un individu de *N. noctula* en QFC sur 21-22 kHz sera en recherche active.

La Noctule commune affectionne, elle aussi, les abords des plans d'eau et rivières en contextes forestier et bocager. Les lumières artificielles, en milieu rural mais aussi citadin, l'attirent beaucoup à la nuit tombée. Ce sont dans ces deux circonstances que l'on rencontre des groupes d'individus en chasse, audibles en permanence sur un même point d'écoute (**son 3.43a**). Les autres habitats (lisières sèches, crêtes boisées) n'occasionnent que quelques courts contacts de recherche passive ou transit.

Nyctalus leisleri

La Noctule de Leisler se différencie acoustiquement grâce à plusieurs critères paramétriques et comportementaux, par rapport aux autres espèces à composante QFC de la gamme 20 à 30 kHz de FME. Toute QFC courte (< 10 ms) entre 23 et 28 kHz de FME peut lui être attribuée (**son 3.41b**). L'aspect « anarchique », imprédictible, de l'organisation de l'alternance des signaux de structure et de FME différentes est aussi une caractéristique utile à une identification très rapide, puisqu'elle s'appréhende encore mieux en hétérodyne sur le terrain. Le comportement d'apparition des signaux en « salves surprises » (**son 3.41c**) est également caractéristique (même si un cas a aussi été observé chez *Eptesicus nilssonii* en Finlande (Karri Kuitunen, comm. pers.) : suite à un long silence, un ou quelques signaux QFC très intenses interviennent sans sommation, donnant souvent lieu à une approche puis à une phase de capture. Ce comportement est lié à la chasse aux lépidoptères, qui sont pour la plupart tympanés et peuvent réagir par la fuite à des signaux d'approche d'un chiroptère. *N. leisleri* utilise alors une contre stratégie découverte dès 1989 grâce au marquage luminescent de plusieurs individus en Haute-Vienne : les noctules s'élevaient à 100 mètres ou plus, puis effectuaient un piqué plus ou moins vertical à l'aplomb d'une zone où les lépidoptères en vol étaient nombreux (un village éclairé), à l'issue duquel elles émettaient brutalement quelques signaux, pour localiser une proie ou réajuster leur piqué en fonction des obstacles éventuels, puis terminaient leur approche pour tenter une capture (sans doute le bruit des ailes du papillon en vol contribue à sa localisation précise par écoute passive ?). Ainsi le piqué silencieux de la noctule permet une approche rapide et discrète de la zone de présence des proies, en profitant de l'effet de surprise dû à sa vitesse accumulée durant le piqué.

Lorsque qu'un individu de Noctule de Leisler est en vol de transit élevé, il peut arriver qu'il ne produise que des QFC planes sans alternance de structure et de FME ; dans ces circonstances la durée des signaux est plus longue, ce qui entraîne un recouvrement total des valeurs et du comportement avec une sérotine bicolore dont le comportement est identique. Par ailleurs, comme pour toutes les espèces QFC entre 18 et 29 kHz de FME, lorsque *N. leisleri* n'utilise que des FM aplanies ou FM (transit en sous-bois, en allée forestière, près d'une lisière), elle intègre le complexe indémêlable qualifié de « Sérotules ».

La Noctule de Leisler chasse au crépuscule principalement au-dessus de vallées boisées, soit en fond de vallon soit le long des crêtes rocheuses abritées. En plaine elle est attirée par les étangs ou cours d'eau avec arbres, ou un contexte bocager. En montagne elle est fréquente en altitude jusqu'à 2300 m, montant peu au-dessus de la limite forestière. Par nuit tombée, elle est très souvent contactée en groupe au-dessus des villages éclairés.

Les populations de *N. leisleri* installées dans les îles Canaries ont fait l'objet de quelques enregistrements analysés selon la méthode d'écologie acoustique (Barataud J. *et al.*, 2020) ; l'alternance des types A et B paraît plus régulière sur Tenerife ; les FME sont plus élevées (moy. du type A = 27 kHz contre 24,5 kHz en Europe) et les durées sont plus courtes (moy. du type A = 8 ms contre 12,1 ms en Europe ; moy. du type B = 4,6 ms contre 9,1 ms en Europe). Le comportement de chasse en salves surprises a également été noté.

Nyctalus azoreum

La Noctule des Açores, endémique de cet archipel et considérée souvent comme une espèce à part entière, est issue d'individus de *N. leisleri* arrivés vers la fin du Pléistocène.

Des enregistrements de cette espèce, réalisés sur l'île orientale de São Miguel par Alex Lefèvre en août 2015, ont permis de collecter de nombreuses séquences contenant une large variabilité comportementale.

L'analyse de ces données sonores (Lefèvre & Barataud, 2020) indique une FME plus élevée que chez *N. leisleri* (FME du type A = 30,3 kHz contre 24,5 kHz pour *N. leisleri* ; FME du type B = 38,7 kHz contre 26,9 kHz pour *N. leisleri*), en lien avec une taille corporelle plus faible. Il est

noté également un usage plus fréquent des signaux de structure FM, pouvant indiquer une valence écologique plus forte avec des terrains de chasse pouvant être plus proches des lisières ou du sol. Le comportement de chasse en salves surprises est également utilisé. Des séquences sonores peuvent être téléchargées depuis l'article exposant les résultats de cette étude.

Vespertilio murinus

La Sérotine bicolore était encore il y a quelques années considérée comme absente de la bordure occidentale de l'Europe, avec les populations reproductrices les plus à l'ouest situées entre le lac de Neuchâtel (Suisse) et la Franche-Comté (France). Depuis, la multiplication des suivis acoustiques a permis de montrer une répartition beaucoup moins figée mais restant mystérieuse : une présence assez régulière en France sur l'ensemble des montagnes orientales, des Vosges jusque dans le sud des Alpes, et dans le Massif Central. Mais des individus isolés, voire des groupes d'individus sont régulièrement enregistrés un peu partout, jusque dans les départements du littoral atlantique ou de la Manche. Ainsi cette espèce à tendance erratique (notamment en fin d'été semble-t-il) est à intégrer comme possible dans tous nos inventaires où que ce soit...

Le sonar de *V. murinus* est caractérisé par de longs signaux QFC (13 à 25 ms) dans la gamme de FME de 21 à 27 kHz. L'identification certaine nécessite la concordance des éléments suivants : pas d'alternance de structures et de FME typique d'une Noctule ; une phase de croisière lente (le rythme est souvent régulier) dont les QFC seront supérieures à 17 ms de durée ; quelques signaux FM aplanis organisés clairement en phase d'approche cohérente (FME et récurrence croissante) : ainsi tout risque d'avoir affaire à *N. leisleri* en transit est écarté ; le **son 3.36b** est une illustration de ce genre de séquence.

V. murinus est une espèce de haut vol, qui chasse souvent à plusieurs dizaines de mètres de hauteur au-dessus des lacs ou étangs riches en végétation riveraine (phragmitaies, saulaies...) ; elle affectionne aussi les fonds de vallée, chassant le long des arbres bordant les cours d'eau assez larges. En montagne, elle est contactée à plus de 1000 m d'altitude dans le Massif Central et jusqu'à 2100 m dans le sud des Alpes (Mercantour), souvent haut à l'aplomb des pentes forestières matures, parfois plus près du sol au-dessus de prairies entourées de haies arborées.

Eptesicus isabellinus

Le matériel sonore récolté sur cette espèce du Maghreb présente aussi dans le sud de la péninsule ibérique, provient de deux provinces d'Espagne : l'Extremadure (Monfrague, Talavan, Rio Almonte) et l'Andalousie (Sierra de Cazorla, Sierra Morena). Aucune capture, ni donc aucun marquage n'ont été pratiqués. L'identification des individus enregistrés résulte de la concordance de plusieurs éléments : le témoignage de chiroptérologues locaux, affirmant que selon leurs travaux, seule cette Sérotine est présente dans les secteurs considérés ; les enregistrements tous effectués au crépuscule, permettant de constater la couleur pâle du corps et des ailes ; plusieurs critères notés sur les signaux et leur rythmique, nettement différents de ceux connus chez *E. serotinus*.

E. isabellinus est une espèce QFC type (contrairement à *E. serotinus*), qui en chasse active (seul comportement observé) inclut des QFC non planes (3 à 5 kHz de LB) dans des phases de croisière dominées par des FM aplanies (**son 3.37b**). Ces dernières présentent souvent une cassure anguleuse (typique des espèces QFC), voire une forme sigmoïde avec une courbe convexe terminale (**son 3.37c**). Le rythme est souvent assez régulier en phase de croisière active, avec de temps en temps des signaux groupés par deux, plus rarement par trois, mais pas assez fréquemment pour retrouver le même caractère « jazzy » de la Sérotine commune.

Les mesures des signaux FM aplanie sont en recouvrement complet avec celles d' *E. serotinus* : les critères de différenciation sont donc uniquement structurels et comportementaux.

Les huit sites d'observations étaient tous en bordure de rivière ou de plan d'eau, avec une végétation de type matorral rocheux à arbres clairsemés (pins, chênes verts et lièges, oliviers...). Le vol semble un peu plus rapide et agile que chez *E. serotinus*, avec des ailes un peu moins larges. Au crépuscule, les individus chassent isolément ou à quelques-uns, à une hauteur variable (entre 2 et 20 m au-dessus de l'eau, ou à plus de 100 mètres au-dessus d'une pente rocheuse), en suivant à distance un linéaire (rives, éperon rocheux...) parcouru en aller-retour avec de brusques piqués lors des poursuites de proies. Un des individus observés chassant au-dessus de l'eau non loin de la rive (barrage de Tranco, Sierra de Cazorla) avec un vent assez fort, faisait parfois du sur-place contre le vent (comportement aussi observé chez *E. serotinus*) en s'abritant derrière un éperon rocheux dressé sur la rive.

Eptesicus nilssonii

La Sérotine de Nilsson est, de toutes les espèces à composante QFC de taille moyenne à grande (poids > 10 g), la plus haute en FME. Espèce QFC type, elle pratique cette structure même en chasse active près des lampadaires (en association avec la FM aplanie). Ses QFC, entre 26 et 30 kHz de FME, ont une durée généralement de 15 à 18 ms, dépassant rarement 20 ms. Cet usage de la QFC la distingue formellement d'*E. serotinus*. La confusion avec *N. leisleri* est évitée grâce à l'alternance pratiquée par cette dernière ; attention cependant aux « fausses alternances » d'une Sérotine qui alterne parfois sur de courtes séquences des signaux très légèrement décalés (trop peu pour être confondu avec une alternance de Noctule) en structure et FME, pour des raisons ponctuelles de localisation spatiale lorsqu'elle longe une lisière par exemple. La confusion avec *V. murinus* est évitée grâce à la prise en compte du comportement : cette dernière ne monte au-dessus de 26 kHz de FME que dans des circonstances de recherche très active non loin d'obstacles ; en comparant des phases de croisière en recherche passive (intervalles de 200 à 400 ms), les QFC les plus basses pratiquées par ces espèces sont sans recouvrement fréquentiel. Un critère de rythme peut aussi être utilisé pour distinguer *E. nilssonii* en hétérodyne : le phrasé (basé sur la récurrence et sur de très légères différences d'intensité et de fréquence) sur trois temps, qui apparaît très souvent, plus ou moins noyé dans la rythmique générale (**sons 2.2 et 2.40**) ; une fois mémorisé il devient très utile et efficace.

Cantonnée en Europe aux régions nordiques ou montagnardes, la Sérotine de Nilsson est absente des zones atlantiques et méditerranéennes. Les habitats de chasse les plus fréquentés sont les zones humides (tourbières, lacs et torrents d'altitude) et la zone alpine entre la limite forestière supérieure et la limite supérieure des pelouses rocheuses. Lorsqu'elle fréquente les fonds de vallons c'est le plus souvent pour chasser en bordure de rivière ou au-dessus des lampadaires des villages où on peut lui donner rendez-vous par nuit tombée avec une grande fidélité. Son comportement de chasse en milieu naturel implique des parcours en aller-retour lorsqu'elle est en fond de vallon ou en bordure d'un lac (**son 3.35a**), ou bien de larges orbites moins routinières au-dessus des pelouses rocailleuses.

Eptesicus serotinus

La Sérotine commune est la seule grande espèce à composante QFC, à être spécialiste de la FM aplanie : elle ne fait jamais, à ma connaissance, de QFC plane ; tout au plus, très rarement (seulement quelques séquences collectées sur plusieurs milliers), peut-elle descendre un peu en dessous de 5 kHz de LB lors d'un vol de transit élevé. C'est ainsi que souvent, *E. serotinus*

est identifiée par défaut : l'absence de QFC plane dans des phases de croisière assez lentes (intervalles 300 ms ou plus) est rare chez les espèces QFC type.

C'est aussi la seule espèce de ce groupe à chasser couramment en sous-bois. Elle émet alors des FM aplanies tronquées, voire des FM dont la FME dépasse 30 kHz (jusqu'à plus de 40 kHz) ; d'autres espèces (Noctules, autres Sérotines) peuvent aussi produire de tels signaux, mais c'est la permanence de leur emploi et la caractérisation d'une activité de chasse qui pourront être discriminantes.

Enfin il y a le fameux rythme « jazzy », caractéristique de l'espèce (**son 3.36c**) ; il n'est pas exclusif de la Sérotine commune car ponctuellement, sur de courtes distances, la Noctule commune peut aussi l'employer lorsqu'elle longe un linéaire de lisière par exemple pour surprendre des proies près du feuillage ; c'est donc bien l'usage permanent de cette rythmique qui est une caractéristique exclusive d'*E. serotinus*.

E. serotinus est une espèce au comportement de chasse plastique, et cela se retrouve dans la diversité de structures des habitats fréquentés.

Au crépuscule, elle chasse souvent entre 5 et 10 m de hauteur le long des lisières de boisements, de haies, d'arbres clairsemés en structure de parc ou même d'arbres isolés. Je l'ai aussi observée chassant à 2-3 m de hauteur au-dessus d'une pâture ou d'une prairie de fauche, capturant des tipules ou des coléoptères évoluant non loin du sol. Ses ailes larges lui confèrent une manœuvrabilité surprenante compte-tenu de son poids. Au crépuscule, lors de séances de chasse en groupe au-dessus d'une prairie parsemée de quelques arbres près d'un étang, elle peut profiter de la forte densité de moustiques, en alternant ses phases de vol classique à plus de 4-5 m au-dessus du sol, avec des phases à vol sinueux au ralenti entre 0,5 et 2 m de hauteur, ponctué de courts sur-places frôlant la végétation basse ; des cris sociaux peuvent être associés aux signaux sonar dans ces circonstances (**son 3.38a**), ce qui est très rare chez cette espèce sur ses terrains de chasse. Sur le littoral atlantique de l'île d'Oléron en juillet 1994, un individu chassait très haut au-dessus des marais salants ; toujours sur le littoral, il arrive que des individus chassent le long du rivage en longs va-et-vient. Enfin, sur les planèzes du Massif Central, au-dessus des vastes prairies de pâture où les piquets de clôture sont les seuls éléments verticaux sur des centaines d'hectares, les sérotines communes (bien présentes dans cette zone) se sont adaptées à chasser dans ces endroits souvent ventés, en pratiquant un vol stationnaire contre le vent, tentant d'intercepter les insectes dérivant dans le flux d'air.

Par nuit tombée, son attirance pour les lampadaires de rue, en ville comme en campagne, est bien connue ; elle évolue d'un vol assez lent juste au-dessus du halo lumineux en suivant des trajets linéaires en va-et-vient. C'est aussi par nuit tombée qu'elle rentre en forêt pour chasser ; en contexte forestier, le sous-bois représente 54 % de son activité, les trouées ou chemins sous-bois 27,8 % : ce n'est donc pas uniquement une espèce de lisière. La futaie irrégulière est la plus recherchée (70,3 % de l'activité) sans doute en partie grâce aux nombreuses trouées dans la canopée qui permettent une pénétration verticale ; la futaie feuillue ou mixte représente 91,8 % de l'activité, les plantations résineuses n'étant fréquentées que sur leurs lisières extérieures (l'effet coupe-vent y est sûrement recherché) ; les classes d'âge supérieures à 80 ans retiennent 79 % de l'activité.

Elle ne chasse guère au-dessus de 1500 m d'altitude en montagne, même si elle peut transiter d'une vallée à une autre par un col à 2500 m (col de Gialorgues, Mercantour, juillet 1993).

Structures QFC & FM aplanie ; FME > 30 kHz (du Vespère au Minioptère)

L'identification des espèces comprises dans ce groupe acoustique est optimisée par les éléments suivants :

- la sélection, si possible, des phases de croisière les plus lentes, que ce soit avec des signaux de structures QFC ou FM aplanie ;
- la prise en compte du comportement de l'individu, en croisant les critères de rythme (récurrence, régularité) et de structure (durée, FME, LB) ;
- pour les couples *P. kuhlii-nathusii* et *P. pipistrellus-pygmaeus* : la prise en compte des contextes spatio-temporels, populationnels et sociaux : abondance relative des espèces, éventuellement selon la saison, dans la zone géographique considérée ; individu volant en groupe ou isolé ;
- l'intégration des cris sociaux lorsqu'ils existent dans une séquence ;
- la mise en évidence de traits comportementaux spécifiques : forme sigmoïde des FM aplanies, récurrence*, vitesse de vol*, alternance d'intensité, présence d'une phase d'approche avant la capture, durée et récurrence de la phase de capture (les critères suivis d'un astérisque sont plus faciles à apprécier en hétérodyne).

Myotis dasycneme

Qu'une espèce de *Myotis* figure dans cette section est surprenant, tant ce genre est spécialisé dans les signaux FM abrupte. Le Murin des marais constitue en effet une exception en Europe : il pratique couramment des signaux incluant une partie QFC, souvent longue (15 à 25 ms), précédée et suivie d'une courte et étroite FM descendante. La FME, très influencée par la partie QFC plus riche en énergie, est le plus souvent entre 32 et 36 kHz. Ces signaux, outre leur originalité structurelle, sont organisés de façon inhabituelle pour un Murin : ils sont émis non pas en permanence, mais en séries courtes entre des phases de silence (durant lesquelles l'individu vole certainement de mémoire, sur des parcours linéaires et familiers). Nous retrouvons donc le principe des « salves surprises », décrit chez *N. leisleri* et *M. schreibersii*. Le but est là encore de surprendre des lépidoptères tympanés : les signaux intenses émis en courtes salves servent à la localisation (obstacles et proies) à distance, et l'approche d'une proie éventuellement détectée au sonar se fait ensuite par écoute passive de ses battements d'ailes (Van de Sijpe & Holsbeek, 2007).

Hypsugo savii

Le Vespère de Savi est une espèce QFC type dont les FME en milieu ouvert, où les QFC sont dominantes, s'étagent entre 30 et 32 kHz en recherche passive ou transit (son identification est alors certaine), jusqu'à 34 kHz en recherche active. Le plus souvent (sauf en transit ou recherche passive au-dessus de la canopée), des FM aplanies se mêlent aux QFC, ceci d'autant plus que la lisière est proche.

Lorsque *H. savii* chasse en contexte de forêt clairsemée ou entre deux lisières, seules les FM aplanies sont présentes, et le recouvrement avec *P. kuhlii* est d'autant plus important que le Vespère peut lui aussi donner à ses signaux FM aplanies tronquées une double courbure, leur conférant une forme sigmoïde (**son 3.76a**). La solution réside toujours (sauf émission de cris sociaux par l'individu litigieux) dans l'attente d'une circonstance où l'individu ralentit son rythme en s'éloignant de la lisière : le Vespère descend alors sur des valeurs de LB < 5 kHz et de FME < 33 kHz, qui deviennent distinctives.

H. savii a des caractéristiques morphologiques et acoustiques qui lui permettent de chasser aussi bien en plein ciel (ce qu'elle fait fréquemment assez tôt au crépuscule, quitte à s'exposer à la prédation par un Faucon pèlerin, fait observé à deux reprises) qu'en trouée forestière. Ce sont donc les circonstances liées à la saison, au paysage, à la distribution des ressources

alimentaires à un moment précis, qui l'amène à s'éloigner ou se rapprocher des lisières arborées. Cette espèce affectionne les abords des falaises exposées au sud, où l'abondance des insectes est certainement plus forte à certaines périodes. Elle chasse assez rarement près des éclairages artificiels.

Même s'il peut être contacté jusqu'à des altitudes basses dans le Massif Central (120 m dans le bassin de Brive en Corrèze), et descend jusqu'à 500 m dans les fonds de vallée des Alpes internes, le Vespère est l'espèce la plus contactée au-dessus de 2000 m, et son niveau d'activité reste élevé jusqu'à 2200 m. Dans le Mercantour, une étude sur les chiroptères dans les peuplements de Mélèze d'Europe (Barataud *et al.*, 2013b) montre que le Vespère est deux à trois fois plus actif dans les mélézins sur lande (Rhododendron, Myrtille, Genévrier) que les mélézins sur herbe, et deux fois plus actif dans les mélézins âgés (300 à 700 ans) que dans les mélézins matures (100 à 150 ans).

Pipistrellus kuhlii

Est-ce sa large répartition en contexte méditerranéen et méridional au sens large (avec le peuplement du Maghreb et des contextes insulaires de toutes tailles) ? Est-ce une plasticité écologique et comportementale intrinsèque doublée d'une forte diversité génétique (au moins pour l'ADN mitochondrial, voir Andriollo *et al.* 2015) ? La Pipistrelle de Kuhl pourrait bien être une des espèces de chiroptères les plus polymorphes et adaptables du paléarctique occidental...

Les signaux sonar de *P. kuhlii* sont un reflet de cette variabilité. Certes, ils s'insèrent dans une niche fréquentielle étroite : entre *H. savii* (présente surtout en contexte rupestre méridional quelle que soit l'altitude) et *P. pipistrellus* (présente presque partout, en densité variable mais souvent très forte), avec en plus la concurrence de *P. nathusii* (présente presque partout en densité variable selon le lieu et la saison) qui occupe exactement la même gamme de FME. C'est d'ailleurs peut-être un des facteurs qui expliquent ses variations de structures, sa large gamme possible de FME, et certains comportements atypiques.

C'est d'abord une espèce FM aplanie ; avec la particularité d'insérer en fin de la partie QFC une courte FM descendante : plus la distance aux obstacles est faible plus cette portion FM terminale est présente, ce qui l'amène naturellement à des signaux FM de forme sigmoïde lors des phases d'approche. Ce dernier caractère n'est pas exclusif, puisqu'il est aussi noté – pour les signaux d'approche uniquement – chez *H. savii*, *P. nathusii*, *P. pygmaeus* et moins fréquemment chez *P. pipistrellus*). Mais il est frappant de constater que lorsque *P. kuhlii* se retrouve dans un écosystème insulaire où le cortège d'espèces spécialistes de la FM est réduit (comme sur l'île de Crête, voir Vrignault & Barataud, 2021) voire absent (comme aux Canaries, *P. maderensis* dérivant de populations de *P. kuhlii*, voir Barataud J. *et al.*, 2020), les signaux FM sigmoïdes sont dominants y compris en phase de croisière, comme si ce caractère de FM terminale favorisait une tendance à produire de la FM. D'ailleurs, lorsque *P. kuhlii* est contactée en chasse active près d'une lisière, la sonorité hétérodyne est souvent similaire à celle d'une FM abrupte, et la confusion auditive est fréquente...

Ainsi, le plus souvent, dans les zones où *P. kuhlii* est bien présente, les séquences de recherche active en FM aplanie entre 36 et 40 kHz, sans QFC, permettent de conclure sur cette espèce avec un bon niveau de confiance, surtout après vérification de la présence de la FM terminale sur les signaux de croisière (FM-QFC-FM). Il est intéressant de constater en hétérodyne, que lorsque *P. kuhlii* et *P. pipistrellus* chassent ensemble le long d'une lisière à égale distance de cette dernière, la récurrence des signaux de la première est très souvent plus faible que pour la seconde : il est probable que *P. kuhlii* détecte à plus longue distance, ses

FME inférieures et peut-être une intensité d'émission supérieure donnant plus de portée à ses signaux.

Mais la conclusion est plus complexe à affirmer dans les circonstances suivantes, lorsque les différentes espèces sont en sympatrie :

- FM aplanies dont la partie QFC est tronquée (= très courte et souvent pentue) entre 33 et 37 kHz de FME : le recouvrement avec *H. savii* est total, et cette dernière ne peut être retenue que si l'individu passe à un rythme plus lent en utilisant des QFC < 34 kHz ;
- séquence de recherche passive (pouvant inclure quand même des phases d'approche et de capture) mêlant FM aplanie et QFC entre 38 et 40 kHz (voir **son 3.68b**) : distinguer *P. kuhlii* de *P. nathusii* peut alors être hasardeux, car un comportement inhabituel (chasse avec QFC > 38 kHz) de la première est toujours possible (surtout lorsque plusieurs individus chassent ensemble ; c'est moins vrai pour un individu isolé) ;
- chasse active en sous-bois, avec des FM aplanies tronquées entre 42 et 43 kHz : s'agit-il, comme la logique le veut, d'une *P. kuhlii* qui monte en FME à cause du milieu encombré (cette espèce est moins à l'aise en sous-bois que *P. pipistrellus*), ou bien d'une *P. pipistrellus*, qui est plus apte à chasser en sous-bois, et qui est éventuellement sous pression de congénères à proximité qui la contraignent à s'écarter de ses FME habituelles dans ce type de milieu ?

Dans tous les cas, la présence en direct sur le terrain permet de mieux appréhender le contexte, et une longue séquence offre souvent une chance de déceler un trait comportemental qui plaidera en faveur de l'une ou l'autre espèce. Et bien entendu, l'émission de trilles sociaux, bien que rare, s'avère discriminante au sein de ce groupe, même si là encore la variabilité peut être forte selon le contexte (**son 3.72a**).

La Pipistrelle de Kuhl est, plus encore que la Pipistrelle commune, une espèce de lisière. En forêt, elle chasse le plus souvent le long des lisières extérieures ou au-dessus de la canopée (Barataud *et al.*, 2021) ; ainsi elle ne peut pas être considérée comme une espèce intra forestière. Les structures arborées clairsemées (type parc) sont très fréquentées, de même que les lisières sur rivières ou plans d'eau (mais ce dernier habitat est attractif pour toutes les Pipistrelles !). C'est peut-être sa tendance thermophile qui l'amène à chasser autant en contexte urbain : c'est une habituée des lampadaires, chassant à hauteur de halo et même souvent en dessous, en défendant ardemment à grands coups de cris sociaux sa place vis-à-vis des congénères ou d'autres espèces de Pipistrelle (elle a souvent gain de cause contre une *P. commune* ou une *P. pygmée*).

Pipistrellus nathusii

La Pipistrelle de Nathusius est la seule du genre à être une espèce QFC type : en phase de croisière en milieux ouverts ou semi ouverts, elle inclut toujours au moins quelques QFC parmi les FM aplanies, même en recherche active ; la proportion entre les deux structures dépend du degré de curiosité, donc de la densité d'obstacles et de l'abondance de proies. Ce critère peut suffire à la distinguer efficacement de la Pipistrelle de Kuhl lorsque le comportement de chasse est actif (rythme rapide, phases d'approche).

La gamme de FME couverte par *P. nathusii* est large (32 à 45 kHz en phases de croisière), donc en recouvrement avec *H. savii* et *P. pipistrellus* pour les extrêmes, et bien sûr avec *P. kuhlii* pour la quasi-totalité de sa gamme. Mais cette amplitude fréquentielle n'est valable que pour la partie allopatrique de son aire de distribution (**son 3.68a**) : lorsque *P. nathusii* est en contact fréquent avec des populations de ces autres espèces bien installées localement (notamment *P. kuhlii*), on constate une réduction de la gamme de FME entre 38 et 42-43 kHz ; ainsi des QFC entre 38,5 et 40 kHz ont une forte probabilité d'appartenir à *P. nathusii*

(cette probabilité devient une certitude lorsque les QFC apparaissent dans une phase de recherche active). Ce réajustement de niche fréquentielle, sous pression de la compétition interspécifique, peut être permanent dans les régions et les habitats où *P. kuhlii* est très abondante ; il peut s'avérer plus ponctuel, dépendant du contexte spatiotemporel, dans les zones où l'abondance des deux espèces est plus équilibrée ; quant aux zones où *P. kuhlii* est peu abondante (la zone pionnière de sa répartition nordique par exemple), on peut s'attendre à un recouvrement complet de leurs gammes de FME.

Du fait de leur usage en chasse active, les QFC de *P. nathusii* sont rarement très planes, ayant le plus souvent une largeur de bande supérieure à 1 kHz. Ses FM aplanies ont le plus souvent une courbure brutale voire anguleuse, située au début du signal (ne représentant que 1/7^e à 1/6^e de la durée totale), la majorité de la durée étant donc constituée d'une QFC plane ou légèrement pentue ; ce paramètre (voir spectrogrammes comparés dans l'onglet « courbures » du fichier Excel « Identification_Hypsugo-Pipistrellus-Miniopterus ») peut être utilisé en soutien des autres critères pour la distinguer de *P. kuhlii*, les signaux FM aplanie de cette dernière ayant une courbure plus ouverte donc plus étalée (représentant 1/4^e à 1/3^e de la durée totale).

Sauf exception toujours possible, *P. nathusii* n'adjoint pas une courte FM terminale à la fin de la partie QFC de ses FM aplanies ; mais ceci n'est valable que pour la phase de croisière à récurrence moyenne à lente : en phase d'approche, lorsque la partie QFC se raccourcit ou disparaît, les signaux peuvent adopter une structure sigmoïde (comme pour toutes les Pipistrelles et le Vespère d'ailleurs). Une séquence de recherche passive sans QFC, et dont plusieurs signaux FM aplanie présentent une FM terminale, élimine *P. nathusii* au profit de *P. kuhlii*. À l'opposé, une séquence de recherche passive avec quelques QFC (< 39 kHz), et dont aucun signal FM aplanie ne présente une FM terminale, ne relève pas forcément de *P. nathusii* ; car *P. kuhlii*, en contexte d'économie d'énergie (milieu semi ouvert, peu de proies), adopte fréquemment ce comportement acoustique.

Les cris sociaux de *P. nathusii* sont très distinctifs : les trilles doublés voire triplés, séparés par un signal FM à LB étroite et timbre nasillard (parfois utilisé seul) sont souvent le meilleur moyen de déceler sa présence au milieu d'un groupe plurispécifique de Pipistrelles. C'est surtout d'août à octobre qu'ils sont émis, souvent en vol, ou posé lorsqu'un mâle chante depuis un arbre parfois pendant des heures.

Les habitats de chasse les plus fréquemment utilisés par *P. nathusii* sont les boisements riverains : une lisière arborée sur un étang ou une rivière sont des configurations idéales pour rechercher l'espèce. La distance de vol par rapport à la lisière est souvent de plusieurs mètres, voire plusieurs dizaines de mètres au-dessus des plans d'eau. En forêt, ce sont surtout les futaies régulières feuillues matures au sous-bois dégagé (type hêtraie par exemple), ou les allées forestières à ciel ouvert qui l'attirent. Dans un contexte de sous-bois lorsque la distance au feuillage est plus faible, on peut contacter de longues séquences sans aucune QFC. Les lumières artificielles attirent aussi cette espèce, même si cela semble moins fréquent dans les zones où *P. kuhlii* est abondante, sans doute pour des raisons de compétition.

Pipistrellus pipistrellus

Les études acoustiques réalisées en Europe non méditerranéenne, quel que soit l'habitat et la saison, concluent presque toujours à une activité de chasse largement dominée par la Pipistrelle commune : en milieu forestier, elle représente à elle seule, selon les lieux d'étude, 50 à 95 % de l'activité pondérée toutes espèces confondues (Barataud *et al.*, 2016 ; Barataud & Giosa, 2021 ; Barataud *et al.*, 2025). Cette constatation, pouvant résulter d'une grande ubiquité et/ou d'une dominance démographique de l'espèce, est le signe d'une forte plasticité

écologique mais aussi peut-être de perturbations (perte de naturalité des habitats et de diversité de l'entomofaune, généralisation des éclairages artificiels, etc.). Quelques relevés acoustiques réalisés en Roumanie en 2011 (Barataud, non publié), dans des zones rurales ou forestières à forte naturalité et sans éclairages nocturnes, ne montraient pas une dominance particulière de *P. pipistrellus* au sein d'un large cortège spécifique ; ce thème mériterait une attention de recherche particulière. Mais même si elle a été récemment accentuée par des perturbations d'origine anthropique, l'abondance de *P. pipistrellus* a peut-être toujours été une réalité si l'on en juge par l'étendue de la gamme de FME de ses signaux sonar, et par l'absence de partage avec ses concurrentes entre 44 et 49 kHz (voir **figure 102 p. 176**) : la forte présence de cette espèce a sans doute exercé une pression compétitive suffisante pour s'octroyer une telle niche fréquentielle.

La Pipistrelle commune est une espèce FM aplanie type, qui ne pratique la QFC qu'en mode d'économie d'énergie : recherche passive par faible densité de proies (**son 3.65a**) ou transit passif en milieu ouvert. On constate deux zones fréquentielles étroites plus couramment utilisées en recherche passive (indépendamment du sexe et de l'âge) : 44-45 kHz et 47-48 kHz. Mais un même individu peut se décaler fortement selon les circonstances, la chasse active en groupe ou le degré d'ouverture du milieu de vol occasionnant des extrêmes, entre 41 kHz (QFC ou FM aplanie à bande étroite) et 56 kHz (FM d'approche).

P. pipistrellus est certes une espèce de lisière, mais sa petite taille lui confère une bonne manoeuvrabilité dans des milieux encombrés, ce qui explique sans doute sa forte représentativité en forêt, y compris en sous-bois sans effet de lisière. Nos études dans le Massif Central (Barataud *et al.*, 2016 ; Barataud & Giosa, 2021), la placent en tête de l'activité pondérée (52 à 56 %) parmi un cortège de 23 à 25 espèces. Elle recherche plutôt les forêts feuillues ou mixtes à structure irrégulière de plus de 60 ans, de préférence sous la canopée. L'activité en forêt se poursuit en automne et en hiver, où elle est une des rares espèces (avec *P. nathusii*, *P. auritus*, *M. nattereri*) à chasser même par des températures inférieures à 0°C (Crețu *et al.*, 2022) ; entre fin septembre et fin mars, elle représente alors 72 à 94 % de l'activité pondérée toutes espèces confondues (n = 14). La présence d'eau stagnante ou courante est très attractive, en sous-bois ou en lisière ; l'absence d'arbres est un facteur limitant.

L'exploitation des éclairages artificiels est bien connue, ce qui fait de *P. pipistrellus* une des rares espèces à pénétrer au cœur des grandes villes, pour peu que quelques arbres soient présents ; mais son adaptabilité peut l'amener, comme le montre une observation personnelle au cœur de Paris, à chasser dans des rues sans arbres en longeant des alignements d'immeubles dont les balcons sont décorés de plantes vertes ! Elle chasse au moins jusqu'à 2300 m d'altitude dans les Alpes, y compris au-dessus de la limite forestière sur des cols, mais c'est là encore près des arbres que son activité est notable et régulière.

Pipistrellus pygmaeus

Il est probable que la Pipistrelle pygmée est souvent passée inaperçue ces dernières décennies lors des inventaires acoustiques au détecteur actif : dans de nombreuses régions où le Minioptère de Schreibers n'est pas attendu, les observateurs avaient l'habitude de ne pas monter au-delà de 45 à 50 kHz en hétérodyne, restant donc en dessous des fréquences utilisées par cette espèce. Il est donc difficile d'avoir un recul suffisant pour savoir si les secteurs où elle est sporadiquement contactée à l'heure actuelle (comme le centre ouest de la France par exemple) correspondent à une colonisation en cours ou à des zones de faible densité depuis longtemps.

P. pygmaeus est une espèce FM aplanie, mais son usage de la QFC ne se limite pas uniquement aux comportements de transit et de recherche passive ; il lui arrive de chasser activement en incluant quelques signaux QFC dans de longues séries de signaux FM aplanie. Les FME de ses signaux vont le plus souvent de 50 à 57 kHz ; dans la zone de sympatrie avec de fortes populations de *P. pipistrellus*, *P. pygmaeus* semble contenue dans ces valeurs. Mais dans les secteurs méditerranéens où elle est abondante, elle transgresse souvent la limite basse de cette gamme de FME : un groupe de pipistrelles pygmée chassant sans concurrence interspécifique étale couramment ses fréquences, certains individus descendant jusqu'à 48-49 kHz, voire plus bas encore dans certaines régions d'Espagne ou d'Italie où *P. pipistrellus* est moins fréquente voire absente (voir encadré sur les niches fréquentielles p. 170).

Le risque de confusion entre *M. schreibersii* et *P. pygmaeus* dans la zone méridionale de la répartition de cette dernière, est très élevé ; les critères distinctifs sont développés dans le paragraphe consacré au Minioptère.

Ses trilles sociaux se distinguent souvent assez bien de ceux de *P. pipistrellus*, par une FME supérieure à 20 kHz et le dernier élément plus aigu que les précédents.

P. pygmaeus chasse activement en lisière des plans d'eau et cours d'eau boisés, et à proximité des éclairages artificiels. En forêt elle semble préférer les doubles lisières formées par une allée à ciel ouvert, mais peut aussi ponctuellement chasser en sous-bois peu dense.

Pipistrellus maderensis

Grâce à une série d'enregistrements réalisés aux Canaries, j'ai eu l'occasion d'étudier le sonar de la Pipistrelle de Madère (Barataud J. *et al.*, 2020). Cette espèce est issue de populations de *P. kuhlii* du nord-ouest de l'Afrique, ayant anciennement colonisé cet archipel et subi des différenciations génétiques, morphologiques (taille plus petite) et acoustiques, en l'absence de flux de gènes avec le continent.

Les signaux sonar utilisés par *P. maderensis* présentent une plus grande variabilité que chez les autres espèces du genre. Les signaux QFC semblent assez rares, même en milieu ouvert où les FM aplanies sont dominantes. L'originalité principale chez cette espèce est l'usage de signaux FM de forme sigmoïde (avec une double courbure, concave puis convexe) en comportement de chasse active (contrairement à *P. kuhlii* qui réserve cette structure à un comportement de type sonar-social, au moins pour les populations continentales) ; encore plus étonnant : l'usage de la FM sigmoïde peut être conservé par un individu en recherche passive, avec des intervalles de 190 à 370 ms.

La gamme fréquentielle couverte par cette espèce, au moins sur l'île de Tenerife, est très large, sans doute en lien avec un faible cortège d'espèces de structure de signaux sonar similaires, donc une absence de compétition ; il est possible aussi que ce soit l'absence de compétition avec des espèces FM qui ait développé l'usage de la FM sigmoïde, en lien avec une exploitation plus intensive du milieu forestier. Les quelques QFC récoltées se situaient aux alentours de 44 kHz de FME, ce qui est sans doute réducteur, puisque les FM aplanies s'étalent de 41,5 à 48 kHz. Quant aux FM sigmoïdes, elles couvrent une plage allant de 41,5 à 57,5 kHz, avec une largeur de bande allant de 20 à 75 kHz. Cette plasticité structurelle et fréquentielle témoigne d'une niche écologique certainement étendue, des milieux les plus ouverts aux laurisylves denses, et du littoral marin à 2100 m d'altitude.

Miniopterus schreibersii

Il est tentant d'établir un lien, pourtant peu intuitif au premier abord, entre le Minioptère de Schreibers et la Sérotine commune : tous deux sont les seuls, au sein de leurs groupes acoustiques respectifs (espèces à composante QFC ; FME < 30 kHz *versus* > 30 kHz), à ne

pas pratiquer des signaux QFC planes. Lorsque, rarement dans une séquence de Minioptère, on rencontre des signaux dont la largeur de bande est inférieure à 5 kHz (sous réserve que la fréquence initiale ne soit pas sous-estimée, ce qui est souvent le cas avec les FM atténuées par la distance), cette dernière ne descend guère en dessous de 3 kHz. C'est donc une espèce FM aplanie type, ce qui paraît étonnant en regard de la forme de ses ailes (voir plus loin).

La gamme de fréquences la plus utilisée en phase de croisière va de 50 à 54 kHz. Il est donc en recouvrement total avec les FME de *P. pygmaeus*. Plusieurs critères fiables vont pouvoir être utilisés, certains étant plus évidents à apprécier en hétérodyne. *M. schreibersii* a souvent un vol très rapide ; ceci implique que pour un observateur à l'écoute, les séquences apparaissent et disparaissent sans augmentation et diminution progressive de l'intensité des signaux : « c'est du brutal ». De plus, la récurrence en phase de croisière est très rapide, comparable à celle d'une petite espèce de *Myotis* en chasse active (**son 2.35**). Dans les phases de récurrences plus lentes (pouvant donc être confondues avec celles d'une Pipistrelle), il faut prêter attention à l'intensité relative des signaux les uns par rapport aux autres : chez *M. schreibersii* la disparité est telle que certains signaux très faibles peuvent laisser croire à un deuxième individu en arrière plan, alors que d'autres sont très forts : le tout donne une restitution « chaotique » qui ne doit rien au rythme, mais seulement à l'intensité (**sons 2.36, 2.37, 2.38 et 3.59**). Les tentatives de capture sont souvent privées de la phase d'approche ou de pré approche, et la phase finale de capture, souvent longue voire en plusieurs séries (témoignant d'une poursuite compliquée par la réaction de la proie), a une récurrence très élevée, supérieure à celle d'une Pipistrelle (**sons 2.38 et 3.58**). La forme des signaux FM aplanie, appréciée sur spectrogramme, présente une large courbure ouverte (mais attention ! *P. pygmaeus* peut adopter la même sur certains signaux : ce critère n'est qu'indicatif que lorsqu'il est permanent) et souvent une longue durée : lorsque cette dernière est supérieure à 11 ms il s'agit du Minioptère (**son 3.56**). A l'écoute en expansion de temps, les signaux de *M. schreibersii* ont souvent une amorce progressive et une répartition de l'énergie assez uniforme tout au long de la bande de fréquences : l'ensemble restitue un son « lisse », une sensation de douceur qui tranche souvent avec les FM aplanies courtes et explosives des Pipistrelles (**son 3.58**).

Le Minioptère a longtemps été considéré comme une espèce de haut vol, sur la base de l'examen visuel de sa morphologie alaire ; ses ailes longues et étroites sont en effet révélatrices d'un vol rapide et agile. Il a fallu attendre les suivis nocturnes de ses trajectoires et milieux de chasse qui, corrélés à la structure FM aplanie de ses signaux sonar, sont venus rectifier cette première approche : *M. schreibersii* est une espèce qui colle aux lisières. Son vol rapide lui permet bien sûr une grande capacité de dispersion autour du gîte diurne, et des déplacements sur plusieurs centaines de kilomètres pour des raisons encore méconnues (flux de gène, organisation en méta populations sur de vastes zones...). Mais lorsque le Minioptère sort de son gîte au crépuscule dans un contexte forestier, il choisit de circuler en sous-bois, en chemin forestier ou contre les lisières, au lieu de s'élever au-dessus de la canopée pour traverser en ligne droite un vallon par exemple (sans doute en partie sous pression d'une prédation possible par des rapaces comme les Faucons et l'Epervier).

Quant à son comportement en chasse, il est clairement centré sur la circulation plus ou moins rapide dans les sous-bois peu denses, et le long des lisières verticales et horizontales (juste au-dessus de la canopée), tout près du feuillage, traversant ce dernier à la faveur de faibles trouées pour passer des frondaisons au sous-bois. Mais alors, pourquoi ce vol si rapide, y compris dans ces circonstances ? La solution est sans doute indiquée par son régime alimentaire composé en grande partie de lépidoptères nocturnes dont on sait que beaucoup sont tympanés. Pour surprendre ses proies potentiellement réactives, l'une des stratégies du Minioptère est de les surprendre par sa vitesse de vol, et de supprimer la phase des signaux d'approche (**son 3.60a**), moment critique de déclenchement de la réaction défensive de la

proie (brusque crochet, accélération, chute en vrille, etc.). Une autre stratégie, dans des phases de vol moins rapide en clairière ou lisière, consiste à faire fortement varier l'amplitude des signaux au sein de la phase de croisière, pour gêner les proies dans leur interprétation d'un train de signaux cohérent provenant d'une source unique. Enfin, la stratégie des « salves explosives », déjà décrite chez *N. leisleri*, est parfois aussi utilisée par le Minioptère (**son 3.60a**).

M. schreibersii peut aussi, ponctuellement ou localement, chasser hors contexte forestier ; en Corse je l'ai contacté en prairies sommitales, suivant en aller et retour une rupture de pente juste en contrebas de la crête, sur le versant abrité du vent ; il peut aussi chasser en contexte bocager, ou même le long d'une haie isolée, voire contre un unique arbre dans une grande prairie (Ana Rainho, comm. pers.). Son utilisation des éclairages artificiels est bien connue, et pratiquée aussi bien en France (où les zones éclairées sont très – trop ! – nombreuses) qu'en Roumanie (où les villages éclairés sont plus rares).

Structure FM à faible largeur de bande (Barbastelle & Oreillards)

A la différence des structures de signaux abordées par les groupes acoustiques qui précèdent, celles qui vont suivre n'incluent jamais une partie QFC, c'est-à-dire une largeur de bande inférieure à 5 kHz sur une durée de quelques millisecondes.

Mais il ne faut jamais oublier que cette définition comprend aussi les signaux émis par des espèces à composante QFC lorsque, ponctuellement, elles se trouvent suffisamment proches d'obstacles pour ne plus produire que de la FM. Ce phénomène de convergence, lié au besoin de collecte d'informations plus précises dans un contexte de milieu de vol encombré (la FM améliore la qualité des informations liées à la distance, la directivité, la résolution angulaire, voir p. **80**), est générateur de confusions dans l'identification notamment sur des séquences courtes. Ces confusions peuvent être évitées grâce à des critères structurels (présence ou non d'une courbure concave terminale, distance FME-FT) et comportementaux (types et variations de rythmes, présence de plusieurs individus, etc.). Les convergences les plus fréquentes vont concerner les groupes « sérotules » *versus* Oreillards, et Pipistrelles *versus* Murins.

La différenciation par le timbre des signaux longs des Oreillards (parfois peu miaulés, comme chez *P. austriacus*, qui peut alors être confondu avec *M. myotis-blythii* en abs bas à faible LB) et les signaux FM des Noctules, Sérotine commune ou Molosse (parfois miaulés !) peut être confortée grâce à un critère visuel, sur spectrogramme, de la FM terminale des Oreillards prolongée d'une courte queue (parfois faiblement dessinée). Les signaux courts des Oreillards, par leur timbre nasillard caractéristique, leur courbure hyperbolique et leur faible largeur de bande, ne peuvent guère être confondus avec les FM sifflées linéaires ou sigmoïdes des Pipistrelles et des Murins.

Lorsque l'éventualité d'une espèce à composante QFC émettant ponctuellement en FM, est évacuée, les signaux de structure FM vont se répartir en plusieurs catégories, principalement en fonction du timbre (à l'écoute en expansion de temps : nasillard, miaulé, sifflé) et de la largeur de bande (± 40 kHz).

Dans cette section, nous allons aborder les signaux FM à faible largeur de bande (< 40 kHz), dont le timbre peut être soit nasillard (*Plecotus*, signaux $< 4-5$ ms de durée ; *B. barbastellus*, signaux d'approche ou transit en sous-bois dense), soit miaulé (*Plecotus*, signaux $> 4-5$ ms de durée), soit sifflé (*B. barbastellus*, signaux alternés ; parfois *P. austriacus* et *P. macrobullaris* en milieu ouvert).

Séparer les deux genres concernés est le plus souvent très simple :

- les signaux de *B. barbastellus* en chasse sont inconfondables par l'alternance des deux FME distantes de presque 10 kHz et par leurs caractéristiques de durée et de LB ;
- les signaux à timbre nasillard correspondent à : 1) *B. barbastellus* lorsque cette dernière est en approche (quelques signaux à rythme croissant, signaux alternés caractéristiques avant et après) ou transite en sous-bois (phase de croisière de plusieurs secondes) ; 2) signaux courts (< 4-5 ms) des *Plecotus*. Le critère auditif de l'amorce progressive (*B. barbastellus*) versus explosive (*Plecotus*), et le critère visuel de la courbure convexe (*B. barbastellus*) versus concave (*Plecotus*), sont alors nécessaires et suffisants pour différencier les deux genres ;
- les signaux à timbre miaulé conduisent aux Oreillards en milieu ouvert ou semi ouvert ; il faut veiller à apprécier le comportement de l'individu grâce au rythme pour éviter les rares cas de confusion avec les Noctules, Sérotine commune ou Molosse lorsque ces derniers circulent en sous-bois dense ou très près du sol (sons **3.48a**, **3.50a**, **3.77a**, **3.77b**).

Séparer les espèces de *Plecotus* est plus complexe, notamment dans les tranches de durée médianes (entre 2 et 4 ms). A ce sujet, il est utile de rappeler pourquoi les graphiques présentant les mesures des signaux d'Oreillards, sont ventilés par tranches de durée. Chez ce genre, on observe une corrélation positive très forte entre la durée des signaux et le degré d'ouverture du milieu de vol. Cette méthode privilégiant la prise en compte du comportement de l'individu pour optimiser son identification spécifique, cette clé d'entrée de durée des signaux a le double avantage d'amener l'observateur à mesurer au préalable ce paramètre, et donc d'appréhender forcément le contexte de vol et le degré de curiosité de l'individu, puis de faciliter la lecture des distributions de valeurs entre les trois espèces, qui sont ainsi moins compactées horizontalement.

Mais cette présentation, où chaque feuille du fichier Excel consacré à ce genre représente une tranche de durée, ne doit pas oblitérer l'intérêt d'une analyse générale de la tendance que suivent les paramètres fréquentiels en fonction de la durée des signaux, pour chacune des espèces d'Oreillard. Cette vue globale est permise par le contenu de [la feuille « Tableaux & graphs durée »](#) et notamment les graphiques croisant la durée avec les paramètres fréquentiels ; ces derniers permettent de juger des différences générales entre les espèces, et d'en déduire des hypothèses sur leurs différences écologiques. On constate par exemple que *P. auritus* affiche en moyenne des valeurs fréquentielles plus grandes que les deux autres espèces, ce qui peut s'expliquer par un habitat-type plus forestier. La pente descendante suivie par les valeurs de FME et de FT en fonction de la durée, est forte chez *P. auritus*, moyenne chez *P. macrobullaris* et faible chez *P. austriacus* ; les chances de différenciation des espèces grâce aux graphiques croisant FI et FT seront donc plus importantes dans les tranches de durées les plus courtes et les plus longues : ce sont ces signaux que l'on mesurera préférentiellement dans une séquence.

Le graphique « durée x LB » pose un problème d'interprétation en termes de physique du sonar : en toute logique, plus un chiroptère évolue en milieu encombré, plus il agrandit sa largeur de bande (dont l'accroissement améliore la qualité d'information en distance de la cible, aux dépens de la portée). Chez les Oreillards, c'est le contraire qui se produit, ce qui amène à supposer qu'une autre pression de sélection a agit sur le sonar de ces espèces. L'hypothèse d'une spécialisation sur les proies tympanées (qui réagiraient moins en présence de signaux à bande étroite, comme en témoignent les signaux d'autres chiroptères spécialistes de ces proies, comme *T. teniotis* et *B. barbastellus*) en milieu forestier est une piste possible ; à ce titre, *P. austriacus* pourrait être le plus spécialisé des trois, avec des LB faibles en toutes circonstances.

Barbastella barbastellus

La Barbastelle est une spécialiste des FM à faible largeur de bande. Ses signaux d'approche d'obstacles (et non de proies) vont de 17 à 37 kHz de LB. Quant aux signaux de chasse (avec alternance de FME), ils sont le plus souvent entre 7 et 14 kHz de LB, y compris en sous-bois, ce qui révèle certainement une stratégie de discrétion vis-à-vis de ses proies (voir ci-dessous).

Sa caractéristique principale en activité de chasse (ou de transit en milieux semi ouverts à ouvert), est d'alterner de façon régulière et dans tous les types d'habitats deux types de signaux très particuliers : le type A, FM linéaire ou convexe très courte (3 ms) sur 32 à 35 kHz (jusqu'à 37 kHz) ; le type B, FM convexe d'environ 6 ms sur 40 à 46 kHz. Ceci en fait une espèce impossible à confondre à l'écoute en expansion de temps. Le type B, pour un observateur situé au sol, paraît moins intense que le type A (**son 3.95**) ; mais un microphone posé en hauteur donne la sensation inverse (**son 3.95a**) ; ceci est dû à la direction d'émission de chaque type : le type A, émis par la bouche, est naturellement dirigé en diagonale vers le bas, et le type B, émis par les narines, est naturellement dirigé en diagonale vers le haut, avec un angle entre les deux d'environ 90°.

La phase d'approche est souvent éliminée pour éviter un déclenchement précoce de la réaction de fuite de la proie (**son 3.100**), ce qui ne fonctionne pas toujours et donne alors lieu à une longue poursuite (**son 3.101**). Cet assemblage très sophistiqué a évolué en lien avec un régime alimentaire très spécialisé sur les papillons tympanés, et constitue l'une des stratégies les plus complexes connues à l'heure actuelle, qualifiée de mimétisme acoustique trompeur (voir chapitre 7, p. **304**). Parfois, une bonne synchronisation entre les signaux FM aplanie d'une pipistrelle commune et d'une pipistrelle de Kuhl ou Nathusius peut leurrer l'observateur à l'écoute en expansion de temps, qui se trouve ainsi en situation d'apprécier – même si la transposition est osée ! le piège tendu à un papillon (**son 3.99**). Rarement, le type B n'est pas utilisé, sans doute dans des circonstances de transit passif en milieu ouvert.

La Barbastelle produit assez rarement des signaux d'approche d'obstacles durant les séquences de type alternance ; pourtant, un observateur muni d'un détecteur dans un chemin forestier enregistre souvent ce genre de séquences : la raison est que lui-même en est la cause. Car la Barbastelle circule le long de couloirs sans doute familiers donc bien mémorisés, où les obstacles imprévus sont peu fréquents ; mais sa hauteur de vol favorite est propice à la détection d'une silhouette humaine, entraînant des signaux d'approche. Ces derniers sont semblables aux signaux de transit en sous-bois dense, le rythme mis à part : croissant en approche et régulier en transit sous-bois. Le timbre de ces signaux d'approche et de transit sous-bois, à l'écoute en expansion de temps x 10, est nasillard ; mais leur amorce est progressive, ce qui les différencie des signaux courts du genre *Plecotus*.

Les cris sociaux produits par la Barbastelle semblent d'une variabilité étonnante, et l'inventaire est sans doute loin d'être exhaustif (**son 3.101a**).

La Barbastelle chasse partout où les papillons nocturnes sont abondants, mais pour autant elle ne fréquente pas les lampadaires, sans doute par crainte de la prédation. Les éclairages artificiels attirant les lépidoptères parfois d'assez loin, on peut donc supposer qu'ils constituent une menace pour cette espèce, par limitation de l'abondance de proies disponibles dans les habitats naturels.

Le contexte forestier de basse et moyenne altitude (< 1500 m), mixte ou feuillu, constitue le milieu de chasse préférentiel de *B. barbastellus* ; la structure verticale peut être régulière ou irrégulière, mais les peuplements de plus de 80 ans sont nettement plus fréquentés. Le sous-bois sans écotone, ou les chemins forestiers sous frondaisons recueillent l'activité la plus élevée. Lorsqu'elle chasse en canopée (29,6 % des contacts), elle n'évolue au-dessus de cette

dernière que pour 21,6 % des contacts : au total, c'est 92,7 % de son activité en forêt qui s'exerce à l'intérieur du sous-bois.

Cependant, cette espèce au régime alimentaire très spécialisé peut s'accommoder parfois d'habitats de chasse très différents, parfois d'une faible naturalité. La Barbastelle peut chasser dans les plantations de résineux monospécifiques et équiennes, même si c'est très anecdotique. Elle chasse fréquemment en bocage bien structuré, plus rarement en bocage dégradé en suivant des haies arbustives pour peu que quelques vieux arbres subsistent çà et là. Quelques mentions de sa présence dans les plaines cultivées intensivement laissent perplexe : il pourrait s'agir de populations relictuelles s'accrochant à des lambeaux de bosquets et de linéaires boisés, populations dont la santé et les effectifs sont sans doute précaires.

Plecotus auritus

Les signaux les plus pratiqués par *P. auritus* sont de durées courte à moyenne (< 5 ms), avec un timbre nasillard et une amorce explosive typiques des Oreillards en général. Les signaux de *P. auritus* sont ceux qui présentent au sein du genre la plus grande amplitude fréquentielle ; la LB est plus grande que celles des deux autres espèces, ce qui s'explique surtout par une FI plus haute (sauf en transit en milieu ouvert, mais la FT compense alors en s'abaissant fortement). La distribution des mesures de FT suit une pente plus forte (partant de plus haut en milieu encombré et descendant plus bas en milieu ouvert) que celles affichées par les deux autres espèces : c'est donc dans les tranches de durées les plus courtes et les plus longues que *P. auritus* se différenciera le mieux grâce aux graphiques FI x FT.

Dans les secteurs géographiques où *P. macrobullaris* est absent, (mais attention : la répartition de ce dernier est encore peu connue et peut réserver des surprises !), les durées les plus courtes (< 2 ms) sont toujours discriminantes entre *P. auritus* et *P. austriacus*. Dans les tranches de durées moyennes (2 à 5 ms), *P. auritus* se distingue par des valeurs de FI et de FME supérieures à 52 et 60 kHz respectivement. Les durées > 5 ms séparent assez bien les deux espèces. *P. macrobullaris* venant s'insérer entre les distributions des deux autres espèces, avec un recouvrement souvent important, sa présence rend souvent impossible une identification jusqu'au niveau spécifique.

P. auritus est un chasseur forestier ou de lisière. Les individus suivis après marquage (parfois plusieurs heures durant) n'ont jamais chassé en milieu ouvert ; les espaces ouverts traversés étaient souvent de faible surface, avec des signaux à timbre miaulé de 5 à 7,5 ms. Lorsque cette espèce est contactée à plus de 50 mètres d'une lisière arborée, cela doit correspondre en majorité (voire exclusivement ?) à une activité de transit, et c'est dans ces circonstances que les signaux, alors très intenses (audibles à 50 mètres minimum) peuvent atteindre jusqu'à 11 ms. L'Oreillard roux semble être exigeant quant à la qualité de ses habitats de chasse forestiers : il fréquente de façon très majoritaire les futaies irrégulières feuillues âgées de plus de 80 ans ; il affectionne particulièrement le sous-bois dense riche en strate arbustive, et consacre 81 % de son activité dans les quelques mètres au-dessus du sol ; lorsqu'il chasse dans le feuillage, il vole très lentement en louvoyant aussi bien latéralement que verticalement, avec parfois de courts sur-places.

Plecotus austriacus

L'identification de *P. austriacus* passe par les mêmes remarques que celles faites dans le paragraphe consacré à *P. auritus* : l'absence de *P. macrobullaris* facilite la diagnose surtout dans les durées courtes et longues, et sa présence entraîne de nombreuses conclusions en « *Plecotus* sp. ».

P. austriacus montre une amplitude de valeurs de FME et de FT inférieure aux deux autres espèces, quelle que soit la durée : il en résulte, sur chaque graphique correspondant, une pente faible qui croise celle de *P. auritus* surtout dans les durées médianes. Le fait que les valeurs fréquentielles de *P. austriacus* soient plus basses que celles de *P. auritus* alors que les deux espèces font approximativement la même taille, s'explique sans doute par des différences écologiques : *P. austriacus* fréquente en règle générale des milieux plus ouverts (même lorsqu'il est en forêt) que *P. auritus*.

P. austriacus passe une part majoritaire de son temps de chasse au-dessus des prairies, hautes de préférence, parfois après fauche ou en pâture, en parcours louvoyants à environ 1 mètre au-dessus de l'herbe. De longues séquences répétitives de signaux à timbre miaulé et de durée > 5 ms sont alors captées au détecteur, sans que jamais une phase d'approche et encore moins de capture se fasse entendre : il est hautement probable que les signaux sonar ne servent alors qu'à un ajustement spatial de la trajectoire de vol par rapport au sol et aux obstacles verticaux éventuels, peut-être aussi au repérage à distance des proies, et que l'approche de ces dernières se fait de façon silencieuse pour éviter une réaction de fuite ; ceci est en cohérence avec la proportion élevée de lépidoptères (dont beaucoup sont tympanés) dans son régime alimentaire. Les durées de ses signaux sont alors généralement inférieures à 9 ms, ce qui peut le distinguer de *P. macrobullaris* qui en milieu ouvert peut dépasser fréquemment les 10 ms. Lorsque *P. austriacus* chasse en forêt, il préfère les peuplements feuillus (chênaie principalement) irréguliers de plus de 60 ans, souvent à proximité d'un point d'eau ou d'un ruisseau. Il exploite soit la strate juste en dessous des frondaisons si elle forme un espace de circulation assez libre (en futaie régulière par exemple), soit plus fréquemment la lisière au-dessus de la canopée ; ces deux cas de figure représente 84 % de son activité en milieu forestier : il ne vole près du sol que dans 16 % des cas. Ce dernier point le distingue fortement de *P. auritus* qui, au contraire, évolue à 81 % près du sol. Ce décalage vertical des strates à l'intérieur desquelles l'activité de chasse s'exerce, est à l'heure actuelle la meilleure hypothèse de séparation de niches écologiques des deux espèces en milieu forestier.

Plecotus macrobullaris

L'Oreillard montagnard est présent, en Europe occidentale, dans les Alpes, les Pyrénées, le sud du Massif Central et la Corse. C'est dans ces zones que la distinction acoustique entre les trois espèces d'Oreillards est délicate, car les signaux de *P. macrobullaris* viennent en recouvrement central entre les distributions des deux autres espèces.

La tendance de *P. macrobullaris* est d'avoir en moyenne des FI légèrement plus basses que *P. auritus* et plus hautes que *P. austriacus*, et des FT plus basses que *P. austriacus* pour les signaux de durées courtes à moyennes ; mais le recouvrement reste élevé.

Si la banque de données engrangées jusqu'ici est exhaustive, *P. austriacus* ne dépasse pas une durée de 9 ms ; pour les signaux plus longs, les FI, FT et FME sont plus hautes chez *P. macrobullaris* que chez *P. auritus*, sans recouvrement entre ces deux espèces.

Lorsqu'on se trouve dans un habitat et surtout une altitude favorables (Alpes internes au-dessus de 1500 m par exemple), c'est surtout avec *P. auritus* que le risque de confusion existe. Dans l'état actuel des connaissances acquises dans le cadre de ce programme de recherches acoustiques, les circonstances permettant de qualifier une identification probable à certaine de *P. macrobullaris*, sont :

- durées de signaux entre 2 et 3 ms : FME fondamental < 32 kHz et FME harmonique 1 > 59 kHz ;
- durées de signaux entre 3 et 4 ms : FT < 19 kHz ; FME fondamental < 30 kHz et FME harmonique 1 > 58 kHz ;

- durées de signaux entre 4 et 5 ms : FT < 18 kHz et FI < 50 kHz ; FME harmonique 1 < 44 kHz ;
- durées de signaux entre 5 et 6 ms : FT < 18 kHz et FI < 47 kHz ; FME harmonique 1 < 41 kHz ;
- durées de signaux entre 6 et 11 ms : FT entre 13 et 15 kHz et FI entre 39 et 50 kHz ; FME fondamental entre 20 et 25 kHz et FME harmonique entre 37 et 47 kHz.

Un critère visuel est à confirmer : les signaux sonar longs en milieu ouvert débutent souvent par une courbure convexe (voir spectrogramme sur la feuille « > 6 ms » du fichier xls du genre *Plecotus*) ; cette caractéristique n'a pas encore été notée sur les signaux sonar de *P. auritus* et *P. austriacus* (mais parfois sur les cris sociaux de *P. austriacus*).

Les habitats de chasse sont souvent en milieu ouvert (friches des hauts plateaux, pelouses alpines) ; l'Oreillard montagnard a aussi été contacté en forêt : mélézin âgé sur lande dans le sud des Alpes (Mercantour) et hêtraie en bord de torrent dans les Pyrénées par exemple.

Plecotus sardus

L'Oreillard sarde est, en l'état actuel des connaissances, endémique de l'île de Sardaigne (Italie) où il semble localisé dans la partie centre-est (Mucedda *et al.*, 2002).

Lors d'un séjour en Sardaigne en avril 2023 (Barataud, 2024c), quelques nuits d'écoute et d'enregistrements automatiques sur 3 sites [Punta Pedra Longa (Baunei) ; Cala Gonone (Dorgali) ; vallée de Lanaitto (Oliena)], dans le secteur restreint connu pour héberger *P. sardus*, ont permis de récolter des séquences appartenant sans conteste au genre *Plecotus*, dont 19 d'entre elles contenaient des signaux d'une qualité suffisante pour réaliser des mesures de durées et de fréquences. Plusieurs paramètres permettent de conclure que ces séquences ne correspondent pas à *P. auritus* ou *P. austriacus*, espèces également présentes en Sardaigne mais considérées comme rares (Mauro Mucedda, comm. pers.). Les signaux ont en moyenne, quelle que soit leur durée, des valeurs de FI, FT, FME et LB plus faibles que celles de *P. auritus* et *P. austriacus* (voir fichier xls Identification_Plecotus_Barataud et **son 3.89a** avec son commentaire) ; ces valeurs sont dans quelques cas en dehors des distributions de ces deux espèces ce qui permet une diagnose, notamment dans les gammes de durées de signaux entre 3 et 6 ms. Mais plus encore, on constate des différences de durées des intervalles, nettement plus longues que chez *P. auritus* et *P. austriacus*. Ces longs intervalles se rencontrent aussi dans les séquences avec des signaux de durées faibles (1,5 à 3 ms), qui correspondent à un milieu de vol encombré qui engendre habituellement des intervalles courts. La déduction logique de cette contradiction suggère une tendance à explorer d'un vol lent les interfaces de feuillage, les émissions sonar ne servant qu'à ajuster la distance par rapport à la végétation ; aucune phase de capture n'ayant été décelée dans toutes les séquences récoltées, les proies sont probablement localisées par écoute passive. Cette supposition est confortée par l'observation visuelle au crépuscule d'un des individus enregistrés, le 17 avril à 20h38 au fond de la vallée de Lanaitto (au pied du site de Tiscali) ; l'oreillard (**son 3.89b**) volait lentement à moins d'un mètre au-dessus du sol, explorant d'assez près (d'où la durée courte des signaux : 1,5 à 2,5 ms) la surface du feuillage d'un chêne vert couché ; de nombreuses stridulations de la sauterelle *Cyrtaspis scutata* résonnait dans tous les chênes alentours, et constituaient peut-être une source de localisation passive des proies, justifiant, en plus de la lenteur du vol, des émissions sonar à rythme lent (intervalles 70 à 150 ms) ; un autre individu (non visible) volait à proximité, utilisant des durées plus longues (jusqu'à 7 ms) sans que les intervalles soient modifiés en proportion (70 à 200 ms). L'ensemble de ces paramètres (localisation géographique, mesures de durées et de fréquences, comportement acoustique) confère une probabilité très forte à l'appartenance de ces séquences à un autre taxon que *P. auritus* ou *P. austriacus*, donc *Plecotus sardus*. Cette probabilité est devenue une

certitude après l'analyse (grâce à l'aimable collaboration de Mauro Mucedda) de 5 séquences sardes de *P. auritus* et *P. austriacus* certains (enregistrés après relâcher) montrant une concordance avec les signaux sonar des individus continentaux, et de 9 séquences de *P. sardus* certain (relâcher après capture, et sortie de gîte) montrant une concordance parfaite avec les signaux enregistrés en aveugle sur terrain de chasse en avril 2023.

Les habitats sur les 3 sites d'enregistrements étaient de deux types très différents : fond de vallon boisé (chêne vert avec nombreux arbustes : cistes, pistachiers térébinthes, etc.), à 160 m d'altitude ; bordure de talweg boisé dans un vaste matorral sur éboulis rocheux à une centaine de mètres du littoral marin, entre 40 et 100 m d'altitude.

Plecotus teneriffae

Cette espèce (ou sous-espèce selon les auteurs d'études génétiques) est rattachée à la lignée de *P. austriacus*, et aurait pour origine des individus en provenance du nord-ouest de l'Afrique continentale.

Les connaissances acoustiques sur cette espèce proviennent de l'île de Tenerife, avec une faible variabilité comportementale : recherche passive en milieu ouvert (Barataud J. *et al.*, 2020). Les signaux analysés sont donc de durée longue (6 à 10 ms) avec un timbre miaulé, et présentent de façon intéressante la même particularité que celle notée sur les signaux longs de *P. macrobullaris*, celle d'une courbure initiale convexe.

Les valeurs de FI et FT sont en recouvrement total avec celles de *P. austriacus* en Europe continentale ; on observe par contre des valeurs plus basses en moyenne pour les FME du fondamental et de l'harmonique 1 qui pourraient indiquer une spécialisation encore plus forte sur les milieux ouverts.

Structure FM abrupte (Murins)

L'identification des espèces comprises dans ce groupe acoustique nécessite au préalable d'avoir caractérisé auditivement le timbre sifflé, et d'avoir écarté le cas de signaux FM produits par des espèces FM aplanies en contrainte avec des obstacles (distance FME-FT, courbure finale, faible LB, comportement, etc.).

Ce groupe est spécialisé sur les milieux encombrés : mis à part les longues FM-QFC-FM de *M. dasycneme* utilisées dans une phase comportementale de chasse très particulière, et quelques très rares séquences (trois à ce jour sur plusieurs milliers !) de *M. myotis-blythii* comportant un ou quelques signaux sigmoïdes avec une courte plage médiane en QFC plus ou moins pentue (le déterminisme de ces signaux est inconnu), la FM abrupte est la règle permanente. Il existe cependant une grande variabilité dans les largeurs de bandes balayées selon les espèces : *M. nattereri* et *M. emarginatus* sont coutumiers des LB très grandes (> 100 kHz), alors que *M. myotis-blythii-punicus*, *M. capaccinii*, *M. dasycneme* et dans une moindre mesure *M. daubentonii* ont des LB le plus souvent voire toujours < 70 kHz.

L'identification spécifique des Murins est conditionnée par les éléments suivants :

- la caractérisation des signaux d'une séquence dans un ou plusieurs types acoustiques (présence ou absence de pic d'énergie + gamme de fréquence terminale) ;
- la présence dans une même séquence d'une variation de rythme, avec une phase de croisière et une phase d'approche même courte ;
- la prise en compte du comportement de l'individu, en croisant les critères de rythme (récurrence, régularité) et de structure (durée, FME, LB) ;
- la mise en évidence de traits comportementaux spécifiques, notamment grâce aux transitions entre types acoustiques croisées avec la récurrence.

Il semble également important de prendre en compte le contexte géographique et son cortège d'espèces.

Les régions d'Europe où j'ai effectué mes enregistrements étaient le plus souvent riches en espèces du genre *Myotis* (souvent 8 espèces ou plus en sympatrie). Or, quelques séquences enregistrées (en aveugle) par des collègues dans le nord ou le sud de l'Europe où le cortège d'espèces de *Myotis* est plus limité, semblent montrer des différences de comportement acoustique (variations de FME et de FT principalement) pour quelques espèces. Il me semble prudent d'envisager que la cohabitation entre de nombreuses espèces syntopiques utilisant des structures de signaux sonar similaires, puisse constituer une contrainte qui les conduisent à utiliser une niche acoustique plus étroite (cette hypothèse de « concurrence de niches acoustiques » a déjà été formulée pour les Pipistrelles, voir encadré p. 170). Dans les régions où seulement 2 à 4 espèces de *Myotis* sont en sympatrie, une « compétition » plus faible pourrait faciliter une extension des comportements acoustiques, de sorte que l'on puisse rencontrer des signaux d'une espèce qui soient en chevauchement avec les valeurs d'une autre espèce absente.

C'est la raison pour laquelle, dans les contextes nordiques, méditerranéens ou insulaires où le nombre d'espèces est plus limité, je conseille d'appliquer mes critères d'identification en tenant compte de cette précaution. La solution peut être par exemple d'adapter la clé d'identification, en prenant comme base l'ensemble des critères les plus fiables pour chaque espèce, puis juger d'une possible variabilité locale en étudiant le comportement acoustique des individus grâce à de longues séquences en expansion de temps.

Myotis alcathoe

Spécialiste de l'am ht, sa caractéristique est donc de pratiquer ce type dans toutes les circonstances de vol, et donc toutes les récurrences.

Ainsi, par récurrence faible, il va être en recouvrement avec *M. emarginatus* qui utilise l'am ht en recherche plus ou moins active (passant à l'abs ht dès que le rythme devient encore plus lent), et par récurrence forte il va être en recouvrement avec *M. mystacinus* en chasse active. La FT chez *M. alcathoe* est le plus souvent vers 40 kHz ou au-dessus, quelle que soit la récurrence : c'est dans cette gamme fréquentielle que les chances d'identification certaine sont les plus élevées.

Lorsque le rythme de croisière est peu rapide, seule une phase d'approche (même courte) qui reste en am ht peut éliminer formellement *M. emarginatus* (qui passe alors en claq ht). Lorsque le rythme est plus rapide, le recouvrement avec *M. mystacinus* est possible, car ce dernier peut pratiquer des FT aux alentours de 40 kHz lors de chasse active en sous-bois dense ; il faudra alors espérer une phase plus lente pour séparer les deux espèces : *M. mystacinus* descend en dessous de 35 ou même 30 kHz en recherche passive.

Ainsi, pour résumer, une séquence présentant des fortes variations de récurrence et qui reste en am ht avec une FT supérieure ou égale à 40 kHz, pourra être attribuée avec certitude à *M. alcathoe*.

Lorsque la FT descend en dessous de 40 kHz, la confusion entre *M. alcathoe* et *M. emarginatus* reste possible en l'absence de phase d'approche ; on remarque cependant sur les graphiques que les valeurs de FME sont plus élevées (> 65 kHz) chez *M. emarginatus* sur les signaux de plus de 4 ms de durée (correspondant à une recherche passive, donc avec des FT souvent < 40 kHz), ce qui peut être un recours efficace.

En dessous de 35 kHz de FT, le risque de confusion avec *M. mystacinus* est fort sauf si la phase de croisière est de récurrence moyenne à lente (> 80 ms d'intervalles) : dans ces

circonstances, *M. mystacinus* est alors généralement près de 30 kHz de FT, ou même en am moy ou abs moy.

L'amorce chez *M. alcatheae* est parfois faiblement marquée, surtout sur les signaux de transit en milieu plus ouvert (voir **son 3.142**), jusqu'à parfois disparaître sur quelques signaux (voir **son 3.142a**), créant ainsi des courtes séquences en abs ht (attention alors à la confusion avec *M. emarginatus* : la FT au-dessus de 40 kHz reste la signature certaine de *M. alcatheae*).

M. alcatheae ne traverse que très rarement des espaces ouverts, pour rejoindre un gîte situé dans un arbre isolé par exemple. Il chasse parfois en lisière de haie, mais surtout en futaie irrégulière feuillue mature (> 100 ans) ; il affectionne particulièrement les ripisylves ou les forêts fraîches. Chasseur en poursuite, sa petite taille lui permet de circuler aisément dans un sous-bois dense. Il privilégie souvent le feuillage de la canopée en forêt sèche, mais une petite zone humide en sous-bois (ornière inondée, souille d'ongulé) l'amène à descendre chasser près du sol parfois durant plus d'une heure (Barataud & Giosa, 2021).

M. bechsteinii

Les signaux abs bas de *M. bechsteinii* sont utilisés lors des transits en milieu ouvert ; ils sont remarquables par la répartition assez uniforme de l'énergie tout au long de la gamme de fréquences, et leur durée souvent longue (couramment entre 10 et 13 ms), ce qui les distingue de ceux de *M. nattereri* dont la FME est similaire. Ces signaux abs bas peuvent aussi être distillés en courtes séries ou isolément au sein de séquences abs moy, ce qui est caractéristique de cette espèce.

Lorsque seuls les signaux abs moy sont présents dans une séquence (chasse active, récurrence moyenne à forte), les FME sont le plus souvent inférieures à 45 kHz ce qui limite le recouvrement à trois espèces :

- *M. mystacinus*, qui ne pratique l'abs moy qu'en transit ou en recherche passive en milieu ouvert (ce peut n'être qu'une petite clairière en sous-bois) avec une récurrence moyenne à faible sans phase d'approche ;
- *M. myotis* en sous-bois, qui utilise alors presque toujours un rythme typique lent et irrégulier, rarement pratiqué par les Murins de petite taille (*M. nattereri* mis à part, mais ce dernier est rarement en abs moy, en général sur des phases courtes de recherche passive au rythme régulier) ; dans ces circonstances sa FME est souvent en dessous de 40 kHz et il inclut fréquemment des groupes de signaux hautes fréquences.

M. bechsteinii est donc le seul à chasser activement en abs moy quel que soit le rythme (phases d'approche d'obstacles ou de proies comprises) avec une FME quasi invariable entre 40 et 44 kHz, et ce parfois durant plusieurs minutes en un même endroit.

Les transitions claq ht ou moy / abs moy sont en recouvrement avec *M. brandtii* même si ce dernier ne les pratique que très rarement (et que sa FME en abs moy est le plus souvent > 45 kHz). Le **son 3.185** reproduit cette transition ; elle est suivie d'une série abs moy contenant un signal abs bas en son sein : là l'identification peut être qualifiée de certaine ; puis l'individu après une nouvelle traversée du feuillage (claq ht) passe en clairière avec une série abs bas.

Les signaux am ht restent anecdotiques chez *M. bechsteinii*, puisqu'ils ont uniquement été entendus près du gîte diurne lors d'évolution en groupe, sous forme de courtes transitions entre d'autres types acoustiques (abs moy et claq ht par exemple).

Même s'il lui arrive de chasser en système bocager bien structuré, l'essentiel de l'activité nocturne du Murin de Bechstein se réalise en forêt. Il ne fréquente la forêt jeune et perturbée que lorsque le choix lui manque (Barataud *et al.*, 2009) ; car c'est avant tout un spécialiste de la futaie feuillue (chêne et hêtre) mature (> 80 ans), et riche en stratification verticale (couverture arbustive de 25 à 75 %). Les versants sud, trop secs, sont souvent délaissés au profit des fonds de vallon ou des versants nord et est. Bien que capable d'évoluer dans le

feuillage de la canopée, 80 % de son activité (glanage, mais souvent aussi chasse en poursuite) est concentrée dans la strate des dix mètres au-dessus du sol.

M. blythii

La distinction entre grandes et petites espèces du genre *Myotis* est assez aisée la plupart du temps (attention à *M. nattereri* qui alterne aussi des phases abs bas et signaux hautes fréquences...) notamment grâce aux FME basses et à l'aspect ondulé, visible sur spectrogramme, des signaux abs bas (parfois abs moy dans une moindre mesure). Mais une fois ce groupe identifié, la principale difficulté réside dans la séparation des deux grands *Myotis*, car ils utilisent les mêmes types acoustiques ; les possibilités de diagnose vont jouer sur les différences d'utilisations de ces types selon les contextes comportementaux.

En abs bas, *M. blythii* utilise souvent une FME et une LB inférieures à 30 kHz ce qui le différencie de *M. myotis* (voir **son 3.178**). L'abs bas est utilisé en phase de recherche en milieu ouvert, au-dessus de prairies ou de garrigues y compris en bordure de lisières arborées. Ces signaux partagent les caractéristiques typiques des signaux abs bas de grands *Myotis* : faible distance fréquentielle entre la courbure concave et la courbure convexe placées vers le bas du signal, ondulation générale, énergie concentrée dans la 2^e moitié du signal. Mais contrairement aux signaux de *M. myotis*, ceux de *M. blythii* présentent très souvent une très légère amorce et un léger claquement (ce dernier pouvant s'expliquer par une « bulle » de FME à la fin du signal bien visible sur spectrogramme, voir fichier xls Identification_Myotis, onglet abs bas), et une durée supérieure à 10 ms (pouvant aller jusqu'à 18-19 ms). On évitera la confusion avec *M. nattereri* grâce à la longue durée, et avec *M. bechsteinii* grâce à la répartition de l'énergie (très lissée sur l'ensemble du signal chez ce dernier, sans aucune amorce ni claquement même très léger). En milieu forestier peu dense, lorsque les signaux abs bas sont pratiqués, ils alternent au gré de la densité des obstacles avec l'am ht (avec des signaux souvent longs en durée et d'une FME < 50 kHz), et/ou les claq moy et bas.

M. blythii utilise l'abs moy fréquemment, et notamment dans une circonstance qui le distingue fortement de *M. myotis* (qui est alors toujours en abs bas) : lors de transits linéaires et rapides en milieu ouvert, avec un rythme lent et plutôt régulier. L'abs moy est aussi pratiquée en phase de recherche passive en milieux ouverts, alors que dans ces circonstances *M. myotis* reste en abs bas. En sous-bois clair, *M. blythii* est le plus souvent en abs moy, mais c'est aussi le cas pour *M. myotis*. Cependant, dans toutes ces circonstances de vol, les signaux abs moy de *M. blythii* atteignent souvent une durée de signal de 8 ms, et la dépassant même jusqu'à 11 ms, avec souvent une FME < 35 kHz et une LB < 45 kHz (**son 3.178a**). Cette utilisation de l'abs moy en milieu ouvert avec des durées longues (8 à 11 ms) semble discriminante selon nos connaissances actuelles. *M. myotis* n'a jamais utilisé l'abs moy avec des durées aussi longues lors de nos nombreux relevés sur cette espèce (individus identifiés en main puis marqués, ou bien en aveugle dans des zones bien prospectées où *M. blythii* n'a jamais été observé en gîte ou en capture). La durée des signaux étant fortement corrélée avec la distance aux obstacles situés dans l'axe de vol, cette différence de type acoustique (basée sur une différence de FT) entre deux espèces proches utilisant un même habitat, me semble être une signature spécifique robuste sur un plan théorique : en milieu ouvert le critère principalement recherché est la portée, et pour ce faire les deux espèces n'utilisent pas la même stratégie (*M. myotis* abaisse sa FT et *M. blythii* allonge sa durée). La validation empirique de ce critère repose à l'heure actuelle sur plusieurs centaines de données robustes concernant *M. myotis*.

Tout cas contradictoire s'avère intéressant à étudier... Dans un travail d'analyse de très nombreuses données issues d'une zone géographique très éloignée de la répartition connue de

M. blythii (à l'ouest de Cologne, Allemagne ; voir Crețu *et al.*, 2022), nous nous sommes heurtés à l'occurrence répétée de séquences en abs moy présentant tous les critères paramétriques et comportementaux exclusifs de *M. blythii*. Ce constat conduit à deux hypothèses également plausibles : 1) *M. blythii* est en dynamique pionnière vers le nord (grâce aux modifications actuelles du climat ?), et des individus s'insèrent dans les colonies de *M. myotis* (fait constaté dans le nord-ouest du Massif Central de la France par exemple), passant inaperçu des chiroptérologues locaux persuadés que leurs colonies de *M. myotis* sont monospécifiques ; 2) les populations de *M. myotis* n'ayant jamais été en contact avec *M. blythii*, donc non contraintes par la compétition avec une niche acoustique proche, peuvent étendre leur niche acoustique (peut-être en lien avec une extension du comportement de chasse et du régime alimentaire ?) qui devient, en situation allopatrique, en recouvrement avec celle de *M. blythii*. La réponse, dans tous les cas passionnante, ne pourra être apportée que par l'application d'un protocole adapté.

Ainsi *M. blythii* pointe des besoins de recherches à venir, notamment sur le plan de l'acoustique ; car par ailleurs, plusieurs séquences enregistrées en aveugle dont l'appartenance au Petit murin est, par recoupement seulement, jugée possible à probable, laissent supposer une forte variabilité dans le comportement en chasse de cette espèce selon les contextes d'habitats :

- ❖ des séquences enregistrées (Olivier Vinet, comm. pers.) dans la vaste plaine herbeuse de la Crau (Camargue, France), qui contiennent des séries de signaux am ht, am & claq et abs ht (FM linéaire, sigmoïde ou ondulée ; durée 3 à 5 ms ; FT 30-40 kHz ; FME 45-60 kHz ; LB 50-70 kHz) ;
- ❖ des séquences enregistrées en prairie non fauchée dans le sud de la Corrèze, sur des terrains de chasse fréquentés par *M. blythii*, révèlent des séries de signaux abs ht à rythme assez lent (intervalles 150 ms en moyenne) de longue durée (9 ms) attribuables par défaut à cette espèce : FT 30 kHz, FME 47 kHz, LB 50 kHz, courbure concave placée en début de signal vers 60-65 kHz. Ce comportement pourrait correspondre à un vol rasant l'herbe haute ou les buissons de lisière (d'où les FT et FME plus hautes pour améliorer la directivité) en milieu ouvert (la longue durée augmentant la portée des signaux), lors de phases de chasse où les proies (sauterelles principalement) seraient localisées par écoute passive de leurs chants ;
- ❖ des séquences enregistrées (Ludivine Delamare, comm. pers.) dans l'Hérault (sud France) en contexte de sous-bois dense, contiennent des séries de signaux am ht (FM linéaire ou concave ; durée 2,5 à 4,5 ms ; FT 30-40 kHz ; FME 50-70 kHz ; LB 50-80 kHz) avec un rythme lent et irrégulier typique des grands *Myotis*.

Les habitats de chasse fréquentés par le Petit murin correspondent en théorie à la présence de ses proies les plus consommées : les Ensifères. Contrairement à *M. myotis* qui est adapté à la capture des proies posées sur le sol, *M. blythii* est plus spécialisé sur les prairies hautes (Arlettaz, 1996 ; Roué & Barataud, 1999). Parmi les Grillons, seul le genre *Oecanthus* chante dans les hautes herbes ou les buissons, voire en canopée pour *O. dulcisonans* (Barataud J., à paraître) ; les Sauterelles sont par contre toutes liées aux feuillages quel que soit l'étage : herbacé, buissonnant, arbustif et arboré ; ceci explique que *M. blythii* est contacté dans des habitats très divers : les grandes plaines steppiques comme celle de la Crau, les prairies de fauche du Massif Central et des Alpes du Sud jusqu'à 1800 m d'altitude (Barataud *et al.*, 2014), les garrigues semi boisées provençales, les dehesas d'Espagne, les ripisylves denses du Gard, les chênaies pubescentes du Lot, etc. La technique de capture des proies est peu connue, le glanage des proies est fortement suspecté comme étant la stratégie dominante ; la détection des Ensifères est largement facilitée par l'écoute passive des stridulations des mâles, qui doivent payer un tribut plus élevé que les femelles.

Myotis brandtii

(voir § *M. nattereri* pour d'éventuels risques de confusions)

La caractéristique première de cette espèce est le type am & claq, puisque c'est la seule à le pratiquer en phase de croisière de type recherche active, sur de longues séquences ; cette précaution de langage indique bien que l'am & claq n'est pas un type exclusif, une sorte de prouesse vocale que seul *M. brandtii* pourrait produire. En effet, on peut rencontrer ce type acoustique chez d'autres espèces : *M. myotis-blythii* et *M. nattereri* (lors de peu fréquentes et courtes séries de signaux à rythme lent, avec souvent une forte hétérogénéité de FME, FT, LB et de pics d'énergie d'un signal à l'autre) ; *P. pipistrellus* ou *H. savii* (lors de très rares comportements de phase d'approche à récurrence élevée, avant de boire par exemple) ; et la liste à découvrir n'est peut-être pas close... Mais tous ces autres cas ne concernent que des comportements fugaces qui ne correspondent pas à des émissions de croisière continues en recherche active : voilà la véritable signature exclusive am & claq de *M. brandtii*.

On veillera cependant à être prudent dans son jugement auditif, car sur des signaux courts et hauts en fréquence le positionnement correct des pics d'énergie réclame de l'entraînement (à partir de séquences de référence), de la concentration et quelques précautions (casque de bonne qualité, silence et attention...); certains signaux claq ht de *M. emarginatus* et *M. bechsteinii*, donnent parfois la sensation d'un double pic dans quelques phases de transition courtes (*M. emarginatus* notamment, qui passe sans arrêt de l'am ht au claq ht). Mais *M. brandtii* est le seul à produire le double pic sur un même signal de façon nette et surtout sur des longues séries de signaux, où les durées et FT varient alors que l'am & claq reste constant (voir **sons 3.133 & 134**). Lorsque *M. brandtii* est présent sur un secteur, les séquences présentant ces caractéristiques sont parfois récoltées par dizaines en une soirée : leur emploi est très fréquent, sans doute plus que l'abs moy qui elle ne présente pas de critère diagnostique marquant en dehors de quelques signaux à FME > 60 kHz et LB > 85 kHz.

Une autre caractéristique de l'espèce est d'utiliser le claq moy sur de longues séries à récurrence faible (en lisière par ex., voir **son 3.124**).

C'est certainement l'espèce qui varie le plus les types acoustiques au sein d'une séquence, ce qui est d'ailleurs à rapprocher du fait qu'il détient le record du nombre de types pratiqués (sept sur les neuf décrits). Le **son 3.186** est une très longue séquence enregistrée par Marc VAN DE SIJPE dans une forêt de Belgique où plusieurs individus de cette espèce ont été suivis à partir de leur gîte de mise-bas et chassent à proximité de ce dernier ; on remarque un détail typique : beaucoup des signaux que l'on serait tenté, par leur durée et leur FT, de qualifier d'abs moy, ont une légère amorce et un léger claquement, le type am & claq typique avec ses signaux courts et hauts en fréquence intervenant surtout en phase d'approche (notamment avant les phases de capture).

Le Murin de Brandt peut être contacté le long des lisières et en bocage bien structuré, mais il chasse principalement en forêt. La forêt feuillue ou mixte est préférée aux peuplements résineux non autochtones ; il semble indifférent à la structuration verticale mais il est beaucoup moins actif lorsque la strate arbustive est absente ; les boisements jeunes (50 ans) sont fréquentés pour peu qu'ils soient parcourus de couloirs de vol (chemins sous frondaisons) ; la proximité d'un étang ou d'un ruisseau sous-bois est recherchée. Lorsque ces conditions sont réunies, il n'est pas rare que les contacts avec cette espèce sur un même point se répètent pendant des heures, à intervalles de quelques minutes correspondant à l'amplitude de ses parcours en aller et retour sur un chemin.

M. capaccinii

Les deux types acoustiques qui offrent le plus de possibilités d'identification fiable pour le Murin de Capaccini, sont l'am ht et l'abs ht, tous deux pouvant être mélangés au sein d'une même séquence (comme le montre le **son 3.187**), avec un comportement de transit ou de chasse ; le critère discriminant est alors la durée, plus longue que chez les autres espèces (même en chasse active avec une récurrence forte, la durée est souvent supérieure à 4 ms). L'allure sigmoïde des cris et la répartition régulière de l'énergie produisent la sensation sonore d'un sifflement « lisse » assez caractéristique.

Lorsque cette espèce chasse au-dessus de l'eau, elle peut le faire au ras de la surface comme *M. daubentonii* : les signaux abs moy des deux espèces sont alors très proches (bien que la LB soit plus faible et la FT plus élevée en moyenne pour *M. capaccinii*).

Mais fréquemment *M. capaccinii* pratique un vol en orbites larges dans un volume et non plus un plan : sa hauteur de vol varie entre la surface de l'eau et 1,5 m environ, et dans ce cas les signaux abs moy marquent des différences de LB et FT avec *M. daubentonii*, même si le recouvrement est important.

Les circonstances décrites ci-dessus de chasse au-dessus de l'eau représentent certainement la majorité du temps de chasse de *M. capaccinii*. Les eaux calmes semblent recherchées notamment pour la chasse au ras de leur surface ; c'est aussi le faciès le plus fréquent en plaine, là où cette espèce thermophile se retrouve le plus souvent. Mais *M. capaccinii* peut aussi chasser en sous-bois au-dessus d'un ruisseau à faciès torrentiel comme cela a été constaté dans le sud des Alpes (Mercantour ; Roland Jamault et Arnaud Dorgère, comm. pers.). Aucun contact de chasse en forêt sèche n'a été relevé au cours du programme d'études.

Myotis dasycneme

Une majorité des sons de Murin des marais analysés dans cet ouvrage, proviennent d'enregistrements réalisés par Marc Van de Sijpe en Belgique ; Marc a également produit des travaux d'étude comportementale sur cette espèce (Van de Sijpe & Holsbeek, 2007 ; Van de Sijpe, 2008), qui inspirent plusieurs détails présentés ici.

Cette espèce chasse principalement au-dessus de l'eau, avec deux grands types de comportements :

- 1) un vol linéaire ou en courbes, inscrit en permanence dans un plan horizontal au ras des surfaces aquatiques lisses, plus ou moins près des rives, à la manière de *M. daubentonii* ; la technique de capture correspond alors, comme pour *M. daubentonii*, au « chalutage » de proies gaffées à la surface de l'eau avec les pieds et l'uropatagium ; le type acoustique exclusivement utilisé est alors l'abs moy : les valeurs mesurées sont partiellement en recouvrement entre les deux espèces (*M. dasycneme* a souvent une durée plus longue et une LB plus faible), mais les critères de courbures mis en évidence par Marc Van de Sijpe sont discriminants (voir le document « Différences de courbures des signaux sonar entre le Murin de Daubenton et le Murin des marais », disponible sur la page « Documents PDF » du site <http://ecologieacoustique.fr/>) ;
- 2) 2) plus tard en saison lorsque les grands lépidoptères tympanés sont actifs, *M. dasycneme* pratique souvent un vol rapide et linéaire, le long de la médiane des canaux ou rivières larges (> 15-20 m), près de la surface ; les lépidoptères sont attaqués par-dessous lors d'une brusque remontée, parfois poursuivis et finalement gaffés en surface s'ils se sont laissés choir ; ce type de chasse particulier fait intervenir (selon les contextes, en mélange ou non avec des phases abs moy classiques) des séries de signaux FM-QFC-FM de longue durée (voir chapitre IV.C.4.b) distribués en « salves surprises » après un long silence (le parcours routinier et linéaire, bien

mémorisé, permet des phases de vol sans émissions sonar) ; ce comportement très typique rend l'espèce aisément identifiable (voir **son 3.188**).

A l'écoute en hétérodyne sur 35-36 kHz, les séries de signaux de *M. dasycneme*, de structure FM-QFC-FM en salves surprises, se différencient parfaitement (grâce aux sonorités typiques dues à la partie QFC (Ti, To, Poé, Pli), des crépitements secs de FM abrupte produits par *M. daubentonii*, lorsque ce dernier chasse au même endroit. La confusion avec une Pipistrelle, qui produit les mêmes sonorités, pourra être évitée grâce aux critères de distribution temporelle et d'évolution de l'intensité des signaux.

A l'écoute en expansion, la durée longue et la largeur de bande faible de ces signaux contrastent fortement avec les FM abruptes typiques du genre *Myotis*, tout en se démarquant des signaux FM aplanie des espèces situées dans la même gamme de fréquences (*Hypsugo savii*, *Pipistrellus kuhlii/nathusii*), par une amorce progressive, une durée plus longue et LB plus étroite.

Si les canaux du nord de l'Europe, les grands plans d'eau et les rivières à cours lent représentent une image typique des milieux de chasse du Murin des marais (comportements 1 et 2), les rivières à cours plus rapide avec rochers, remous et rives boisées, accueillent aussi le second type de chasse comme j'ai pu l'observer en mai 2011, au-dessus d'une rivière près de Bălnaca en Transylvanie (Roumanie). *M. dasycneme* chassait (en syntopie avec *M. daubentonii*) uniquement selon le mode FM-QFC-FM durant au moins une heure à raison d'un passage toutes les 2 à 5 minutes.

Myotis daubentonii

Le comportement de chasse le plus utilisé par cette espèce est le vol rasant au-dessus des eaux calmes pour gaffer les proies à leur surface, comportement qui génère l'artefact de modulation d'amplitude sinusoïdale (MAS) sur les signaux. Dans les zones géographiques où l'espèce n'est pas en sympatrie avec *M. dasycneme* ou *M. capaccinii* (qui pratiquent le même comportement de chasse), toute séquence de croisière en abs moy, obtenue au bord d'un plan d'eau ou d'un cours d'eau, dont une majorité de signaux présente une MAS, correspondra à cette espèce qui est alors la seule à pratiquer ce vol rasant en permanence.

Dans la zone de sympatrie avec *M. capaccinii*, l'identification certaine est toujours complexe et souvent impossible tant le recouvrement de valeurs pour le type abs moy est important. Cependant, contrairement à *M. daubentonii*, *M. capaccinii* reste majoritairement au-dessus de 26 kHz de FT, ne transgressant jamais la limite des 23 kHz.

La différenciation entre *M. daubentonii* et *M. dasycneme* présente moins de difficulté grâce aux LB plus étroites du second, et grâce aux critères de différences de courbures mis en évidence par Marc Van de Sijpe (voir le document « Différences de courbures des signaux sonar entre le Murin de Daubenton et le Murin des marais », disponible sur la page « Documents PDF » du site <http://ecologieacoustique.fr/>).

Même si les autres habitats de vol sont plus anecdotiques en temps d'utilisation, *M. daubentonii* est susceptible d'être contacté dans d'autres circonstances : chasse active en lisière de haie, en allée forestière ou en sous-bois (parfois même en canopée), transit en prairie... Lors de la chasse en lisière ou sous-bois (où la MAS disparaît bien entendu), le type acoustique peut rester de l'abs moy, mais avec d'autres caractéristiques qu'au ras des surfaces aquatiques : signaux plus courts, plus hauts en FME (> 45 kHz) et en FT ; le recouvrement avec *M. brandtii* est alors fort, ce dernier ne pouvant se révéler que par des largeurs de bandes souvent supérieures à 75 kHz, et de l'am & claq lors d'une phase d'approche. Les caractéristiques distinctives de *M. daubentonii* par rapport à *M. brandtii* et *M. mystacinus* (ce

dernier ne pratiquant l'abs moy qu'en recherche passive uniquement) sont alors : une LB toujours < 70 kHz, une FT souvent proche de 30 kHz voire supérieure, et le maintien de l'abs moy lors d'une phase d'approche.

M. daubentonii n'utilise le claq moy que rarement, en phase finale d'approche d'un obstacle (et non d'une proie, où il reste en abs moy ou ht), ou dans le feuillage de la canopée.

L'am moy est parfois utilisée, uniquement sur quelques signaux en début de phase d'approche d'obstacle.

D'une façon générale, les transitions de type acoustique sont plutôt rares chez *M. daubentonii* par rapport à *M. brandtii*. Le **son 3.189** présente une longue séquence de Murin de Daubenton au-dessus d'un étang, avec plusieurs phases d'activité différenciées se traduisant ou non par des changements de types : abs moy avec une sonorité lisse (énergie répartie sur l'ensemble du signal) lors d'un passage en lisière ; abs moy avec énergie concentrée sur la 2^e partie du signal et MAS en chasse au ras de l'eau ; claq moy en présence d'un congénère ; transit en abs moy.

Reste le type abs ht, qui permet son identification dans plusieurs cas. En transit en milieu ouvert il se distingue de *M. emarginatus* par la FT de certains signaux descendant en dessous de 30 kHz, et la FME souvent en dessous de 45 kHz ; la forme est souvent plus sigmoïde chez *M. daubentonii*, avec une répartition de l'énergie plus uniforme restituant à l'oreille un son « lissé ». L'utilisation de l'abs ht en activité de chasse chez *M. daubentonii* est certainement sous-estimée par les observateurs non initiés, qui ne s'attendent pas à le rencontrer dans des habitats forestiers. Dans des régions riches en ripisylves ou en étangs, où les populations de cette espèce peuvent être plus denses (Crețu *et al.*, 2022), de nombreux individus peuvent chasser assidûment et fréquemment le long des lisières et allées forestières, et même en sous-bois (plutôt en futaie claire de feuillus matures, ou au-dessus d'un ruisseau torrentiel sans raser la surface). Le **son 3.189a** donne un bon exemple du comportement acoustique dans un tel contexte : les valeurs de FT descendent rarement en dessous de 30 kHz, frôlant parfois les 40 kHz en phase d'approche (qui reste en abs contrairement à *M. emarginatus*). Les signaux de *M. daubentonii* présentent alors des mesures très proches de celles de *M. emarginatus* en recherche passive ; ils s'en distinguent formellement par le comportement de chasse active (rythme rapide, phases d'approche qui restent en abs). Dans les mêmes circonstances, *M. capaccinii* produira presque toujours quelques signaux de durée > 6 ms. Mais des séquences répétitives ou de longues durées sont parfois nécessaires pour révéler et valider les différences entre ces espèces en abs ht.

Myotis emarginatus

Spécialiste (avec *M. alcaethoe*) des hautes fréquences (FT toujours supérieure à 30 kHz), le Murin à oreilles échancrées passe une majorité de son temps d'émission à alterner des séries de signaux en am ht et d'autres en claq ht, même si souvent le moindre passage dans un petit espace plus ouvert provoque un passage à l'abs ht.

Plusieurs paramètres compliquent l'appréciation auditive des pics d'énergie sur de tels signaux et leur différence avec l'am & claq de *M. brandtii* : la durée courte, les hautes fréquences, le passage fréquent de l'am ht au claq ht au sein d'une même séquence (sans compter les cas où deux individus évoluent ensemble, l'un en am ht et l'autre en claq ht, voir **son 3.191**), tout se conjugue pour rendre l'appréciation difficile. Une attention auditive particulière est donc recommandée, avec écoute comparative de séquences de référence correctement identifiées. Les observateurs hésitant sur la classification du type acoustique (entre am & claq *versus* am ht alternant ou non avec claq ht) peuvent aussi se baser sur les valeurs de FT et de FME : *M. emarginatus* ne descend pas en dessous de 30 kHz de FT, et *M. brandtii* ne monte pas au-dessus de 60 kHz de FME (voir graphiques am & claq).

Le claq ht chez *M. emarginatus* est couramment pratiqué lors des phases à récurrence rapide où l'animal est en contact avec le feuillage, mais parfois de longues phases à rythme plus lent peuvent être utilisées en milieu forestier ou en lisière.

Il ne faut jamais oublier que le type de vol (donc de chasse) influence la rythmique des signaux sonar : une espèce comme *M. emarginatus* peut émettre des signaux logiquement réservés à une phase d'approche terminale (c'est le cas du claquement final d'une façon générale), avec un rythme lent et plutôt régulier, car c'est une espèce très manoeuvrable, glaneuse de proies posées, capable d'explorer la végétation ou le sol d'un vol suffisamment lent pour générer une récurrence moyenne à faible même dans un milieu dense en obstacles.

Ainsi, c'est le fait de pratiquer le claq ht en phase de croisière quel que soit le rythme (contrairement à *M. bechteinii* et *M. brandtii* qui ne le font qu'en phase finale d'approche) qui constitue un critère caractéristique de *M. emarginatus*.

On pensera cependant à éviter les pièges que nous tendent *M. myotis/blythii* et *M. nattereri*, qui pratiquent ponctuellement de courtes séries de signaux hautes fréquences où tous les pics sont permis, dont le claq ht ! Lorsqu'il s'agit d'eux, on les reconnaît à une forte hétérogénéité des intervalles, à des variations de valeurs fréquentielles et de répartition de l'énergie (avec ou sans pics, variant parfois d'un signal à l'autre), et surtout à l'insertion de ces courtes séries dans des phases classiques de signaux abs moy, abs bas, ou claq bas ; mais ceci réclame que la séquence soit suffisamment longue.

L'usage de l'abs ht chez *M. emarginatus* est généralement réservé au transit ou à la recherche passive de proies en milieu ouvert (pour cette espèce de feuillage dense, ce peut être un chemin forestier étroit, ou une trouée dans le feuillage) ; ce type est parfois pratiqué en recherche passive juste au-dessus de la végétation herbacée en paysage très ouvert (phragmitaies, bas marais, etc.), la reprise de l'am ht ou du claq ht ne s'effectuant que lorsque l'individu se rapproche de l'herbe ou d'un arbre. Les variables mesurées sur l'abs ht sont en recouvrement plus ou moins fort avec *M. daubentonii*, *M. nattereri* et *M. capaccinii*, mais l'usage unique et durable de l'abs ht chez *M. emarginatus* est réservé au transit passif en milieu très ouvert.

Les successions de types abs ht / am ht / claq ht, toujours discriminantes, sont par contre fréquentes en milieu forestier. Le **son 3.190** montre l'utilisation respective de l'am ht et du claq ht en fonction de la récurrence pour un individu chassant en sous-bois ; le **son 3.191** illustre la capacité exclusive qu'a cette espèce de pratiquer le claq ht sur une longue durée.

Essentiellement forestier, le Murin à oreilles échancrées glane à tous les étages, dans les forêts fraîches de petite montagne (bien que pouvant être contacté jusqu'à 2100 m dans le sud des Alpes (Mercantour) comme dans les chênaies blanches du piémont pyrénéen ou les chênaies vertes des îles méditerranéennes. Les sous-bois très denses et secs ne le rebutent pas, tant que ses proies favorites (les araignées) sont abondantes. C'est aussi ce qui l'amène parfois à « sortir du bois » et chasser dans les prairies sèches ou humides en glanant ses proies sur l'herbe haute.

M. escaleraei

Cette espèce est celle qui, au sein du genre *Myotis*, est pour l'instant la moins bien étudiée en vol naturel ; seulement 12 séquences (enregistrées par Marie-Odile Durand, Sébastien Puechmaille, Hervé Puis, Laurent Tillon) ont été analysées auditivement et informatiquement. Les comportements correspondaient à un vol libre juste après la sortie de gîte. Plus de 600 signaux ont été examinés ; ils appartenaient tous au type claq bas, quel que soit le rythme, avec des variations de FT, LB, FME similaires à celles observées chez *M. nattereri*. Il ne

semble donc pas possible à l'heure actuelle de séparer ces deux espèces lorsqu'elles pratiquent ce type acoustique. Le travail de recherche sur cette espèce doit continuer.

Myotis myotis

Le Grand murin est le plus fréquemment contacté en abs bas (tous milieux) ou en abs moy (en sous-bois).

Lors de l'examen d'une séquence FM, sans pic d'énergie, sur des FME inférieures à 30 kHz, la première précaution d'entrée est de considérer les convergences entre les signaux abs bas des grandes espèces de Murins, et ceux de la Sérotine commune (ou des « sérotules » en général) volant près du feuillage : le croisement FT x FME (**Figure 121**), la courbure ondulée avec FM terminale chez *M. myotis*, et certaines différences dans les sensations auditives rendent la diagnose le plus souvent aisée.

Le risque de confusion entre les grandes (*M. myotis/blythii/punicus*) et les plus petites espèces du genre *Myotis*, mérite d'être détaillé :

- 1) en abs bas : pour distinguer les grands *Myotis* on utilisera : les critères de courbure ondulée presque toujours présente (rare chez *M. bechsteinii*, non notée chez les autres) ; les mesures de FME très souvent < 34 kHz (attention à *M. nattereri* dont la FME est très variable au sein d'une même séquence, mais ce dernier ne reste jamais longtemps sans revenir au claq bas, d'où l'importance de séquences longues ou répétitives) ; les durées > 8 ms (que seul *M. bechsteinii* dépasse chez les petites espèces) ;
- 2) en abs moy : hormis les durées > 8 ms (pour *M. blythii*) et les FME < 34 kHz, c'est le plus souvent le rythme lent et irrégulier qui est la signature des grands *Myotis* (attention cependant à *M. nattereri*, qui peut au sein de séquences abs bas à rythme lent, avoir des séries de signaux dont la FT est supérieure à 23 kHz) ;
- 3) lors des phases d'approche (souvent à rythme lent et irrégulier chez les grands *Myotis*), les signaux ont une forme linéaire ; la durée de ces signaux atteint souvent 4 à 5,5 ms chez les grands *Myotis*, ne dépasse pas 4 ms chez *M. nattereri* et 2,5 ms chez les autres espèces.

M. myotis et *M. blythii* utilisent tous deux l'abs moy en recherche passive d'obstacles en contexte forestier (pour chasser en repérant leurs proies par écoute passive, ou pour transiter), mais selon les données certaines actuellement recueillies, seul *M. blythii* dépasse 8 ms de durée (il n'est cependant pas exclu que *M. myotis*, dans les zones géographiques où *M. blythii* est absent, puisse déborder de sa niche acoustique utilisée en zone de sympatrie, et utilise l'abs moy avec des durées plus longues : l'apparition de signaux abs moy à durée > 8 ms au nord du Jura, jusque dans l'ouest de l'Allemagne (Crețu *et al.*, 2022), demande des éclaircissements).

En transit en milieu ouvert, *M. myotis* utilise toujours l'abs bas alors que *M. blythii* reste en abs moy.

En sous-bois, les transitions classiques de types acoustiques chez *M. myotis* se font entre l'abs bas et l'abs moy selon l'ouverture du milieu, entrecoupées de courtes séries à rythme lent et souvent irrégulier de signaux à FME plus élevée dont la répartition de l'énergie peut varier d'un signal à l'autre (abs, am, claq, am&claq). Ces derniers signaux correspondent à un comportement très particulier de contournement par le haut de buissons dans le sous-bois, d'un vol qui reste assez lent, de type exploratoire. *M. blythii*, *M. punicus* et *M. nattereri* peuvent aussi produire ces courtes séquences de signaux hautes fréquences à rythme lent, sans

possibilité de séparer les trois espèces (sauf, pour *M. nattereri*, grâce à l'utilisation fréquente du claq bas caractéristique avant et après).

Les types claq moy et claq bas sont utilisés par *M. myotis* sur de courtes phases, généralement d'approche donc à récurrence rapide et croissante ; la confusion avec *M. nattereri* en claq bas est le plus souvent évitée grâce, pour ce dernier, à ses LB plus larges, ses FT plus basses et la courbure uniquement convexe. Le **son 3.192** illustre une séquence où des Grands murins, 50 mètres environ après l'émergence du gîte, sortent d'un sous-bois pour passer dans une allée forestière : les premiers signaux en sous-bois sont en claq moy, puis en claq bas lorsque les animaux crèvent l'écran de feuillage de la lisière ; les claquements continuent quelque peu, les deux individus étant très près l'un de l'autre à leur arrivée en lisière, et celui en arrière-plan traversant la piste pour rentrer à nouveau à couvert ; l'autre individu s'élève à quatre mètres de hauteur environ et longe l'allée entre les deux lisières, le type passe alors rapidement en abs bas ; puis il fait demi-tour en frôlant le feuillage (claq moy) et repasse en vol droit et élevé avec des signaux abs bas dépassant souvent les 8 ms.

Le **son 3.192a** reprend plusieurs caractéristiques des émissions de *M. myotis* en chasse en sous-bois. Les premiers signaux sont en abs moy avec une FME entre 40 et 44 kHz ; le rythme particulièrement lent (intervalles 110 à 300 ms) rend *M. bechsteinii* (qui serait alors en abs bas) et *M. mystacinus* (qui même en milieu ouvert a des intervalles moyens inférieurs à 100 ms) très peu probables ; la différence d'intensité entre signaux est également une caractéristique. Après 1,5 secondes les signaux augmentent brusquement en FME (30 kHz environ) un rythme d'abord lent puis croissant, la FT est aux alentours de 30 kHz. Entre 7 et 7,5 secondes un signal se distingue brutalement des autres par son intensité plus forte. Tous ces critères (récurrence faible en abs moy ; variations de rythme, d'intensité, de FME) sont autant de signatures du comportement typique de l'espèce en sous-bois.

Même si ce comportement acoustique n'est pas encore décodé et semble rarissime, il est important de signaler que *M. myotis* peut produire des signaux de structure FMd-QFC-FMd, remarquables pour le genre *Myotis* puisque seulement connus jusque-là en Europe chez *M. dasycneme*. Ces signaux n'ont été enregistrés actuellement que sur 3 séquences parmi plusieurs milliers, à chaque fois en courtes séries de quelques signaux, en phase de pré approche en sous-bois.

M. myotis chasse surtout en milieu forestier, en explorant le sol à faible hauteur (ce qui l'amène fréquemment à contourner des buissons par le haut ou des arbustes latéralement). Aucune phase d'approche se terminant par une phase de capture n'est alors audible : le repérage des proies se fait par écoute passive, et les signaux sonar ne servent qu'à éviter les obstacles.

Ponctuellement (lors de printemps riches en chenilles défoliatrices par exemple), le Grand murin peut chasser dans les frondaisons. Les futaies feuillues matures à âgées sont préférées, que le sol soit entièrement libre ou parsemé de taches buissonnantes.

Lorsque *M. myotis* chasse en milieu ouvert, il recherche les prairies de fauche ou les pâtures où les orthoptères et les coléoptères circulant au sol sont accessibles. Mais il peut aussi chasser en poursuite, profitant des émergences ponctuelles de Hannetons ou de Tipules, en chassant entre 1 et 2 m au-dessus du sol en parcours sinueux de faible amplitude, et la détection des proies se réalise souvent au sonar, avec de fréquentes phases de captures.

M. myotis a été contacté jusqu'à 2100 m d'altitude dans le sud des Alpes (Mercantour) en mélézin ou sur des prairies de fauche.

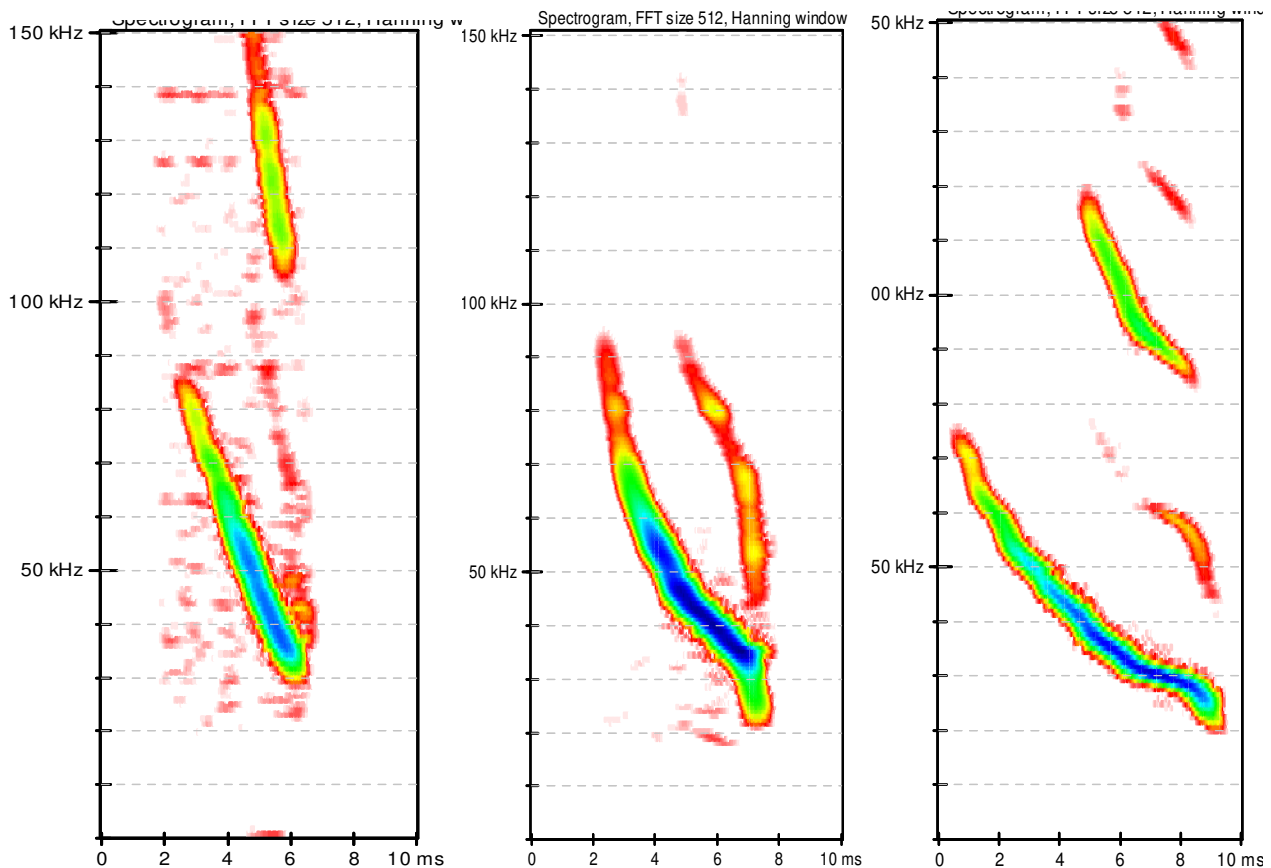


Figure 182b : types de structures FM chez *M. myotis*, en fonction de la distance de curiosité. A gauche : forme linéaire adaptée à la détection à courte distance (la durée peut atteindre 5,5 ms, ce qui est discriminant). Au centre : signal de détection à distance moyenne, à double courbure sigmoïde équilibrée, avec un écart d'au moins 10 kHz entre les courbures concave et convexe. A droite : signal de détection à distance longue, à forme ondulée et double courbure sigmoïde concentrée en bas, avec un écart de moins de 5 kHz entre les courbures concave et convexe.

Myotis mystacinus

La caractéristique acoustique distinctive du Murin à moustaches est de mêler am ht et am moy au sein d'une même séquence, en fonction des variations de rythme (voir son 3.147). Cette transition, très fréquente, est discriminante à 100 %.

Lorsque *M. mystacinus* pratique uniquement l'am ht (en chasse active, en forêt...) les FT sont souvent dans la partie basse de la gamme : ainsi une séquence uniquement constituée de signaux am ht dont la FT reste entre 30 et 32 kHz pourra lui être attribuée (indice probable), surtout si la récurrence est moyenne à forte (intervalles < 70 ms).

Mais lorsque l'activité de chasse est en sous-bois dense ou dans le feuillage, de longues séries d'am ht à récurrence rapide, avec une FT proche de 40 kHz peuvent être produites, mettant *M. mystacinus* en recouvrement avec *M. alcahoë* et *M. emarginatus* : il faudra attendre une transition avec l'am moy pour pouvoir conclure.

L'amorce est plus ou moins explosive selon les signaux en fonction de leur durée (par opposition à *M. emarginatus* ou *M. brandtii* en am ht où elle est toujours très nette car sur des durées courtes), elle est parfois plus faible sur les signaux de croisière en milieu semi ouvert.

La transition am ht - claq moy est en recouvrement avec *M. brandtii* lorsque ce dernier type correspond à la phase finale d'approche d'obstacles ; par contre *M. mystacinus* n'utilise pas le claq moy à récurrences moyenne ou faible comme le fait *M. brandtii*.

L'abs moy n'est pratiquée qu'en transit dans des milieux ouverts devant l'axe de vol, donc avec un rythme n'indiquant aucune recherche active de proies ou d'obstacles ; ce peut être en permanence lors d'un transit en prairie, ou sur des phases courtes en sous-bois clair.

Le son 3.166a illustre le comportement d'un individu en vol dans une petite clairière, non loin de la lisière arborée ; mis à part quelques phases d'am moy (entre 8000 et 10000 ms par ex) la plupart des signaux sont en abs moy (entre 5000 et 7000 ms par ex aucune amorce n'est audible ; attention : la saturation de quelques signaux génère un craquement artefactuel à ne pas confondre avec un pic d'énergie). Sur de nombreux signaux on perçoit une légère amorce, si peu marquée que la frontière avec l'abs moy est ténue : on sent que l'animal « hésite » entre les deux ; vers 12000 ms on entend une phase de capture : le comportement acoustique de recherche passive en milieu semi ouvert n'empêche pas l'individu de profiter d'une opportunité.

Le Murin à moustaches peut être qualifié de forestier riverain des cours d'eau, tant ce contexte est fréquemment noté dans ses séquences de chasse. Si, en plaine ou en milieu collinaire, il préfère les peuplements feuillus ou mixtes (aux dépens des plantations équiennes de résineux), il est fréquent en montagne dans les sapinières, pessières ou mélézins jusqu'à 2200 m d'altitude.

Il chasse indifféremment en canopée ou près du sol en forêt sèche, mais la présence d'une zone humide ou d'un ruisseau l'amène plus souvent à chasser à moins de 5 mètres de hauteur ; dans ce dernier cas, il semble moins exigeant sur l'âge du peuplement pourvu qu'il ait au moins 50 ans.

Il est aussi présent en zone bocagère ; l'absence d'arbres est un facteur limitant pour son activité de chasse, et il transite rarement en milieu très ouvert.

Myotis nattereri

Sous cette dénomination, est regroupé dans cet ouvrage le complexe *M. nattereri-crypticus* ; ces taxons ont été tous deux bien étudiés acoustiquement dans le cadre de ce programme (du nord de l'Allemagne à l'extrême sud de la France continentale, y compris sur des individus génotypés), et n'ont révélé aucune différence dans les comportements et habitats de chasse, les types acoustiques et leurs occurrences d'utilisation. Cette diagnose récente, d'origine uniquement génétique à l'heure de l'écriture de ces lignes, est intéressante du point de vue de l'historique des populations européennes pendant et après les périodes glaciaires du Pléistocène, mais ne me paraît pas pertinente dans le cadre de nos inventaires acoustiques en l'absence de critère décelable, et surtout tant qu'aucune différenciation n'a été mise en évidence concernant leur écologie et leur organisation sociale (au contraire de *M. escaleraei*). Pour cette raison, dans l'attente de la découverte d'éventuelles différences de traits de vie, je continue à utiliser la dénomination unique de *M. nattereri* pour désigner une entité homogène sur le plan écologique.

Par contre, l'hypothèse d'une différenciation de fréquence d'utilisation des types acoustiques entre populations *versus* individus d'un même taxon, selon le degré de variabilité et de fragmentation des habitats de chasse, serait intéressante à valider. En effet, j'ai constaté à maintes reprises dans le sud des Alpes que dans les vastes ensembles de peuplements résineux clairsemés avec étage arbustif faible ou absent (comme les mélézins, ou les sapinières d'altitude sur fortes pentes), le type abs bas-moy avec léger claquement et rythme lent et irrégulier est très largement dominant ; au contraire, dans les grands boisements feuillus

denses de cette même zone mais un peu plus bas en altitude, c'est le claq bas qui domine. En plaine ou en zone collinaire, cette variation se joue au niveau individuel : tous ces types sont utilisés successivement par un même individu selon l'habitat de chasse et le type de proie, à une petite échelle spatiotemporelle en lien avec la forte mosaïcité des habitats.

Le Murin de Natterer pratique trois principaux types acoustiques, mais chacun est soumis à des variations importantes qui pourraient justifier de lui attribuer cinq autres types ! Ce qui justifie cette simplification (hormis un encombrement inutile des graphiques) tient à la relative rareté et la fugacité d'utilisation des autres types.

M. nattereri doit avant tout être considéré comme une espèce hautement spécialisée sur un type acoustique : le claq bas. Les circonstances où il reste plus de cinq secondes sans émettre un signal claq bas sont rares en milieu forestier. Or ses signaux claq bas sont très caractéristiques par leur courbure uniquement convexe, leur LB très élevée (jusqu'à 160 kHz) et leur FT très basse (jusqu'à 9 kHz). Le **son 3.193** montre, chez un individu chassant en sous-bois, les variations de rythme et de fréquences au sein du type claq bas ; le claquement est si intense qu'il est le dernier élément entendu lorsque l'animal s'éloigne, et les phases de récurrence forte (30 signaux par seconde environ, cela peut aller jusqu'à 60 s/s) dans le feuillage sont remarquables. Le type claq bas correspond le plus souvent à un sondage de la végétation à courte distance (feuillage arboré ou litière au sol en sous-bois, herbe haute ou rase en prairie) ; il est donc souvent relié à un comportement de glanage. S'il est entendu principalement en milieu forestier, il peut aussi être utilisé en permanence en milieu ouvert ou en lisière. Le **son 3.193f** a été enregistré en lisière d'une prairie permanente juste après la fauche, l'herbe haute étant couchée au sol en gerbes éparses ; durant les 2 nuits qui ont suivi la fauche, des séquences très nombreuses (entre 250 et 300 contacts bruts par nuit) de claq bas sont apparues ; elles sont ponctuées de très nombreuses phases de capture : sur cette séquence d'environ 82 s on peut en compter jusqu'à 22 ce qui représente une moyenne d'une phase toutes les 3,7 s ; elles interviennent souvent après une série de signaux à récurrence très forte (sondage de la végétation au sol sans doute), mais parfois aussi brutalement au cours d'une phase de croisière plus lente (détection inopinée d'une proie volante ?). La présence de phases de capture est indicatrice d'un repérage actif de proies (en mouvement et/ou silencieuses), qu'elles soient capturées en poursuite ou par glanage.

En deuxième position d'occurrence d'utilisation, on trouve le type abs bas. Lorsque l'abs bas correspond à une activité de transit passif en milieu très ouvert, la forme des signaux est sigmoïde avec parfois (visible sur les enregistrements de bonne qualité) une courbure convexe initiale (voir spectrogramme sur feuille « abs bas » du fichier « Identification_Myotis_Barataud ») ; la LB de ces signaux est de 60 à 80 kHz et un léger claquement est souvent audible (voir encadré et figure p. **138**) ce qui permet de les différencier à coup sûr des signaux abs bas de *M. bechsteinii* et *M. myotis* dont les valeurs de FME sont recouvrantes. Mais l'abs bas (le plus souvent là aussi avec un léger claquement final très caractéristique) est aussi utilisé très souvent au cours de l'activité de chasse, lors de la traversée en recherche passive de petits espaces plus ouverts (sous-bois clair, lisière, parcs...) sur de courtes phases entre deux séries de claq bas, voire même de façon quasi permanente en chasse active en prairie (où il est souvent le Murin le plus contacté) lorsqu'il prospecte au-dessus de l'herbe (même rase) à la recherche des insectes volants, ou circulant sur le sol (il les capture alors rapidement lors de brusques plongées accompagnées du claq bas). La LB, la FME, la FT (parfois basculant ponctuellement au-dessus de 23 kHz, donc en abs moy, voir **son 3.193a**) sont alors souvent très variables tout au long d'une même séquence, et parfois même on remarque une ondulation sur la courbure sigmoïde (voir spectrogrammes *M. bechsteinii* sur feuille « abs bas » du fichier « Identification_Myotis_Barataud ») ce qui met alors *M. nattereri* en recouvrement avec

M. bechsteinii ou *M. myotis* lorsque – cas rare – son léger claquement caractéristique est absent ; cette variation de fréquences, de prime abord source de confusion, est en fait une signature comportementale suffisamment typique pour permettre de conclure sur son auteur avec un bon niveau de confiance, même si la transition avec le claq bas caractéristique reste le critère de fiabilité absolue (voir **son 3.193b**). Enfin il est utile de noter un critère souvent présent, visible sur spectrogramme : la longueur de la FM terminale, avec une LB entre 10 et 18 kHz, qui semble une signature spécifique fiable et constante, et qui explique certainement le léger claquement final audible sur ces signaux que l'on a ainsi du mal à classer entre abs bas et claq bas (voir figure de l'encadré page **138** et **son 3.193e**). Ces signaux abs moy avec léger claquement dû à la longue et pentue FM terminale, peuvent avoir parfois une légère amorce (sans doute pour les mêmes raisons que le claquement : la FM initiale est longue et pentue, formant un angle marqué avec la zone de FME à pente plus douce et de faible LB) ; ils peuvent alors être confondus avec l'am & claq de *M. brandtii*, dont la structure est assez proche (grande LB et longue FM terminale) ; mais ce dernier pratique presque toujours des rythmes de chasse active, rapides et réguliers, au contraire de *M. nattereri* qui utilise le plus souvent un rythme assez lent et irrégulier (on retrouve ici les mêmes éléments de différenciation que ceux qui séparent *M. myotis* et *M. bechsteinii* en abs moy).

M. nattereri est aussi classé dans le type abs ht ; or cette dénomination unique masque une plus grande complexité... De fait, l'abs ht est le type qui semble le plus pratiqué en sous-bois après le claq bas et l'abs bas, mais on observe parfois une grande variabilité dans la présence et/ou le placement des pics d'énergie : une série de 10 signaux peut cumuler plusieurs types acoustiques parmi l'abs ht, l'am ht, le claq ht, l'am & claq, sans que leur nombre, leur ordre de succession et leur rythmique semblent correspondre à une logique sonar classique de localisation spatiale (sinon une vitesse de vol lente avec évitement d'un obstacle proche). Ces signaux hautes fréquences sont distillés en courtes séries (le plus souvent moins de 5 signaux) à récurrence faible et souvent irrégulière, lorsqu'un individu chasse en forêt claire avec une strate buissonnante ou arbustive. Ce comportement n'est pas sans rappeler celui de *M. myotis-blythii* lors du contournement par le haut d'un buisson en sous-bois, et la similitude entre les deux taxons est suffisamment forte pour que cela pose de sérieux problèmes d'identification lorsque la séquence complète ne comporte pas de transition avec un autre type acoustique discriminant. Cette convergence entre les grands *Myotis* et *M. nattereri* n'est donc pas à négliger.

Pour conclure sur les types acoustiques de *M. nattereri* :

- le claq bas est le plus utilisé, avec des FT qui peuvent ponctuellement dériver dans la gamme du claq moy voire ht (voir **son 3.193c**). Lorsque ces signaux présentent une courbure unique convexe (visible sur la moitié haute), l'appartenance à *M. nattereri* est certaine (la forme est linéaire chez *M. myotis-blythii*) ;
- l'abs bas vient en seconde position d'utilisation, avec des FT qui peuvent ponctuellement dériver dans la gamme de l'abs moy. Lorsque la FT terminale a une LB > 12 kHz, et/ou qu'un léger claquement final caractéristique est présent, il permet une identification certaine. Dans les rares cas où ce claquement n'est pas audible, la différence avec *M. bechsteinii* est souvent comportementale : ce dernier ne chasse pas en abs bas. La diagnose avec *M. myotis-blythii* n'est pas toujours évidente : chez *M. nattereri* la LB est souvent > 60 kHz, la FME souvent > 36 kHz et la durée toujours < 7 ms ; enfin la distance entre les deux courbures est plus grande (concave vers 60-70 kHz, convexe vers 30-40 kHz) que chez *M. myotis-blythii* lorsque ses durées sont < 8 ms (concave vers 30-35 kHz, convexe vers 25-30 kHz) ;
- l'abs ht, plus rarement utilisé et sur des phases de courtes durées, à rythme lent et irrégulier, doit être considéré comme un type de base soumis à variations : les mesures

présentées dans les graphiques de l'abs ht peuvent également être appliquées aux types am ht, claq ht et am & claq, susceptibles d'apparaître isolément ou en courtes séries, en mélange avec ou à la place de l'abs ht.

Le **son 3.193d** est une longue compilation de plusieurs séquences consécutives enregistrées sur une même station d'écoute en sous-bois clair, montrant l'ensemble du répertoire de l'espèce et les fréquentes transitions de types acoustiques corrélées avec les variations de rythme, donc de comportement.

Il est difficile de définir quel type de milieu de chasse retient la plus forte activité, entre les prairies parfois vastes sans aucun arbre, et les forêts de tous types.

L'impression d'ensemble qui domine, est que *M. nattereri* est avant tout un glaneur de tout arthropode dans la gamme de taille lui convenant, quel que soit le substrat : sol nu, rocaillies, litière de feuilles mortes, herbe rase ou haute, branchages et feuillages caduques ou persistants...

Ses signaux à très large bande et à claquement final très sonore, doivent constituer un avantage dans la mise en évidence du moindre relief et des différences de texture, peut-être inégalé parmi la faune européenne, ce qui lui permet d'exploiter toute proie même inactive et plaquée discrètement sur son substrat. Ainsi la biomasse de proies disponibles et celle de proies accessibles présentent une très faible différence, ce qui est un avantage évident pour ce prédateur qui peut exploiter de faibles surfaces et des habitats sub-optimaux comme des forêts jeunes ou perturbées. Cette vision probablement juste de l'écologie de cette espèce omet sans doute d'autres facteurs limitants, car le Murin de Natterer n'est pas présent dans toutes les stations d'écoute, et se montre rarement abondant dans les mesures de l'activité acoustique.

Il est noté en majorité, d'après nos données en forêt, comme une espèce liée au sous-bois de peuplements principalement feuillus (en plaine ou contexte collinaire), richement structurées et âgées de plus de 80 ans. Son activité s'exerce à 80 % près du sol, même s'il est capable de chasser d'un vol très lent dans les frondaisons à la façon d'un Oreillard roux. Cependant, lorsque des inventaires sont menés en centre de prairies permanentes, rases ou hautes, il est assez fréquemment contacté soit en transit (abs bas) soit en chasse (claq bas, abs bas-moy), parfois sur de longues séquences de plusieurs minutes. Il a été contacté jusqu'à 1850 m d'altitude en prairie et 2200 m en mélézin dans le sud des Alpes.

Myotis punicus

Considéré comme sous-espèce en 1977 puis comme espèce à part entière grâce à des études génétiques, le Murin du Maghreb est morphologiquement et acoustiquement très proche du Petit murin. Il est présent – outre l'Afrique du Nord – en Corse et en Sardaigne, où il est la seule grande espèce de *Myotis* présente. Ainsi toute séquence typique du répertoire acoustique de *M. myotis* et *M. blythii*, recueillie dans cette zone géographique, sera rapportée à *M. punicus*.

Plusieurs types acoustiques utilisés par *M. punicus* ont été mis en évidence, mais la connaissance de leurs fréquences d'utilisation en fonction des comportements de chasse et de transit dans les différents habitats fréquentés est encore très lacunaire.

Comme *M. blythii*, il pratique parfois l'abs bas mais semble surtout spécialiste de l'abs moy, en chasse ou en transit. Ces signaux présentent fréquemment l'ondulation caractéristique des grands *Myotis* (**son 3.172**) en plus de la double courbure sigmoïde ; cette dernière est asymétrique, avec la courbure convexe en fin de signal suivie de la FM terminale très courte et souvent estompée. Lors des phases de survol lent d'un buisson, il utilise des signaux à FME plus haute de type abs ht (**son 3.172a**). Aucun type avec amorce explosive ou claquement final n'a pour l'instant été mis en évidence.

Les habitats de chasse constatés sont plutôt à basse altitude, des friches herbacées ou prairies de pâture à des cordons boisés dégradés bordant des ruisseaux, qu'il parcourt d'un vol bas et assez lent.

- ❖ **p. 259** : remplacer « Chapitre 5 » par « Chapitre 6 »
- ❖ **p. 266** : lignes 4-5, ajouter et remplacer : « ...des protocoles de comptage de femelles dans les gîtes de mise-bas (en cavités souterraines et bâtis : c'est peu possible pour les gîtes arboricoles...) sont menés en France depuis les années 1990 et devront être poursuivis encore durant de nombreuses années... »
- ❖ **p. 266** : 2^e §, ligne 2, corriger : « Va-t-on retrouver les mêmes conditions... »
- ❖ **p. 266** : 3^e §, alinéa 1, ligne 3, corriger : « ...et un pic dans les trois premières heures à partir du crépuscule... »
- ❖ **p. 268** : ligne 6 et suivantes, remplacer « ...la manipulation d'outils complexes, et le recours à un processus complexe de clé polytomique ; l'harmonisation dans la méthode d'identification utilisée (dont la fiabilité doit être garantie par des données brutes de référence incontestables) doit être une règle intangible. De plus le taux d'identification certaine reste faible pour certaines espèces pourtant communes (*P. auritus*, *M. daubentonii*), ... » par « ...l'utilisation d'outils aux caractéristiques variables (sensibilité du microphone ou du déclenchement, manuel ou automatique...) et des processus de détermination spécifique disparates en nature et en fiabilité ; les méthodes d'identification les plus utilisées (en réponse à la grande masse de fichiers engendrée par les enregistreurs automatiques) sont basées sur des algorithmes aux performances faibles pour certains groupes : le taux de classification correcte est très faible pour certaines espèces pourtant communes (*P. auritus* vs *P. austriacus*, *M. daubentonii* vs autres *Myotis*, groupe des « Sérotules »), ... »
- ❖ **p. 268** : ligne 12 et suivantes, supprimer : « 3) les aspects quantitatifs et qualitatifs du réseau d'observateurs : toute entreprise de suivi de populations doit s'appuyer sur un réseau le plus vaste possible d'observateurs dont la formation est solide et homogène ; ce n'est pas encore le cas, mais l'on peut espérer que cela le devienne dans les décennies à venir... »
- ❖ **p. 268** : 2^e §, remplacer de « Le bilan de ces considérations est source de doutes actuellement non dissipés... » à « ...nous sommes tous à peu près d'accord pour considérer que l'accumulation standardisée d'indices d'activité dans le temps finit par révéler des tendances qui peuvent avoir un lien avec les effectifs d'individus ; mais l'usage des termes appropriés est important. » par « Le bilan de ces considérations est source de doutes actuellement non dissipés : les nombreux biais risquent de fausser les résultats de façon sensible, quelle que soit la puissance des traitements statistiques employés à les corriger ; la validité des données brutes restera toujours le meilleur garant de la qualité d'une étude. Les performances des systèmes d'identification automatiques doivent impérativement s'améliorer pour certains groupes (Murins notamment) et se résoudre en attendant, par honnêteté scientifique, à ne pas les prendre en compte. Les tentatives, dans plusieurs études, de limiter le lien entre les contacts issus d'un même individu et d'estomper tous les biais listés ci-dessus, par des méthodes semi quantitatives (on ne retient que l'occurrence par minute d'une espèce donnée) semblent trop soumises à des impératifs statistiques, quitte à s'éloigner de la réalité à observer : le risque de redondance n'est pas supprimé et la précision quantitative dans la mesure de l'activité (seule véritable unité de valeur de ce procédé) est très diminuée. Le problème est aussi d'ordre sémantique : parler de suivis de

populations est abusif dans ce domaine, parler de suivis de pression d'utilisation des habitats de chasse est mieux approprié. La transposition de ces tendances vers une analyse dynamique des populations, est une étape différente qui demande sans doute, étant donné l'espérance de vie des chiroptères, un pas de temps encore plus grand. Puis l'interprétation de ces tendances doit aussi être prudente : une baisse des résultats pour une espèce adaptable comme *P. pipistrellus* par exemple, peut signifier un déclin inquiétant ou un rééquilibrage des faunes (si corrélativement d'autres espèces plus spécialisées sont en augmentation). »

- ❖ **p. 273** : alinéa 1, ligne 2, ajouter : « Certains détecteurs manuels haut de gamme sont équipés de microphones à **vrai condensateur**, **recouverts d'une** membrane de Mylar ; leur grand diamètre leur confère une forte directionnalité (ceci d'autant plus que les fréquences reçues sont hautes), et leur qualité de construction une grande sensibilité. La plupart des détecteurs manuels et enregistreurs automatiques est équipée de microphones à électret **ou MEMS** ; »
- ❖ **p. 273** : alinéa 2, ligne 2, remplacer : « pour un microphone à **membrane**, plus directionnel. » par « pour un microphone à **vrai condensateur**, plus directionnel. »
- ❖ **p. 273** : alinéa 4, lignes 1 à 3, remplacer : « **Certains microphones électret vieillissent rapidement et sont à remplacer régulièrement. Les microphones à membrane sont plus robustes et durables ; il peut se déposer à la longue...** » par « **Certains microphones à électret ou MEMS vieillissent rapidement et sont à remplacer régulièrement. Les microphones à vrai condensateur sont plus robustes et durables ; pour ces derniers, il peut se déposer à la longue...** »
- ❖ **p. 279** : remplacer le § **Types d'activités : chasse, transit, social** par le suivant :
Le type d'activité peut être apprécié grâce à des critères croisant les variations de rythme (voir « Le rythme », p. **107**) d'une séquence sonore et les variations de structure (durée et largeur de bande, courbures, répartition de l'énergie...) des signaux. Il se décline en trois ensembles : la chasse, le transit et la communication sociale. Il faut garder à l'esprit que les limites de ces ensembles sont parfois perméables : un individu peut se déplacer rapidement sur quelques centaines de mètres (donc transiter) entre deux zones de chasse, tout en n'excluant pas une tentative de capture opportuniste durant son trajet ; plusieurs types de cris sociaux semblent montrer une fonction mixte, permettant aussi à l'individu en vol de se diriger par écholocalisation ; etc. Préciser le type d'activité est indispensable pour qualifier la catégorie, l'importance, la saisonnalité de l'intérêt de l'habitat inventorié. Il convient donc de ne pas traiter indistinctement toutes les séquences dans l'exploitation des données : un mâle de *N. leisleri* qui chante posé sur un tronc pendant une heure, n'a pas la même signification que plusieurs individus en chasse pendant la même durée. L'activité de **chasse**, indicatrice de la valeur trophique de la station d'écoute à un moment donné, peut bien entendu être déduite grâce à la présence d'une phase d'accélération caractéristique de la poursuite d'une proie (dite phase de capture, ou « buzz »). Mais cet événement ne se produit généralement que de façon fugace et espacée au cours des périodes nocturnes durant lesquelles un individu est en recherche permanente de proies. D'autres détails plus subtils au sein d'une séquence peuvent témoigner d'un degré de curiosité de l'individu qui ne s'explique pas seulement par l'environnement physique du milieu de vol : des phases d'approche répétitives dans un contexte de milieu ouvert par exemple ; nous avons vu aussi que chez le genre *Myotis*, les types acoustiques utilisés sont différents selon que l'individu approche une proie ou un obstacle (voir encadré p. **205**). Une recherche de proies peut donc être identifiée

au-delà du comptage des phases de capture. Et heureusement car certaines espèces ne seraient jamais considérées en chasse : *P. austriacus* (en prairie), *T. teniotis* (en haut vol), *M. dasycneme* (lors des émissions FM-QFC-FM), *B. barbastellus* et le genre *Rhinolophus* peuvent approcher et capturer sans émettre les phases acoustiques correspondantes, leurs proies tympanées qu'ils repèrent par écoute passive de leurs battements d'ailes ; idem pour *M. myotis* et *M. blythii* lorsqu'ils chassent les carabes marchant bruyamment au sol ou les mâles chanteurs de sauterelles sur la végétation. La chasse doit donc s'apprécier grâce à la rythmique des phases de croisière, corrélée à la structure des signaux, en correspondance avec l'écologie de l'espèce. Comme cela va être détaillé ci-dessous, la durée de la séquence sonore est également importante pour qualifier l'activité de chasse.

La notion de **transit** implique un déplacement plutôt linéaire, sans autre déterminisme que de se rendre d'un point à un autre le plus rapidement possible ; cela sous-entend probablement une route de vol en partie routinière, peut-être mémorisée en tant que couloir de circulation le plus libre possible (du sous-bois au plein ciel selon les espèces et les circonstances). L'amplitude de ce déplacement est inconnue de l'observateur. Ce peut être un trajet entre le gîte diurne et une zone d'alimentation ou d'abreuvement, un changement de terrain de chasse dans un même secteur restreint, ou un trajet plus long, inter valléen ou de type migratoire. Quelle qu'en soit la motivation, le transit indique que le milieu traversé n'intéresse pas l'animal à cet instant précis pour des raisons alimentaires (faiblesse des ressources disponibles, ou toute autre raison indépendante...). Ce type d'activité semble plus aisé à discerner chez une espèce audible de loin (*Nyctalus* spp., *Eptesicus* spp., *Tadarida teniotis*, *Vespertilio murinus*, *Hypsugo savii*), car la séquence, ainsi plus longue, permet de révéler un vol en ligne droite sur 200 mètres minimum (passage unique, QFC à rythme lent et FME basse). Il est moins lisible pour les espèces à faible intensité d'émissions, car c'est la durée de la séquence à phase lente et irrégulière qui renseigne le mieux ; mais là encore les informations contenues dans une séquence même courte (durée, rythme et structure des signaux : QFC plane pour une Pipistrelle ou FM sigmoïde pour un *Myotis*) nous aide à identifier un degré de curiosité faible et un horizon de détection lointain qui témoignent d'une recherche passive, voire d'un transit.

Les paramètres de durée et de répétition des séquences sont donc primordiaux pour **séparer chasse et transit**, en complément du rythme et de la structure des signaux. Cette problématique nous ramène à la définition d'une station d'écoute en tant que volume de perception sonore qu'un chiroptère en vol est susceptible de traverser ; à chaque intensité d'émission correspond un volume : ce paramètre essentiel est détaillé dans le paragraphe suivant « Indices d'activité », qui propose des coefficients de pondération de la disparité d'intensité entre espèces, uniformisant les volumes de perception spécifiques à l'échelle de celui de la Pipistrelle commune dont le coefficient est 1. Or, si l'on calcule le temps moyen de traversée linéaire d'une station d'écoute par une Pipistrelle, il correspond à 5 secondes environ (donc la durée d'un contact acoustique). Il devient ainsi possible, dans une série d'enregistrements sur une station d'écoute, de séparer les contacts (5 s) de Pipistrelles isolés (susceptibles donc d'être du transit), de ceux qui se succèdent sans interruption ou presque (qui seront de la chasse). La même opération peut être réalisée pour les autres espèces en tenant compte de leur coefficient d'intensité (par exemple pour les espèces de *Myotis* à coef. 2,5 l'intensité est 2,5 fois moins forte que *P. pipistrellus*, un transit durera 2 s) et parfois aussi de leur vitesse et hauteur de vol, car les grandes espèces de milieux ouverts volent environ deux fois plus vite que *P. pipistrellus* mais volent souvent bien plus haut ce qui diminue leur temps de traversée. Ainsi pour *N. lasiopterus* un transit

durera 10 à 15 s ; pour *N. noctula* un transit durera 8 à 10 s ; pour *E. serotinus* un transit durera 5 à 6 s. Pour le genre *Plecotus*, les signaux utilisés en transit ont une durée supérieure à 5 ms et ont donc un coef. de 1,25 ; un transit dure 4 s. Ces valeurs sont approximatives car elles dépendent de la distance maximale entre le chiroptère et le microphone (car la station d'écoute a un sommet de forme hémisphérique : la durée de traversée n'est pas la même partout), mais de nombreuses vérifications visuelles montrent que le principe reste applicable avec une faible variation. Ainsi, toute séquence à rythme lent sans phase d'approche ni de capture, composée de signaux caractérisant une recherche passive d'obstacles et ne dépassant pas la durée d'une traversée en vol linéaire du volume de la station spécifique, pourra être classée en transit ; toute séquence ne correspondant pas à ces critères pourra être classée en activité de chasse (recherche plus ou moins active ou passive de proies).

Les émissions acoustiques à caractère **social** sont forcément d'une grande richesse chez ces espèces à l'organisation sociale élaborée. Mais toutes n'émettent pas ce type de vocalisations sur leurs terrains de chasse ; chez de nombreuses espèces les cris sociaux sont émis dans le gîte ou aux alentours immédiats. Les plus fréquemment entendus dans tous types d'habitats sont ceux des Pipistrelles ; mais la déduction que nous en faisons peut être biaisée si l'on ne tient pas compte du contexte. Ce que nous interprétons comme deux cris semblables peuvent, selon les circonstances, correspondre en réalité à des messages radicalement opposés, de l'agressif à l'attractif ; nos interprétations en termes d'intérêt de l'habitat nocturne peuvent donc être fausses si le contexte n'est pas pris en compte. Ainsi les trilles de Pipistrelles en période d'accouplements (août à octobre), sont la plupart du temps émis soit en grand nombre lorsque plusieurs individus (parfois de plusieurs espèces) volent en groupe en lisière ou en sous-bois, soit en séries régulières par un seul individu le long d'un parcours routinier : dans les deux cas ils indiquent non pas une valeur trophique de l'habitat de vol, mais un lieu de haute activité sociale en vu des accouplements (swarming , places de chants) ; les mêmes trilles (selon nos capacités d'analyse) émis de façon plus ponctuelle et non en séries, de mars à juillet et parfois en fin d'automne sur les terrains de chasse, vont indiquer un manque de ressources alimentaires : le ou les individus déjà présent indiquant à des nouveaux arrivants qu'il n'y a pas assez à manger pour tout le monde. C'est la raison pour laquelle une forte activité acoustique de type social, peut globalement être considérée : en automne (Pipistrelles, Noctules et Sérotine bicolore) comme indicatrice de lieu d'accouplements (et pas forcément de chasse) ; d'avril à juillet (Pipistrelles) comme indicatrice d'une concurrence alimentaire donc d'une productivité en proie trop faible pour le nombre d'individus présents. Ainsi dans un cas d'étude printanière, on peut déduire que les sites avec beaucoup de cris sociaux de Pipistrelles sont soumis à une forte concurrence alimentaire ; soit seulement un ou deux individus de Pipistrelle sont audibles et cela signifie une pauvreté en proies donc un habitat de chasse suboptimal à ce moment précis, soit de nombreuses pipistrelles sont présentes et la conclusion est quasi opposée : les proies sont nombreuses mais la foule de prédateurs entraîne de nombreuses interactions sociales ! C'est donc l'indice d'activité des signaux sonar qui va nous aider à trancher. Pour les Rhinolophes, les Murins et les Oreillardes, une abondance de cris sociaux signe souvent la proximité d'un gîte, car sur terrain de chasse ils sont plus rarement émis.

- ❖ **p. 281** : ligne 4 avant la fin de page, remplacer « Ces tableaux **soumettent également** l'idée d'un coefficient... » par « Ces tableaux **proposent surtout** l'idée d'un coefficient... »

- ❖ **p. 287** : fin du 1^{er} §, corriger : « En pratique, lorsqu'une zone à habitat homogène est à inventorier, on **pourra** répartir un nombre (variable selon la surface du site) de points d'écoute de **20 à 30** minutes chacun, de manière à cumuler une à trois **heures** d'écoute sur le site lors d'une même soirée.

Ceci pour de simples inventaires...

Pour des études dépassant ce cadre, comme la bioévaluation d'habitats par exemple, des points d'écoute de **45 à 60** minutes sont optimaux.»

- ❖ **p. 289** : § « Méthode d'enregistrement en continu » à remplacer par le suivant :
« **Méthode d'enregistrements automatiques**

Les enregistreurs automatiques permettent les mêmes applications que les détecteurs manuels. Les données issues des uns et des autres ne seront cependant pas comparables : mis à part le cas particulier des Teensy Recorders (Jean-Do Vignault) qui utilisent les mêmes composants et les mêmes microphones, le matériel est presque toujours suffisamment différent pour interdire toute fusion des données. Mais un autre paramètre rentre en ligne de compte : celui des sensibilités respectives entre le système hétérodyne couplé aux oreilles d'un observateur, et les filtres de déclenchement (même lorsqu'ils sont très « ouverts ») d'un système automatique. Une étude comparative de l'influence de ce paramètre, rendue possible par l'harmonisation technologique des Teensy Recorders, montre une moyenne toutes espèces confondues de 30,6 % de perte de contacts en automatique (Barataud *et al.*, en préparation).

Cependant les enregistreurs automatiques présentent l'avantage, essentiel dans certains cas (par exemple pour une étude de la phénologie nocturne de l'activité de chasse, ou de migration), de travailler sur des nuits complètes. Dans le cas d'autres problématiques d'étude réalisables en mode actif, il est bon de savoir que les 4 premières heures d'activité – qui ne représente que 40 % du temps total – cumulent selon les contextes (saison, habitats) 50 à 75 % des contacts nocturnes, et relèvent 90 à 100 % des espèces contactées sur toute la nuit (Barataud *et al.*, en préparation) : la perte quantitative est donc faible, surtout si l'on considère la perte de sensibilité en automatique lors de la collecte, sans parler de la perte (jusqu'à 66 % en moyenne pour certains programmes ; Marion Lobrano, comm. pers.) lors d'un traitement informatique du tri des séquences avec chiroptères.

Confier son travail de collecte à un boîtier automatique peut dans de nombreux cas soulager l'observateur d'heures de présence parfois ingrates sur le terrain, dans des habitats désolés, lors de conditions météo difficiles ; pour certains professionnels contraints au rendement sur de nombreux sites, cette délégation à l'automatisme est salutaire. L'avantage principal est de pouvoir recueillir facilement et rapidement un très grand nombre d'informations sur des périodes longues, permettant des études sur la phénologie de l'activité en continu (nuits complètes, suivis saisonniers, pluriannuels). Mais tout avantage a souvent son corollaire négatif : les sensations recueillies par le naturaliste en contact direct avec son outil et son sujet d'étude, sur le terrain, comptent beaucoup dans la qualité de l'interprétation qu'il va pouvoir donner à ses résultats. De plus les nombreux contacts d'identification facile, réalisables en direct sur le terrain, sont autant de temps épargné lors du dépouillage et de l'analyse des séquences au bureau...

Lorsque la quantité de séquences enregistrées est trop importante pour une analyse manuelle, le recours aux logiciels d'identification automatique s'impose. Le taux de mauvaises classifications pour certains taxons nécessite un contrôle manuel de séquences, dont la quantité sera fonction des probabilités indiquées par le logiciel, de la conclusion sur des taxons plus ou moins rares ou aberrants, de la connaissance que l'observateur a de la faune locale, etc. Il est aussi possible de réaliser l'analyse (tri +

identification) de séquences enregistrées en automatique, entièrement en manuel. Avec un logiciel adapté (BatSound version 4.4 ou ultérieure), l'usage des raccourcis clavier pour rapidement avancer (touche N) ou reculer (B) d'un fichier à l'autre, un bon réglage de la fenêtre temporelle (5 secondes) et l'acquisition progressive d'une bonne image de recherche des critères visuels, le nombre de fichiers examinés est en moyenne de 500 à 1000 par heure selon les circonstances (Barataud *et al.*, 2025).

Tout est affaire de mesure : de nombreuses études peuvent être plus efficacement réalisées en actif ; d'autres ne peuvent être menées autrement qu'en mode passif. Ce peut aussi être une affaire de plaisir : lors de suivis à long terme, ou d'études d'impact dans des milieux pauvres (crêtes ventées en milieu ouvert, plaines agricoles intensives, vastes monocultures arborées équiennes, prairies saturées de stridulations de Sauterelles, etc.), l'observateur louera la présence de son enregistreur automatique et d'un tri automatique des signaux recueillis ; mais il ne lui cédera sans doute pas sa place lors de points d'écoute plus ponctuels dans une vieille chênaie-hêtraie, un bocage bien structuré au printemps ou un petit lac d'altitude en limite de mélézin... »

- ❖ **p. 291** : encadré Technique d'écoute en canopée depuis le sol ; ajouter à la fin du texte : « Pour plus de détails, voir la note technique de Barataud (2024a) disponible sur le site de la revue Plume de naturalistes. »
- ❖ **p. 301** : remplacer « Chapitre 6 » par « Chapitre 7 »
- ❖ **p. 304** : 4e ligne d'introduction, remplacer « *Barataud et al., 2014b* » par « *Barataud J. et al., 2020* »
- ❖ **p. 304** : lignes 4-5, remplacer « *Barataud et al., 2014b* » par « *Barataud & Giosa, 2021* »
- ❖ **p. 308** : fin du 1^{er} §, après « Ce concept nous semble novateur chez les chiroptères. », rajouter le § suivant : Cette hypothèse est confortée par l'étude (Barataud J. *et al.*, 2020) des fréquences des signaux sonar de types A et B pratiqués par *Barbastella barbastellus guanchae* présente dans les îles de Tenerife et La Gomera (Canaries). Sur ces îles, les valeurs de FME sont plus basses que celles relevées sur le continent (**Tableau 29**), où elles se superposent aux couples d'espèces les plus abondants localement selon les contextes géographiques (**Figure 190a**). Mais le cortège spécifique aux Canaries est plus restreint et ne comprend pas d'espèce FM aplanie sur des FME supérieures à 42 kHz (*P. maderensis* occupe cette niche fréquentielle mais émet la plupart du temps des signaux FM sigmoïde à bande moyenne à large, proches de ceux des *Myotis* continentaux). *B. barbastellus guanchae* a donc certainement dû diminuer la FME de ses signaux pour se superposer aux fréquences FM aplanie les plus fréquentes sur l'île, qui correspondent à *H. savii* et *N. leisleri*, par ailleurs toutes deux plus élevées en FME que sur le continent (**Figure 190b**). Ainsi, il se pourrait que la Barbastelle, si son succès dans la capture des papillons tympanés est lié à un mimétisme acoustique trompeur, ait dû décaler ses fréquences pour s'adapter au contexte des Canaries, où les deux niches fréquentielles correspondant à des signaux similaires (durée courte et LB faible) se situaient 2 kHz plus bas tant pour le type A (*N. leisleri*) que pour le type B (*H. savii*).

Tableau 29 : comparaison des valeurs de LB (largeur de bande) et FME (fréquence du maximum d'énergie) entre les signaux sonar de types A et B émis par *B. barbastellus* sur le continent européen et aux Canaries.

Espèces	Type	Origine	LB		FME	
			Moy.	E-Type	Moy.	E-Type
<i>B.barbastellus guanchae</i>	A	Tenerife	12,1	1,9	32,6	0,8
<i>B.barbastellus</i>	A	Europe	9,8	2,0	34,5	1,5
<i>B.barbastellus guanchae</i>	B	Tenerife	11,1	2,3	41,2	1,9
<i>B.barbastellus</i>	B	Europe	11,3	3,8	43,1	2,3

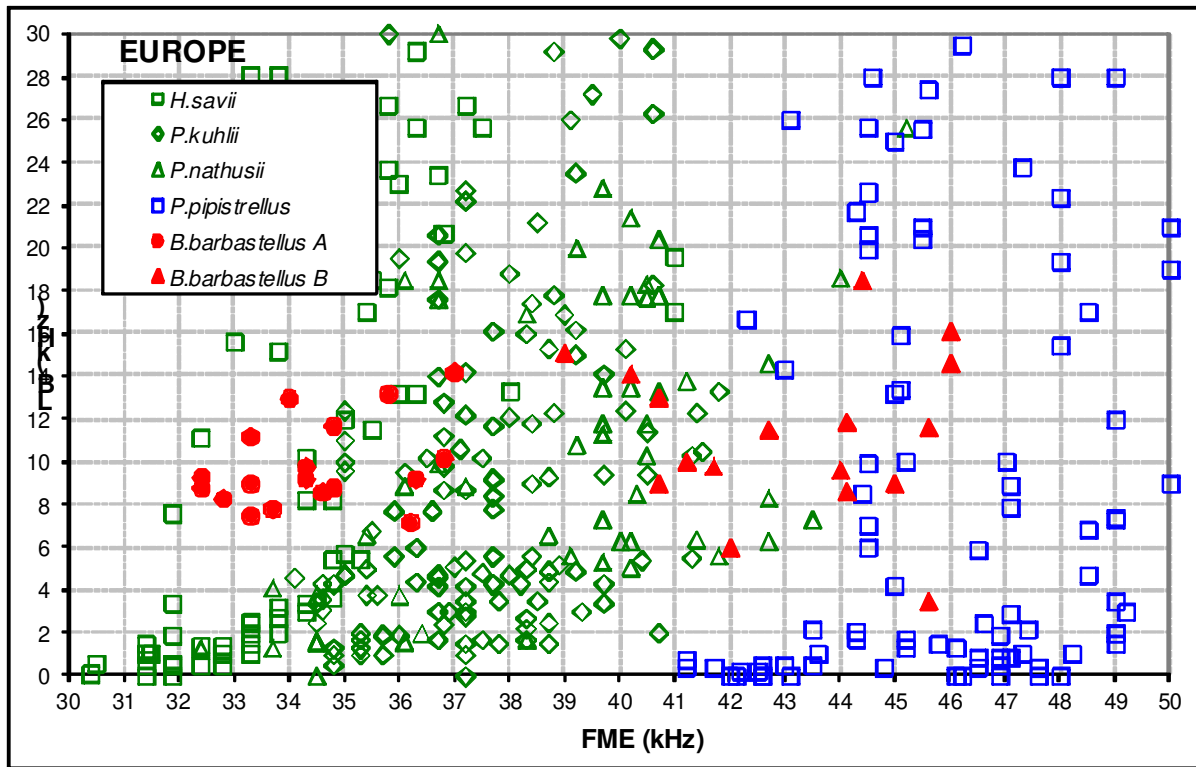


Figure 190a : en Europe, recouvrement des valeurs de FME (fréquence du maximum d'énergie) et LB (largeur de bande) de signaux de types A et B de *B. barbastellus*, avec celles d'autres espèces dont les signaux sonar proches (courts et à faible largeur de bande) constituent un « bruit de fond » courant selon les zones géographiques.

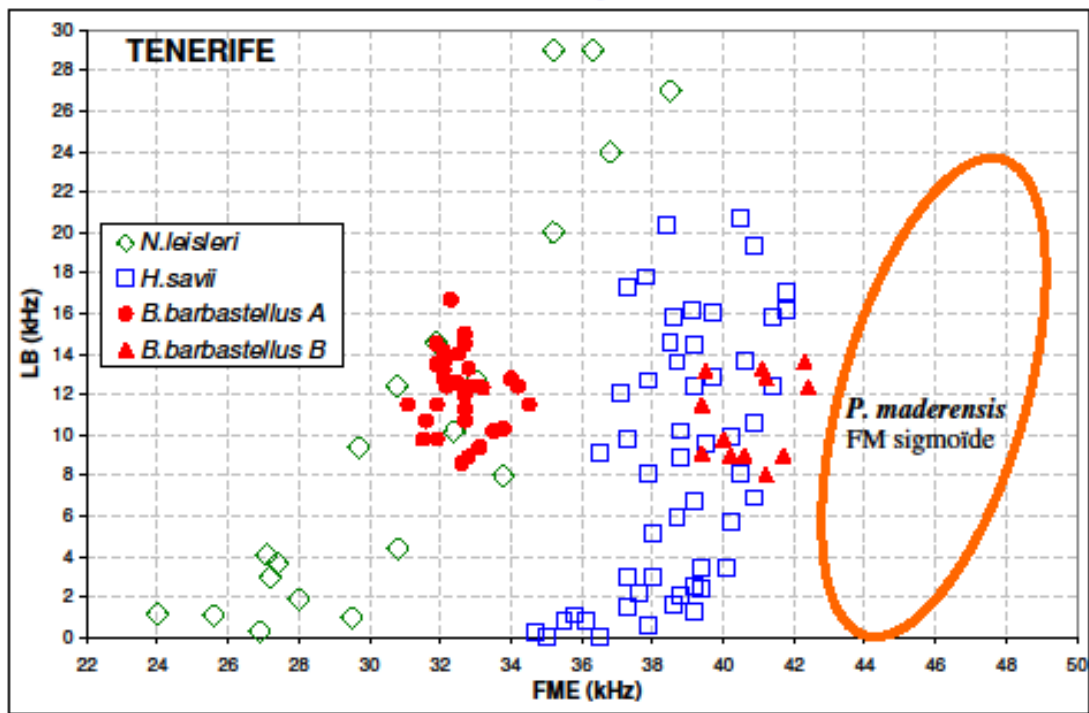
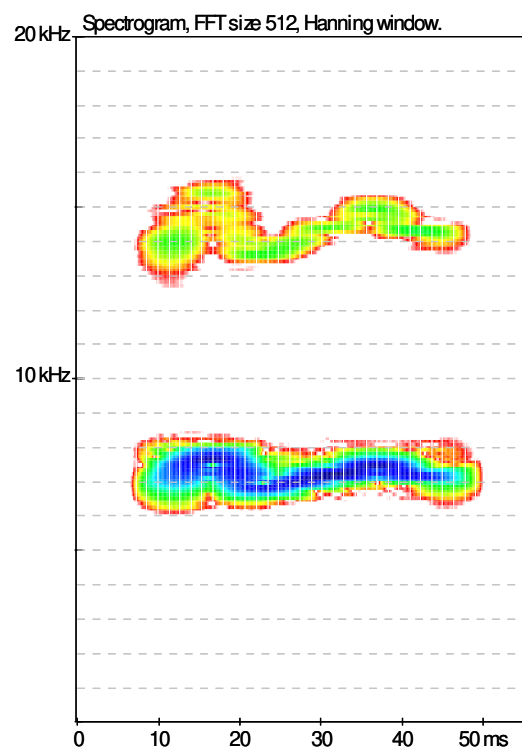


Figure 190b : sur Tenerife, recouvrement des valeurs de FME (fréquence du maximum d'énergie) et LB (largeur de bande) de signaux de types A et B de *B. barbastellus guanchae*, avec celles d'autres espèces dont les signaux sonar proches (courts et à faible largeur de bande) constituent un « bruit de fond » courant sur cette île.

- ❖ **p. 308** : ligne 1 du 2e §, remplacer « **Chez les chiroptères consommant régulièrement ce type de proies on constate des adaptations visant à diminuer la perception de leurs signaux sonar par les insectes.** » par : « **Chez les chiroptères consommant régulièrement des proies tympanées on constate des adaptations visant à être acoustiquement discrets vis-à-vis de ces insectes.** »
- ❖ **p. 309** : dernière ligne, remplacer « ...lépidoptères de petite taille dont **la plupart** sont tympanés.
- ❖ **p. 314** : remplacer l'image de la figure 195 par celle-ci-contre



- ❖ **p. 314** : 3^e §, ligne 4, ajouter : « ...composants inexistant par analogie avec des sons mémorisés (cette caractéristique a été démontrée chez l'humain, voir Kraemer, 2005) ; le phénomène... »
- ❖ **p. 315** : fin 1^{er} § et début du 2^e ; remplacer : « ... or seulement deux de ces séquences d'approche affichent une caractéristique inédite : la longue succession des signaux d'approche est ponctuée à peu près en son milieu par un signal QFC intense typique d'une phase de croisière en milieu ouvert (voir **figure 197** et **son CD3. n° 48**).

Trois interprétations peuvent être formulées :

- Un autre individu en vol de croisière est présent dans le voisinage : l'écoute complète de la séquence infirme cette hypothèse, l'individu en phase d'approche est seul sur le site à ce moment-là, et tous les signaux enregistrés proviennent de lui.

- L'individu se dirige vers la lisière au moment de la phase d'approche, et ce signal QFC bas est destiné à augmenter la portée des émissions pour obtenir une information sur la distance des obstacles afin de les éviter ; cette hypothèse est plausible ; cependant elle se heurte respectivement à : la lecture théorique ; l'observation factuelle ; les observations statistiques : 1) les signaux d'approche, bien que de portée plus faible, restent aptes à prévenir l'animal émetteur de la proximité des obstacles étant donné la très faible vitesse de vol constatée durant les phases d'approche ; 2) lors de l'enregistrement la lumière résiduelle trop faible ne permettait plus de voir le chiroptère depuis quelques minutes, mais ce dernier depuis 45 minutes adoptait un circuit de vol invariable, tantôt traversant au-dessus de l'eau, tantôt longeant la lisière à 15-20 mètres du feuillage ; la prise de son a eu lieu face à l'étang le dos tourné vers la lisière ; or on remarque sur la séquence que la phase terminale d'approche s'éloigne de l'observateur (le niveau sonore de cette dernière a d'ailleurs été augmenté pour la rendre mieux perceptible), suivant en cela le trajet habituel observé quelques minutes auparavant, la noctule se dirigeant vers le centre de l'étang ; de plus d'autres séquences enregistrées lorsque l'individu longe la lisière donnent des signaux modulés très différents (**son CD3. n° 46**) ; 3) des centaines de séquences enregistrées depuis 20 ans sur d'autres espèces de haut vol chassant en lisière n'avaient jamais encore révélées ce genre de comportement.

- Ce signal... »

Par :

« ... or seulement deux de ces séquences d'approche affichent une caractéristique rare : la longue succession des signaux d'approche est ponctuée à peu près en son milieu par un signal QFC intense typique d'une phase de croisière en milieu ouvert (voir **figure 197** et **son CD3. n° 48**).

Trois interprétations peuvent être formulées :

- un autre individu en vol de croisière est présent dans le voisinage : l'écoute complète de la séquence infirme cette hypothèse, l'individu en phase d'approche est seul sur le site à ce moment-là, et tous les signaux enregistrés proviennent de lui ;

- l'individu se dirige vers la lisière au moment de la phase d'approche, et ce signal QFC bas est destiné à augmenter la portée des émissions pour obtenir une information sur la distance des obstacles afin d'anticiper leur évitement après la phase de capture ; cette hypothèse est plausible, d'autant que ce cas n'est pas unique : un tel comportement a déjà été observé chez d'autres grandes espèces QFC ou FM aplanies. Cette option est sans doute la plus parcimonieuse ;

- ce signal... »

- ❖ **p. 316** : 2^e §, lignes 2-3 après retour à la ligne, remplacer « Cette hypothèse, parce qu'elle contient un bon nombre de données soumises à caution dans l'attente d'une validation (ou infirmation) expérimentale, figure de façon ambiguë aux côtés du cas,... »
- ❖ **p. 318** : remplacer titre « Les émissions « explosives » de *N. leisleri* » par « Les « salves surprise » de *N. leisleri* »
- ❖ **p. 325** : remplacer « Chapitre 7 » par « Chapitre 8 »
- ❖ **p. 335** : remplacer « Chapitre 8 » par « Chapitre 9 »
- ❖ **p. 336** : § « Evolution du matériel », ligne 1, modifier : « Entre 1980 et 2025 l'accroissement... »
- ❖ **p. 336** : milieu du § « Evolution du matériel », ajouter « Tout d'abord le coût : souhaitons que l'augmentation constante des personnes accédant à cette technique à travers le monde, s'accompagne d'une réduction des prix de vente des détecteurs, car (le cas particulier des Teensy Recorders développés par Jean-Do Vrignault et à construire soi-même, mis à part) les modèles les plus performants à l'heure actuelle sont prohibitifs. »
- ❖ **p. 342** : supprimer les références suivantes :
 - BARATAUD, M. & S. GIOISA. 2012. Biodiversité des chiroptères et gestions forestières en Limousin. Rapport d'étude GMHL. 32 pp. http://ecologieacoustique.fr/?page_id=11
 - BARATAUD, M., S. GIOISA, G. ISSARTEL & J. JEMIN. 2014. Bio évaluation des forêts de Martinique par l'étude de l'activité des guildes de chiroptères. Rapport final, SFPEM, Paris. 68 pp. http://ecologieacoustique.fr/?page_id=11
 - BARATAUD, J., M. BARATAUD, S. GIOISA & J. VITTIER. 2014b. Suivi temporel acoustique des chiroptères forestiers du Limousin. Saison 2014. Application du protocole, année 1. GMHL, Limoges. Rapport 20 pp. http://ecologieacoustique.fr/?page_id=11
- ❖ **p. 342** : rajouter les références suivantes :
 - Andriollo T., Naciri Y. & M. Ruedi. 2015. Two mitochondrial barcodes for one biological species: the case of European Kuhl's pipistrelles (Chiroptera). *PLoS ONE*, 10: e0134881. doi: 10.1371/journal.pone.0134881.
 - Arlettaz, R.. 1996. Feeding behaviour and foraging strategy of free-living mouse-eared bats, *Myotis myotis* and *Myotis blythii*. *Animal Behaviour* 51: 1-11.
 - Barataud, J., M. Barataud & Y. Bas. 2020. Comportement acoustique des chiroptères de Tenerife (archipel des Canaries). *Plume de Naturalistes* 4: 1-26. <http://www.plume-de-naturalistes.fr/index.php/numeros/>
 - Barataud, J. 2025. *Identification acoustique des sauterelles, grillons et courtilières de France, Belgique, Luxembourg et Suisse*. Biotope.
 - Barataud, M., S. Giosa, J. Grandadam & J. Jemin. 2016. Diversité des chiroptères dans les peuplements forestiers du Limousin (France). *Le Vespère* 6: 397-429. http://ecologieacoustique.fr/?page_id=11
 - Barataud, M., J. Barataud, S. Giosa, J. Jemin, J. Vittier & A. Besnard. 2017. Suivi temporel acoustique des chiroptères forestiers du Limousin. Bilan de la période 2014-2016. *Plume de Naturalistes* 1: 43-66. <http://www.plume-de-naturalistes.fr/index.php/numeros/>
 - Barataud, M., A. Duranel, F. Grandemange & A. Lugon. 2009. Etude d'une colonie de mise-bas de *Myotis bechsteinii* Kuhl, 1817 – Sélection des gîtes et des

- habitats de chasse, régime alimentaire et implications dans la gestion de l'habitat forestier. *Le Rhinolophe* 18 : 83-112. http://ecologieacoustique.fr/?page_id=11
- Barataud, M., S. Giosa, F. Leblanc, P. Favre & J.F. Desmet. 2015. Identification et écologie acoustique des chiroptères de la Guadeloupe et de la Martinique (Antilles Françaises). *Le Vespère* 5 : 297-332. http://ecologieacoustique.fr/?page_id=11
- Barataud, M., S. Giosa, G. Issartel, J. Jemin, M. Lesty & J-P. Fiard. 2017. Forêts tropicales insulaires et chiroptères : le cas de la Martinique (Petites Antilles – France). *Le Vespère* 7 : 411-457. http://ecologieacoustique.fr/?page_id=11
- Barataud, M. & S. Giosa. 2021. Activité de chasse des chiroptères forestiers, comparée entre sol et canopée. *Plume de Naturalistes* 5 : 1-38. <http://www.plume-de-naturalistes.fr/index.php/numeros/>
- Barataud, M. 2024a. Pose d'un microphone en canopée : une méthode rapide et facile. *Plume de Naturalistes* 8 : 125-134. <http://www.plume-de-naturalistes.fr/index.php/numeros/>
- Barataud, M. 2024b. Dans la peau d'un Petit murin. Rubrique « Moments nature de la revue *Plume de Naturalistes* 8 : 243-250. <http://www.plume-de-naturalistes.fr/index.php/rubriques/>
- Barataud, M. 2024c. Le pari de l'Oreillard sarde. Rubrique « Moments nature de la revue *Plume de Naturalistes* 8 : 251-254. <http://www.plume-de-naturalistes.fr/index.php/rubriques/>
- BARATAUD, M., T. METZ, G. CREȚU, R. GÜTZ & T. KEBELS. 2025. Activité nocturne automnale et hivernale des chiroptères en forêt d'Erlenbusch (Allemagne). *Plume de Naturalistes* 9 : 1-52.
- Crețu G., M. Barataud, T. Kessels, R. Gütz & T. Metz. 2022. The bat fauna of the Erlenbusch (Frechen, North Rhine- Westphalia, Germany); preliminary results. *Plume de Naturalistes* 6 : 67-86. <http://www.plume-de-naturalistes.fr/index.php/numeros/>
- Disca, T. à paraître. *Cahier d'identification des chiroptères par la bioacoustique ; Biotope. Mèze.*
- Jones, G. & E. Teeling. 2006. The evolution of echolocation in bats. *Trends in Ecology and Evolution* 21(3) : 149-156.
- Kraemer DJ, Macrae CN, Green AE, *et coll.* 2005. Musical imagery: sound of silence activates auditory cortex. *Nature*, 434:158.
- Lefevre, A. & M. Barataud. 2020. Comportement acoustique de *Nyctalus azoreum* sur l'île de São Miguel (archipel des Açores). *Plume de Naturalistes* 4 : 27-42.
- Mata, V.A., F. Amorim, M.F.V. Corley, G.F McCracken, H. Rebelo, P. Beja. 2016. Female dietary bias towards large migratory moths in the European free-tailed bat (*Tadarida teniotis*). *Biol. Lett.* 12: 20150988.
- MIDDLETON, N., A. FROUD and K. FRENCH. 2022. Social calls of the bats of Britain and Ireland. Pelagic Publishing. London. 285 p. (en remplacement de la même référence datant de 2014)
- Miller, L.A. & A. Surlykke. 2001. How Some Insects Detect and Avoid Being Eaten by Bats: Tactics and Countertactics of Prey and Predator. *BioScience* 51(7) : 571-581.
- Montauban, C., M. Mas, C. Tuneu-Corral, O.S. Wangenstein, I. Budinski, J. Martí-Carreras, C. Flaquer, X. Puig-Montserrat & A. López-Baucells. 2021. Bat echolocation plasticity in allopatry: a call for caution in acoustic identification of *Pipistrellus* sp. *Behavioral Ecology and Sociobiology* 75: 70.
- Mucedda, M., A. Kiefer, E. Pidinchedda & M. Veith. 2002. A new species of long-eared bat (Chiroptera, Vespertilionidae) from Sardinia (Italy). *Acta chiropterologica* 4(2): 121-135.

Puechmaille, S.J., I.M. Borissov, S. Zsebok, B. Allegrini, M. Hizem, S. Kuenzel, M.e Schuchmann, E.C. Teeling, B.M. Siemers. Female Mate Choice Can Drive the Evolution of High Frequency Echolocation in Bats: A Case Study with *Rhinolophus mehelyi*. *PLoS ONE* 9(7): e103452. doi:10.1371/journal.pone.0103452

Roue, S.Y. & M. Barataud (Coordinateurs). 1999. Habitats et activité de chasse des chiroptères menacés en Europe : synthèse des connaissances actuelles en vue d'une gestion conservatrice. *Le Rhinolophe*, Vol. Spéc. n°2 . 137 p. http://ecologieacoustique.fr/wp-content/uploads/1999_RoueBarataud_HabitatsReg-alim_Chiropteres-AnnII.pdf

Stoffberg, S., D.S. Jacobs & C.A. Matthee. 2011. The Divergence of Echolocation Frequency in Horseshoe Bats: Moth Hearing, Body Size or Habitat? *J. Mammal. Evol.* DOI 10.1007/s10914-011-9158-x

Vrignault, J-D. & M. Barataud. 2021. Comportement acoustique de *Pipistrellus kuhlii* sur l'île de Crête (Grèce) ; utilisation de la FM sigmoïde en action de chasse. *Plume de Naturalistes* 5 : 129-138.

- ❖ p. 358 : alinéa 2 ; modifier : « 336 fichiers sons... Expansion de temps x 10 (263 fichiers)

4^e de couverture :

- ❖ Résumé, dernière phrase, modifier : « Yves, Tupinier, pionnier français de la bioacoustique appliquée aux chiroptères, a inspiré les premiers développements informatiques de la méthode et a longtemps accompagné les stages de formation. Sa contribution à ce livre est un hommage légitime. »
- ❖ § Les + de l'ouvrage, alinéa 1, modifier : « La méthode décrite permet d'identifier en moyenne 95 % des enregistrements acoustiques de chauves-souris récoltés sur le terrain en Europe, pour 38 des 40 espèces traitées dans l'ouvrage).
- ❖ En dessous, 3^e alinéa, réactualiser le nombre de fichiers (plus de 330 fichiers...)

Fichiers téléchargeables en ligne :

- ❖ dossier « SONS » ; sous-dossier « 3_Expansion de temps x 10 » ; sur les séquences 3.86 ; 3.89 ; 3.92 ; 3.92a ; 3.93, remplacer dans le nom des fichiers wave les mots « nasillarde » ou « basse » (3.93) par « miaule »
- ❖ dossier « SONS » ; sous-dossier « 3_Hétérodyne » ; fichier PDF « Commentaires_sequences_hétérodyne » ; modifier le § suivant :

son DVD 2.38 : petite clairière ; quelques individus chassent plus ou moins près des lisières ; variations de sonorités bien présentes : **FM aplanie** ; les variations de rythme entre séries de signaux, et d'intensité d'un signal à l'autre sont caractéristiques ; les séquences de capture sont pour la plupart de durée normale, mais l'une est particulièrement longue ce qui est assez fréquent chez cette espèce ; la récurrence des signaux en phase de capture est très rapide, plus que chez une Pipistrelle (on entend « zzzz » plutôt que « rrrr »), ce qui est discriminant ; battement zéro réalisé sur **51 kHz** ; *M. schreibersii* ; niveau de confiance : certain. Un passage de FC longue vers la fin révèle un Rhinolophe : ce pourrait être l'harmonique 1 d'un *R. euryale*.

- ❖ dossier « SONS » ; sous-dossier « 3_Expansion de temps x 10 » ; fichier PDF « Commentaires_sequences_expansion x 10 » ; ajouter les § suivants :

son 3.2a : cette longue séquence de *R. hipposideros* illustre un comportement de chasse fréquent, de type exploratoire dans un faible volume, pouvant générer plusieurs minutes de contacts acoustiques pour un observateur situé au cœur de la zone active. Ici les trajectoires de vol semblent circulaires, comme l'indiquent les variations corrélées d'intensité et de fréquence (effet Doppler dû au déplacement de l'animal par rapport au microphone). La mesure de la FME de la partie FC doit s'effectuer sur les signaux les plus intenses car ils correspondent à l'alignement dans l'axe du microphone ce qui minimise la distorsion fréquentielle de l'effet Doppler : la FME est ici de 105,8 kHz. On remarque aussi le « taux d'utilisation » du temps d'émission : un Rhinolophe consacre 60 à 80 % du temps à émettre ses signaux, ce que les autres genres européens ne font jamais afin d'éviter le recouvrement temporel entre l'émission d'un signal et la réception de son écho.

son 3.35a : séquence d'un individu d'*E. nilssonii* en chasse active au bord d'un lac en milieu ouvert. Les QFC, sur 28-29 kHz de FME et d'une durée de 15 à 17 ms, sont dominantes en phase de croisière et reprennent juste après la phase de capture. Enregistrement : Jean-François Desmet.

son 3.36b : cette séquence commence par des signaux QFC de 17 à 18 ms, sur environ 23 kHz, sans alternance mais avec de légères variations de LB et FME, indiquant une recherche active en milieu ouvert : tous les éléments sont réunis dès le début pour conclure *V. murinus* ; certaines QFC par la suite atteignent 20 ms de durée, ce qui ne laisse plus aucun doute. Les phases d'approche en FM aplanie, prises seules, n'ont par contre aucun élément distinctif et tombent dans la catégorie des Sérotules.

son 3.36c : un individu de Sérotine commune chasse en lisière des grands arbres d'un parc arboré. Tous les signaux sont en FM aplanie, avec une amorce progressive (due à la pente douce FM en début de signal et à l'augmentation très progressive de l'intensité, ce qui peut se vérifier sur oscillogramme), y compris lorsque le rythme devient plus lent entre 5 et 15 s. A l'écoute de la séquence en hétérodyne sur BatSound, le rythme « jazzy » irrégulier typique de l'espèce est présent même dans les phases de recherche active.

son 3.37b : longue séquence illustrant un comportement d'*E. isabellinus* en chasse active au crépuscule en milieu ouvert, le long de la rive en pente douce, à boisement épars, d'un grand plan d'eau (barrage sur le Guadalquivir, Sierra de Cazorla, Andalousie). Le rythme (à l'écoute en hétérodyne sur BatSound) est assez rapide et régulier dans les phases de croisières, avec assez souvent des signaux groupés par paires lorsque la récurrence est un peu plus lente ; de nombreuses phases d'approche et tentatives de captures indiquent une bonne densité de proies. Tous les signaux sont en FM aplanie vers 25 kHz, en recouvrement total avec *E. serotinus* donc. Mais certains ont une LB faible (env. 7 kHz) avec une légère amorce explosive audible en expansion de temps, et beaucoup présentent une cassure anguleuse (au début du signal pour les LB étroites, vers le milieu pour les LB plus larges) au lieu d'une courbe régulière : ce critère est typique des espèces QFC types, ce que n'est pas *E. serotinus*.

son 3.37c : longue séquence illustrant le comportement d'*E. isabellinus* en chasse active au crépuscule en fond de vallon le long d'une pente rocheuse escarpée à boisement épars (vallée du Tajo au Salto del Gitano, Monfrague, Extremadure). Plusieurs individus sont présents, et un Molosse de Cestoni apparaît vers 67 s. Le rythme (à l'écoute en hétérodyne sur BatSound) varie selon les individus ; dans les phases lentes on retrouve les signaux groupés par paires ponctuant des phases assez régulières. La majorité des signaux est en FM aplanie, avec certains présentant une cassure anguleuse caractéristique des espèces QFC ; à partir de 5520 ms on remarque quelques signaux débutant par une courte courbure convexe, leur donnant une forme sigmoïde, mais cette forme a aussi été notée chez *E. serotinus*. Des QFC à bande large apparaissent à plusieurs reprises (après 13800 ms, 53400 ms, 79300 ms, etc.), avec des

amorces nettement explosives à l'écoute en expansion de temps. Après 170 s, plusieurs longues poursuites de proies s'enchaînent, laissant supposer des tentatives de capture de proies tympanées.

son 3.38a : chasse en groupe d'*Eptesicus serotinus*, au crépuscule au-dessus d'une prairie parsemée de quelques arbres près d'un étang. Les individus semblent profiter de la forte densité de moustiques, et les capturent en pratiquant des phases de vols sinueux et lent entre 0,5 et 2 m de hauteur, avec de courts sur-places frôlant la végétation basse ; des cris sociaux sont parfois associés aux signaux sonar, ce qui est très rare chez cette espèce sur ses terrains de chasse.

son 3.41a : les premiers signaux de cette séquence sont des QFC courtes (environ 10 ms) dans la gamme des 25-27 kHz de FME, avec une alternance irrégulière de structure, de FME, d'intensité : il s'agit bien de *N. leisleri*. L'individu se rapproche de la canopée pour la longer un moment (sans doute à la recherche de proies volant près du feuillage), en produisant uniquement des FM aplanies tronquées dont la largeur de bande atteint presque 40 kHz pour une FME d'environ 30 kHz sur certains signaux. Sans les signaux QFC du milieu ouvert, cette séquence resterait dans le groupe des « sérotules ».

son 3.41b : cette séquence débute par un signal QFC de 7,7 ms sur 27 kHz : dès ce premier signal l'identification de l'espèce est certaine : *N. leisleri*. Par la suite, après une phase d'approche en FM aplanie qui n'ont aucun caractère distinctif, ce critère se confirme avec des valeurs de durée encore plus faibles (par exemple 5,6 ms à 6890 ms). Cette spécialisation de *N. leisleri* pour les QFC de durées courtes (contraires à la logique de détection à longue distance nécessaire à une espèce de haut vol rapide), est indicatrice d'une stratégie possible de discrétion vis-à-vis des lépidoptères tympanés qui réagissent moins aux signaux de courte durée. Enregistrement : Jean-François Desmet.

son 3.41c : après un long silence, apparaît sans préliminaires un signal QFC très intense sur 25 kHz environ, suivi d'une longue phase d'approche et d'une tentative de capture (vers 4200 ms) : la Noctule de Leisler chasse les lépidoptères en « salves surprises » (voir § *Nyctalus leisleri* du chapitre 5, p. XXX). Dans cette séquence, on compte six poursuites successives, qui peuvent correspondre à des proies qui tentent de s'échapper ou/et à des tentatives de captures successives sur des proies différentes.

son 3.43a : longue séquence de plusieurs individus de *N. noctula* chassant au-dessus d'un étang au crépuscule. Les différences de hauteur de vol entraînent autant de schémas rythmiques et structurels, de la recherche passive avec alternance de QFC basses et FM aplanies, aux FM d'approche à LB plus ou moins grandes. Vers la fin de la séquence, un seul individu est présent, en vol non loin d'une lisière, et ses QFC courtes (9 à 10 ms pour certaines) sur 20-22 kHz rappellent celles de *N. leisleri*, mais sur des FME plus basses que cette dernière.

son 3.48a : séquence de *N. lasiopterus* volant en sous-bois (futaie irrégulière mature de chênes et hêtres) pour rejoindre son gîte en cavité d'arbre, un 24 mai à 23h50. Les signaux courts (4 à 5 ms) sont de structure FM à courbure concave régulière, avec une LB < 30 kHz et une FT < 20 kHz ; le timbre est légèrement miaulé mais la confusion avec un Oreillard peut être évitée grâce au rythme souvent rapide (il y a même une approche vers 6,5 s) croisé avec tous les autres éléments : un *Plecotus* n'utilise le timbre miaulé sur fréquences basses qu'en milieu ouvert avec des durées > 5 ms.

son 3.49a : extrait d'une séquence typique de *T. teniotis* en chasse nocturne de haut vol (ici au-dessus d'une vallée des Asturies en Espagne, lors d'une nuit douce de début novembre). Le rythme est lent et assez régulier avec des intervalles de 500 à 600 ms en moyenne, avec

une légère accélération sur quelques signaux vers 23 s. Tous les signaux sont des QFC planes d'environ 20 ms.

son 3.50a : cette séquence commence par une longue série de signaux FM très courts, à faible largeur de bande, sur 20 kHz de FME environ ; le timbre est nettement miaulé, ce qui nous fait penser de suite à un Oreillard en milieu ouvert. Mais quelque chose ne correspond pas dans le comportement : le rythme est trop rapide, et va même en croissant ; il s'agit bien d'une approche ; or un Oreillard en approche ne serait pas sur des fréquences aussi basses. Après la phase d'approche, le rythme ralentit, les signaux se rallongent et le timbre change : il s'agit bien d'une grande espèce à FME basse, et les mesures de FME x LB nous donnent uniquement *T. teniotis* ; cet individu vient de boire à la surface d'une mare.

son 3.54a : séquence débutant par des QFC planes sur 50 kHz ; *M. schreibersii* est écarté car il ne fait pas de QFC planes ; *P. pipistrellus* peut-elle monter sur de telles FME avec une telle structure ? Non, il s'agit bien de *P. pygmaeus*, et cet individu n'est pas seul : un congénère chasse en FM aplanie sur 56-57 kHz, puis un autre ensuite sur des fréquences intermédiaires. Ils sont assez éloignés les uns des autres mais se décalent quand même en FME, ce qui amène sans doute l'individu en recherche passive, au rythme le plus lent, à descendre jusqu'à 50 kHz.

son 3.54b : sur cette séquence, les individus sont nombreux et rapprochés les uns des autres : une cacophonie de FM aplanies entre 50,5 et 61 kHz. La présence de *P. pygmaeus* ne laisse aucun doute mais que faire des signaux en dessous de 50 kHz ? L'individu sur 50,5 kHz (signal à 90 ms par exemple) est en FM sigmoïde avec une LB > 50 kHz, ce qui signe habituellement la présence de *P. pipistrellus* ; on remarque par ailleurs que plusieurs signaux FM aplanie tronquée (à 370 ms par ex.) se terminent par une courte FM descendante, mais on sait que *P. pygmaeus* et *P. pipistrellus* peuvent toutes deux présenter cette caractéristique. Plus loin, à partir de 6291 ms, un individu sur 49,5 kHz en FM aplanie, passe rapidement en QFC sur 49 puis 48 kHz ; puis plus loin encore (8740 ms) il est sur 47 kHz, puis (9005 ms) sur 46 kHz ! Tous les individus de cette séquence appartiennent pourtant à l'espèce *P. pygmaeus*. Cette scène est un bon exemple de compétition de niche fréquentielle, dans une zone (Andalousie, Espagne) où les populations de *P. pipistrellus* sont minoritaires (mais présentes : l'espèce a été contacté sur un autre site non loin de celui-ci), du comportement de *P. pygmaeus* qui lorsqu'elle chasse en groupe compact, déborde largement de sa niche fréquentielle habituelle, en empiétant sur celle de *P. pipistrellus*. Si cette dernière était présente en chasse sur le même site au même moment, sans doute deux phénomènes se produiraient : les individus de *P. pipistrellus* seraient sur leur gamme basse entre 42 et 45-46 kHz, et ceux de *P. pygmaeus* ne descendraient pas en dessous de 47 kHz par exemple.

son 3.60a : séquence de Minioptère en chasse dans une chênaie clairsemée. Après un silence, les premiers signaux entendus sont intenses (le premier est même plus intense que les suivants !) : l'individu devait voler sans émettre, car sinon quelques signaux préliminaires seraient forcément audibles ; ce comportement rappelle celui de *N. leisleri* lorsqu'elle cherche à surprendre des lépidoptères tympanés avec ses « salves surprises » en les alertant le plus tardivement possible (**son 3.41c**) ; s'ensuivent des signaux FM aplanie à récurrence rapide puis, sans véritable phase d'approche (juste trois signaux), une phase de capture (caractéristique par sa récurrence forte) en deux temps, indiquant sans doute que la proie a réagi à cette attaque. Les signaux qui suivent, après 3000 ms, sont typiques par la sonorité très « lissée » sans amorce explosive. Le même scénario se reproduit à 6500 ms. Vers 10600 ms on entend un autre trille, mais qui sort de nulle part : il ne peut venir d'aucun des deux individus qui produisent chacun deux FM aplanies au même moment ; il s'agit donc d'un troisième individu dont les signaux sonar sont absents ou inaudibles, et ce trille peut aussi bien être une phase de capture qu'une émission à caractère social (les deux sont très proches

chez cette espèce). Cette séquence illustre une technique de capture des lépidoptères tympanés par *M. schreibersii*, qui vise à rester discret lors de la phase de pré approche (silencieuse) puis à retarder la réaction de sa proie en supprimant ou réduisant la phase d'approche finale.

son 3.65a : deux individus de *P. pipistrellus* émettent en QFC sur 44 et 46 kHz ; l'un d'eux produit une phase d'approche puis de capture, et repart aussitôt en QFC sur 47 kHz. Cette scène illustre une entorse à la règle générale qui veut que *P. pipistrellus* (comme *P. kuhlii*) ne pratique la QFC plane qu'en transit ou recherche passive. Mais aucun schéma général n'est parfaitement rigide dans la nature et le comportement des individus : nous sommes un 29 septembre à 500 m d'altitude dans le Massif Central, et la température fraîche réduit le nombre de proies en activité ; les Pipistrelles sont donc en recherche passive, utilisant la QFC pour s'économiser (et parce que le milieu semi ouvert le permet), mais toute localisation d'une proie déclenche une rupture dans ce régime de basse dépense énergétique. Quelques trilles sociaux dans la séquence, illustrent sans doute quelques messages agonistiques en lien avec la compétition pour une faible provende.

son 3.68a : les FM aplanies du début de cette séquence sont dans la gamme fréquentielle commune à *P. kuhlii* et *P. nathusii* ; mais à 6920 ms deux QFC planes apparaissent brutalement, avec une FME de 37-38 kHz. Plus loin à 8168 ms, une FM aplanie présente une cassure anguleuse, typique des espèces QFC type : il s'agit bien de *P. nathusii*. Nous sommes dans une forêt du nord de l'Allemagne, vers Cologne, où *P. kuhlii* n'a pas encore été répertoriée, et où *P. nathusii* est par contre bien présente : elle utilise alors la gamme fréquentielle disponible, de 34 à 41 kHz (voir encadré sur la compétition entre niches fréquentielles p. 170). Enregistrement : Tanja Kessels.

son 3.68b : séquence enregistrée en aveugle dans une zone géographique (Albères – 66) où *P. kuhlii* est abondante, et où *P. nathusii* est plus rare. Les premiers signaux sont des QFC non planes sur 39 kHz : *P. kuhlii* produit ses QFC dans une gamme inférieure à 38 kHz en règle générale, alors que *P. nathusii* est coutumière de ces fréquences ; de plus, plus loin dans la séquence (23684 ms), un signal FM aplanie présente une cassure anguleuse, typique des espèces QFC type : donc *P. nathusii*. Plus loin (2400 ms) les signaux FM aplanies esquissent une courte FM terminale descendante, qui réapparaît de façon très nette et répétée après 4870 ms : cette caractéristique, sur des FM aplanies dont la partie QFC est égale à au moins la moitié de la durée totale du signal, n'est pas encore certifiée (en tous cas comme comportement courant) chez *P. nathusii*, alors qu'il est très régulier chez *P. kuhlii*. Voici donc un exemple de cas d'identification insoluble entre ces deux espèces, où des caractéristiques typiques (mais non exclusives à 100 % !) de l'une sont « copiées » par l'autre.

son 3.72a : séquence débutant par des signaux FM aplanie plus ou moins tronquée, dans la gamme de FME 38 à 41 kHz qui est commune à *P. kuhlii* et à *P. nathusii* ; vers 2,8 s le trille social sur 15 kHz, non doublé, élimine *P. nathusii* et ressemble au répertoire de *P. kuhlii*, même s'il est plutôt rapide pour cette dernière ; par contre les trilles lointains à partir de 7,8 s sont lents et bas (13 kHz), ce qui conforte *P. kuhlii*. L'individu émettant les signaux sonar est en chasse active près d'une lisière, d'où les signaux courts à large bande. A partir de 11 s un individu de *P. pipistrellus* apparaît, lui-même en chasse active, suscitant une production de plusieurs cris sociaux simples dont l'auteur est inconnu ; ils proviennent peut-être de *P. pipistrellus* puisqu'à 11370 et 11941 ms le cri social est simultanément avec un signal sonar de l'individu de *P. kuhlii* ; mais tout se complique puisqu'à 12850 ms cette fois c'est avec un signal sonar de *P. pipistrellus* que le cri social est recouvrant ! La solution tient sans doute au fait que deux individus de *P. kuhlii* sont présents (à partir de 10,4 s), alors qu'un seul individu de *P. pipistrellus* est audible : c'est sans doute l'interaction entre les deux congénères de *P. kuhlii* qui provoque ces émissions sociales atypiques, et non une interaction entre espèces.

son 3.76a : séquence de Vespère de Savi chassant activement dans une allée forestière en fond de vallon (Roubion, vallée de la Tinée, Mercantour). Aucun signal QFC n'est présent dans cette longue séquence : le feuillage est proche de chaque côté et la trajectoire de vol en dessous de la canopée. Les FME sont souvent aux alentours de 38 kHz, et les FM aplanies tronquées sont presque toutes sigmoïdes, avec une courte FM terminale : une signature connue chez *P. kuhlii*... Mais deux détails éliminent cette dernière espèce : vers 38000 ms les signaux FM de la phase d'approche terminent tous à 30 kHz, puis à partir de 41000 ms l'individu s'éloigne vers un milieu plus ouvert : le rythme se ralentit et corrélativement la LB et la FME diminuent jusque vers des QFC vers 33 kHz. *H. savii* peut donc pratiquer des FM sigmoïde sur des signaux courts à partie QFC tronquée.

son 3.89a : montage de plusieurs séquences d'Oreillard mises bout à bout, enregistrées toutes sur une même station la soirée du 15 avril 2023 sur le site de Punta Pedra Longa (Baunei, Sardaigne). Le milieu de chasse est un matorral dense composé principalement de cistes et pistachiers térébinthes garni de salsepareille, avec de gros blocs rocheux calcaires, en lisière d'un petit talweg boisé de petits chênes verts sur une pente à environ 160 m du littoral marin. Le comportement acoustique est particulier : souvent, la durée des signaux devient plus courte et la FME devient corrélativement légèrement plus haute (indiquant des obstacles plus proches), sans que la récurrence diminue en conséquence comme le voudrait la logique de localisation spatiale (voir par exemple à 8,6 s, 12,8 s, 23,6 s, 32,8 s, etc.) ; ceci peut s'expliquer par un vol lent exploratoire qui sonde l'interface de la végétation (bien trop dense et épineuse pour être pénétrée). Au contraire, la récurrence augmente parfois alors que les signaux sont plus longs en durée et plus bas en FME (voir par exemple à 2,5 s et 45 s), ce qui indique probablement une accélération du vol pour se déplacer rapidement d'un point à un autre alors que l'interface horizontale ou verticale de la végétation reste proche. Les mesures de signaux les mieux restitués donnent, en moyenne, des valeurs de LB, FI et FT assez basses quelle que soit la tranche de durée. L'ensemble des paramètres (localisation géographique, mesures de durées et de fréquences, comportement acoustique) confère une probabilité très forte à l'appartenance de cette séquence à un autre taxon que *P. auritus* ou *P. austriacus*, donc par défaut *Plecotus sardus*.

son 3.89b : séquence d'Oreillard enregistrée en avril au crépuscule dans le centre-ouest de la Sardaigne (secteur de présence de *Plecotus sardus*), dans un fond de vallon boisé de vieux chênes verts avec des micro clairières. L'individu, non identifié en main, a pu être observé un instant grâce à la lumière résiduelle ; il volait lentement à moins d'un mètre au-dessus du sol, explorant d'assez près (d'où la durée courte des signaux : 1,5 à 2,5 ms) la surface du feuillage d'un chêne vert couché ; de nombreuses stridulations de la sauterelle *Cyrtaspis scutata* résonnent dans tous les chênes alentours, et constituent peut-être une source de localisation passive des proies, justifiant, en plus de la lenteur du vol, ces émissions à rythme lent (intervalles 70 à 150 ms) : le sonar servirait ici seulement à ajuster la distance par rapport au feuillage, et non à détecter une proie. Un autre individu (non vu) vole en arrière-plan sonore, utilisant des durées plus longues (jusqu'à 7 ms) sans que les intervalles soient modifiés en proportion (70 à 200 ms) : la distance à la végétation doit être plus grande et la vitesse de vol plus élevée. L'ensemble des paramètres (localisation géographique, mesures de durées et de fréquences, comportement acoustique) confère une probabilité très forte à l'appartenance de cette séquence à un autre taxon que *P. auritus* ou *P. austriacus*, donc *Plecotus sardus*.

son 3.92a : séquence de *P. macrobullaris* en recherche passive au-dessus d'une pelouse d'altitude. Les signaux varient quelque peu en durée en fonction de la récurrence, les plus longs atteignent presque 11 ms. On remarque, sur le spectrogramme, que certains signaux mieux marqués débutent par une courbure convexe, ce qui n'a pas encore été noté pour les signaux sonar de *P. auritus* et *P. austriacus*.

son 3.101a : séquence d'individus de *B. barbastellus* sur leur terrain de chasse, avec émissions de cris sociaux divers.

son 3.142a : *M. alcaethoe* volant en sous-bois, d'abord près du feuillage en am ht, puis à partir de 1,8 s dans une partie de futaie claire aux troncs espacés : l'amorce s'estompe sur la plupart de signaux, pour disparaître sur quelques-uns (dont la FT descend en dessous de 40 kHz : les durées de signaux sont alors supérieures à 4 ms et celles des intervalles sont de 180 à 200 ms) et devenir de l'abs ht ; ce schéma recommence à partir de 8,5 s après une phase à récurrence plus rapide où les FT sont entre 40 et 50 kHz.

son 3.172a : séquence de *M. punicus* en recherche passive dans un boisement rivulaire clairsemé. Les signaux de durée moyenne (6 à 8 ms) au début et à la fin ont une double courbure sigmoïde avec la courbure convexe en fin de signal, la partie FM terminale étant très estompée mais descendant en dessous de 30 kHz : c'est bien de l'abs moy. Vers le milieu de la séquence, on constate une transition vers une série de signaux plus courts, linéaires et haut en fréquence, sans que le rythme ne s'accélère beaucoup ; ce comportement est très proche de ceux de *M. myotis* et *M. blythii*, et correspond au survol lent d'un buisson bas.

son 3.178a : séquence de transit ou de recherche passive de *M. blythii* en milieu ouvert (grande friche herbacée) ; l'ondulation caractéristique des signaux en abs de pics des grands *Myotis* (rarement présente aussi chez *M. bechsteinii*) et la durée longue (9 à 11 ms) tranchent avec la FT qui ne descend pas en dessous de 24,5 kHz : cette utilisation de l'abs moy avec de longues durées de signaux est caractéristique de *M. blythii*.

son 3.189a : *M. daubentonii* chassant en sous-bois ; tous les signaux sont en abs ht, les FT variant de 36-37 kHz dans les phases à récurrence plus rapide, à 30 kHz voire légèrement en dessous dans les phases de croisière à rythme plus lent. Le maintien de l'absence de pic dans les phases d'approche élimine *M. emarginatus* (qui ne pratique l'abs ht qu'en transit ou recherche passive). Enregistrement Tanja Kessels.

son 3.193a : longue séquence (sans montage) d'un individu de *M. nattereri* longue séquence (sans montage) d'un individu de *M. nattereri* en lisière d'un bosquet aux arbres espacés, avec des incursions en prairie ouverte ; l'usage de l'abs bas est permanent (différent de *M. myotis* par la FME plus haute, de *M. bechsteinii* par la durée plus courte) jusqu'à 17 s où des séries de signaux claq bas à grande largeur de bande signalent l'espèce avec certitude.

son 3.193b : individu de *M. nattereri* (*M. crypticus* selon la génétique) après relâcher dans un sous-bois clair ; après les signaux claq bas il passe progressivement vers 3 s à l'abs bas (terminée d'un léger claquement).

son 3.193c : longue séquence (sans montage) d'un individu de *M. nattereri* en sous-bois, utilisant le claq bas avec de fortes variations de FME et de FT (pas toujours bien visible, mais montant au-dessus de 23 pour plusieurs signaux) ; à 7800 ms il passe en abs ht (mais quelques signaux gardent un léger claquement) avec un rythme lent, lorsqu'il survole un buisson dense. Par la suite, selon les phases de vol exploratoire, le type acoustique oscille entre l'abs (claq) ht, l'abs (claq) moy-bas, toujours avec un rythme moyen à lent (la moindre accélération recrute le claq bas typique) : cette variabilité comportementale est fréquente chez cette espèce. A 17500 ms une série de signaux à haute FME ont un claquement et même une légère amorce : leur courbure convexe, leur grande largeur de bande et la reprise juste derrière du claq bas typiques sont là pour éviter la confusion avec *M. brandtii*, et indiquer qu'il s'agit bien de *M. nattereri*.

son 3.193d : longue séquence issue du montage bout à bout de plusieurs séquences consécutives enregistrées sur une même station forestière, dans une futaie à sous-bois globalement dégagé mais avec quelques buissons épars proches. Le claq bas est dominant en

temps d'utilisation, avec des phases d'exploration du sol ou de la végétation à forte récurrence ; ces phases sont séparées par des séries en abs bas plus lentes où l'individu est en recherche passive. Par moments (comme à 26100 ms par ex.), quelques signaux hautes fréquences à récurrence lentes sont en am&claq, pour vite revenir au claq bas. L'ensemble constitue un excellent reflet de l'utilisation des 3 types acoustiques pratiqués par le complexe *M. nattereri*, y compris les variations ponctuelles et fugaces de FT et de pics d'énergie qui en font à la fois un taxon acoustiquement à la fois très spécialisé (claq bas) et très plastique. Enregistrement Tanja Kessels.

son 3.193e : séquence de *M. nattereri* en recherche passive au centre d'une grande prairie. Les caractéristiques structurelles, notamment la forme sigmoïde, tendent vers le type abs bas ; mais auditivement tous les signaux ont un léger claquement final ; cette ambivalence est une signature de cette espèce en milieu ouvert. On remarque aussi la forme très particulière des signaux sur spectrogramme, qui lorsque la séquence est dézoomée se révèlent sous la forme d'une ligne verticale fine, et en zoom plus serré montrent une zone de FME restreinte entre 55 et 40 kHz, une FM initiale estompée et une FM terminale très pentue avec une largeur de bande allant jusqu'à 18 kHz. L'ensemble de ces critères est une exclusivité de *M. nattereri*, permettant une identification certaine.

son 3.193f : séquence de *M. nattereri* enregistrée en lisière d'une prairie permanente juste après la fauche ; la longue série de signaux claq bas est ponctuée de nombreuses phases de capture : sur cette séquence d'environ 82 s on peut en compter jusqu'à 22 ce qui représente une moyenne d'une phase toutes les 3,7 s ; elles interviennent souvent après une séries de signaux à récurrence très forte, mais parfois aussi brutalement au cours d'une phase de croisière plus lente.

son 3.208a : autre séquence de chant de *N. leisleri*. Vers 7600 ms un autre individu arrive en mode sonar (double fonction sonar-social ?), avec des signaux très variables en LB et structure ; la plupart sont des FM sigmoïdes, mais on note vers 9400 ms une QFC d'une durée de 2,1 ms, ce qui est un record de brièveté pour cette espèce. Enregistrement Jean-François Desmet.